

Allgemeine Chemie I -Physikalische Chemie

Prof. Dr. Hans Jakob Wörner



Was ist physikalische Chemie?

- Charakterisierung von Stoffen und Prozessen mit physikalischen Messmethoden
- Beschreibung chemischer Prozesse mit physikalisch-mathematischen Methoden
- Erforschung und Erarbeitung der theoretischen Grundlagen der Chemie









Untergebiete der physikalischen Chemie

Thermodynamik (PC I) : Beschreibung chemischer Gleichgewichte

Kinetik (PC II) : Geschwindigkeit chemischer Reaktionen

Quantenmechanik (PC III) : Struktur und Dynamik von Atomen/Molekülen

• Spektroskopie : Anwendung der Quantenmechanik

Magnetresonanz (PC IV)

Optische Spektroskopie (PC V)

Theoretische Chemie

usw.





Inhalt dieser Vorlesung

- Einleitung
- Atomare Bausteine und Elementarteilchen
- Radioaktiver Zerfall und Kernreaktionen
- Einführung in die Quantentheorie und die Struktur der Atome
- Energiezustände von Atomen und Atomorbitale



Tabellen



T/K	$10^3\mathrm{K}/T$	p/MPa	$\ln{(p/\mathrm{MPa})}$
216.55	4.6179	0.5180	-0.6578
273.15	3.6610	3.4853	1.2486
304.19	3.2874	7.3815	1.9990

Die Zahlenwerte und die entsprechenden Kolonnenüberschriften werden wie eine Gleichung gelesen. Zum Beispiel:

$$T/{\rm K} = 273.15 \qquad \Leftrightarrow \qquad T = 273.15 \, {\rm K} \; ,$$

$$10^3 \, {\rm K}/T = 4.6179 \qquad \Leftrightarrow \qquad 1/T = 4.6179 \cdot 10^{-3} / {\rm K} \; = \; 4.6179 \cdot 10^{-3} \, {\rm K}^{-1} \; .$$



Graphische Darstellung

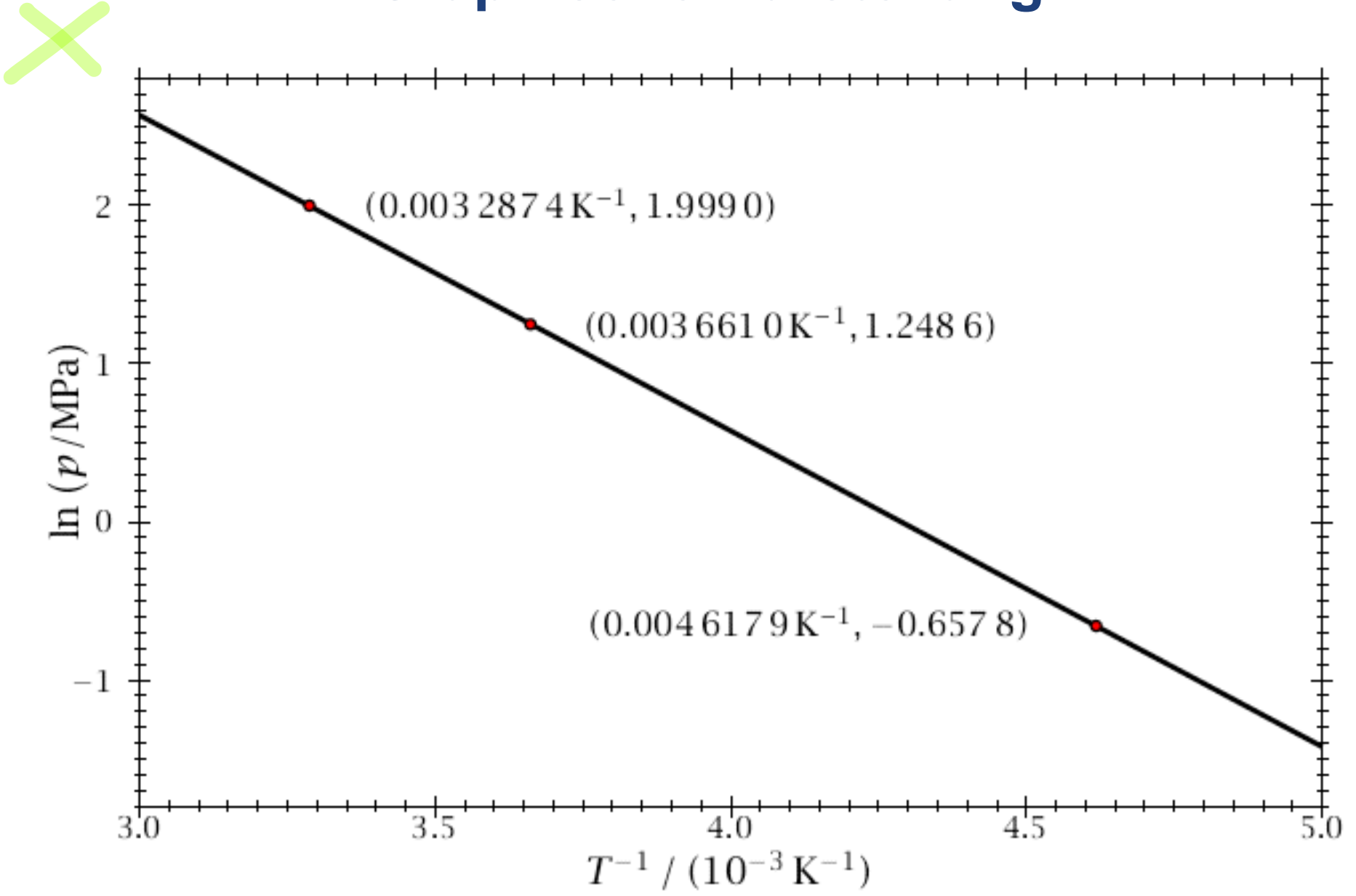








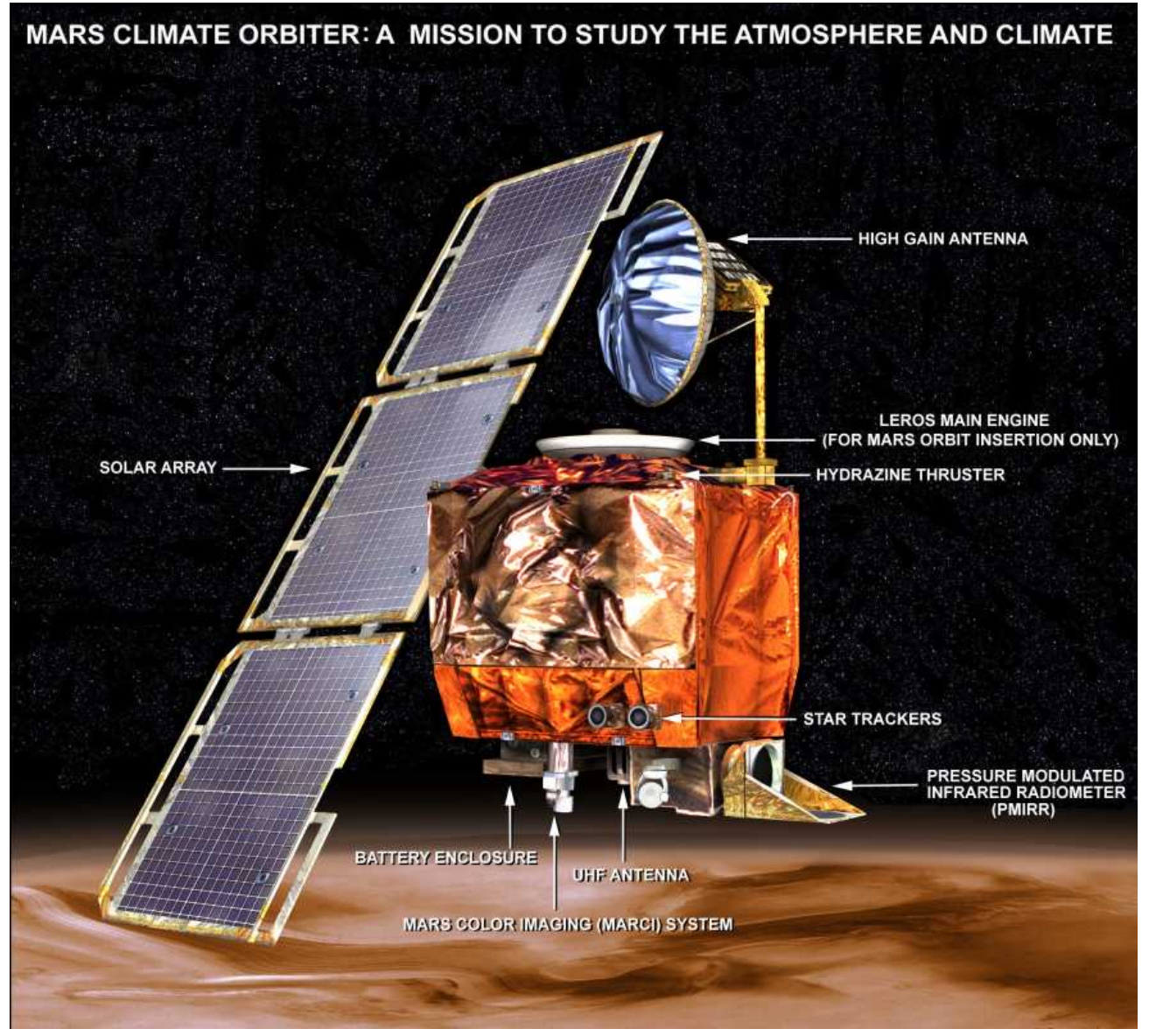
Tabelle 1.1.: Zusammenstellung der sieben SI-Basiseinheiten.

Physikalische Grösse	Name der SI-Einheit	Symbol der SI-Einheit	
Länge	Meter	m	
Masse	Kilogramm	kg	
Zeit	Sekunde	\mathbf{S}	
Elektrische Stromstärke	Ampere	A	
Thermodynamische Temperatur	Kelvin	K	
Stoffmenge	Mol	mol	
Lichtstärke	Candela	cd	





Verlust des "Mars Climate Orbiters" Oder: die Bedeutung von korrekten Einheiten



Die NASA verwendete N.s, der Hersteller des Orbiters (Lockheed-Martin) jedoch lbf.s.

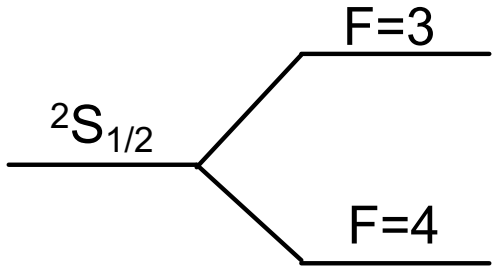




• Sekunde (s)

Die Sekunde ist die Dauer von 9 192 631 770 Perioden der Strahlung, die dem Übergang zwischen zwei Hyperfein-Niveaus des Grundzustands des Cäsium-133-Atoms entspricht.

Cs-Grundzustand [Xe]6s1









• Meter (m)

Der oder das Meter ist die Weglänge, die Licht im Vakuum innerhalb eines Zeitintervalls von $1/299\,792\,458$ einer Sekunde zurücklegt.

→ Die Lichtgeschwindigkeit beträgt exakt 299 792 458 m/s



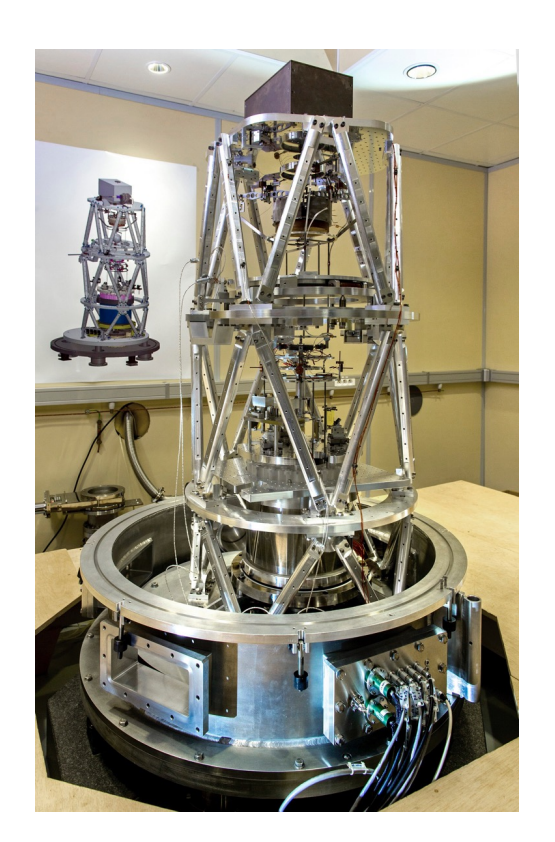
• Kilogramm (kg)

Das Kilogramm ist die Einheit der Masse; es ist über den Wert der Planckschen Konstante $h=6.626\,070\,15\cdot 10^{-34}\,\mathrm{J\,s}$ (J=kg m² s²) und die Definitionen von Meter und Sekunde festgelegt.

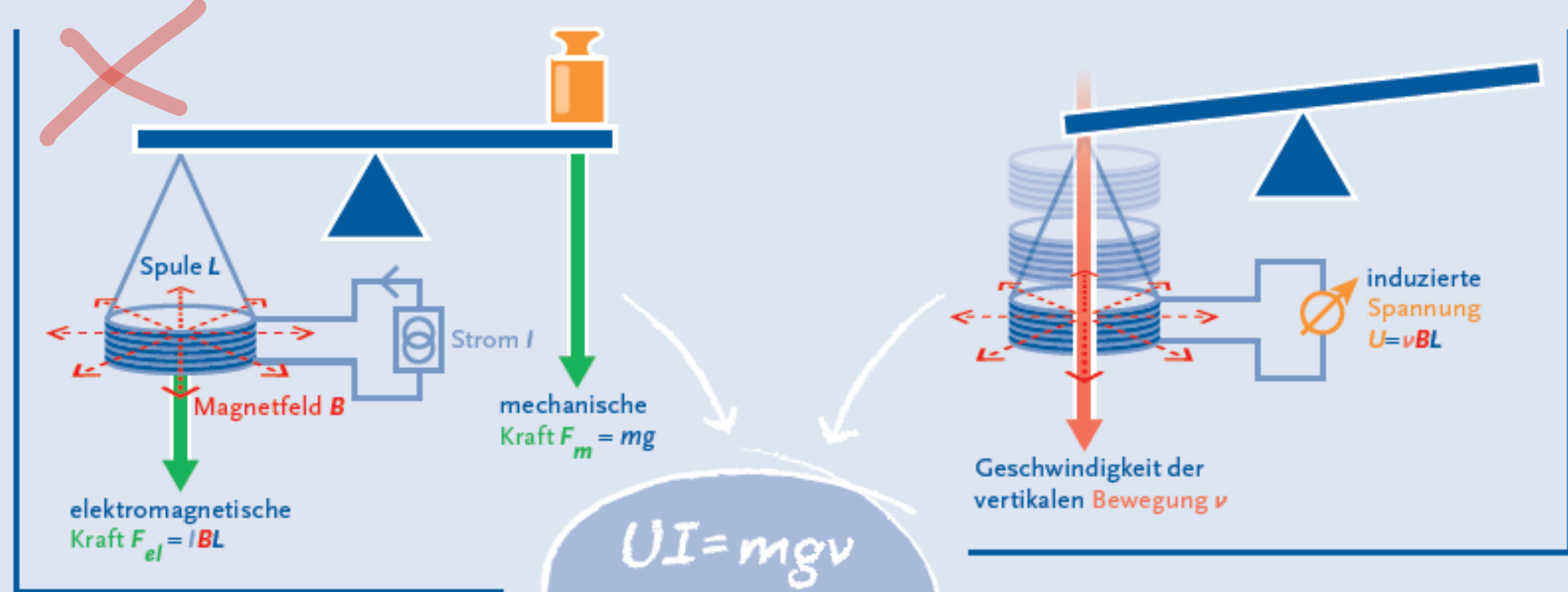
→ Die Plancksche Konstante wird dadurch exakt festgelegt.







WATT-WAAGE: VERGLEICH VON MECHANISCHER MIT ELEKTRISCHER LEISTUNG



STATISCHE PHASE

Die mechanische Kraft wird durch eine elektromagnetische Kraft ausbalanciert.

DYNAMISCHE PHASE

Die Spule wird mit einer definierten Geschwindigkeit durch das Magnetfeld bewegt. So entsteht eine Spannung am Ausgang der Spule.

www.metas.ch

Eidgenössisches Institut für Metrologie METAS

Illustration: Nadja Stadelmann

Die resultierenden Grössen (Strom, Spannung, Geschwindigkeit, Schwerkraft) erlauben es, **auf mathematischem Weg mechanische Leistung mit elektrischer Leistung zu vergleichen.** Mithilfe der Quantenphysik kann so ein Bezug zwischen der Planck-Konstante *h* und der Masse *m* hergestellt werden.





• Ampere (A)

Das Ampere ist über den Wert der Elementarladung $e=1.602\,176\,634\cdot10^{-19}\,\mathrm{C}$ (C = A s) und die Definition der Sekunde festgelegt.

→ Die Elementarladung wird dadurch <u>exakt</u> festgelegt.





• Kelvin (K)

Das Kelvin, Einheit der thermodynamischen Temperatur, ist über den Wert der Boltzmannkonstante $k=1.380\,649\cdot10^{-23}\,\mathrm{J\,K^{-1}}$ (J = kg m² s⁻²) und die Definitionen von Kilogramm, Meter und Sekunde festgelegt.

→ Die Boltzmann Konstante wird dadurch exakt festgelegt.





Alte Definition:

• Mol (mol)

Das Mol ist die Stoffmenge eines Systems, das ebenso viele Elementareinheiten enthält wie Atome in 0.012 Kilogramm von Kohlenstoff-12 sind. Wenn das Mol benutzt wird, müssen die Elementareinheiten spezifiziert werden. Dies können Atome, Moleküle, Ionen, Elektronen und andere Teilchen oder spezifizierte Gruppen solcher Teilchen sein.

Neue Definition (seit 20.05.2019):

• Mol (mol)

Das Mol ist die Stoffmenge eines Systems, das $6.022\,140\,76\cdot10^{23}$ Elementareinheiten enthält. Dies können Atome, Moleküle, Ionen, Elektronen und andere Teilchen oder spezifizierte Gruppen solcher Teilchen sein.

→ Die Avogadro Konstante wird dadurch exakt festgelegt.





"Mise en pratique" der Einheit Mol



- Quasi-perfekte Kugel aus 99.9995% ²⁸Si
- Messung des Durchmessers: Laserinterferometrie
- Messung der Kristallstruktur: Röntgenkristallographie



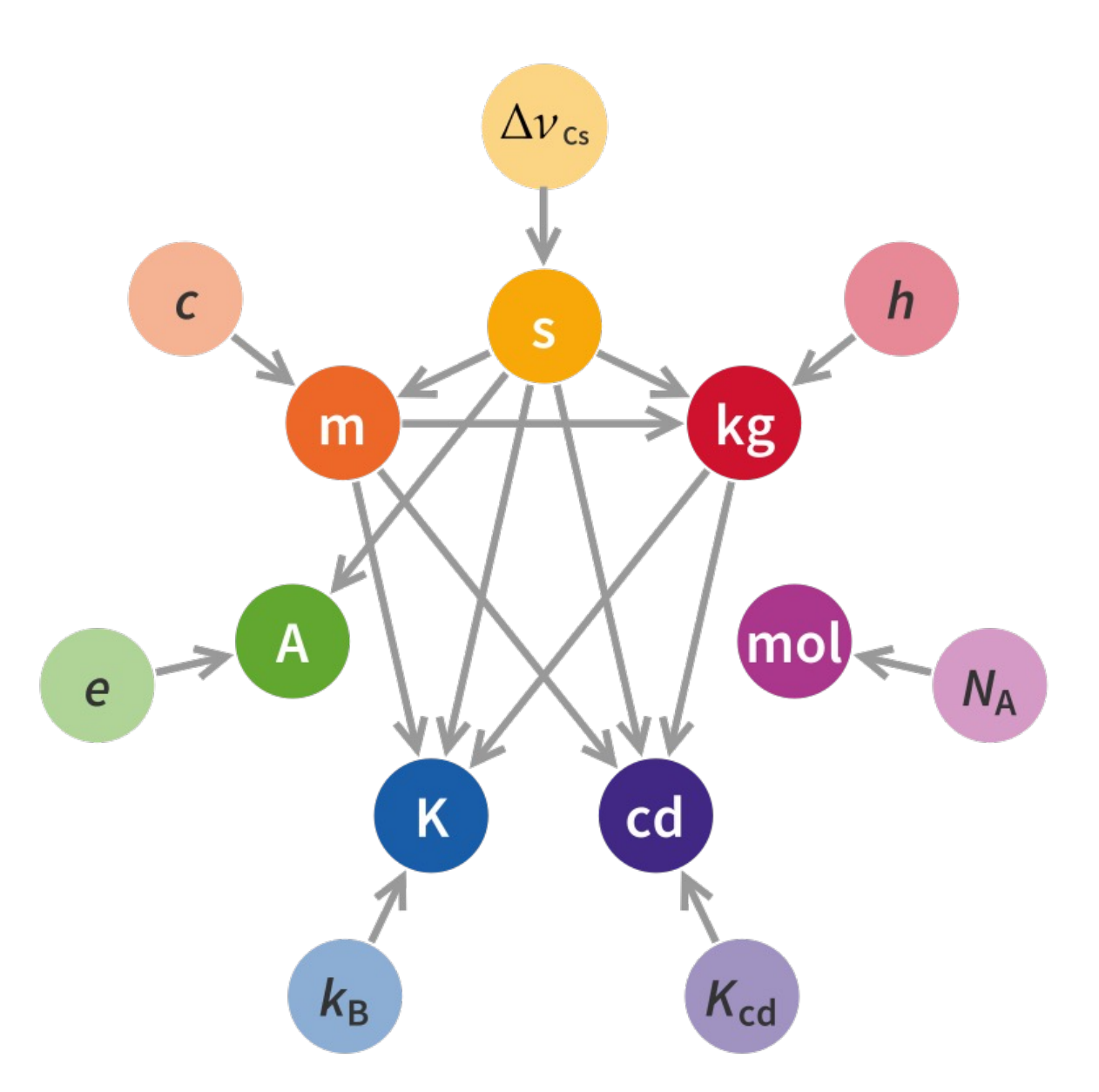


• Candela (cd)

Die Candela ist die Lichtstärke in einer gegebenen Richtung, die eine Lichtquelle mit monochromatischer Strahlung der Frequenz $540 \cdot 10^{12}$ Hertz emittiert und die eine Strahlungsintensität in dieser Richtung von 1/683 Watt pro Steradiant hat.











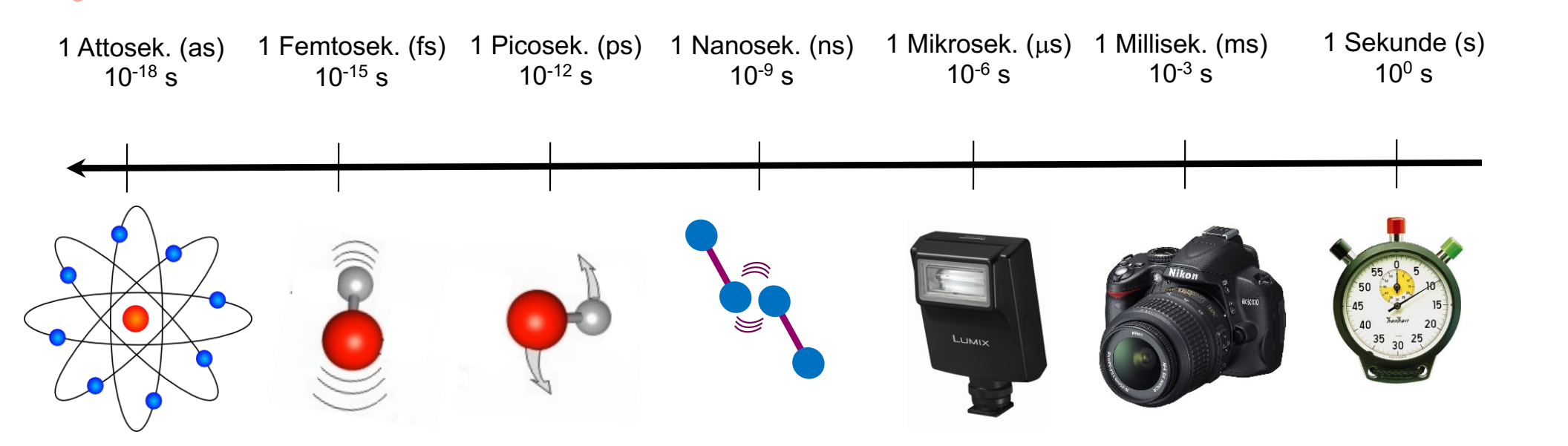
SI-Präfixe

Sollten sicher mitgebracht werden auf 7sf. oder 50

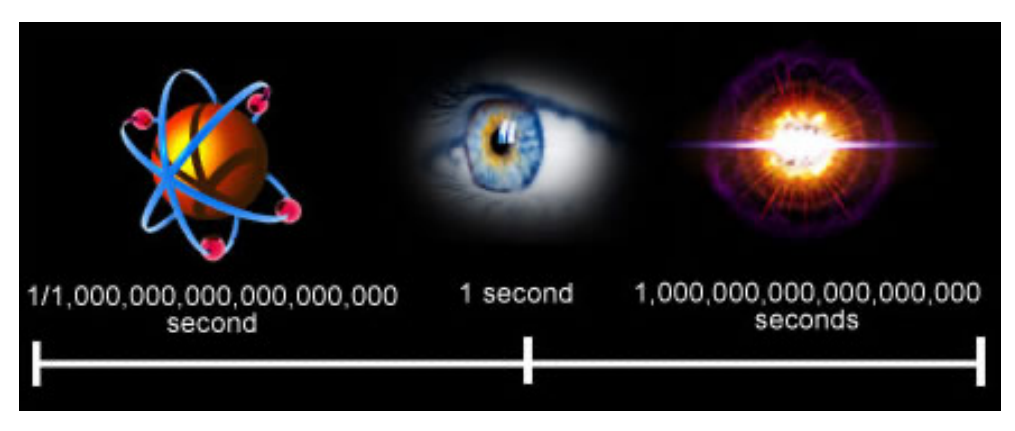
Teil	Präfix	Symbol	Vielfaches	Präfix	Symbol
10^{-1}	Dezi	d	10	Deka	da
10^{-2}	\mathbf{Zenti}	c	10^{2}	Hekto	h
10^{-3}	Milli	m	10^{3}	Kilo	k
10^{-6}	Mikro	μ	10^{6}	Mega	\mathbf{M}
10^{-9}	Nano	n	10^{9}	$_{ m Giga}$	\mathbf{G}
10^{-12}	Pico	p	10^{12}	Tera	${ m T}$
10^{-15}	Femto	\mathbf{f}	10^{15}	Peta	P
10^{-18}	Atto	\mathbf{a}	10^{18}	Exa	\mathbf{E}
10^{-21}	Zepto	${f z}$	10^{21}	Zetta	${f Z}$
10^{-24}	Yocto	y	10^{24}	Yotta	Y



Beispiel für die Verwendung von Präfixen: Zeitskalen



Zeitskala der Elektronenbewegung ~ 10⁻¹⁸ s



Alter des Universums ~ 10¹⁸ s





Rechnen mit Einheiten

Beispiel 1-3: Umrechnung in SI-Einheiten

Der Wert der universellen Gaskonstante beträgt:

$$R = 82.057 \, 338 \, \text{atm cm}^3 \, \text{mol}^{-1} \, \text{K}^{-1}$$

$$= 82.057 \, 338 \cdot (101 \, 325 \, \text{Pa}) \cdot (10^{-6} \, \text{m}^3) \, \text{mol}^{-1} \, \text{K}^{-1}$$

$$= 82.057 \, 338 \cdot 101 \, 325 \cdot 10^{-6} \, \text{Pa m}^3 \, \text{mol}^{-1} \, \text{K}^{-1}$$

$$= 8.314 \, 459 \, 8 \, \text{Pa m}^3 \, \text{mol}^{-1} \, \text{K}^{-1}$$

$$= 8.314 \, 459 \, 8 \, \text{J mol}^{-1} \, \text{K}^{-1}$$

Die letzte Umformung folgt aus der Definition des Pascals und des Joules aus den SI-Basiseinheiten: $1 \text{ Pa} = 1 \text{ kg m}^{-1} \text{ s}^{-2}$, $1 \text{ J} = 1 \text{ kg m}^2 \text{ s}^{-2}$.





Rechnen mit Einheiten

Beispiel 1-4: Potenzen von Einheitensymbolen mit SI-Präfixen

$$6 \,\mathrm{cm}^3 = 6 \cdot (0.01 \,\mathrm{m})^3 = 6 \cdot 10^{-6} \,\mathrm{m}^3$$

$$1.7 \,\mu\mathrm{s}^{-1} = 1.7 \cdot (10^{-6} \,\mathrm{s})^{-1} = 1.7 \cdot 10^6 \,\mathrm{s}^{-1}$$

$$1 \,\mathrm{V/cm} = \frac{1 \,\mathrm{V}}{0.01 \,\mathrm{m}} = 100 \,\mathrm{V/m} \tag{1.5}$$

$$5.2 \,\mathrm{mmol/dm^3} = 5.2 \cdot \frac{10^{-3} \,\mathrm{mol}}{(10^{-1} \,\mathrm{m})^3} = 5.2 \,\mathrm{mol/m^3}$$
 (1.6)

Obwohl sowohl die Schreibweise mit Bruchstrichen (wie beispielsweise in den Gleichungen (1.5) und (1.6)) als auch diejenige mit Potenzen zugelassen ist, ist Letztere vorzuziehen:

$$1 \text{ V cm}^{-1} = 100 \text{ V m}^{-1} ,$$

 $1 \text{ mmol dm}^{-3} = 1 \text{ mol m}^{-3} .$



Definitionen: Mischungen, reine Stoffe, Elemente, Verbindungen, Moleküle, Atome

Mischungen (Gemische)

Mischung (Gemisch) ist die Bezeichnung für Aggregate aus zwei oder mehr chemisch verschiedenen Substanzen. Mischungen lassen sich durch physikalische Trennverfahren (Destillation, Filtration, Zentrifugieren, ...) in ihre Komponenten zerlegen.

Reiner Stoff

Ein reiner Stoff kann durch physikalische Trennmethoden nicht in unterschiedliche Komponenten aufgetrennt werden. Beispiele für reine Stoffe sind Ethanol, Stickstoff, Gold oder Natriumchlorid.

Chemisches Element

Unter einem chemischen Element versteht man einen mit chemischen Mitteln nicht auftrennbaren Stoff, der zu chemischen Verbindungen zusammentreten und aus diesen durch chemische Operationen wieder isoliert werden kann. Kupfer, Argon, Wasserstoff oder Quecksilber sind Beispiele für Elemente.

Chemische Verbindung

Als chemische Verbindung bezeichnet man homogene reine Stoffe, deren kleinste Einheiten aus mindestens zwei unterschiedlichen Atomsorten zusammengesetzt sind. Beispiele dafür sind etwa Ethanol, Wasser, Kohlendioxid oder Natriumchlorid.

Molekül

Als Molekül bezeichnet man einen abgeschlossenen und in Grösse, Zusammensetzung und Anordnung klar definierten Atomverbund aus mehreren Atomen.

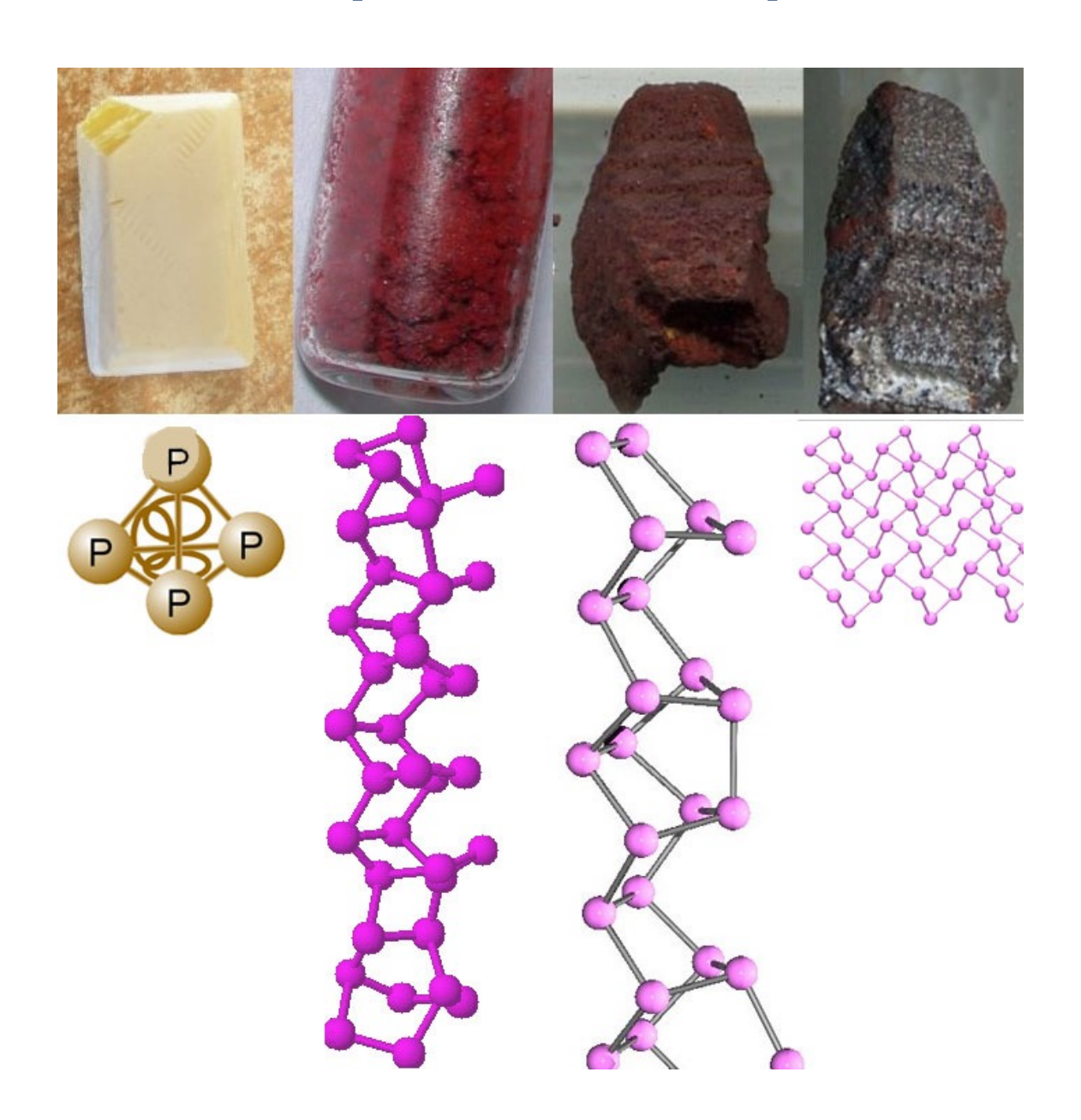
Atom

Atome bilden die Grundbausteine der Materie. Obwohl auch sie weiter strukturiert sind und aus einer Elektronenhülle und einem Atomkern bestehen, sind Atome durch chemische Prozesse nicht weiter zerlegbar (wenn man von Verschiebungen von Valenzelektronen absieht).





Allotrope des Phosphors





Allotrope des Kohlenstoffs











2. Atomare Bausteine und Elementarteilchen



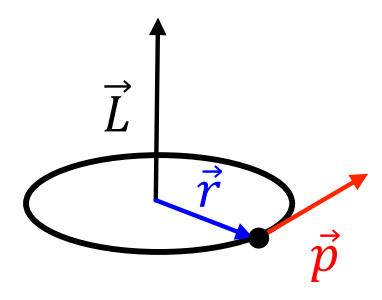
2.1. Phänomenologische Beschreibung des Spins

In der klassischen Physik ist der Drehimpuls \vec{L} durch ein Vektorproduktⁱ zwischen dem Ortsvektor \vec{r} und dem Impulsvektor $\vec{p} = m\vec{v}$ (\vec{v} entspricht dem Geschwindigkeitsvektor) definiert:

$$\vec{L} = \vec{r} \times \vec{p} = \vec{r} \times (m\vec{v}) . \tag{2.1}$$

Der Betrag $|\vec{L}\>|$ des Drehimpulsvektors \vec{L} beträgt

$$|\vec{L}| = |\vec{r}||\vec{p}|\sin\alpha = |\vec{r}|m|\vec{v}|\sin\alpha,$$



- Klassische Physik: Punktteilchen haben keinen Eigendrehimpuls
- → Der Spin ist eine rein <u>quantenmechanische</u> Erscheinung.
- Spin wird durch 2 Quantenzahlen beschrieben:
 - Spindrehimpulsquantenzahl s (ganzzahlig oder halbganzzahlig)
 - Magnetische Spindrehimpulsquantenzahl m_s
 nimmt Werte von –s bis +s in Schritten von 1 an
- Für Elektronen, Protonen und Neutronen beträgt s=1/2
- Analog zu Elementarteilchen besitzen auch Atomkerne einen Spin
 - Kernspindrehimpulsquantenzahl /
 - Magnetische Kernspindrehimpulsquantenzahl m_l



Beispiel 2-1: Spindrehimpulsquantenzahlen und magnetische Drehimpulsquantenzahlen für verschiedene Elementarteilchen und Atomkerne

\overline{I}	mögliche Werte für m_I	Beispiele für stabile Atomkerne
0	0	⁴ He, ¹² C, ¹⁶ O, ¹⁸ O
1/2	-1/2 $1/2$	$^{1}\mathrm{H},~^{13}\mathrm{C},~^{15}\mathrm{N},^{19}\mathrm{F},~^{31}\mathrm{P}$
1	-1 0 1	6 Li, 14 N, 2 H
3/2	-3/2 $-1/2$ $1/2$ $3/2$	7 Li, 9 Be, 11 B, 23 Na, 35 Cl, 37 Cl
2	-2 -1 0 1 2	

Die physikalische Bedeutung von s und I liegt im Betrag, das heisst in der Länge, des Spindrehimpulsvektors \vec{s} (für Elementarteilchen) respektive des Kernspindrehimpulsvektors \vec{I} (für Atomkerne). Diese betragen

$$|\vec{s}| = \hbar \sqrt{s(s+1)}$$
 (mit $s = 0, 1/2, 1, 3/2, 2, 5/2, ...), (2.2)$

$$|\vec{I}| = \hbar \sqrt{I(I+1)}$$
 (mit $I = 0, 1/2, 1, 3/2, 2, 5/2, ...$), (2.3)

wobei $\hbar = \frac{h}{2\pi} = 1.054\,571\,800(13) \cdot 10^{-34}\,\mathrm{J}\,\mathrm{s}$ das Plancksche Wirkungsquantum und h die Planck-Konstante ist.

 m_s und m_I charakterisieren die Projektion des Spindrehimpulsvektors \vec{s} respektive des Kernspindrehimpulsvektors \vec{l} auf eine ausgezeichnete Achse (zum Beispiel die z-Achse) des Koordinatensystems und damit die z-Komponente des entsprechenden Drehimpulsvektors, welche den Wert $\hbar m_s$ respektive $\hbar m_I$ besitzt. Es gilt also:

$$s_z = \hbar m_s$$
 (mit $m_s = -s, -s + 1, -s + 2, ..., s$), (2.4)

$$I_z = \hbar m_I$$
 (mit $m_I = -I, -I + 1, -I + 2, ..., I$). (2.5)

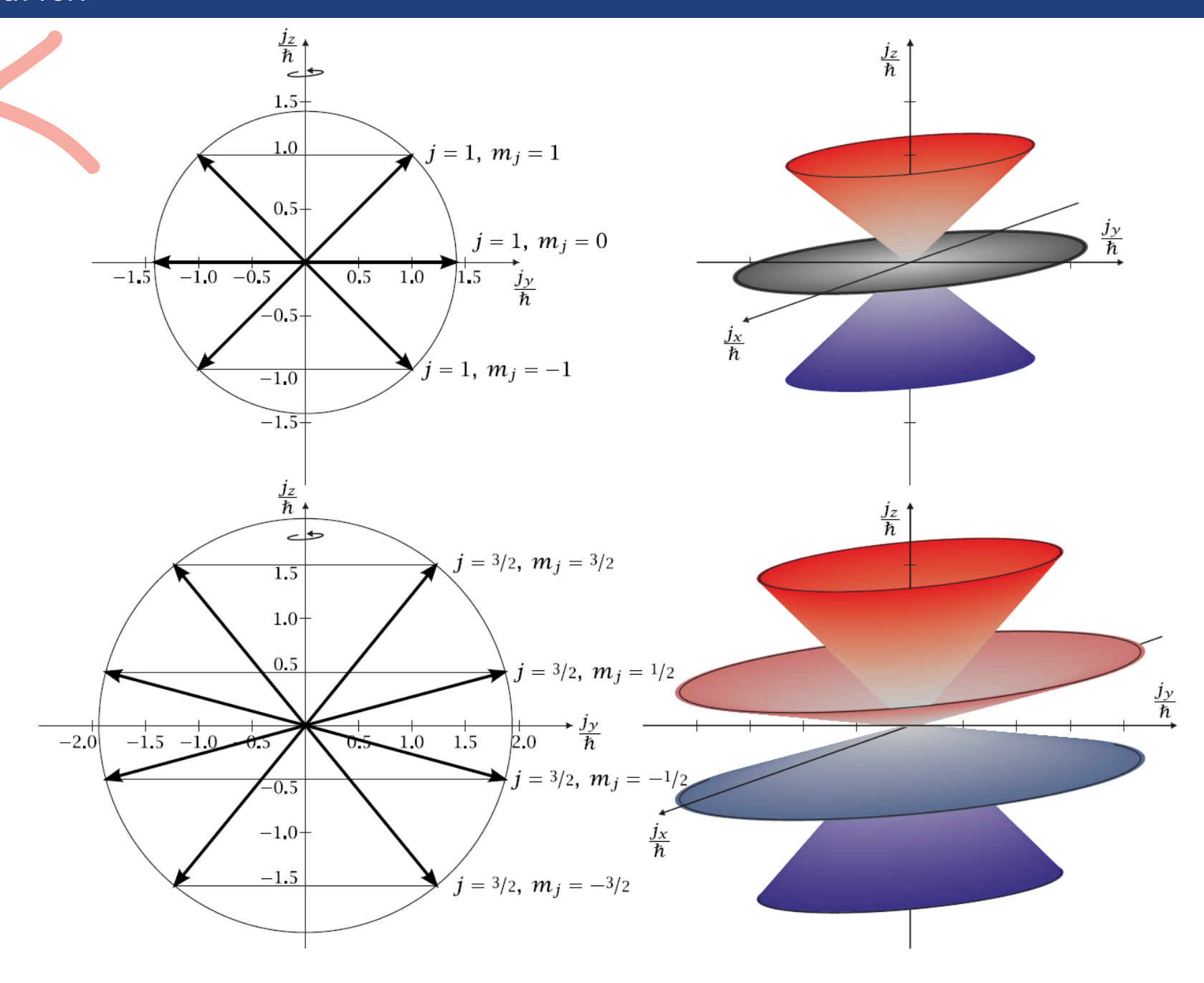


Abbildung 2.1.: Mögliche Orientierungen von Drehimpulsvektoren in der Quantenmechanik für j = 1 (oben) und j = 3/2 (unten).

Beispiel 2-2: Orientierung von Drehimpulsvektoren in der Quantenmechanik

Ist \vec{j} ein allgemeiner quantenmechanischer Drehimpulsvektor (beispielsweise ein Spindrehimpulsvektor \vec{s} oder ein Kernspindrehimpulsvektor \vec{I}), gilt analog wie in den Gleichungen (2.2) bis (2.5):

$$|\vec{j}| = \hbar \sqrt{j(j+1)}$$
 (mit $j = 0, 1/2, 1, 3/2, 2, 5/2, ...),$ (2.6)

$$j_z = \hbar m_j$$
 (mit $m_j = -j, -j + 1, -j + 2, ..., j$). (2.7)

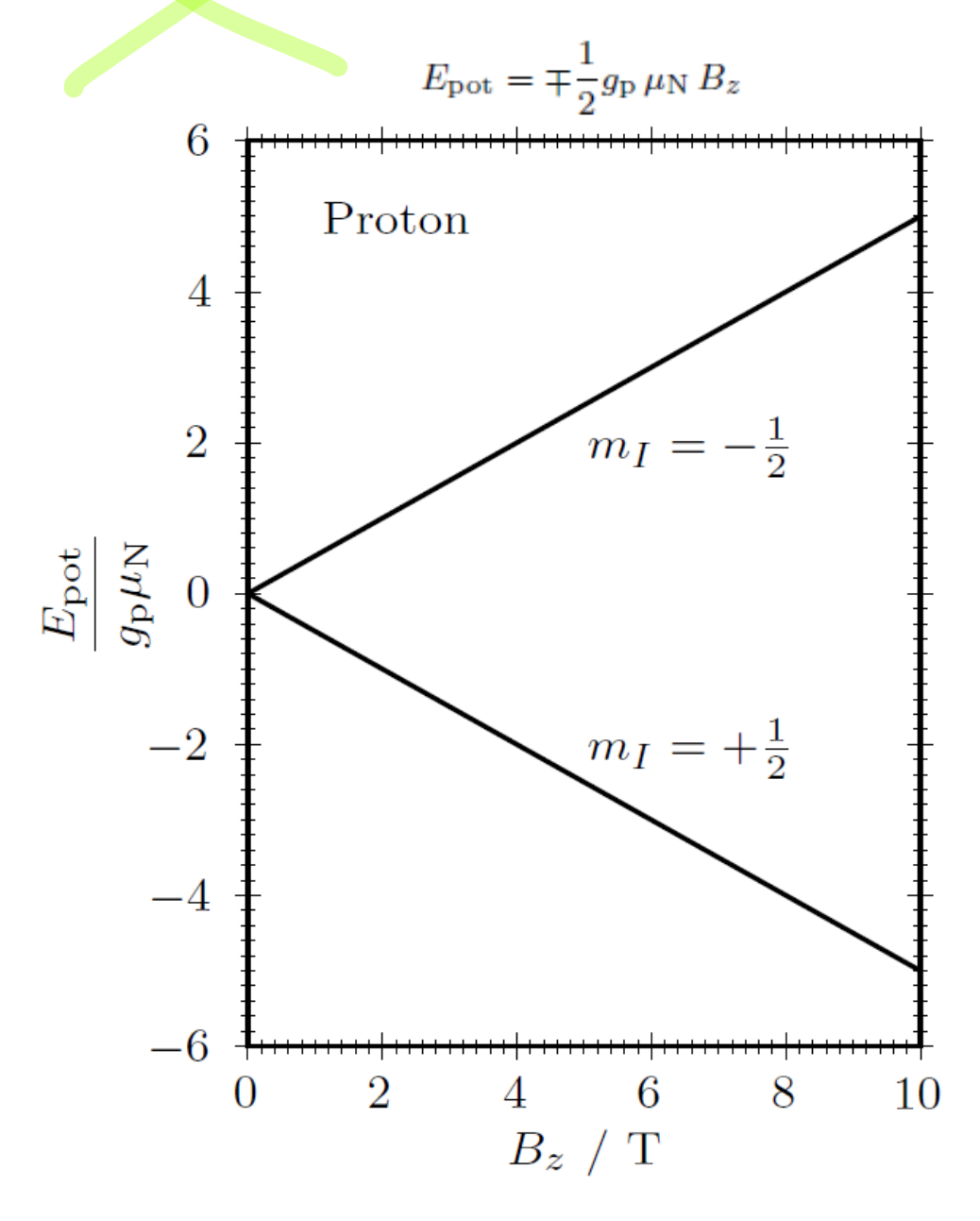
Da es in der Quantenmechanik nicht möglich ist, neben der Länge $|\vec{j}|$ und der z-Komponente j_z eines Drehimpulsvektors \vec{j} weitere Komponenten (j_x, j_y) gleichzeitig exakt zu bestimmen, kann der Drehimpulsvektor \vec{j} niemals exakt parallel zur z-Achse des Koordinatensystems stehen. In einem solchen Fall wären nämlich die x- und die y-Komponenten genau null und somit exakt bestimmt. Die einzige Aussage, die über die x- und y-Komponenten gemacht werden kann, ist, dass diese zusammen eine Kreisbahn bilden, da

$$j_x^2 + j_y^2 = |\vec{j}|^2 - j_z^2 = \hbar^2 \left[j(j+1) - m_j^2 \right]$$
 (2.8)

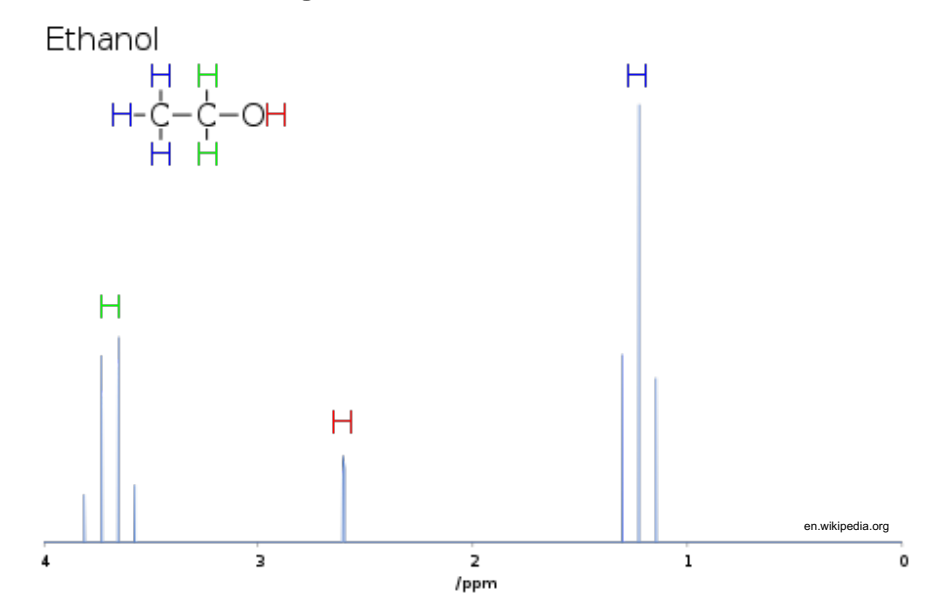
gelten muss, wobei die rechte Seite von Gleichung (2.8) für gegebene Werte der Quantenzahlen j und m_j konstant ist und somit eine Kreisbahn mit Radius $\hbar\sqrt{j(j+1)-m_j^2}$ beschreibt.



Kernspins in einem Magnetfeld



Anwendung: NMR-Spektroskopie



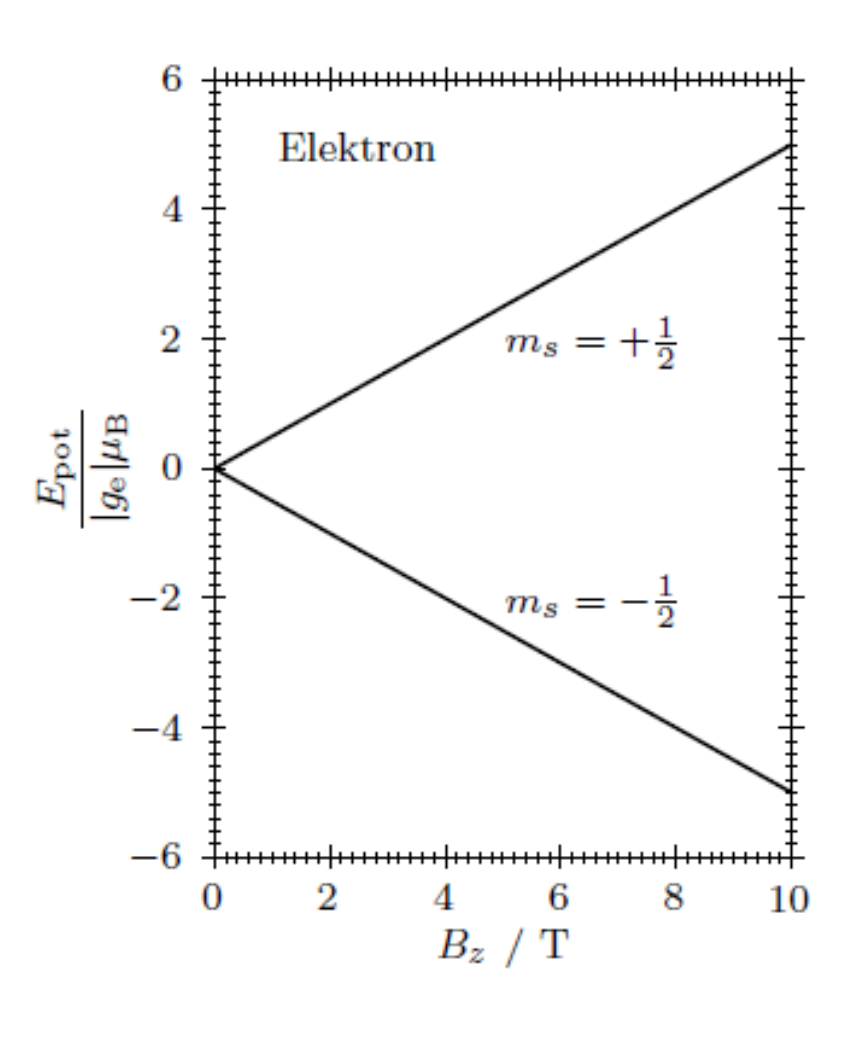
MRI

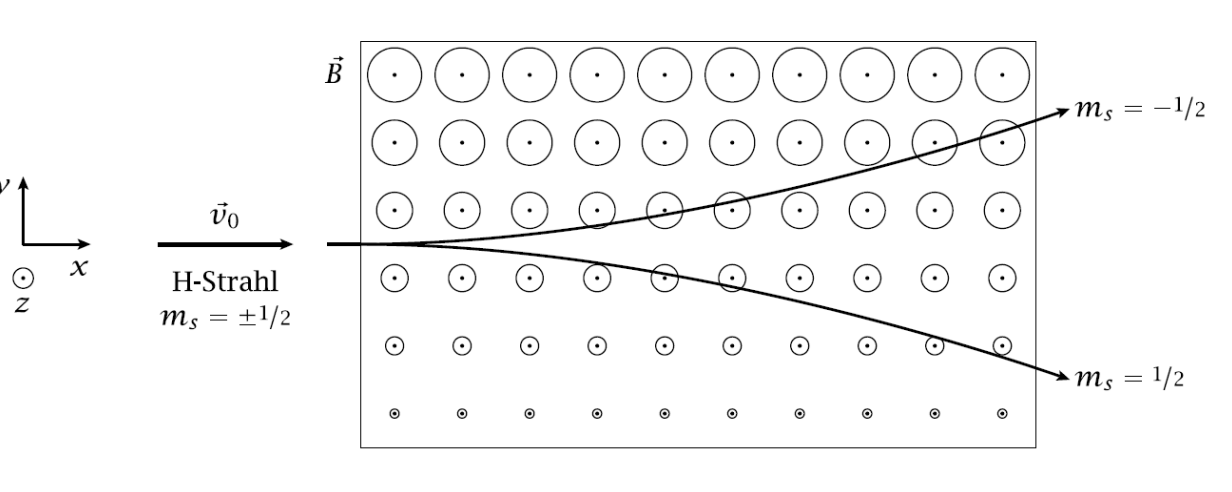




Elektronenspin in einem Magnetfeld

$$E_{\rm pot} = \mp \frac{1}{2} g_{\rm e} \, \mu_{\rm B} \, B_z$$

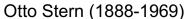






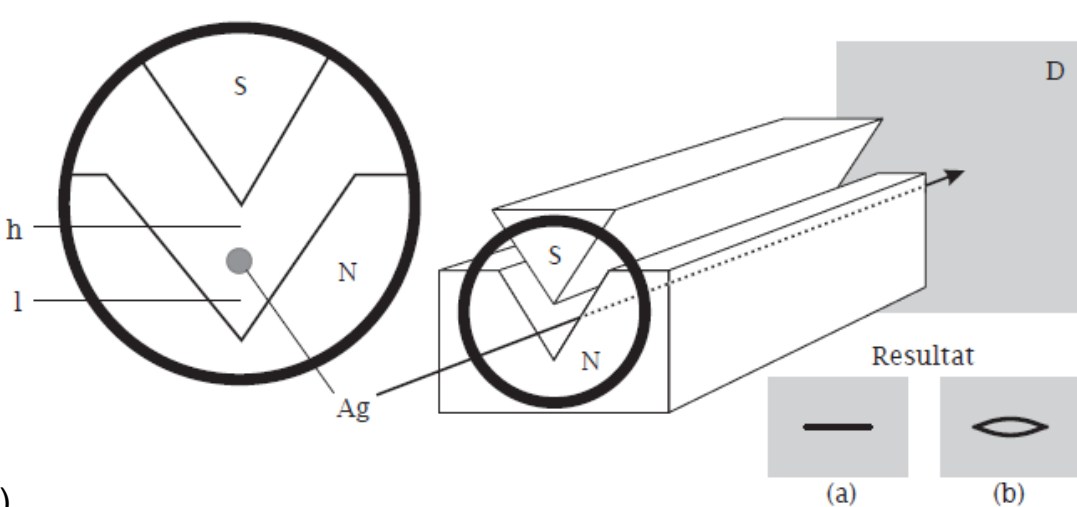
Erster Nachweis des Spins: das Stern-Gerlach Experiment (1922)

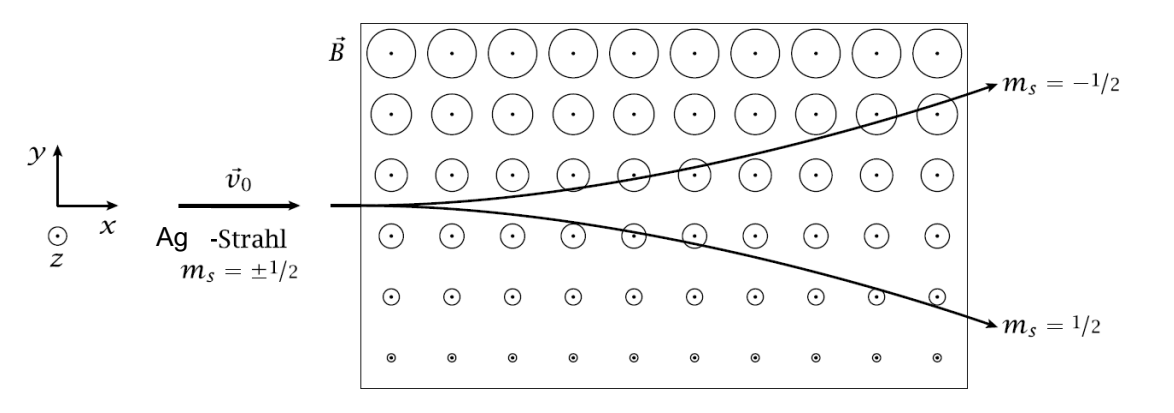


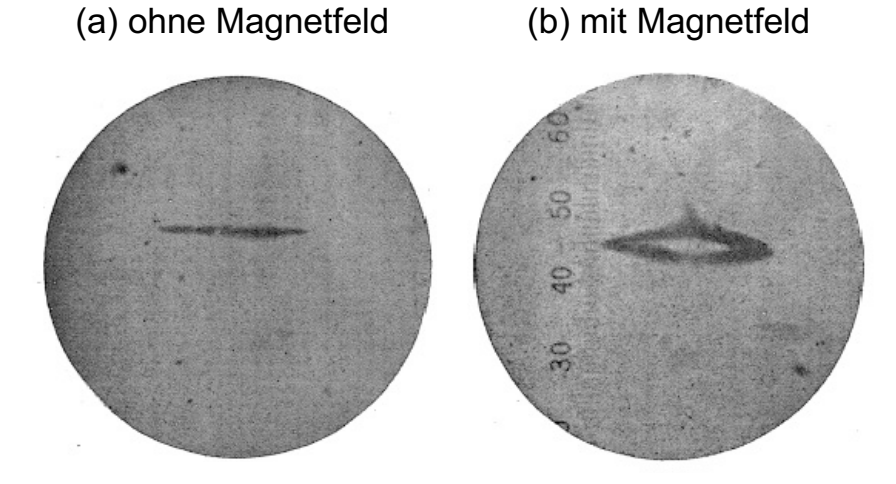




Walther Gerlach (1889-1979)









2.2. Das Elektron

Das Elektron besitzt die folgenden Eigenschaften:

Ruhemasse: $m_e = 9.1093837015(28) \cdot 10^{-31} \text{ kg},$

Ladung: $q_e = -e = -1.602176634 \cdot 10^{-19} \,\mathrm{C},$

Spin: $s = \frac{1}{2}, m_s = \pm \frac{1}{2}.$

Es wurde 1897 durch Sir Joseph John Thomson (1856–1940) bei der Untersuchung von Kathodenstrahlen entdeckt [Thomson (1897), Falconer (1997)]. Der apparative Aufbau ist schematisch in Abbildung 2.2 dargestellt.

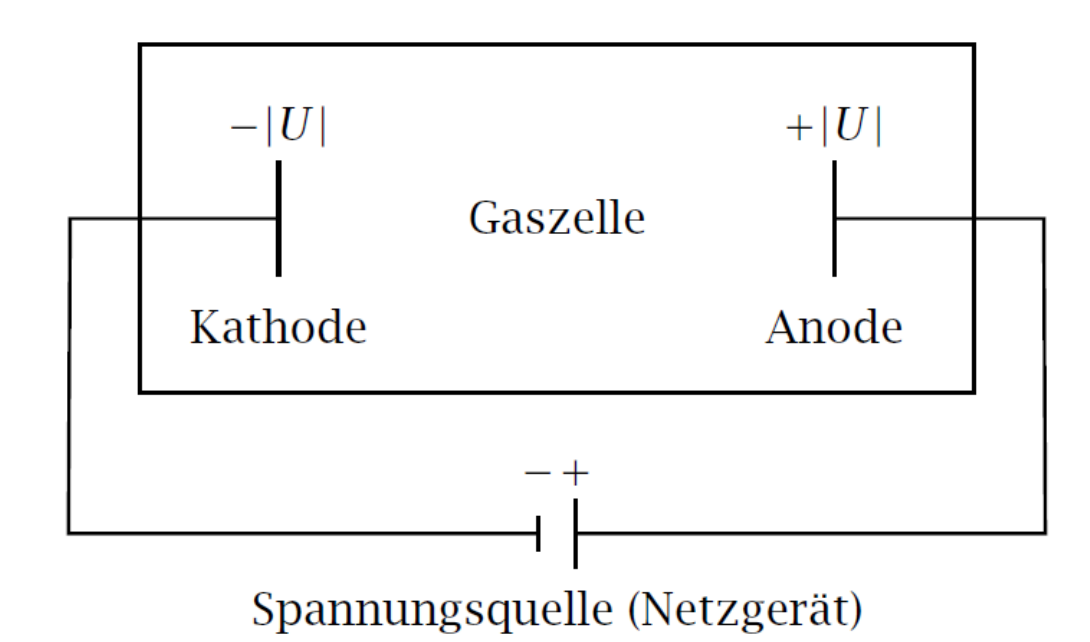


Abbildung 2.2.: Schematische Darstellung des apparativen Aufbaus zur Untersuchung von Kathodenstrahlen.

Experiment 1

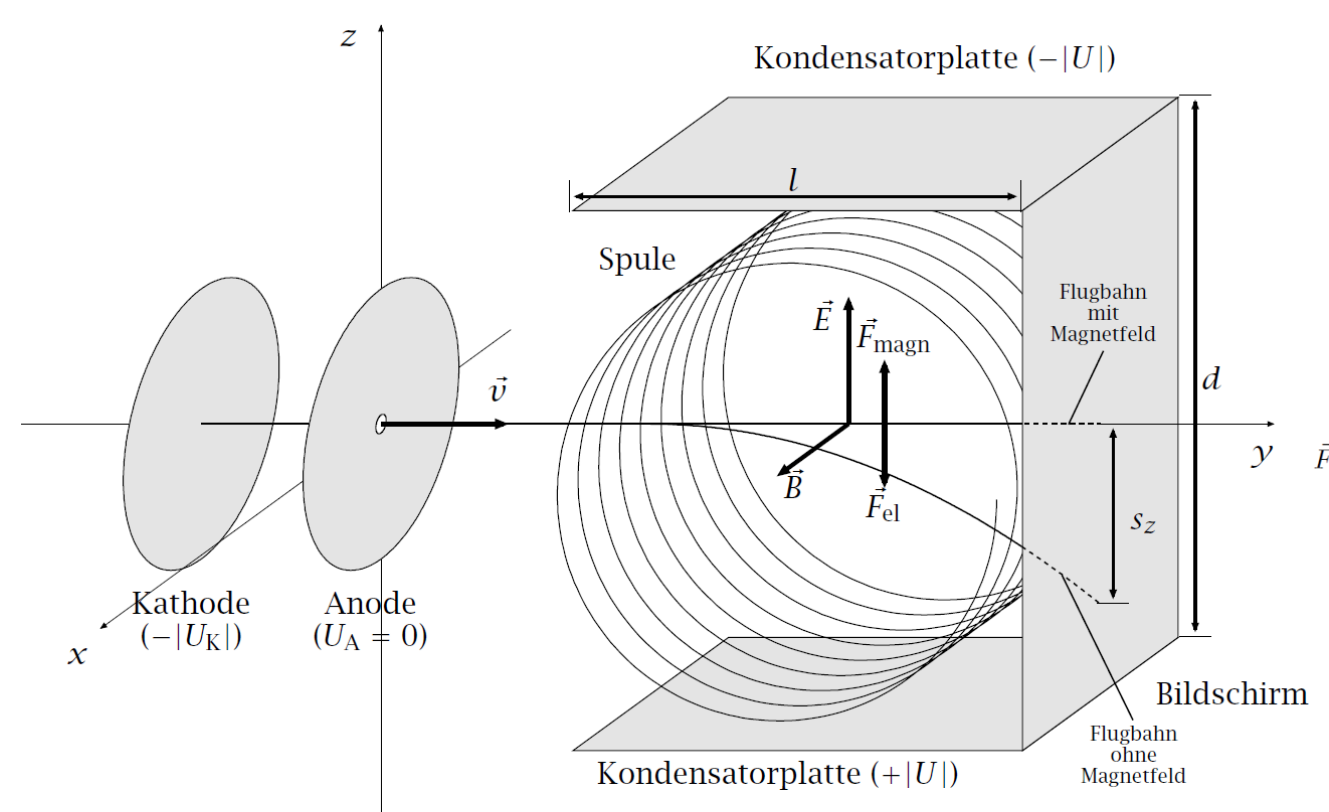
In diesem Experiment misst man die Ablenkung der Kathodenstrahlen durch ein homogenes elektrisches Feld

entlang der z-Achse und ein magnetisches Feld

$$\vec{E} = \begin{pmatrix} 0 \\ 0 \\ E_z \end{pmatrix} \qquad E_z = \frac{2|U|}{d}$$

$$\vec{B} = \left(\begin{array}{c} B_x \\ 0 \\ 0 \end{array}\right)$$

Für B_x gilt



$$|B_x| = \frac{\mu_0 NI}{\sqrt{l_{\rm S}^2 + d_{\rm S}^2}}$$

$$\vec{F}_{\rm el} = q\vec{E} = -e \begin{pmatrix} 0 \\ 0 \\ E_z \end{pmatrix} = \begin{pmatrix} 0 \\ 0 \\ -eE_z \end{pmatrix}$$

$$\vec{\mathcal{Y}}$$
 $\vec{F}_{\text{magn}} = q\vec{v} \times \vec{B} = -e \begin{pmatrix} 0 \\ v_y \\ 0 \end{pmatrix} \times \begin{pmatrix} B_x \\ 0 \\ 0 \end{pmatrix} = \begin{pmatrix} 0 \\ 0 \\ ev_y B_x \end{pmatrix}$

Keine Ablenkung erfordert:

chirm
$$\vec{F}_{\rm el} + \vec{F}_{\rm magn} = \vec{0}$$

$$\begin{pmatrix} 0 \\ 0 \\ -eE_z \end{pmatrix} + \begin{pmatrix} 0 \\ 0 \\ ev_y B_x \end{pmatrix} = \begin{pmatrix} 0 \\ 0 \\ 0 \end{pmatrix}$$

Abbildung 2.3.: Apparativer Aufbau zur Bestimmung des Verhältnisses $\frac{q_{\rm e}}{m_{\rm e}}$ zwischen Ladung und Masse von Elektronen.

$$\Rightarrow -eE_z + ev_y B_x = 0 \quad \Leftrightarrow \quad v_y = \frac{E_z}{B_x}$$

Experiment 2

In diesem Experiment wird kein Magnetfeld angelegt. Es dient zur Messung der Ablenkung der Elektronen im Kathodenstrahl durch das elektrische Feld. Daraus kann anschliessend mit dem Ergebnis aus Experiment 1 das gesuchte Verhältnis $\frac{q_e}{m_e}$ zwischen der Ladung und der Masse eines Elektrons bestimmt werden.

$$\vec{F} = m\vec{a}$$

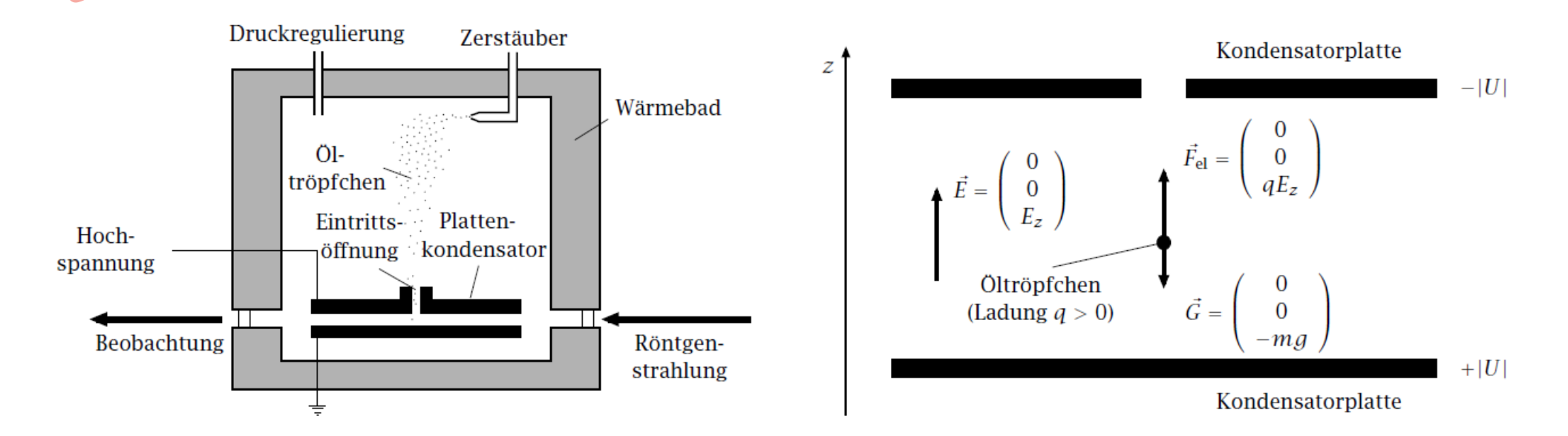
$$\Rightarrow \vec{a} = \frac{\vec{F}_{el}}{m_e} \stackrel{(2.9)}{=} -\frac{e}{m_e} \vec{E} = \begin{pmatrix} 0 \\ 0 \\ -\frac{eE_z}{m_e} \end{pmatrix}$$

$$\Rightarrow a_z = -\frac{eE_z}{m_e}.$$

$$\begin{split} l &= v_y t \\ s_z &= \frac{1}{2} a_z t^2 \stackrel{(2.11)}{=} - \frac{eE_z}{2m_{\rm e}} t^2 \\ \end{split} \qquad s_z &= - \frac{eE_z l^2}{2m_{\rm e} v_y^2} \\ \end{split} \qquad \frac{q_{\rm e}}{m_{\rm e}} = \frac{-e}{m_{\rm e}} \stackrel{(2.14)}{=} \frac{2 v_y^2 s_z}{E_z l^2} \stackrel{(2.10)}{=} \frac{2 E_z s_z}{B_x^2 l^2} \end{split}$$

$$\frac{q_{\rm e}}{m_{\rm e}} = -1.75882001076(53) \cdot 10^{11} \,\rm C\,kg^{-1}$$

Experiment von Millikan [Millikan (1913)]



Bedingung für Schwebezustand der Tröpfchen:

$$\vec{F}_{\rm el} = -\vec{G}$$

$$qE_z = mg \quad \Leftrightarrow \quad q = \frac{mg}{E_z}$$

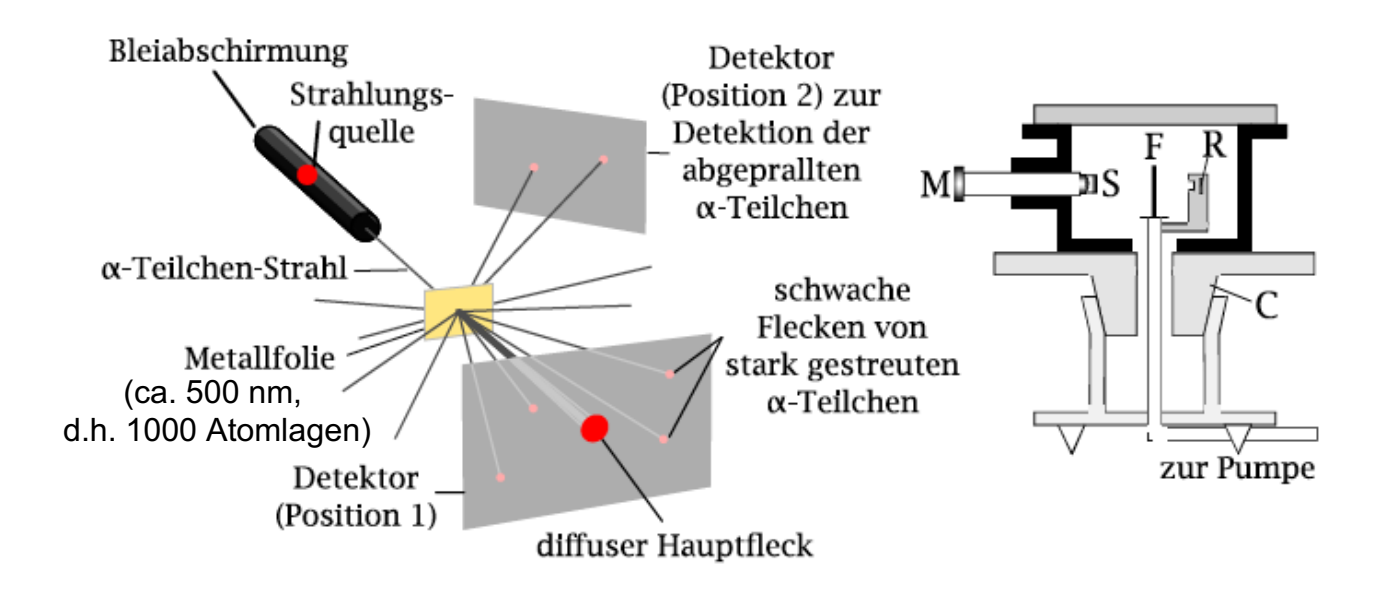
Bestimmung der Sink- und Steiggeschwindigkeiten zeigte: Die Ladung der Öltröpfchen ist immer ein Vielfaches der Elementarladung *e*

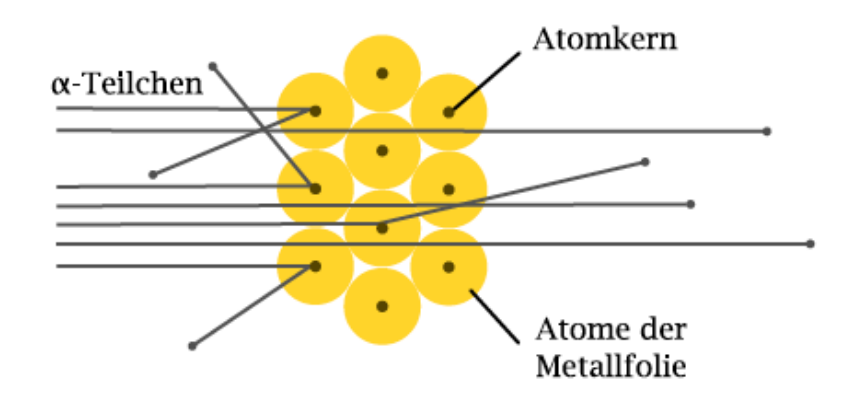


2.3. Das Proton und das Neutron



Das Rutherford Experiment





Folgerungen

Aus diesem experimentellen Befund und aus einer quantitativen Analyse der Winkelverteilung der α -Teilchen ergeben sich die folgenden Folgerungen:

- Verglichen mit dem Abstand zweier Atome ist der grösste Teil der Atommasse an einem winzigen Ort konzentriert. Dieser Ort wird als **Atomkern** bezeichnet. Sein Radius ist kleiner als 10⁻¹⁴ m.
- Die α-Teilchen werden von den Atomkernen elektrostatisch abgestossen. Der Atomkern ist also positiv geladen und die Kernladung eines Atoms mit Z Elektronen beträgt Ze, also ein ganzzahliges Vielfaches der Elementarladung e.
- Die Elektronen bilden eine lockere Hülle um den Atomkern. Der Radius dieser **Elektronenhülle** liegt im Bereich von 10⁻¹⁰ m.



Teilchen	$\frac{q}{e}$	$\frac{q}{m}/\frac{e}{m_{ m H}+}$	$rac{m}{m_{ m H}+}$	Z	Anzahl Protonen	Anzahl Neutronen
H+ {	1	1.00	1	1	1	0
$\mathrm{He^{2+}}$	$\frac{1}{2}$	~ 0.50 ~ 0.50	~ 2 ~ 4	$\frac{1}{2}$	$\frac{1}{2}$	$\frac{1}{2}$
	8	~ 0.50	~ 16	8	8	8
O_{8+}	8 8	~ 0.47 ~ 0.44	~ 17 ~ 18	8 8	8 8	9 10



Tabelle 2.1.: Zusammenstellung einiger Eigenschaften von Protonen und Neutronen.

	Proton	Neutron
Ruhemasse	$m_{\rm p} = 1.67262192369(51)\cdot 10^{-27}{\rm kg}$	$m_{\rm n} = 1.67492749804(95)\cdot 10^{-27}{\rm kg}$
Ladung	$q_{\rm p} = e = 1.602176634\cdot 10^{-19}{\rm C}$	$q_{\rm n} = 0$
Spin	$s = \frac{1}{2}, m_s = \pm \frac{1}{2}$	$s = \frac{1}{2}, m_s = \pm \frac{1}{2}$





Atomkerne bestehen aus Proton und Neutronen (sog. Nukleonen)

Ordnungszahl Z gibt die Anzahl der Protonen an **Massenzahl A** gibt die Anzahl der Nukleonen an

A-Z ist die Anzahl der Neutronen.

Atome mit gleicher Ordnungszahl aber unterschiedlicher Massenzahl werden als **Isotope** bezeichnet.

Nomenklatur:

 $_{Z}^{A}\mathrm{X}$



Beispiel 2-4: Natürlich vorkommende Krypton-Isotope

	Anzahl				
Atom	Protonen	Elektronen	Nukleonen	Neutronen	
	Z	Z	A	A - Z	
$^{78}_{36}$ Kr	36	36	78	42	
$_{36}^{80}{ m Kr}$	36	36	80	44	
$_{36}^{82}{ m Kr}$	36	36	82	46	
$_{36}^{83}{ m Kr}$	36	36	83	47	
$^{84}_{36}{ m Kr}$	36	36	84	48	
78Kr 36Kr 36Kr 82Kr 83Kr 84Kr 84Kr 86Kr	36	36	86	50	



2.4. Der Massendefekt

Die Masse eines Atoms ist stets kleiner als die Summe der Massen der Elementarteilchen (Protonen, Neutronen, Elektronen) aus denen es aufgebaut ist. Diese Abweichung nennt man **Massendefekt** Δm . Für ein Atom A_Z X kann der Massendefekt gemäss

$$\Delta m_{AX} = Z(m_{\rm p} + m_{\rm e}) + \underbrace{(A - Z)}_{\text{Anzahl}} \quad m_{\rm n} - m_{AX}$$
 (2.16)

berechnet werden. Die Ordnungszahl Z entspricht dabei gerade der Anzahl Protonen und Elektronen.



Ursache für den Massendefekt

Um ein Atom in seine Elementarteilchen zu zerlegen, muss Energie aufgewendet werden. Umgekehrt wird bei der Bildung von Atomen aus seinen ungebundenen Bestandteilen (Protonen, Neutronen, Elektronen) Energie freigesetzt. Diesen Energiebetrag bezeichnet man als **Bindungsenergie**. Dieser freigesetzte Energiebetrag ist verantwortlich für den Massendefekt, denn gemäss der von Albert Einstein (1879–1955) gefundenen Beziehung

$$E = mc_0^2 \tag{2.17}$$

besteht ein proportionaler Zusammenhang zwischen der Energie E und der Masse m eines Körpers, wobei die Proportionalitätskonstante dem Quadrat der Lichtgeschwindigkeit im Vakuum (c_0) entspricht. Deshalb resultiert aufgrund der bei der Bildung eines Atoms aus den ungebundenen Elementarteilchen freigesetzten Bindungsenergie $E_{\rm b}$ ein Massendefekt von

$$\Delta m = \frac{|E_{\rm b}|}{c_0^2}.\tag{2.18}$$

Beispiel 2-5: Massendefekt eines ⁴He-Atoms

Die Masse des ⁴He-Atoms beträgt $m_{^4\mathrm{He}}=4.002\,603\,254\,13(6)\,\mathrm{u}$. Somit beträgt der Massendefekt gemäss Gleichung (2.16)

$$\Delta m_{^4\text{He}} = 2(m_{\text{p}} + m_{\text{e}}) + 2m_{\text{n}} - m_{^4\text{He}} = 0.03037667121 \text{ u}.$$

Dies entspricht einer Bindungsenergie von

$$|E_{\rm b}| = \Delta m_{\rm ^{4}He} c_{0}^{2}$$

= $1.660\,539\,040 \cdot 10^{-27}\,\mathrm{kg}\,\mathrm{u}^{-1} \cdot 0.030\,376\,671\,21\,\mathrm{u}\,\left(2.997\,924\,58 \cdot 10^{8}\,\mathrm{m\,s}^{-1}\right)^{2}$
= $4.533\,469\,276 \cdot 10^{-12}\,\mathrm{J} = 28.295\,689\,86\,\mathrm{MeV}$.

Anmerkung zu den verwendeten Einheiten

Aus praktischen Gründen werden Messgrössen auf atomarer und molekularer Ebene vielfach nicht in SI-Einheiten angegeben. Dadurch lassen sich die häufig sehr kleinen Zehnerpotenzen vermeiden.

Die (vereinheitlichte) atomare Masseneinheit u ist definiert als der zwölfte Teil der Masse des Atoms $^{12}_{6}$ C:

$$1 \, \mathbf{u} = \frac{1}{12} \, m_{{}^{1}_{6}\mathbf{C}}.$$

Das Elektronenvolt eV entspricht der Energie, die ein Elektron beim Durchlaufen einer Spannungsdifferenz von exakt 1 V aufnimmt:

$$1 \, \text{eV} = |q_e| \cdot 1 \, \text{V} = e \cdot 1 \, \text{V}.$$

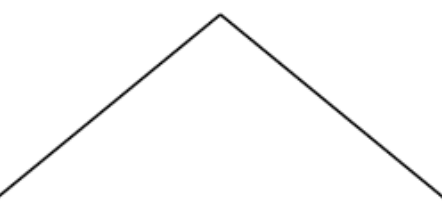
Wichtig zu beachten ist, dass physikalische Grössen, die nicht in SI-Einheiten angegeben sind, normalerweise nicht direkt in Formeln eingesetzt, sondern zuerst umgerechnet werden sollten. In Anhang E.3 sind einige Umrechnungsfaktoren zusammengestellt.



Atom	m/u^i	$\Delta m/\mathrm{u}^{ii}$	$ E_{\mathrm{b,E}} /\mathrm{eV}$	$\Delta m_{ m E}/{ m u}$	$rac{\Delta m_{ ext{E}}}{\Delta m}$
$^{1}\mathrm{H}$	1.0078250	$1.465 \cdot 10^{-8}$	13.59844	$1.4599 \cdot 10^{-8}$	100%
$^4{ m He}$	4.0026033	0.0303767	79.00515	$8.4816 \cdot 10^{-8}$	0.000279%
$^7{ m Li}$	7.0160041	0.0421303	203.4860	$2.1845 \cdot 10^{-7}$	0.000519%
$^9{ m Be}$	9.0121822	0.0624426	399.1491	$4.2850 \cdot 10^{-7}$	0.000686%
$^{11}\mathrm{B}$	11.0093054	0.0818093	670.9845	$7.2033 \cdot 10^{-7}$	0.000880%
$^{12}\mathrm{C}$	12.0000000	0.0989398	1030.106	$1.1059 \cdot 10^{-6}$	0.00112%
$^{238}\mathrm{U}$	238.0507882	1.9341938	$\sim 3.59 \cdot 10^{6 iii}$	$3.85 \cdot 10^{-3}$	0.2%

Standard-Modell

Materieteilchen



Leptonen

- Elektron
- Elektron-Neutrino
- Myon
- Myon-Neutrino
- Tau
- Tau-Neutrino

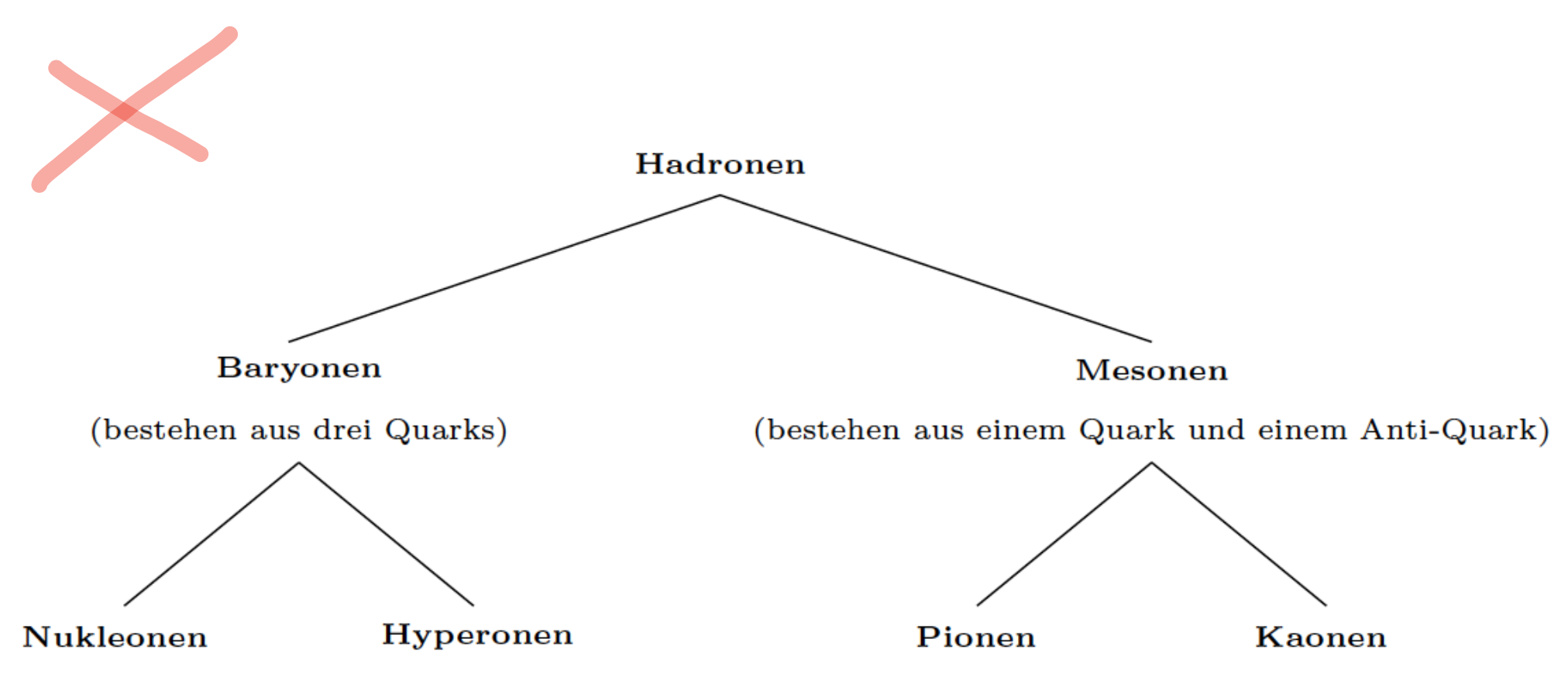
Quarks

- Up
- Down
- Charm
- Strange
- Top
- Bottom

Wechselwirkungen und Wechselwirkungsteilchen

- Higgs-Teilchen
- starke Wechselwirkung: Gluonen
- elektromagnetische Wechselwirkung: Photon
- elektroschwache Wechselwirkung: W^{\pm} -, Z-Teilchen
- Gravitation:

Graviton



- Proton
- Neutron



Tabelle 2.3.: Zusammenstellung der vier fundamentalen Wechselwirkungen. [Greiner (2000)]

starke Wechselwirkung

relative Stärke: 1

Reichweite: $\approx 1 \, \text{fm}$

Kraft: Anziehung zwischen Proton/Proton, Proton/Neutron und Neu-

tron/Neutron

«Bindungen»: bindet Nukleonen in Atomkernen

elektromagnetische Wechselwirkung

relative Stärke: 10^{-2}

Reichweite: unendlich

Kraft: Anziehung zwischen elektrisch unterschiedlich geladenen Teilchen,

Abstossung zwischen elektrisch gleich geladenen Teilchen

«Bindungen»: bindet Elektronen und Kerne in Atomen und Molekülen

elektroschwache Wechselwirkung

relative Stärke: 10^{-15}

Reichweite: $\ll 1 \, \text{fm}$

Gravitation

relative Stärke: 10^{-41}

Reichweite: unendlich

Kraft: Anziehung zwischen Teilchen mit Masse

≪Bindungen≫: bindet Planeten und Sterne in Galaxien





Nobelpreis für Physik 2023



III. Niklas Elmehed © Nobel Prize Outreach

Pierre Agostini

Prize share: 1/3



III. Niklas Elmehed © Nobel Prize Outreach

Ferenc Krausz

Prize share: 1/3



III. Niklas Elmehed © Nobel Prize Outreach

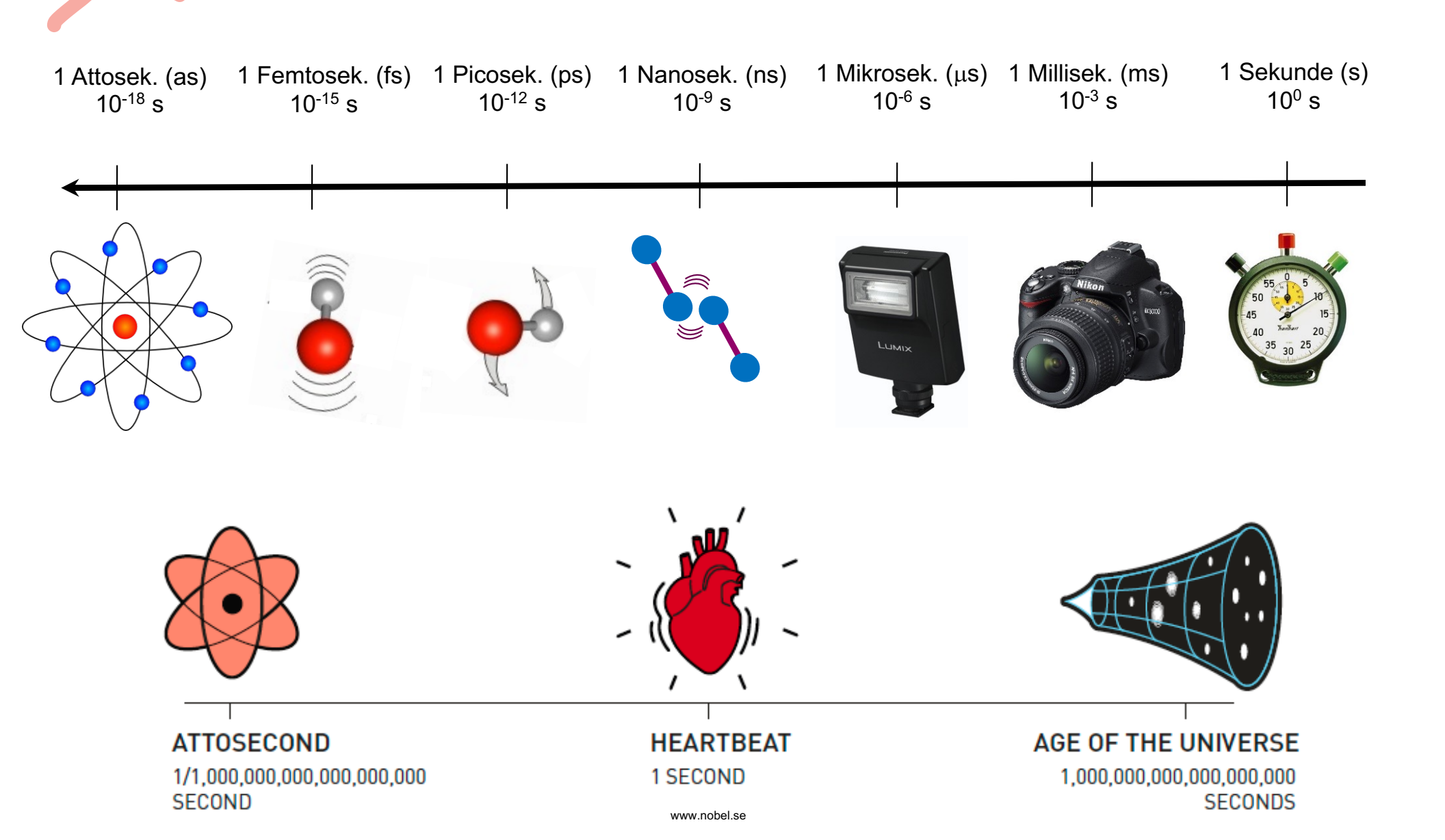
Anne L'Huillier

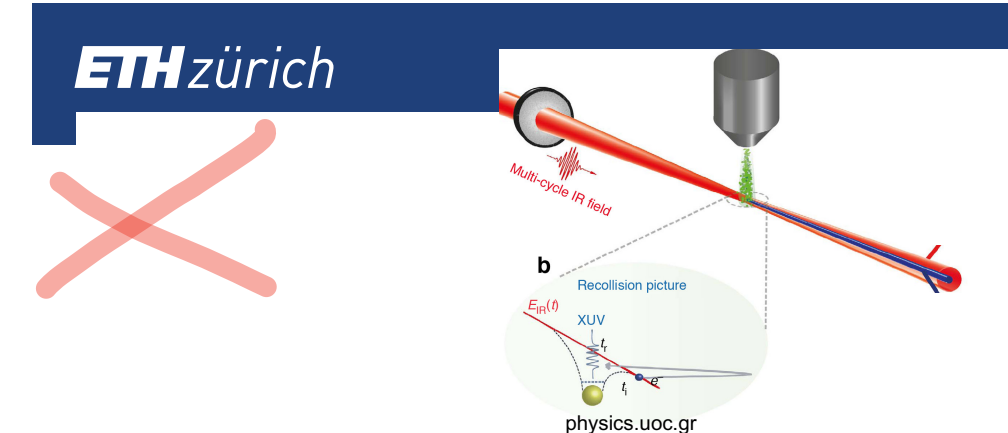
Prize share: 1/3

The Nobel Prize in Physics 2023 was awarded to Pierre Agostini, Ferenc Krausz and Anne L'Huillier "for experimental methods that generate attosecond pulses of light for the study of electron dynamics in matter"



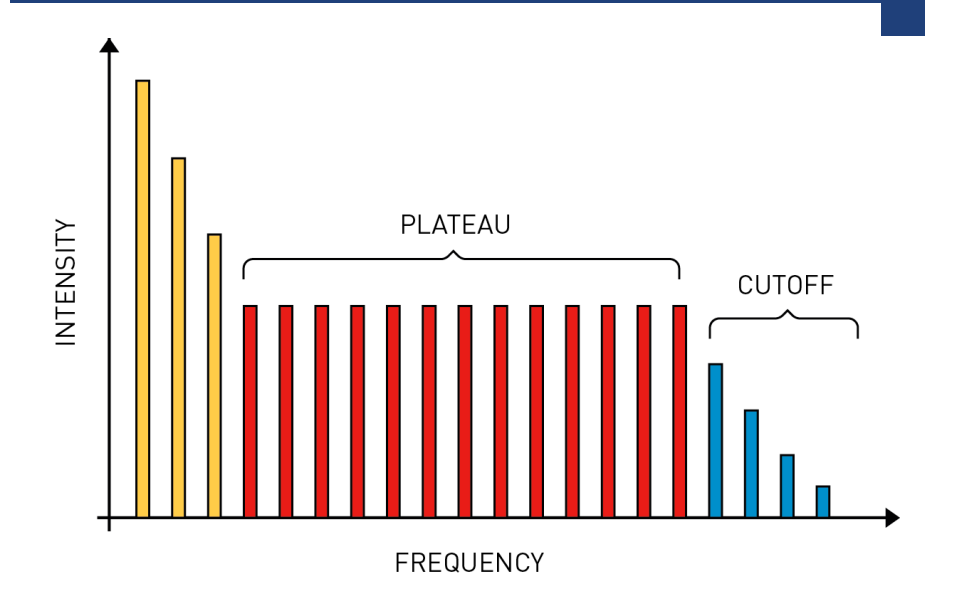
Beispiel für die Verwendung von Präfixen: Zeitskalen





The world of electrons is explored with the shortest of light pulses

When laser light is transmitted through a gas, ultraviolet overtones arise from the atoms in the gas. In the right conditions, these overtones may be in phase. When their cycles coincide, concentrated attosecond pulses are formed.



OVERTONES ARE SUPERIMPOSED

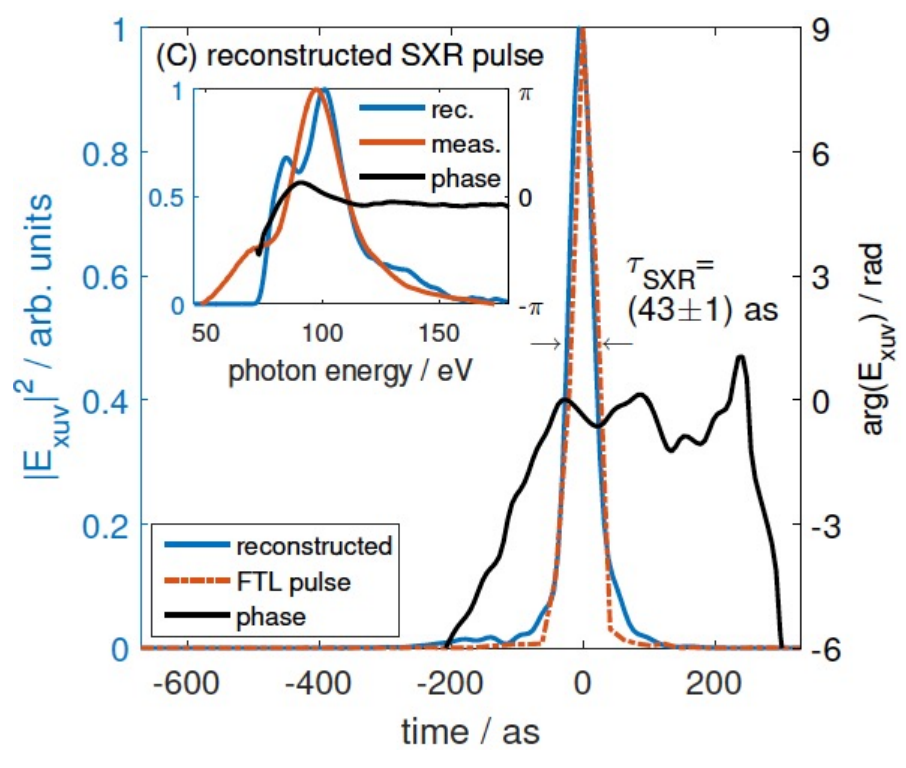
www.nobel.se

REINFORCE OR CANCEL EACH OTHER

ATTOSECOND PULSES

Weltrekord: Der kürzeste Lichtblitz (43 Attosekunden)





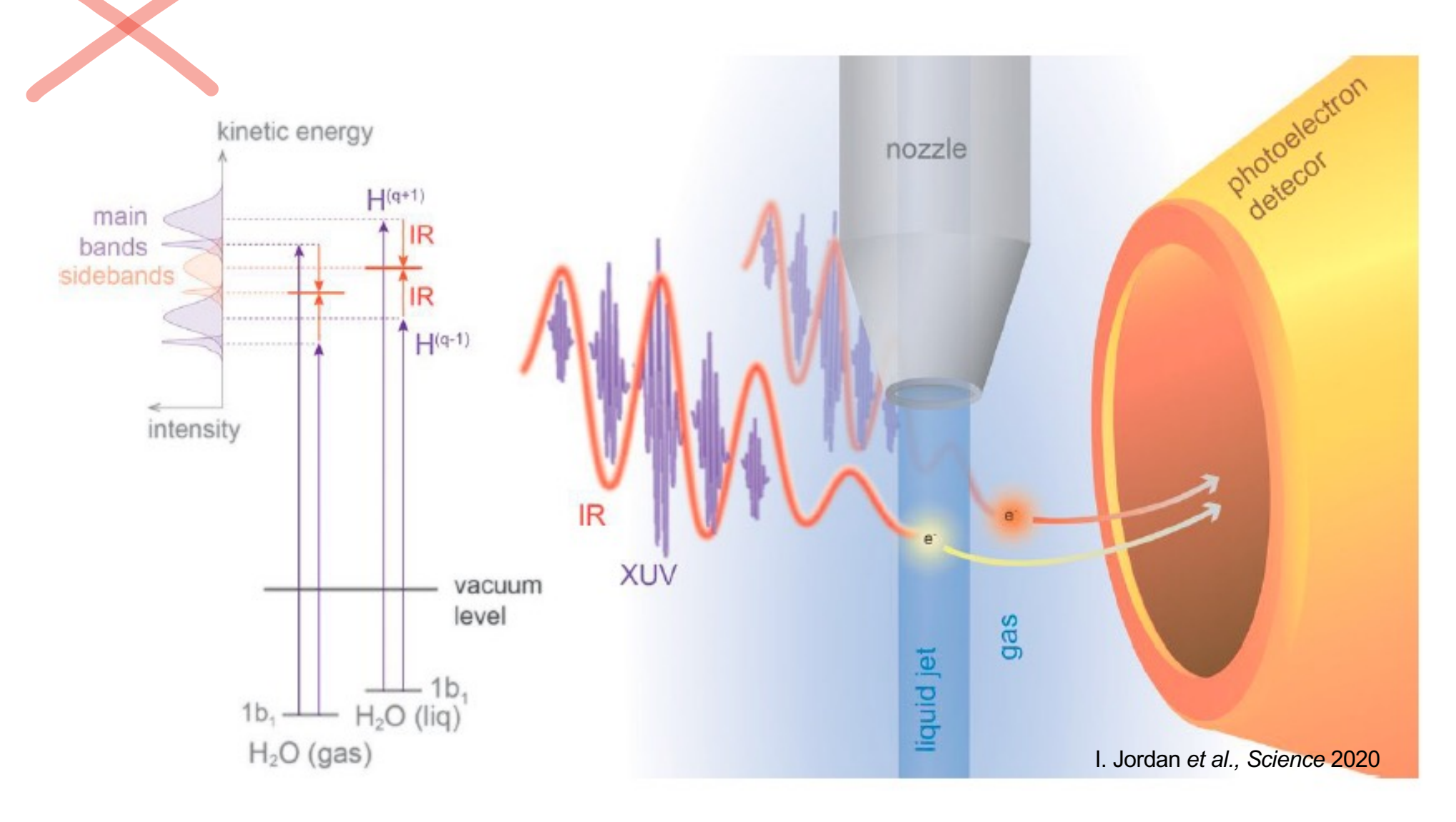
T. Gaumnitz et al., Opt. Exp. 2017

Kürzester Laserpuls

ETH-Forscher haben einen Röntgenlaserpuls von nur 43 Attosekunden Dauer geschaffen. Das ist das kürzeste je kontrollierte Ereignis.



Was kann man mit Attosekundenpulsen messen?



Die Zeitverzögerung zwischen Elektronen, die aus flüssigem bzw. gasförmigem Wasser emittiert wurden, beträgt 50 – 70 Attosekunden.



Eine Analogie für den Brout-Englert-Higgs Mechanismus

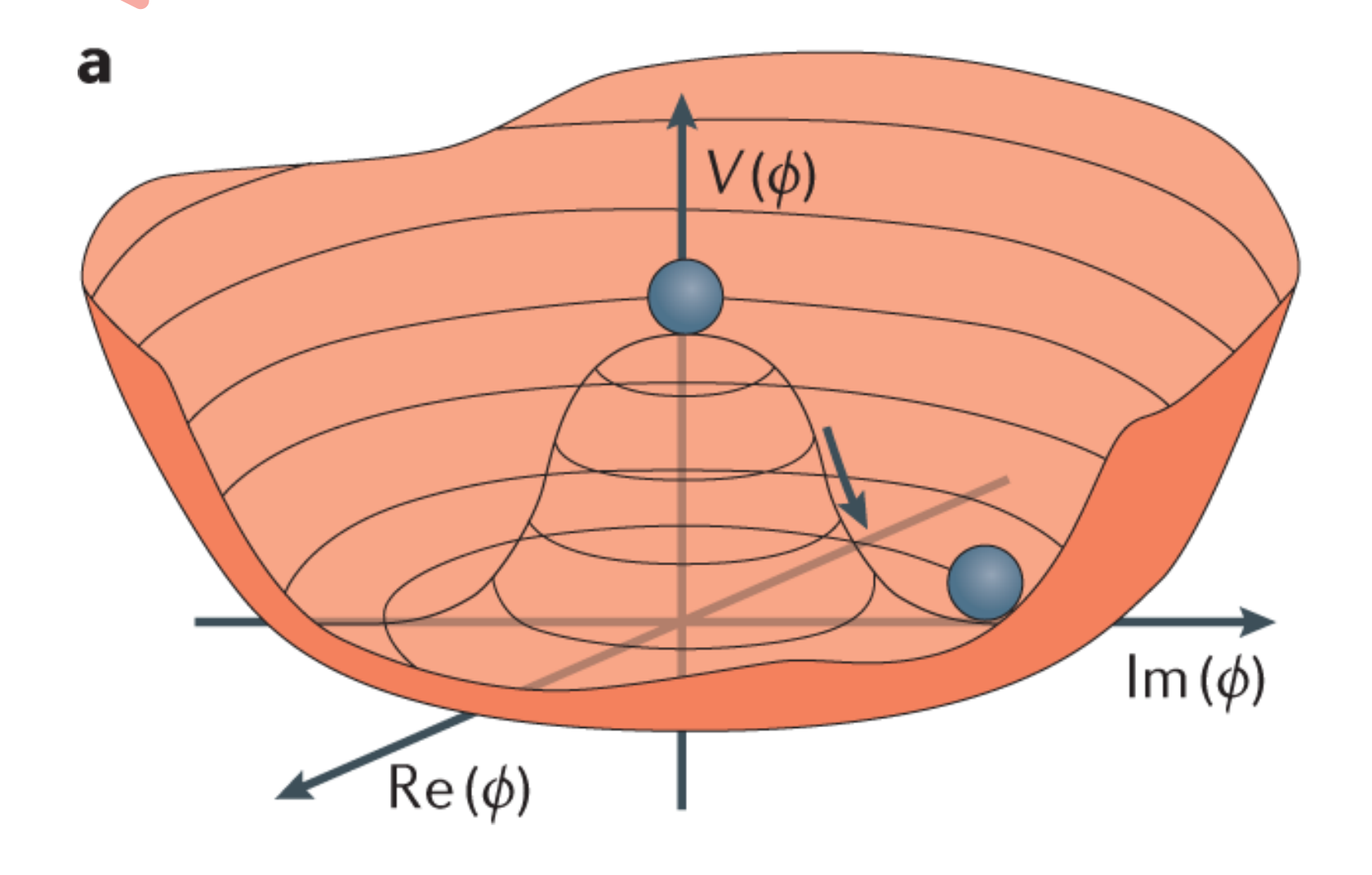






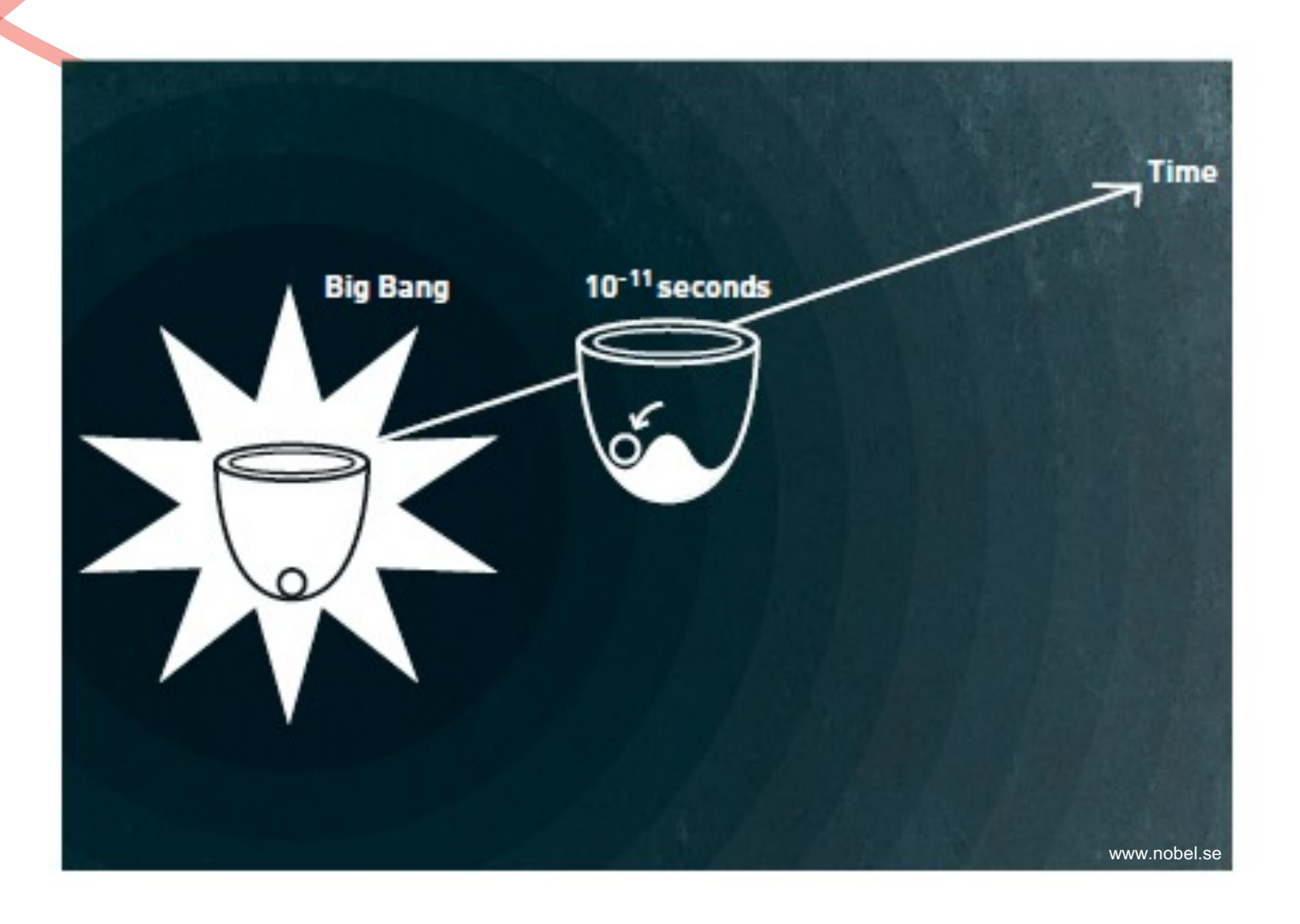


Der Brout-Englert-Higgs Mechanismus





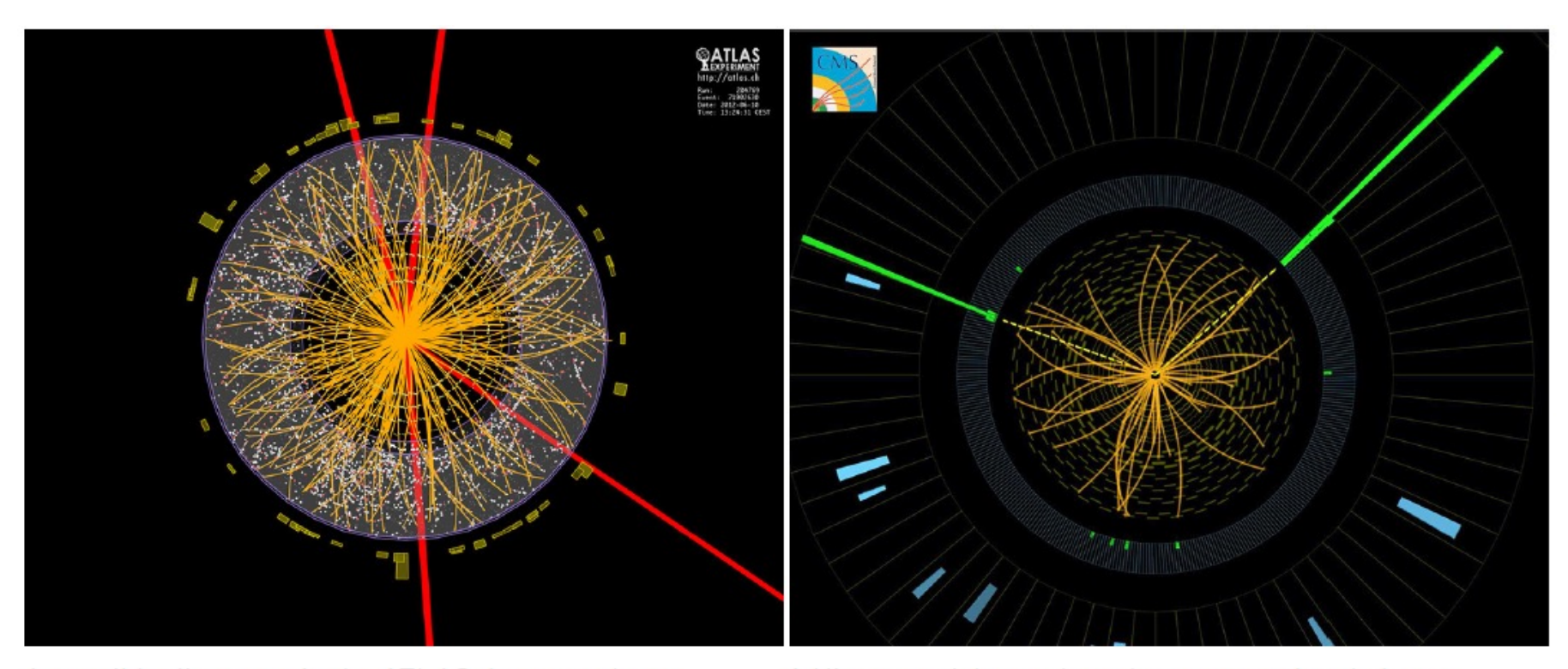
Die Symmetriebrechung am Ursuprung des Universums







Entdeckung des Higgs Teilchens



A possible discovery in the ATLAS detector shows tracks of four muons (red) that have been created by the instantly decayed into two photons. Their tracks (green) decay of the short-lived Higgs particle.

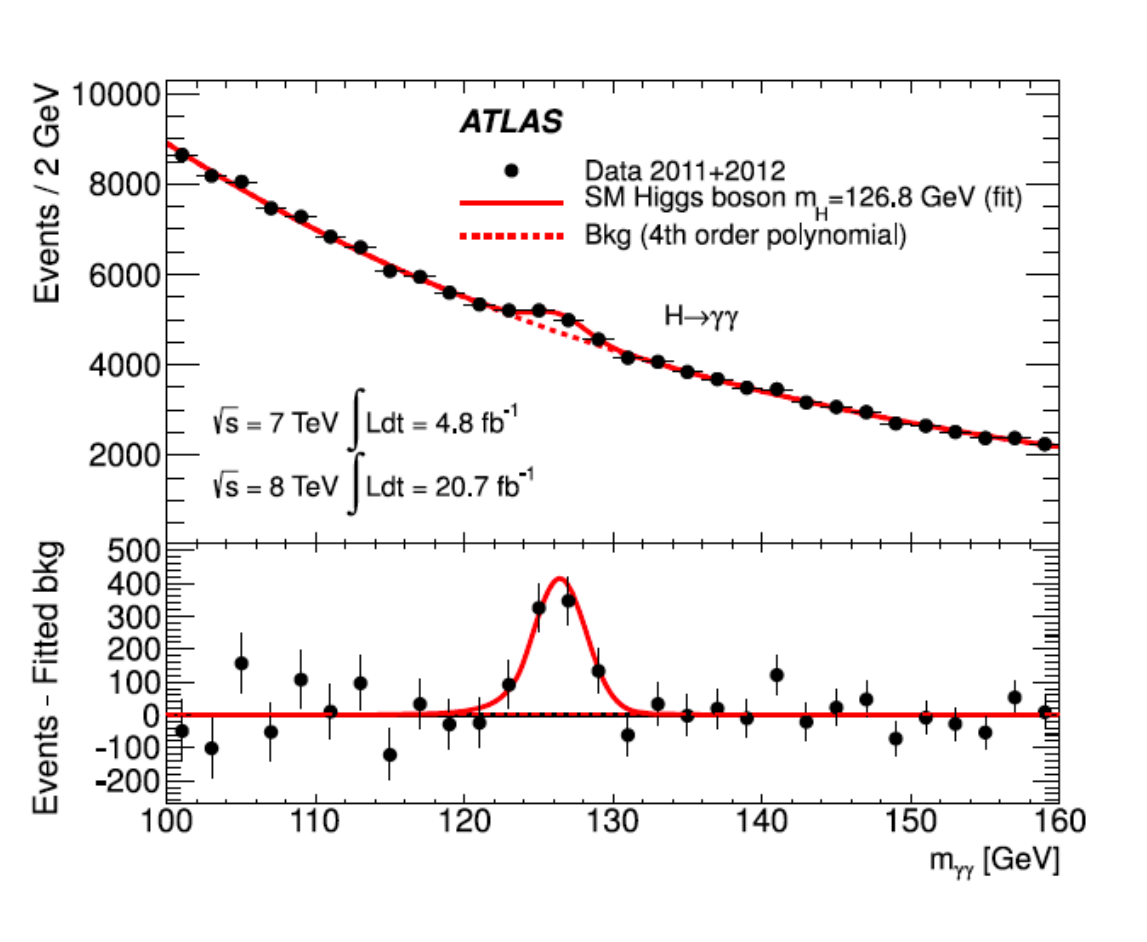
Image: CERN, http://cds.cern.ch/record/1459496

A Higgs particle can have been created and almost are visible here in the CMS detector.

Image: CERN, http://cds.cern.ch/record/1459459

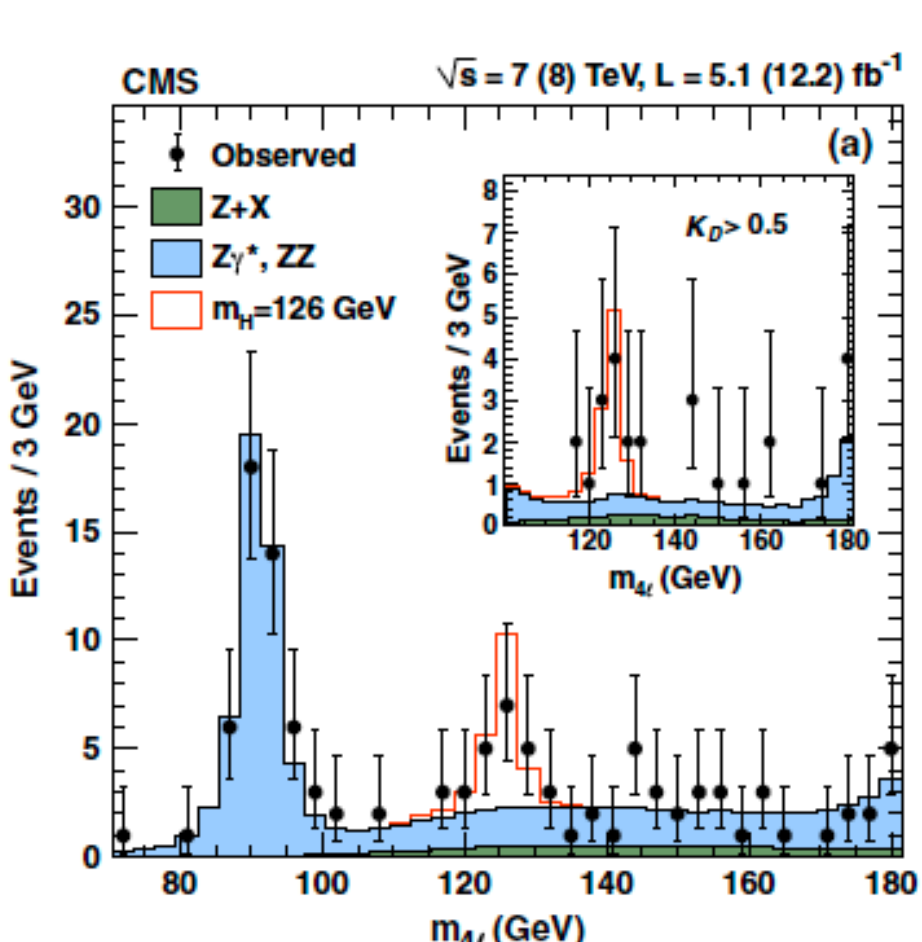


Entdeckung des Higgs Teilchens



80 100 120 140 m_{4ℓ} (GeV)

Phys. Lett. B 726, 88 (2013)



Phys. Rev. Lett. 110, 081803 (2013)



1897: Thomson entdeckt das Elektron 1919: Rutherford entdeckt das Proton 1932: Chadwick entdeckt das Neutron

1933: Pauli formuliert die Neutrino-Hypothese, um den β-Zerfall zu erklären



Figure 1: Wolfgang Pauli (1900-1958) in Vienna 1933.



Physikalisches Institut der Eidg. Technischen Hochschule Zürich

Zürich, 4. Dez. 1930

Liebe Radioaktive Damen und Herren!

Wie der Überbringer dieser Zeilen, den ich huldvollst anzuhören bitte, Ihnen des näheren auseinandersetzen wird, bin ich angesichts der falschen Statistik der N- und Li 6-Kerne, sowie des kontinuierlichen β -Spektrums auf einen verzweifelten Ausweg verfallen, um den Wechselsatz der Statistik¹ und den Energiesatz zu retten. Nämlich die Möglichkeit, es könnten elektrisch neutrale Teilchen, die ich Neutronen² nennen will, in den Kernen existieren, welche den Spin 1/2 haben und das Ausschließungsprinzip befolgen und sich von Lichtquanten außerdem noch dadurch unterscheiden, daß sie nicht mit Lichtgeschwindigkeit laufen. — Das kontinuierliche β -Spektrum wäre dann verständlich unter der Annahme, daß beim β -Zerfall mit dem Elektron jeweils noch ein Neutron emittiert wird, derart, daß die Summe der Energien von Neutron und Elektron konstant ist.

Nun handelt es sich weiter darum, welche Kräfte auf die Neutronen wirken. Das wahrscheinlichste Modell für das Neutron scheint mir aus wellenmechanischen Gründen dieses zu sein, daß das ruhende Neutron ein magnetischer Dipol von einem gewissen Moment μ ist. Die Experimente verlangen wohl, daß die ionisierende Wirkung eines solchen Neutrons nicht größer sein kann als die eines γ -Strahls, und dann darf μ wohl nicht größer sein als $e \cdot (10^{-13} \text{ cm})$. Ich traue mich vorläufig aber nicht, etwas über diese Idee zu publizieren, und wende mich erst vertrauensvoll an Euch, liebe Radioaktive, mit der Frage, wie es um den experimentellen Nachweis eines solchen Neutrons stände, wenn dieses ein ebensolches oder etwa 10mal größeres Durchdringungsvermögen besitzen würde wie ein γ -Strahl. . . .

Also, liebe Radioaktive, prüfet, und richtet.—Leider kann ich nicht persönlich in Tübingen erscheinen, da ich infolge eines in der Nacht vom 6. zum 7. Dez. in Zürich stattfindenden Balles hier unabkömmlich bin. . . . Euer untertänigster Diener W. Pauli

¹Heute Pauli'sches Ausschließungsprinzip

²Heute Neutrinos



Nobelpreis für Physik 2015



Photo: A. Mahmoud Takaaki Kajita Prize share: 1/2



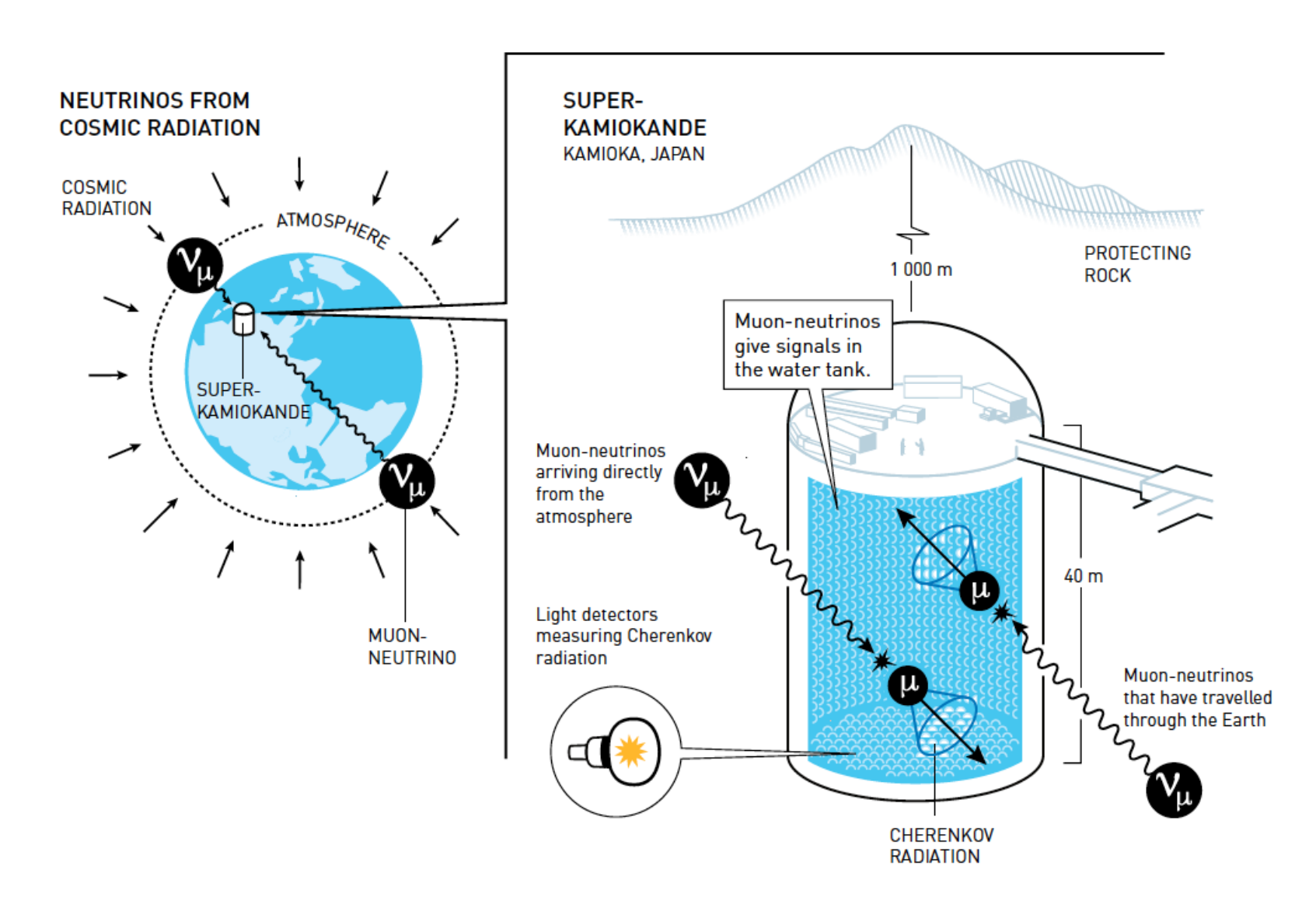
Photo: A. Mahmoud Arthur B. McDonald Prize share: 1/2

The Nobel Prize in Physics 2015 was awarded jointly to Takaaki Kajita and Arthur B. McDonald "for the discovery of neutrino oscillations, which shows that neutrinos have mass"

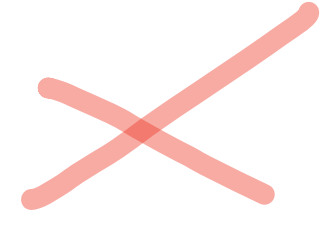


Nachweis von Neutrinos

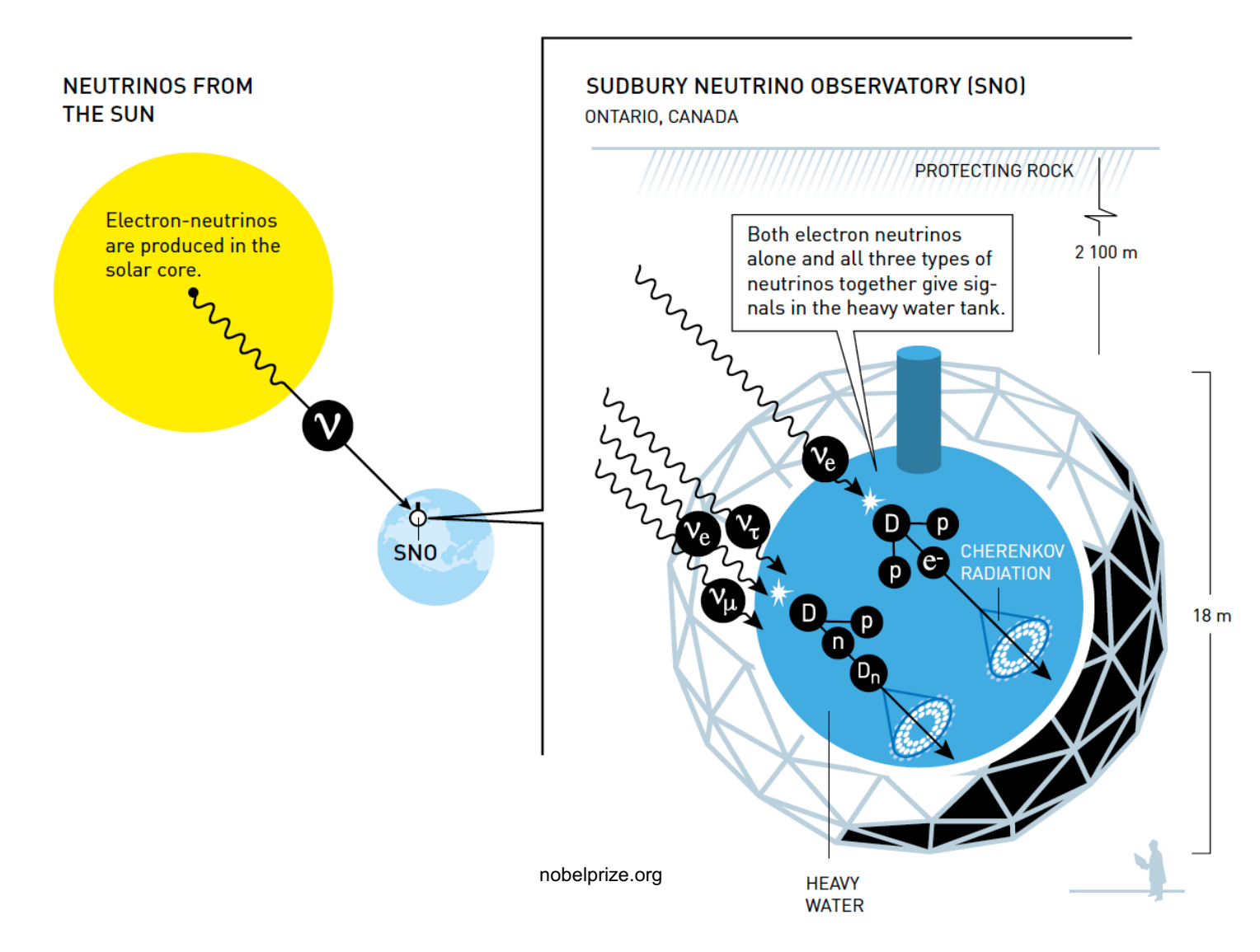
Neutrinofluss auf Erdoberfläche: 7x10¹⁰ Neutrinos/cm²/s





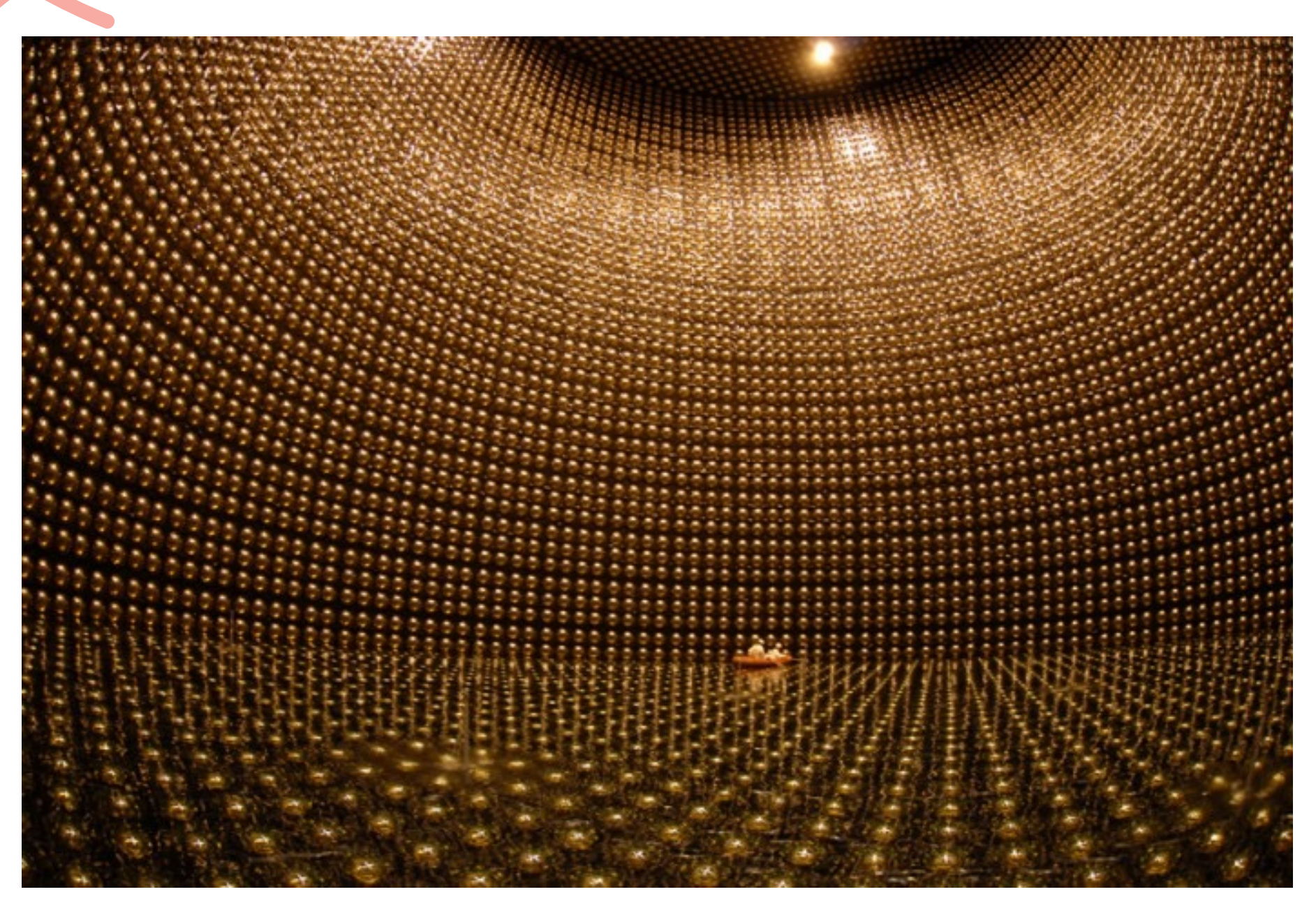


Nachweis von Neutrinos





Nachweis von Neutrinos





3. Radioaktiver Zerfall und Kernreaktionen

1896: Becquerel entdeckt, dass Pechblende und Uranerz «Strahlen» aussenden

1903: Marie und Pierre Curie isolieren Polonium und Radium aus Pechblende

1919: Rutherford erzielt die erste künstliche Umwandlung eines Elements:

$$^{14}_{7}\text{N} + ^{4}_{2}\text{He}^{2+} \longrightarrow ^{17}_{8}\text{O}^{+} + ^{1}_{1}\text{H}^{+}$$

3.1. Kinetik des radioaktiven Zerfalls

- Stochastischer Prozess
 - Wird nicht von äusseren Bedingungen beeinflusst
 - Wahrscheinlichkeit, dass ein ggb. Atomkern innerhalb eines Zeitabschnitts zerfällt ist konstant
 - Wann ein bestimmter Atomkern zerfällt lässt sich nicht voraussagen
 - Zerfallswahrscheinlichkeit hängt nicht von Produkten ab
- Mathematische Beschreibung
 - Konstante Zerfallswahrscheinlichkeit
 - Unabhängigkeit der einzelnen Zerfallsakte
- → Anzahl der Zerfälle pro Zeitintervall dt ist propotional zur Anzahl momentan vorhandener Atomkerne N

Anzahl der Zerfälle entspricht der Abnahme der Anzahl radioaktiver Atome (-dN)

$$-\frac{\mathrm{d}N}{\mathrm{d}t} = kN$$

ETH zürich

- N=N(t) wird als eine kontinuierliche Funktion betrachtet.
- Damit erhält man eine Differentialgleichung

$$-\frac{\mathrm{d}N}{\mathrm{d}t} = kN \quad \Leftrightarrow \quad \frac{\mathrm{d}N}{\mathrm{d}t} = -kN \quad \Leftrightarrow \quad \frac{\mathrm{d}N}{N} = -k\mathrm{d}t$$

Schliesslich findet man N(t) mittels bestimmter Integration zwischen t_0 und t respektive den entsprechenden Anzahlen $N(t_0)$ und N(t):

$$\int_{N(t_0)}^{N(t)} \frac{dN'}{N'} = -k \int_{t_0}^{t} dt'$$

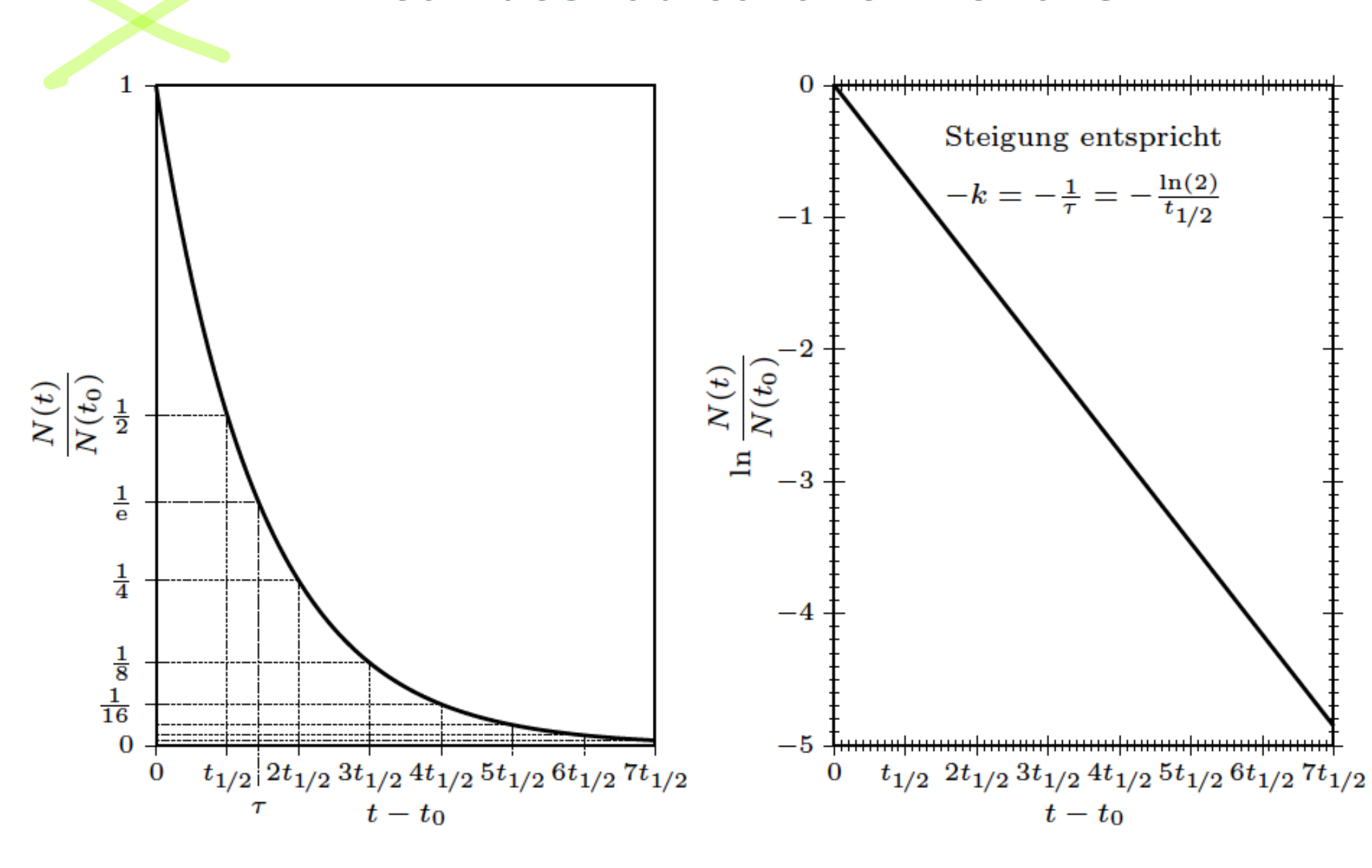
$$\left[\ln N\right]_{N(t_0)}^{N(t)} = \ln (N(t)) - \ln (N(t_0)) = -k(t - t_0)$$

$$\ln \left(\frac{N(t)}{N(t_0)}\right) = -k(t - t_0)$$

$$\Rightarrow N(t) = N(t_0) e^{-k(t - t_0)} . \tag{3.3}$$



Kinetik des radioaktiven Zerfalls





Definition der Halbwertszeit t_{1/2}

$$N(t + t_{1/2}) = \frac{N(t)}{2}. (3.4)$$

Aus dieser Bedingung findet man zusammen mit Gleichung (3.3) den folgenden Zusammenhang zwischen der Halbwertszeit $t_{1/2}$ und der Zerfallskonstante k:

$$N(t_0) e^{-k(t+t_{1/2}-t_0)} = \frac{N(t_0) e^{-k(t-t_0)}}{2}$$

$$\frac{e^{-k(t-t_0)}}{e^{-k(t+t_{1/2}-t_0)}} = e^{k(-t+t_0+t+t_{1/2}-t_0)} = e^{kt_{1/2}} = 2$$

$$t_{1/2} = \frac{\ln(2)}{k}.$$
(3.5)



Definition der Lebenszeit τ

$$N\left(t+\tau\right) = \frac{N(t)}{\mathrm{e}} \; ,$$

woraus analog wie oben die Beziehung

$$au = rac{1}{k}$$

folgt.



Definition der Aktivität

Unter der **Aktivität** A einer radioaktiven Probe versteht man die Anzahl Zerfälle pro Sekunde. v^i Somit gilt für eine Probe, bestehend aus einer einzelnen radioaktiven Atomsorte,

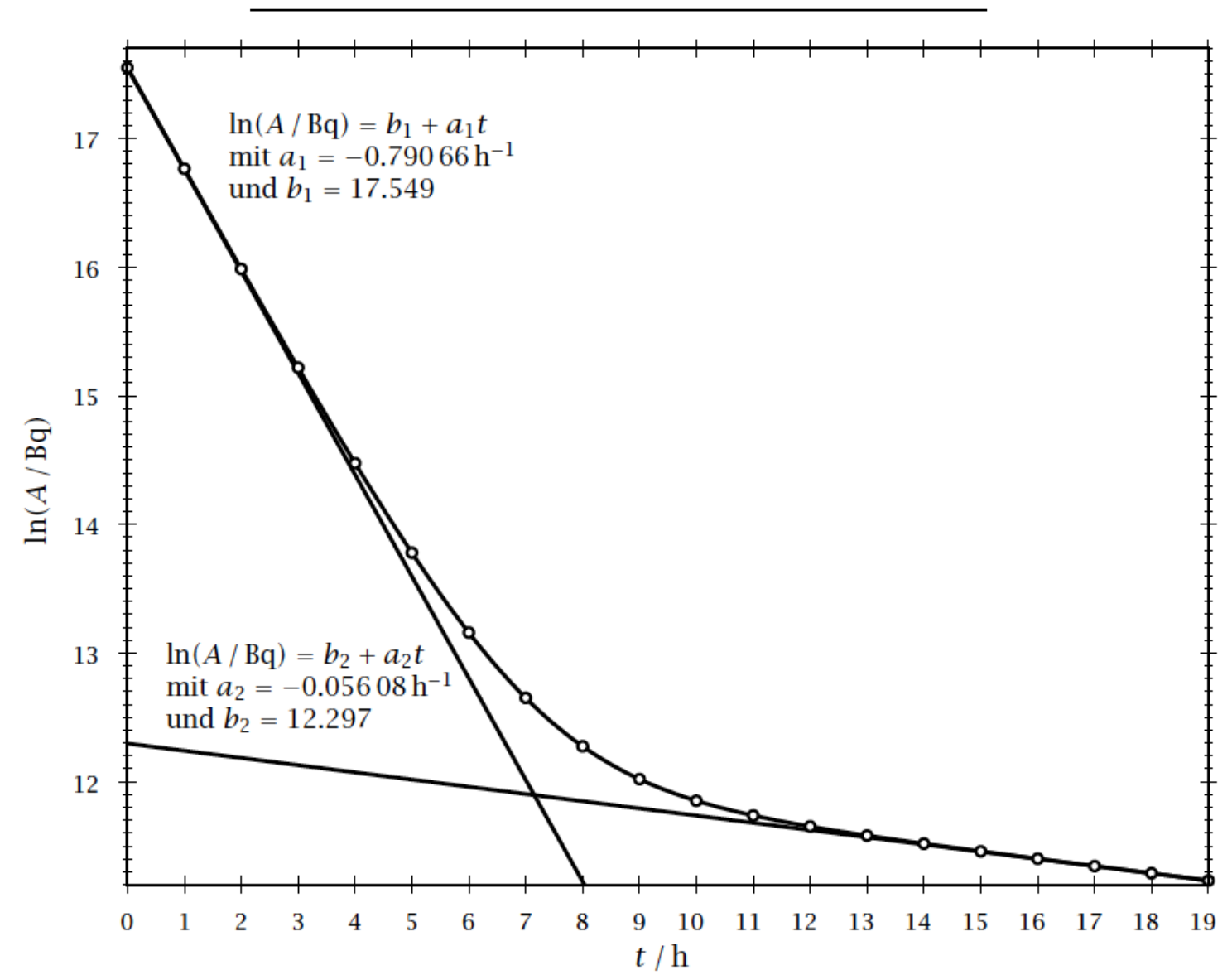
$$A = -\frac{\mathrm{d}N}{\mathrm{d}t} \ . \tag{3.6}$$

Daraus ergibt sich mit Hilfe von Gleichung (3.2) die Beziehung

$$A = kN. (3.7)$$



t/h	A/Bq	t/h	A/Bq		t/h	A/Bq
0	41 843 771	7	312 208	-	14	100 521
1	19085731	8	214349		15	94720
2	8758075	9	165998		16	89410
3	4068470	10	140318		17	84468
4	1936275	11	125124		18	79832
5	964265	12	114880		19	75464
6	518720	13	107064			





Parallelreaktionen

Zerfallsgesetz für Mutternuklid:

$$-\frac{\mathrm{d}N_{\mathrm{A}}}{\mathrm{d}t} = k_{\mathrm{A}}N_{\mathrm{A}} \ . \tag{3.8}$$

Die Lösung dieser Differentialgleichung ist in Gleichung (3.3) gegeben und lautet

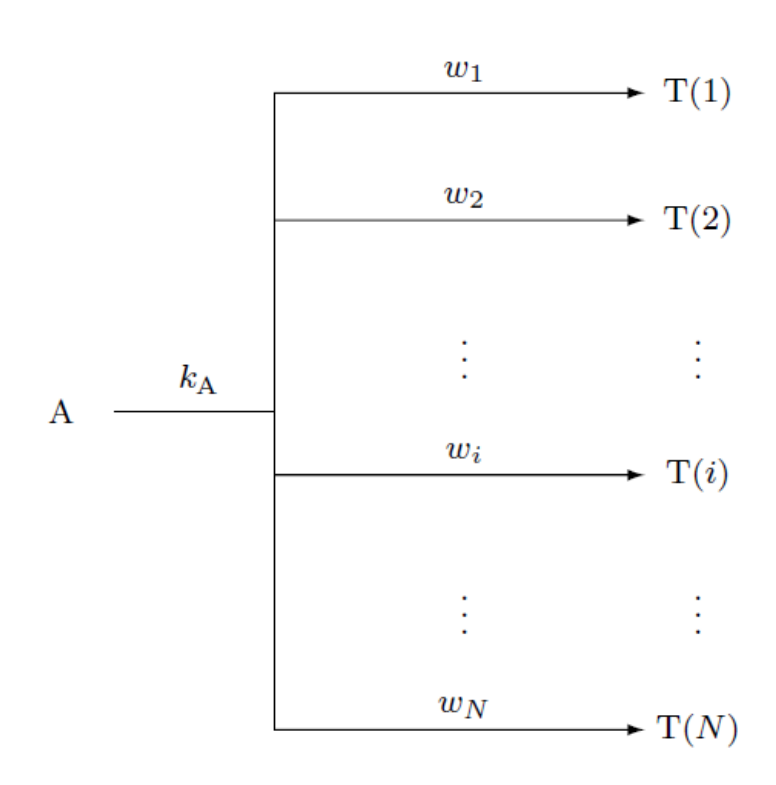
$$N_{\rm A}(t) = N_{\rm A}(t_0) \,\mathrm{e}^{-k_{\rm A}(t-t_0)}$$
 (3.9)

Bildungsgesetze für Tochternuklide:

$$\frac{\mathrm{d}N_{\mathrm{T}(i)}}{\mathrm{d}t} = -w_i \frac{\mathrm{d}N_{\mathrm{A}}}{\mathrm{d}t} \stackrel{(3.8)}{=} w_i k_{\mathrm{A}} N_{\mathrm{A}}$$

gelten, wobei

$$\sum_{i=1}^{N} w_i = 1$$



ETH zürich

Parallelreaktionen

$$\frac{\mathrm{d}N_{\mathrm{T}(i)}}{\mathrm{d}t} = w_i k_{\mathrm{A}} N_{\mathrm{A}} \quad \stackrel{(3.9)}{=} \quad w_i k_{\mathrm{A}} N_{\mathrm{A}}(t_0) \,\mathrm{e}^{-k_{\mathrm{A}}(t-t_0)}$$

$$\Leftrightarrow \quad \mathrm{d}N_{\mathrm{T}(i)} \quad = \quad w_i k_{\mathrm{A}} N_{\mathrm{A}}(t_0) \,\mathrm{e}^{-k_{\mathrm{A}}(t-t_0)} \mathrm{d}t.$$

 $N_{\mathrm{T}(i)}(t)$ findet man schliesslich mittels bestimmter Integration zwischen $N_{\mathrm{T}(i)}(t_0)$ und $N_{\mathrm{T}(i)}(t)$ beziehungsweise den entsprechenden Zeitpunkten t_0 und t:

$$\int_{N_{T(i)}(t_0)}^{N_{T(i)}(t)} dN_{T(i)} = w_i k_A N_A(t_0) \int_{t_0}^t e^{-k_A (t'-t_0)} dt'$$

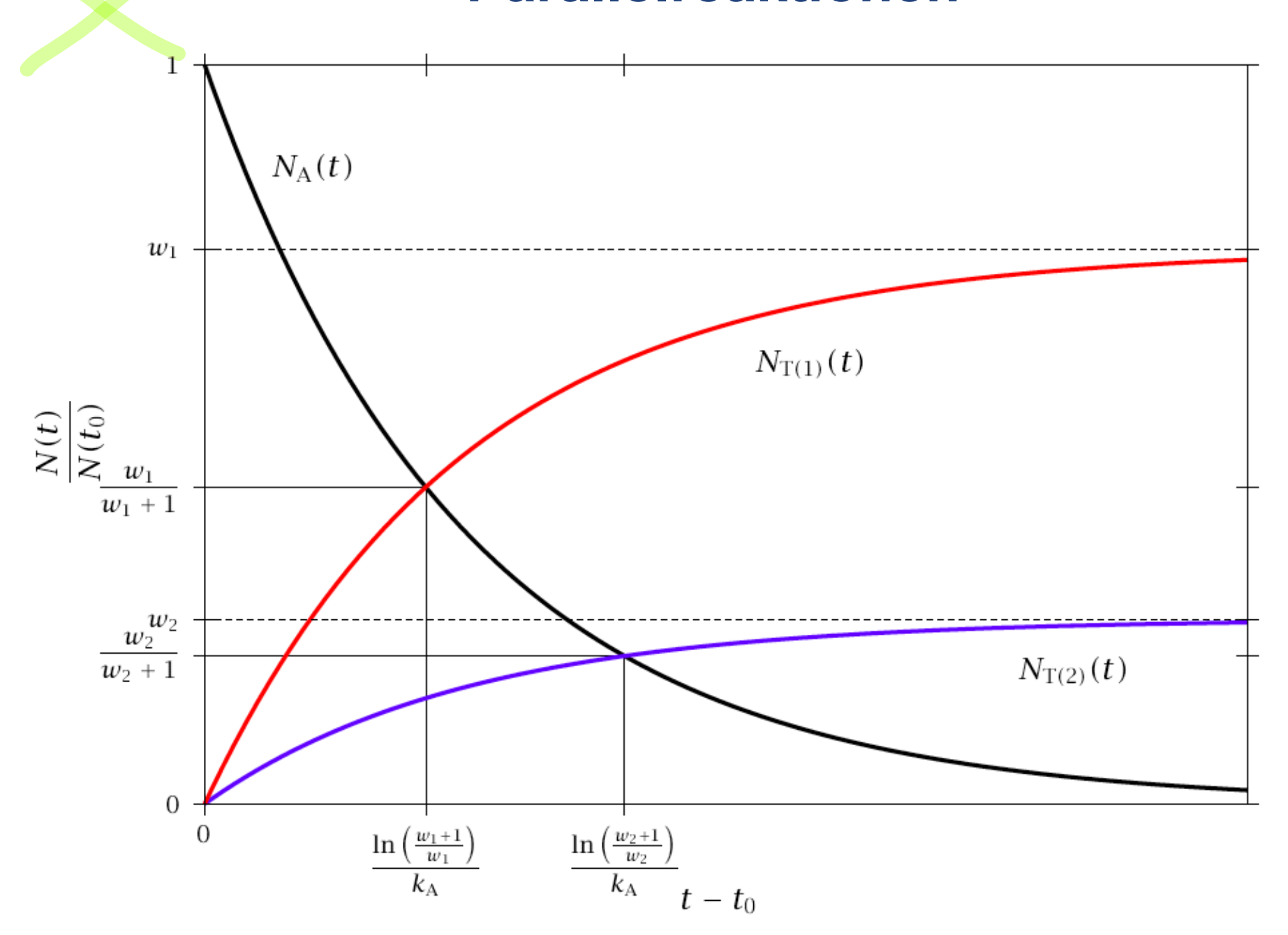
$$N_{T(i)}(t) - \underbrace{N_{T(i)}(t_0)}_{=0} = -w_i N_A(t_0) \left[e^{-k_A (t'-t_0)} \right]_{t_0}^t = -w_i N_A(t_0) \left(e^{-k_A (t-t_0)} - 1 \right)$$

$$\Rightarrow N_{T(i)}(t) = w_i N_A(t_0) \left(1 - e^{-k_A (t-t_0)} \right) . \tag{3.11}$$

Aus Gleichung (3.11) geht hervor, dass unter den gegebenen Bedingungen das Verhältnis der Teilchenzahlen zweier Produktnuklide T(i) und T(j)

$$\frac{N_{\mathrm{T}(i)}(t)}{N_{\mathrm{T}(j)}(t)} = \frac{w_i}{w_j} \quad (t > 0)$$
 (3.12)

Parallelreaktionen







$$T(1) \xrightarrow{k_1} T(2) \xrightarrow{k_2} T(3) \xrightarrow{k_3} T(4) \xrightarrow{k_4} \cdots \xrightarrow{k_N} T(N+1)$$

Differentialgleichung für jedes Nuklid der Kette:

$$\frac{\mathrm{d}N_{\mathrm{T}(i)}}{\mathrm{d}t} = \underbrace{k_{i-1}N_{\mathrm{T}(i-1)} - k_{i}N_{\mathrm{T}(i)}}_{\mathrm{Bildung}} \quad (1 \le i \le N+1) \tag{3.14}$$

Keine Bildung der Mitternuklids / kein Zerfall des Endprodukts:

$$k_0 = k_{N+1} = 0$$



$$T(1) \xrightarrow{k_1} T(2) \xrightarrow{k_2} T(3) \xrightarrow{k_3} T(4) \xrightarrow{k_4} \cdots \xrightarrow{k_N} T(N+1)$$

$$\frac{dN_{T(i)}}{dt} = k_{i-1}N_{T(i-1)} - k_iN_{T(i)} \quad (1 \le i \le N+1)$$
(3.14)

Integration der Differentialgleichung (3.14)

$$N_{\mathrm{T}(i)}(t) = e^{-k_i t} \left(k_{i-1} \int N_{\mathrm{T}(i-1)}(t) e^{k_i t} dt + K_i \right) \quad (1 \le i \le N+1)$$

Vereinfachung für erstes/letztes Glied:

$$N_{\mathrm{T}(1)}(t) = K_1 e^{-k_1 t},$$

 $N_{\mathrm{T}(N+1)}(t) = k_N \int N_{\mathrm{T}(N)}(t) dt + K_{N+1}.$





$$T(1) \xrightarrow{k_1} T(2) \xrightarrow{k_2} T(3) \xrightarrow{k_3} T(4) \xrightarrow{k_4} \cdots \xrightarrow{k_N} T(N+1)$$

Anfangsbedingung zur Bestimmung von K₁:

$$N_{\mathrm{T}(1)}(t_0) = K_1 e^{-k_1 t_0}$$

Zeitentwicklung des Mutternuklids:

$$N_{\mathrm{T}(1)}(t) = N_{\mathrm{T}(1)}(t_0) e^{-k_1(t-t_0)}$$

Zeitentwicklung aller Tochternuklide (Annahme: $N_{T(i>1)}(t_0)=0$)

$$N_{\mathrm{T}(i)}(t) = N_{\mathrm{T}(1)}(t_0) \prod_{n=1}^{i-1} k_n \sum_{l=1}^{i} \frac{\mathrm{e}^{-k_l(t-t_0)}}{\prod_{j=1}^{i} (k_j - k_l) \prod_{j=l+1}^{i} (k_j - k_l)}$$

ETH zürich

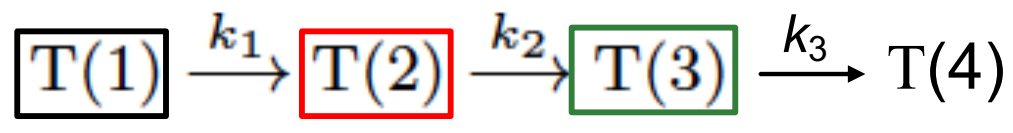
Beispiel 3-2: Zerfallsreihe mit zwei Folgereaktionen

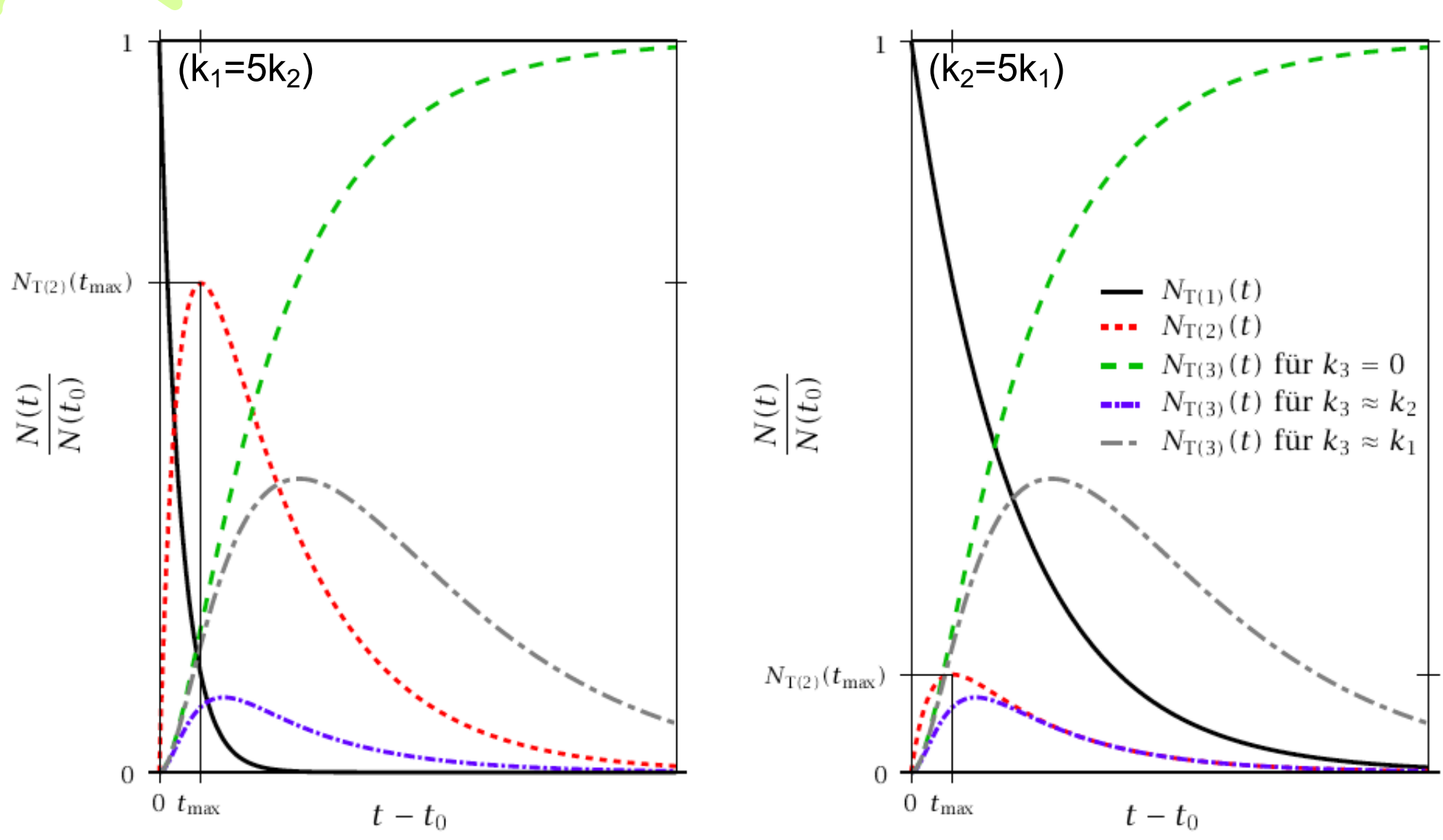
Zur Illustration soll in diesem Beispiel eine Zerfallsreihe behandelt werden, welche nach dem Nuklid T(3) abbricht. Das Zerfallsschema lautet in diesem Fall

$$T(1) \xrightarrow{k_1} T(2) \xrightarrow{k_2} T(3)$$
.

Dabei soll zusätzlich angenommen werden, dass zum Zeitpunkt t_0 nur $N_{\mathrm{T}(1)}(t_0)$ Atome des Mutternuklids vorhanden sind und dass somit $N_{\mathrm{T}(2)}(t_0) = N_{\mathrm{T}(3)}(t_0) = 0$ gilt. Unter diesen Voraussetzungen kann Gleichung (3.18) zum Berechnen der zeitlichen Verläufe der Teilchenzahlen verwendet werden und man erhält









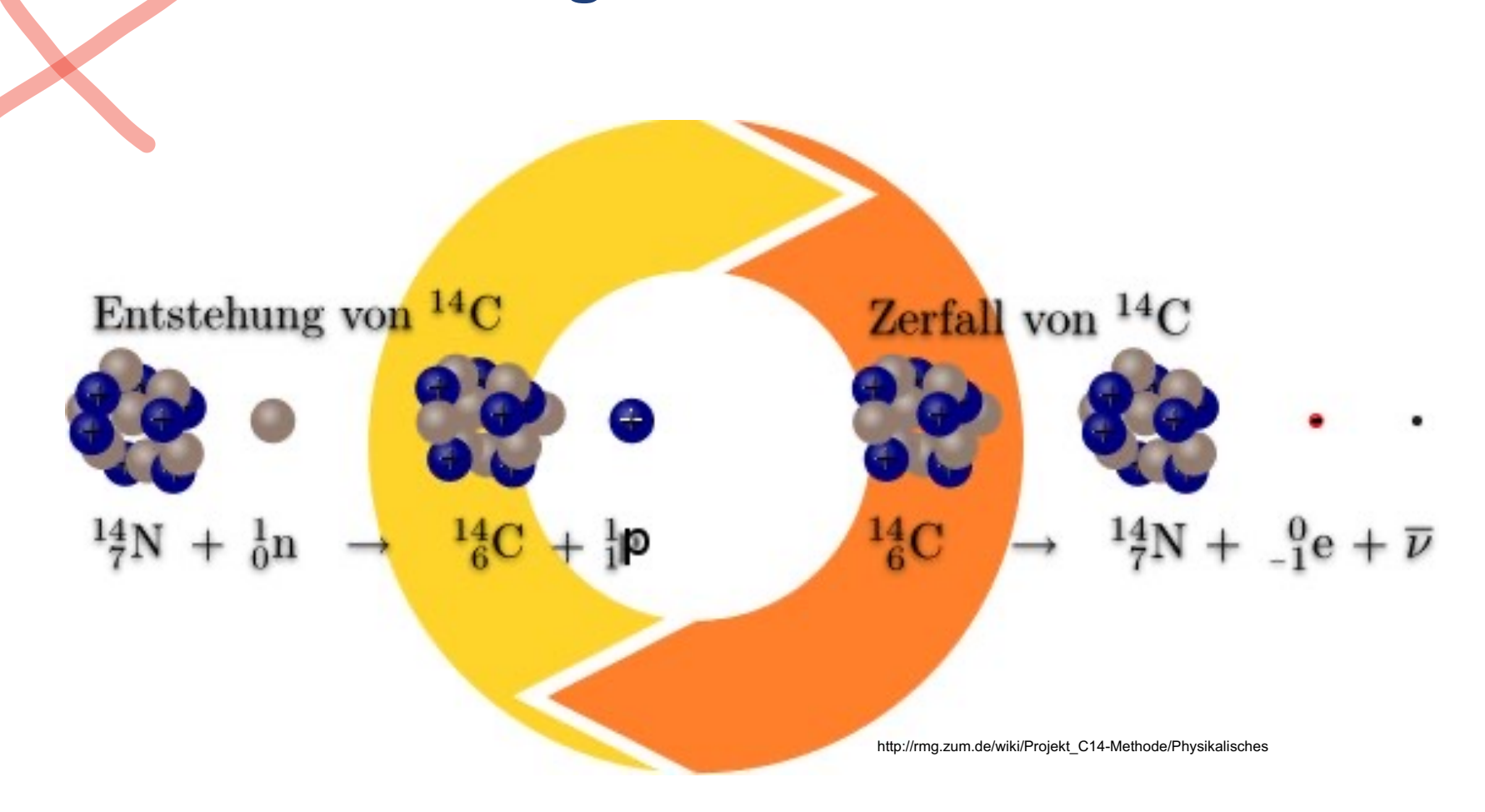


Stabilität von Atomkernen

- Von 2900 bekannten Nukliden gelten 237 als stabil
- Die meisten natürlichen Nuklide sind stabil
- Beispiele von instabilen natürlichen Nukliden: ¹⁴C, ³H
- Halbwertszeiten von instabilen Nukliden reichen von 10⁻¹⁵ s bis 10²⁰ a
- Schwerstes bekanntes Element:
 Oganesson, Z=118 (benannt nach Yuri Oganessian), ¹¹⁸Og



Bildung/Zerfall von ¹⁴C



ETH zürich

Nuklidkarte

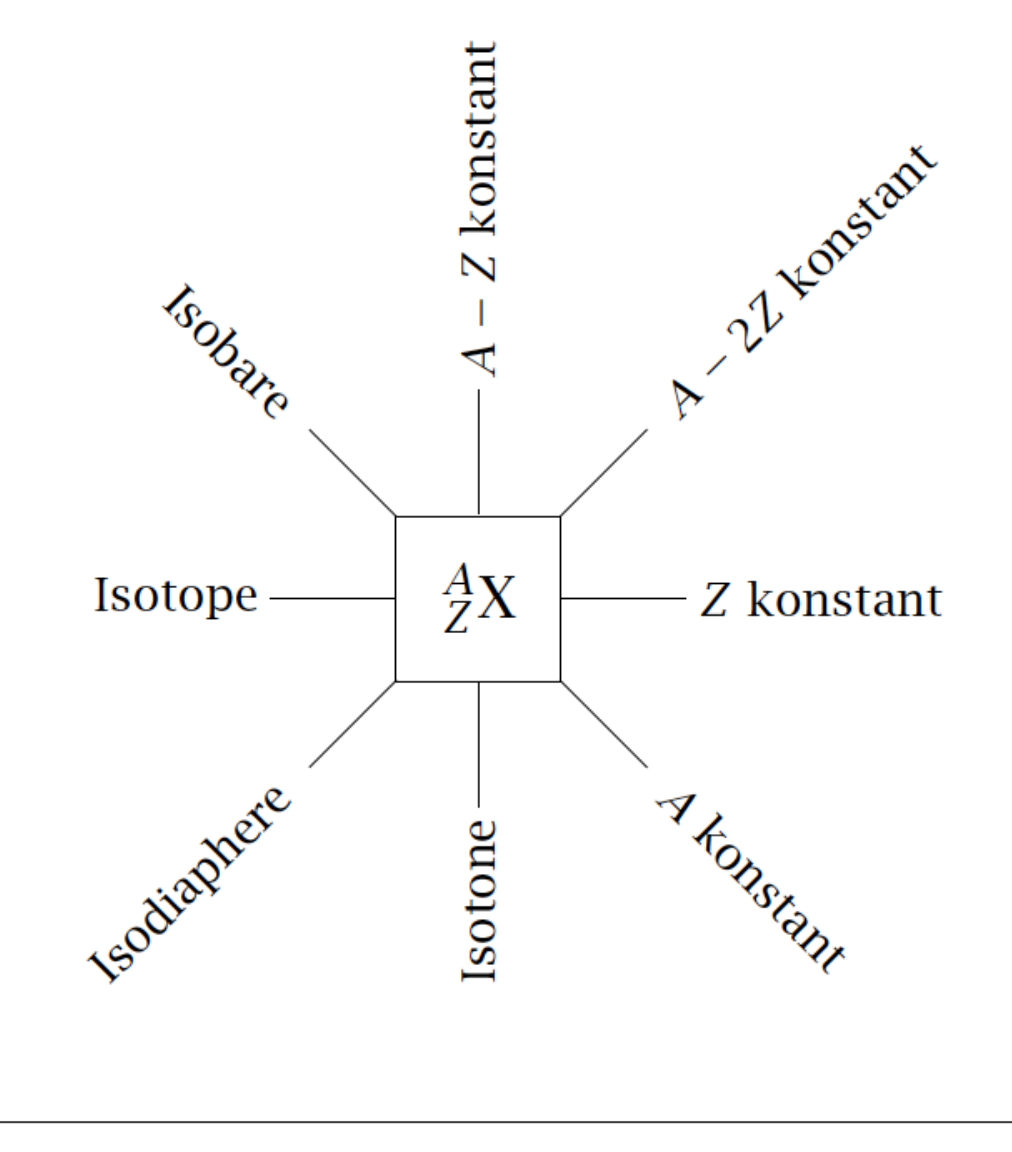
18	$^{32}_{18}\mathrm{Ar}$ $^{98}\mathrm{ms}$ $^{\beta^+}$	$^{33}_{18}{ m Ar}$ 174.1 s $^{\beta^+}$	$^{34}_{18}\mathrm{Ar}$ 844 ms β^+	$^{35}_{18}\mathrm{Ar}$ $^{1.78}_{18}$ s $^{\beta^+}$	$^{36}_{18}$ Ar	$^{37}_{18}\mathrm{Ar}$ $^{35.0\mathrm{d}}$	$^{38}_{18}$ Ar	$^{39}_{18}\mathrm{Ar}$ $^{269\mathrm{a}}$ $^{\beta^-}$	⁴⁰ ₁₈ Ar
17	$^{31}_{17}\text{Cl}$ $^{150\text{ms}}_{\beta^+}$	$^{32}_{17}\text{Cl}$ $^{291}_{99}$ $^{+}$	$^{33}_{17}\mathrm{Cl}$ $^{2.51}_{\beta^+}$	$^{34}_{17}\mathrm{Cl}$ $^{1.53}_{1.53}$ s $^{+}$	$^{35}_{17}{ m Cl}$	$^{36}_{17}{ m Cl} \ _{3.0\cdot 10^5 a} \ _{eta^-}$	$^{37}_{17}{ m Cl}$	$^{38}_{17}{\rm Cl}$ 37.18 m β^-	$^{39}_{17}\mathrm{Cl}$ $^{56\mathrm{m}}_{\beta^-}$
16	$^{30}_{16}S$ 1.18s $^{\beta+}$	$^{31}_{16}S$ $^{2.58}_{\beta^{+}}$	$^{32}_{16}S$	$^{33}_{16}S$	$^{34}_{16}S$	$^{35}_{16}{ m S}$ 87.5 d β^-	$^{36}_{16}S$	$^{37}_{16}S$ $^{5.0m}_{\beta^-}$	38S 2.83 h β ⁻
15	$^{29}_{15}P$ $^{4.1}_{\beta}$	30 15 2.50 m β ⁺	³¹ ₁₅ P	$^{32}_{15}{ m P}$ 14.26 d $^-$	$^{33}_{15}{ m P}$ $^{25.34{ m d}}_{eta^-}$	$^{34}_{15}P$ $^{12.4}_{\beta}$	$^{35}_{15}P$ $^{47.4s}_{\beta^{-}}$	$^{36}_{15}P$ $^{5.6}_{5}$ s	$^{37}_{15}P$ $^{2.31}_{\beta^{-}}$
14	²⁸ Si	$^{29}_{14}{\rm Si}$	$^{30}_{14}{ m Si}$	$^{31}_{14}{\rm Si}$ 2.62 h β^-	32 14 172 a β ⁻	$^{33}_{14}\mathrm{Si}$ $^{6.18}_{\beta^-}$	$^{34}_{14}\mathrm{Si}$ $^{2.77}_{\mathrm{s}}$ $^{\beta^-}$	$^{35}_{14}\mathrm{Si}$ $^{0.78}_{9}$ $^{-}$	$^{36}_{14}\mathrm{Si}$ $^{0.45}_{\beta}$ $^{-}$
13	²⁷ ₁₃ Al	$^{28}_{13}{ m Al}$ 2.246 m β^-	$^{29}_{13}\mathrm{Al}$ $^{6.6\mathrm{m}}$ $^{\beta^-}$	$^{30}_{13}\mathrm{Al}$ $^{3.60\mathrm{s}}$ $^{\beta^-}$	$^{31}_{13}\mathrm{Al}$ $^{644\mathrm{ms}}$ $^{\beta^-}$	$^{32}_{13}\text{Al}$ $^{33}_{13}$ ms $^{-}$	$^{33}_{13}\mathrm{Al}$ $^{54}_{13}\mathrm{ms}$ $^{-}$	$^{34}_{13}\mathrm{Al}$ $^{60\mathrm{ms}}$ $^{-}$	$^{35}_{13}\mathrm{Al}$ $\sim 150\mathrm{ms}$ β^-
	14	15	16	17	18	19	20	21	$\stackrel{22}{\longrightarrow}_N$





Protonenzahl Z

Nuklidkarte



Neutronenzahl A - Z



Angeregte Zustände von Atomkernen

- Unter Normalbedingungen befinden sich Atome im Grundzustand
- Kerne besitzen jedoch angeregte Rotations- und Schwingungszustände
- Zerfallsprodukte liegen oft in einem angeregten Zustand vor
- Dieser zerfällt meist innerhalb kurzer Zeit unter Emission von Gammastrahlung
- Es sind jedoch auch langlebige, angeregte Zustände (sog. metastabile)
 Zustände bekannt

Bsp: 137 Cs \rightarrow 137m Ba ($t_{1/2}$ =2.552 min)

Abschätzung der Stabilität von Atomkernen

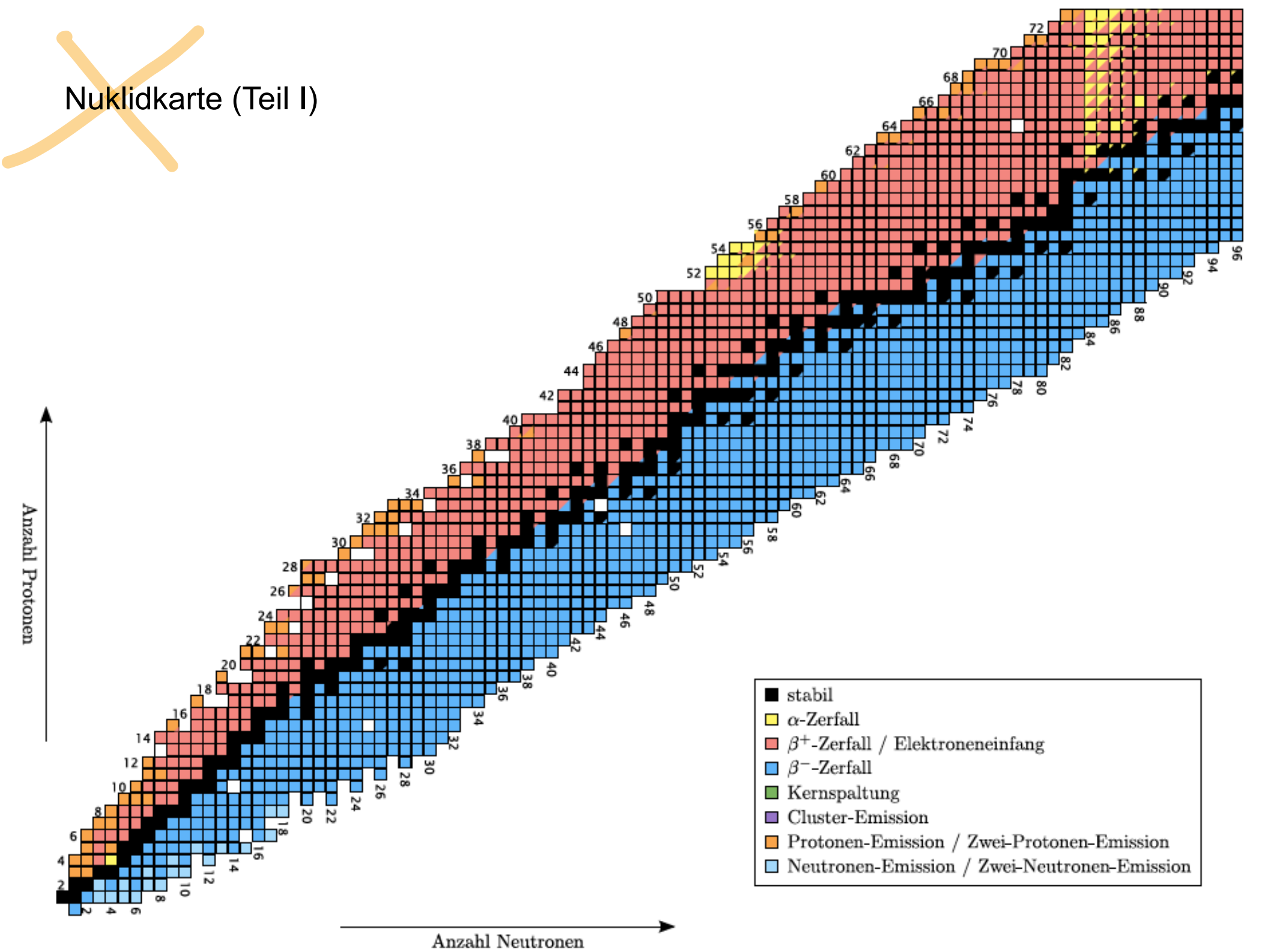
Empirische Regeln:

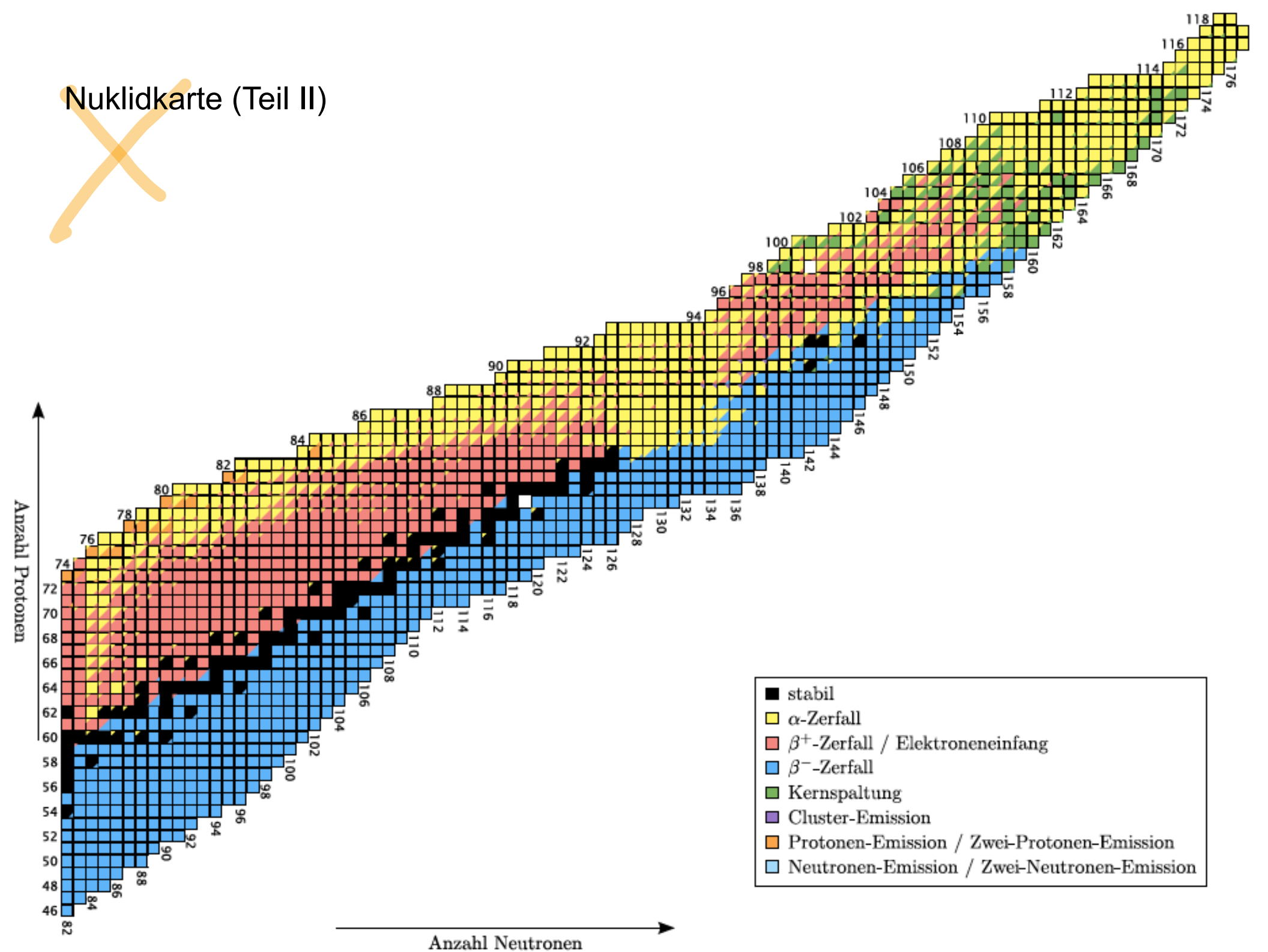
- Es gibt keine stabilen Nuklide mit Ordnungszahl Z > 83.
- Stabilität eines Nuklids hängt von $\eta = \frac{A-Z}{Z}$ ab.

Ausser ¹H und ³He gibt es keine stabilen Nuklide mit $\eta < 1$. Bei Elementen mit kleiner Ordnungszahl gilt für stabile Nuklide $\eta \gtrsim 1$. Mit steigendem Z-Wert und somit steigender Kernladung muss die Anzahl Neutronen zur Stabilisierung des Kerns jedoch überproportional zunehmen. So gilt etwa für $^{206}_{82}$ Pb $\eta = \frac{124}{82} \approx 1.51$.

Mit η lässt sich in den Nuklidkarten eine **Stabilitätszone** lokalisieren (siehe Abbildung 3.7), das heisst ein Bereich, in welchem stabile Nuklide zu liegen kommen.

Die Lokalisierung eines Nuklids innerhalb der Stabilitätszone ist allerdings noch kein hinreichendes Kriterium für seine Stabilität. So sind beispielsweise die Schwefel-Isotope ³²S, ³³S, ³⁴S und ³⁶S stabil, während ³⁵S mit einer Halbwertszeit von 87.51 d zerfällt.







Beispiel 3-3: Abschätzung der Stabilität von ²⁰Na mit Hilfe der Stabilitätszone

Der Atomkern von 20 Na besteht aus 11 Protonen und 9 Neutronen und man erhält mit $\eta=0.8$ einen Wert, welcher kleiner als eins ist. 20 Na liegt also deutlich oberhalb der Stabilitätszone und besitzt somit einen Mangel an Neutronen respektive einen Protonenüberschuss. 20 Na ist radioaktiv und zerfällt mit einer Halbwertszeit von $447.9\,\mathrm{ms}$.

Beispiel 3-4: Abschätzung der Stabilität von ⁵¹Ca mit Hilfe der Stabilitätszone

Der Atomkern von 51 Ca besteht aus 20 Protonen und 31 Neutronen und man erhält für η einen Wert von 1.55. Dieser Wert ist für die Stabilitätszone leichter Elemente deutlich zu gross. 51 Ca liegt deshalb unterhalb der Stabilitätszone und besitzt somit einen Mangel an Protonen respektive einen Neutronenüberschuss. 51 Ca ist radioaktiv und zerfällt mit einer Halbwertszeit von $10.0\,\mathrm{s}$.





Kategorien von Atomkernen

Protonenanzahl	Neutronenanzahl	Anzahl stabile Kerne	I
gerade	gerade	130	0
gerade	ungerade	53	halbganzzahlig
ungerade	gerade	50	halbganzzahlig
ungerade	ungerade	4	ganzzahlig

Abschätzung der Stabilität von Atomkernen

4. Atomkerne, bei denen die Protonen- oder Neutronenanzahl den magischen Zahlen 2, 8, 20, 28, 50, 82, 126 entsprechen, sind energetisch besonders günstig. Solche Kerne besitzen eine speziell hohe Bindungsenergie für ein einzelnes Nukleon, gleichzeitig ist die Bindungsenergie für ein weiteres hinzugefügtes Nukleon wesentlich kleiner. Deshalb gibt es besonders viele stabile Nuklide für Kerne, deren Protonenoder Neutronenanzahl eine magische Zahl ist. So findet man beispielsweise fünf stabile Kerne (⁴⁰Ca, ³⁹K, ³⁸Ar, ³⁷Cl, ³⁶S) mit 20 Neutronen, fünf stabile Kerne (⁹²Mo, ⁹⁰Zr, ⁸⁹Y, ⁸⁸Sr, ⁸⁶Kr) mit 50 Neutronen, sechs stabile Kerne (¹⁴⁴Sm, ¹⁴²Nd, ¹⁴¹Pr, ¹⁴⁰Ce, ¹³⁹La, ¹³⁸Ba) mit 82 Neutronen und von Zinn, dessen Atomkerne 50 Protonen aufweisen, sind zehn stabile Isotope bekannt.

Aussergewöhnlich stabil sind **doppeltmagische Kerne**, wie jene von ${}_{2}^{4}$ He, ${}_{8}^{16}$ O, ${}_{20}^{40}$ Ca, ${}_{20}^{48}$ Ca und ${}_{82}^{208}$ Pb.

Analog zur Schalenstruktur von Atomen deuten diese empirischen Hinweise auf eine Schalenstruktur der Atomkerne hin. Dies ist die Grundlage des Schalenmodells von Atomkernen, auf welches in dieser Vorlesung allerdings nicht detaillierter eingegangen werden kann.





- Tröpfchenmodell (1936 von Niels Bohr formuliert):
 Beschreibt Atomkerne in Analogie zu Flüssigkeitstropfen
 - → Homogene Massenverteilung

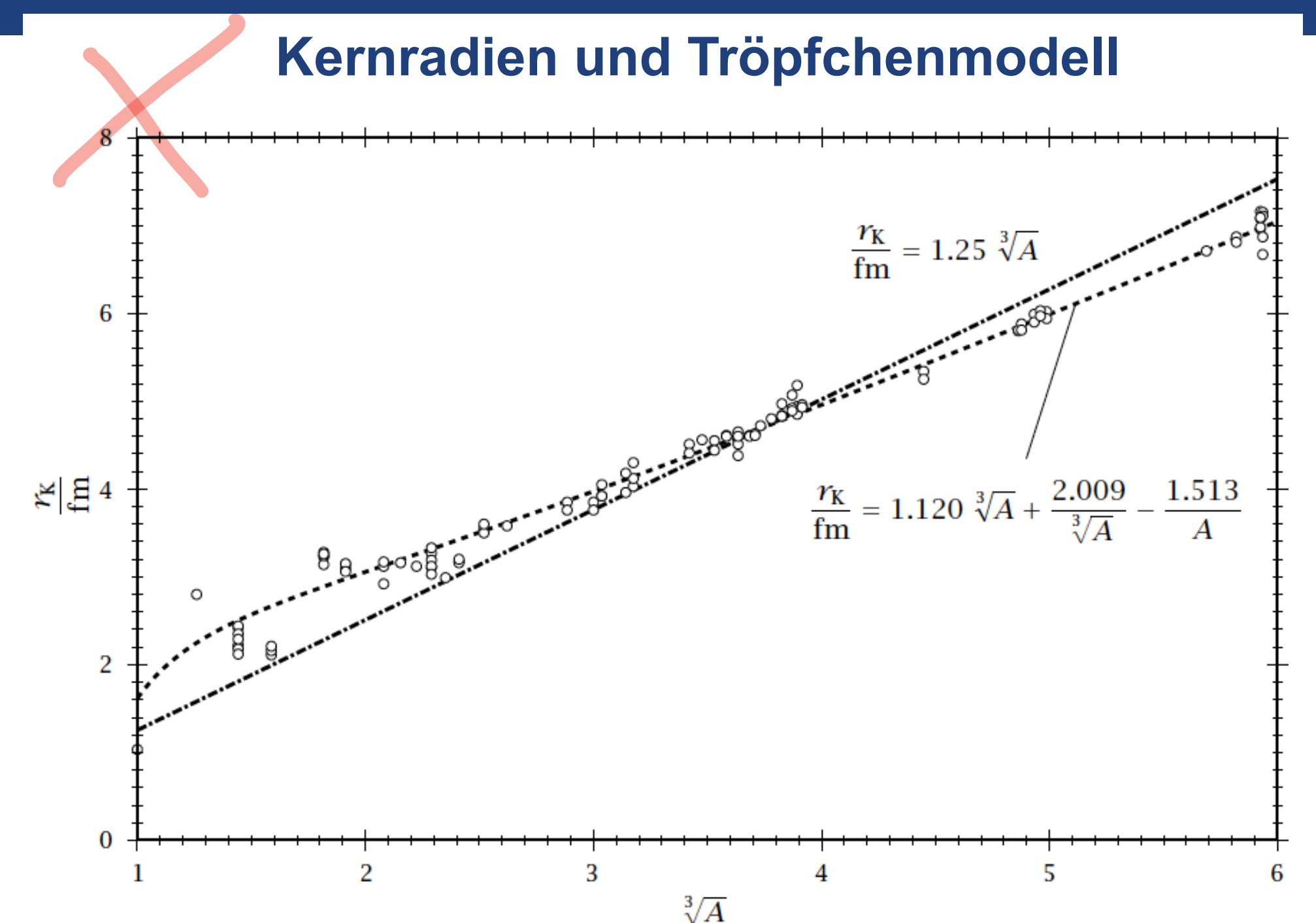
$$r_{\rm K} = r_0^3 \sqrt{A}$$

Verbessertes Tröpchenmodell

Abbildung 3.9 enthält einen Vergleich zwischen gemessenen Kernradien und Werten, welche mit Gleichung (3.23) berechnet wurden. Eine etwas bessere Übereinstimmung zwischen den gemessenen und den berechneten Werten erhält man mit dem empirischen Zusammenhang

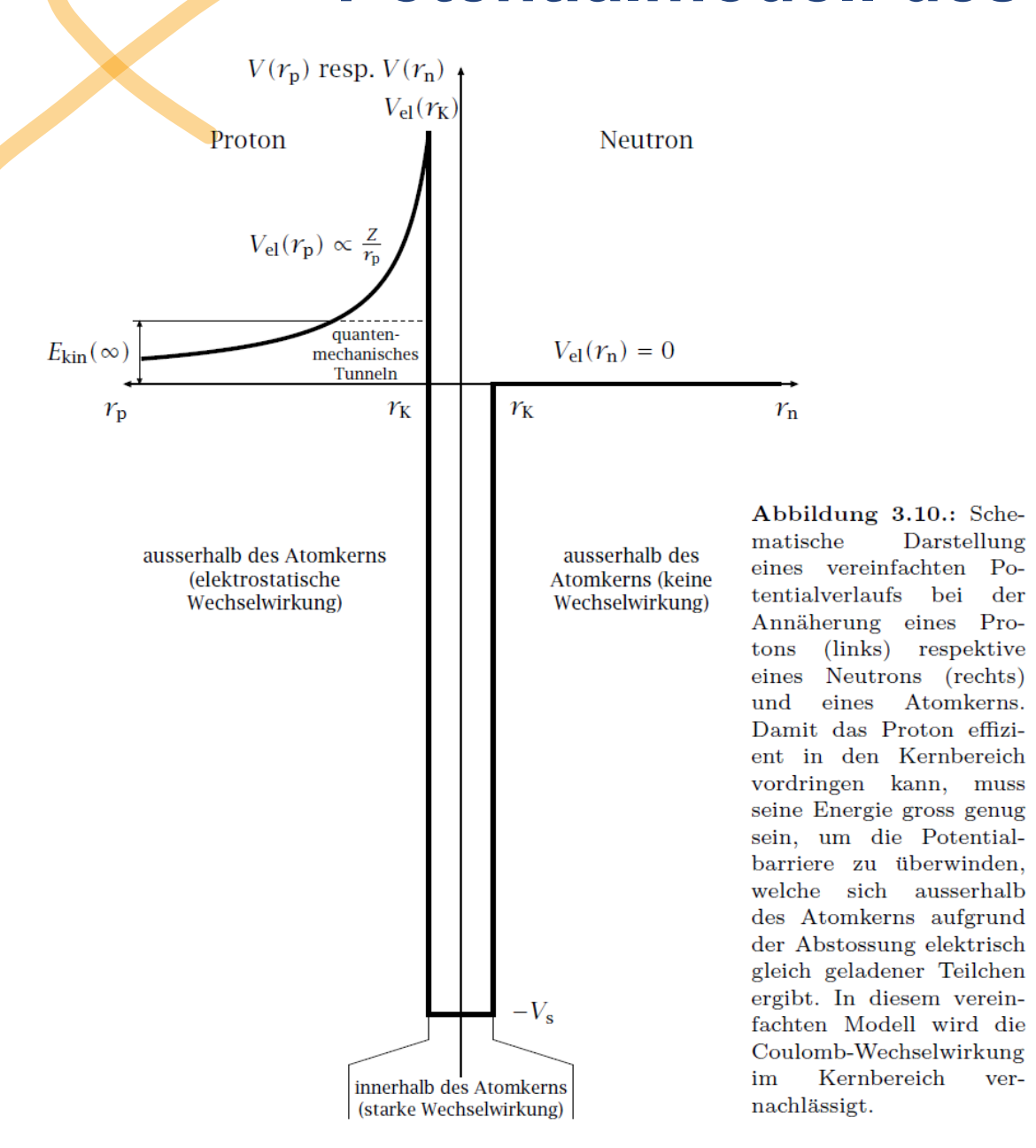
$$\frac{r_{\rm K}}{\rm fm} = 1.120 \sqrt[3]{A} + \frac{2.009}{\sqrt[3]{A}} - \frac{1.513}{A} \ . \tag{3.24}$$





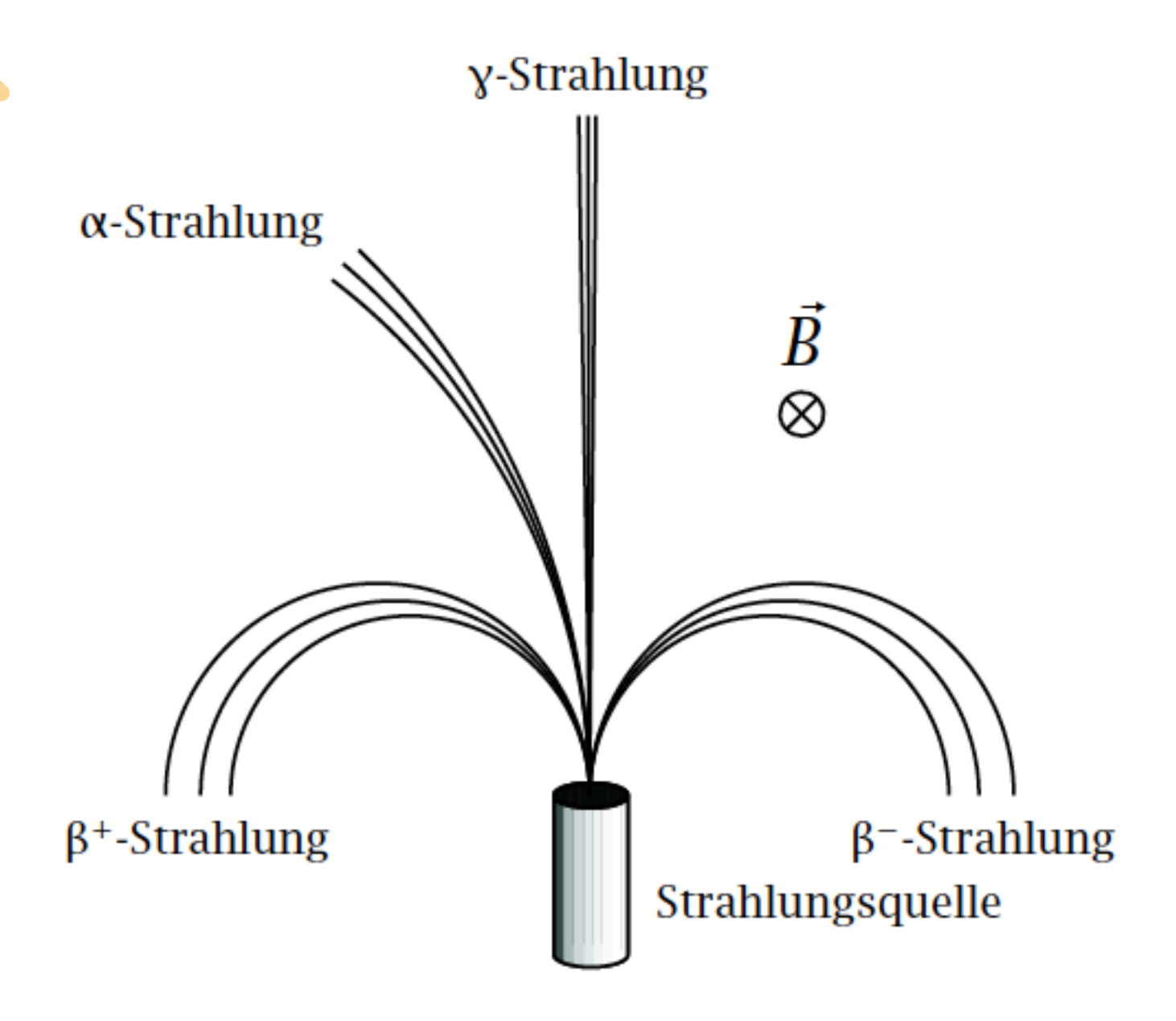


Potentialmodell des Kerns





Zerfallsarten







Zerfallsarten

Eigenschaft	α -Strahlung	β -Strahlung	γ -Strahlung
Ladung	2e	$\pm e$	0
Ruhemasse	$\sim 4\mathrm{u}$	$\sim 5\cdot 10^{-4}\mathrm{u}$	0
Teilchen	$^4{ m He ext{-}Kerne}$	Elektronen, Positronen	Photonen
Reichweite in Luft	einige cm	einige m	${\bf unendlich}^i$
Ausbreitungsgeschwindigkeit	$\sim 0.05c$	bis $0.99c$	c
relatives Ionisationsvermögen	$1.8 \cdot 10^4$	10^{2}	1
Spektren	$\operatorname{diskret}$	kontinuierlich	$\operatorname{diskret}$



Strahlenschutz

- ullet lpha-Strahlung wird bereits durch Papier, Haushaltsfolie, etc. abgeschirmt
- «Weiche» β-Strahlung (von ¹⁴C, ³H) wird durch Latex-Handschuhe abgeschirmt
- «Harte» β-Strahlung wird erst durch Glas oder mehrere mm Al abgeschirmt
- γ-Strahlung wird erst durch mehrere cm Blei abgeschirmt

Eindringtiefe in Körper:

- α-Strahlung wird bereits durch äusserste Hautschicht absorbiert
- β-Strahlung dringt bis zu 1 cm tief in Gewebe eine
- γ-Strahlung kann den Körper vollständig durchdringen



Medizinische Aspekte

Gefahrenpotential radioaktiver Substanzen:

Strahlungsquelle befindet sich:

- Ausserhalb des Körpers: γ-Strahlung hat das höchste Gefahrenpotential Schutzmassnahmen: Abschirmung, Abstand
- Innerhalb des Körpers: α– und β-Strahlung hat das höchste Gefahrenpotential (s. Ionisationsvermögen in Tabelle 3.2)

Radiotherapie:

Radioaktive Strahlung wird zur Tumorbehandlung eingesetzt

ETH zürich



Alpha-Zerfall

$${}_{Z}^{A}X \longrightarrow {}_{Z-2}^{A-4}Y^{2-} + {}_{2}^{4}He^{2+}$$

 α -Zerfälle sind energetisch erlaubt, wenn die Summe der Massen von ⁴He und $^{A-4}_{Z-2}$ Y kleiner ist als die Masse von $^{A}_{Z}$ X. Dies ist eine Folge der Äquivalenz von Energie und Masse (siehe Kapitel 2.4, insbesondere Gleichungen (2.17) und (2.18)).

 α -Zerfälle treten bevorzugt bei schweren Nukliden mit einem zu grossen Verhältnis zwischen Protonen- und Neutronenanzahl im Kern auf. Als Beispiel sei der radioaktive Zerfall von 220 Rn mit einer Halbwertszeit von 55.6s aufgeführt:

$$^{220}_{86} {
m Rn} \, \longrightarrow \, ^{216}_{84} {
m Po}^{2-} \, + \, ^{4}_{2} {
m He}^{2+} \, .$$





Alpha-Zerfall

Die emittierten α -Teilchen besitzen stets eine diskrete Energie.

Energieerhaltung:
$$\Delta E = E_{\rm kin,\alpha} + E_{\rm kin,T} = \frac{1}{2} m_{\alpha} v_{\alpha}^2 + \frac{1}{2} m_{\rm T} v_{\rm T}^2$$

Impulserhaltung:
$$m_{\alpha}v_{\alpha} = m_{\rm T}v_{\rm T}$$

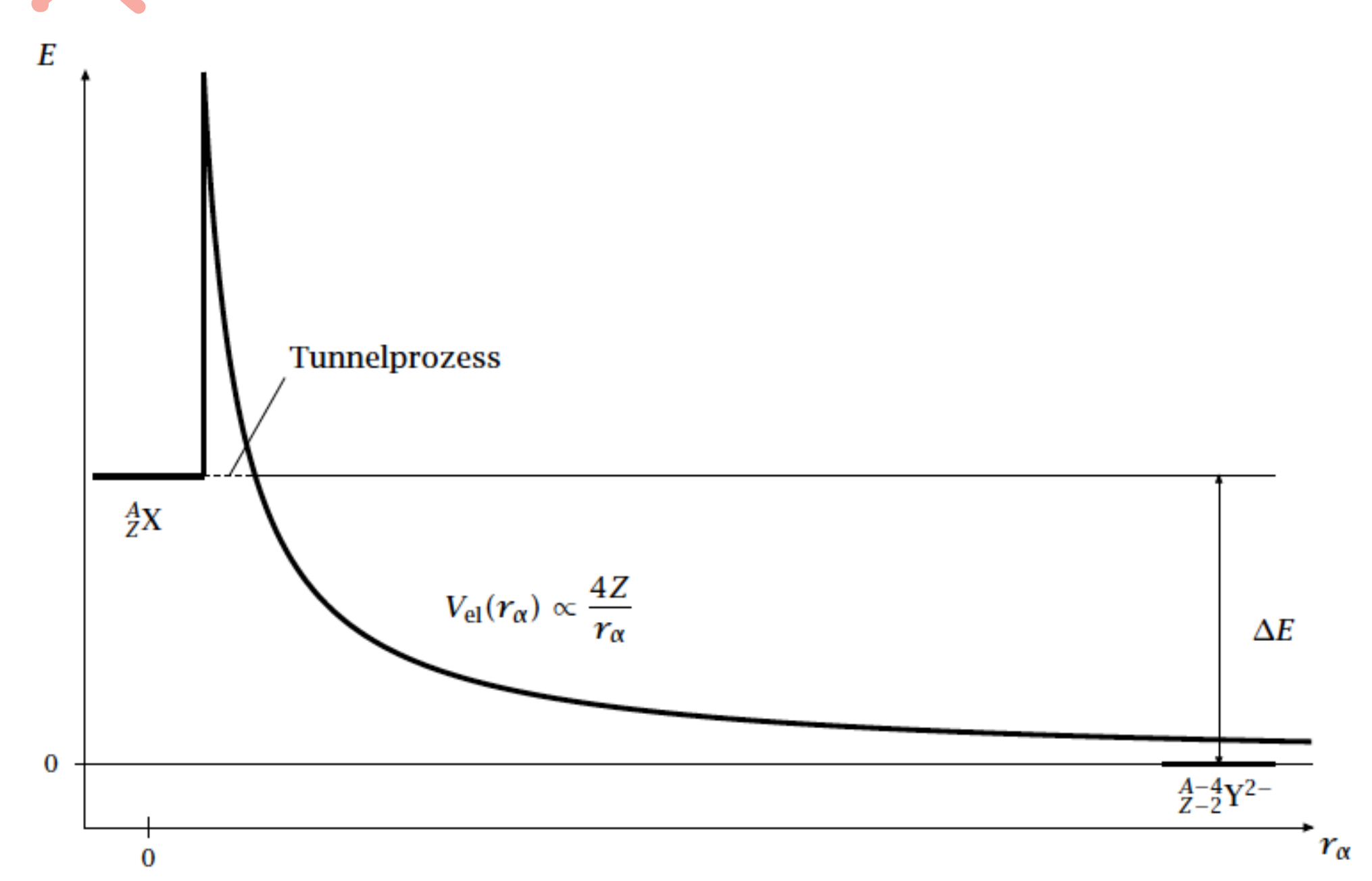
Daraus folgt:
$$E_{\rm kin,\alpha}=\frac{m_{\rm T}}{m_{\alpha}+m_{\rm T}}\Delta E$$

$$E_{\rm kin,T}=\frac{m_{\alpha}}{m_{\alpha}+m_{\rm T}}\Delta E$$

Da für Nuklide, bei denen α -Zerfälle beobachtet werden, üblicherweise $m_{\rm T} > 25 m_{\alpha}$ gilt, wird gemäss Gleichung (3.30) mehr als $\frac{25}{26} \approx 96\,\%$ der effektiven Zerfallsenergie als kinetische Energie auf den emittierten ⁴He-Kern übertragen.



Potentialdiagramm des Alpha-Zerfalls



Beta-Zerfälle

Man unterscheidet zwischen β--, β+- und ε-Zerfällen

$$\beta$$
-Zerfall: ${}^1_0\mathrm{n} \longrightarrow {}^1_1\mathrm{p}^+ + {}^0_{-1}\mathrm{e}^- + \overline{\nu}_\mathrm{e}$

Beispiele:

- Ein isoliertes Neutron hat eine Lebenszeit von 877.75±0.5 s
- $^{131}_{53}I \longrightarrow ^{131}_{54}Xe^{+} + ^{0}_{-1}e^{-} + \overline{\nu}_{e} (t_{1/2} = 8.02070 d)$

 β^- -Zerfälle werden bei instabilen Kernen mit einem zu grossen Verhältnis zwischen der Neutronen- und der Protonenanzahl beobachtet.



β⁻- Zerfall

Die kinetische Energie der gebildeten Elektronen bildet eine kontinuierliche Verteilung (s. auch Paulis Brief an die «Radioaktiven Damen und Herren»).

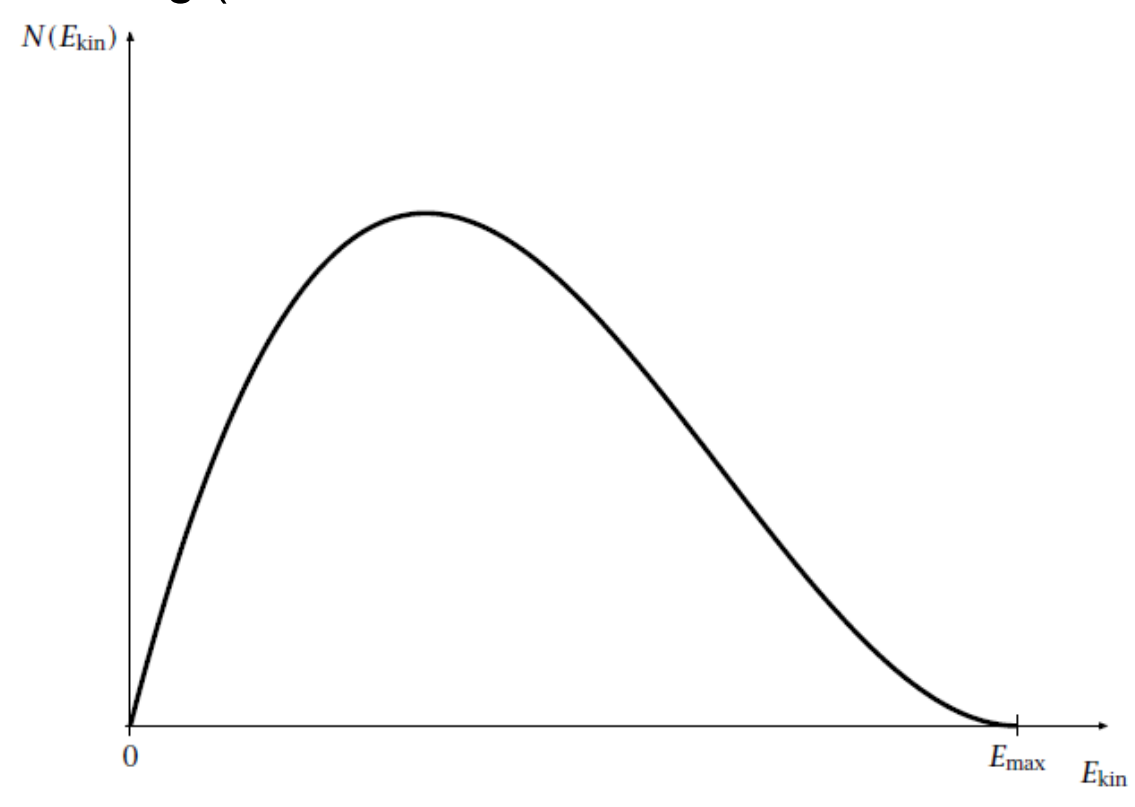


Abbildung 3.13.: Schematische Darstellung der Verteilung der kinetischen Energie von Elektronen, die beim β^- -Zerfall emittiert werden.

 E_{max} entspricht in guter Näherung dem Massenunterschied zwischen dem Mutternuklid und den Zerfallsprodukten (weil Rückstoss vernachlässigbar ist)

$$E_{max} \approx \left[m \begin{pmatrix} A \\ Z \end{pmatrix} - m \begin{pmatrix} A \\ Z+1 \end{pmatrix} \right] c^2$$





β*- Zerfall

$$^{1}_{1}p^{+} \longrightarrow ^{1}_{0}n + ^{0}_{1}e^{+} + \nu_{e}$$

Ein isoliertes Proton ist nach heutigem Wissen stabil (Lebenszeit > 10^{34} a) (Da $m_n > m_p$ wäre der Zerfall ohnehin energetisch verboten)

Beispiel:
$${}^{11}_{6}\text{C} \longrightarrow {}^{11}_{5}\text{B}^{-} + {}^{0}_{1}\text{e}^{+} + \nu_{e} \quad (t_{1/2} = 1223.1\,\text{s})$$

Energetische Einschränkung:

$$\left[m\left(_{Z}^{A}X\right)-m\left(_{Z-1}^{A}X'\right)-2m_{e}\right]c^{2}>0$$



β*- Zerfall

 β^+ -Zerfälle werden bei instabilen Kernen mit einem zu kleinen Verhältnis zwischen der Neutronen- und der Protonenanzahl beobachtet. Falls β^+ -Prozesse energetisch erlaubt sind, stehen sie häufig in Konkurrenz mit Elektroneneinfangprozessen. Dabei treten bei Elementen mit kleinen Ordnungszahlen bevorzugt β^+ -Zerfälle auf, während mit zunehmender Kernladung die Elektroneneinfang-Prozesse an Bedeutung gewinnen und diese bei schweren Kernen über die β^+ -Zerfälle dominieren.



β*- Zerfall

 β^+ -Zerfälle werden bei instabilen Kernen mit einem zu kleinen Verhältnis zwischen der Neutronen- und der Protonenanzahl beobachtet. Falls β^+ -Prozesse energetisch erlaubt sind, stehen sie häufig in Konkurrenz mit Elektroneneinfangprozessen. Dabei treten bei Elementen mit kleinen Ordnungszahlen bevorzugt β^+ -Zerfälle auf, während mit zunehmender Kernladung die Elektroneneinfang-Prozesse an Bedeutung gewinnen und diese bei schweren Kernen über die β^+ -Zerfälle dominieren.

ε-Zerfall (Elektroneneinfang)

Innerhalb des Kerns wird ein Proton durch Elektroneneinfang in ein Neutron umgewandelt:

$$^1_1\mathrm{p}^+ + ^0_{-1}\mathrm{e}^- \longrightarrow ^1_0\mathrm{n} + \nu_\mathrm{e}$$

Beispiel:

$$_{26}^{55}$$
Fe $\longrightarrow _{25}^{55}$ Mn + ν_{e} $(t_{1/2} = 2.737 \, a)$

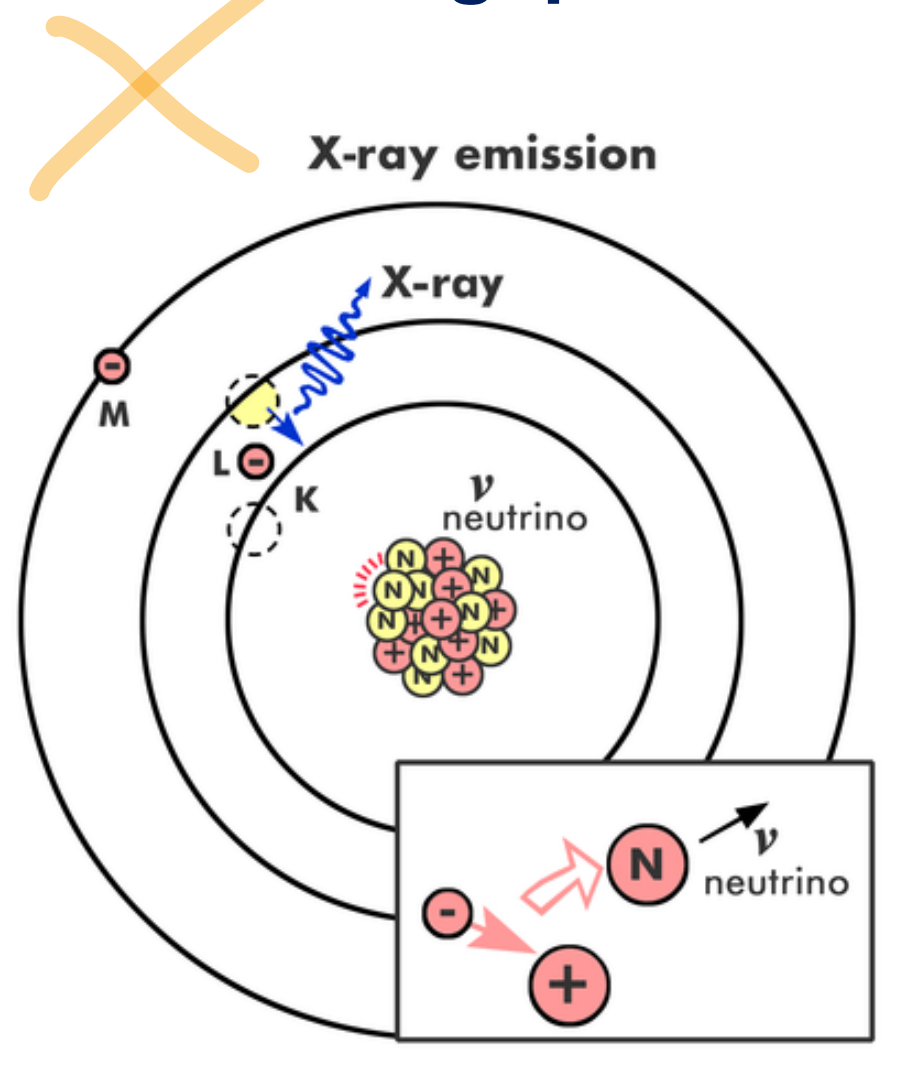
Energetische Einschränkung (s. β+-Zerfall) fällt weg.

Der ϵ -Zerfall steht im Wettbewerb mit dem β +-Zerfall, sofern dieser energetisch erlaubt ist.

ε-Zerfälle werden mit abnehmender Zerfallsenergie und zunehmender Kernladung wahrscheinlicher.



Folgeprozesse eines ε-Zerfalls



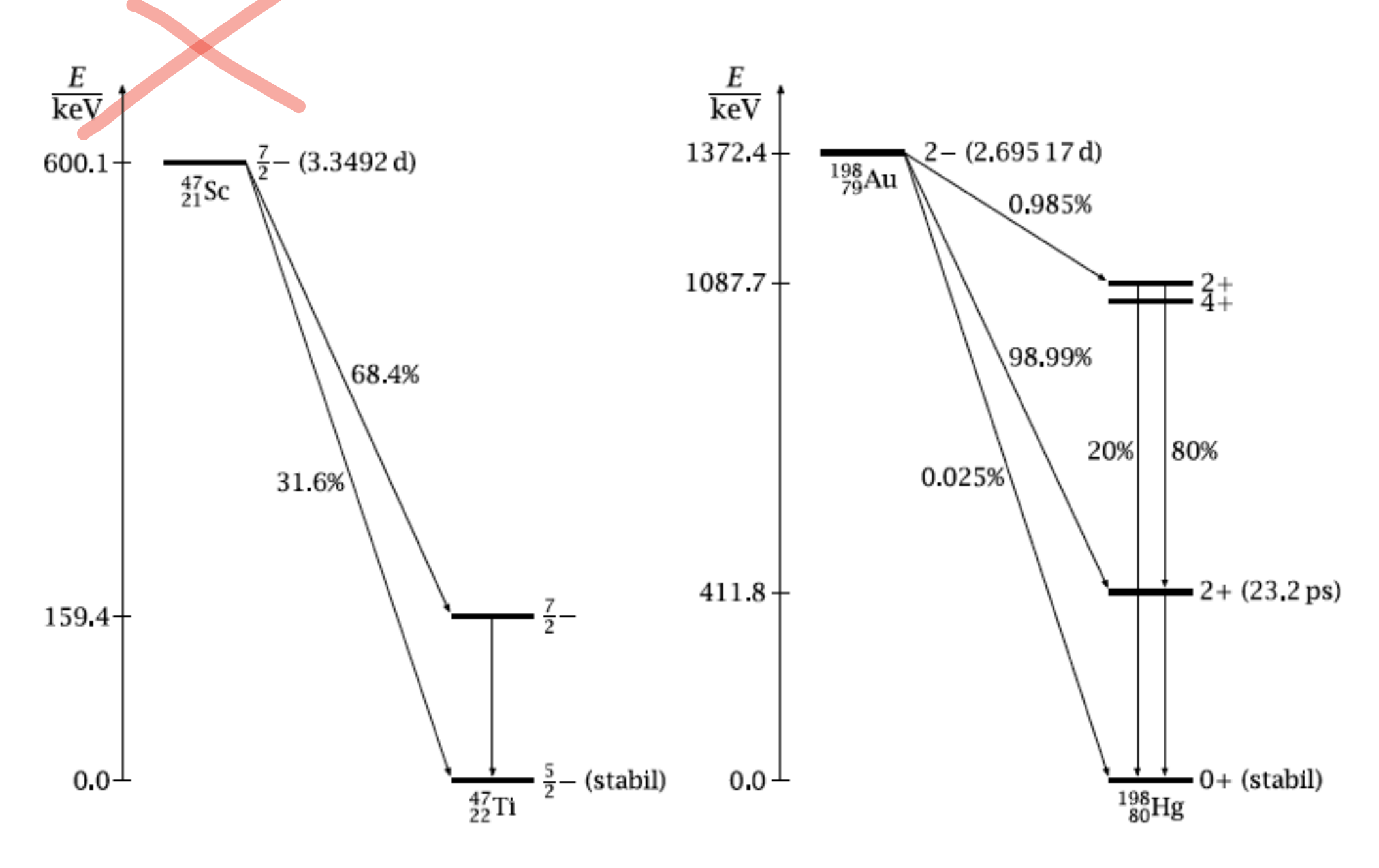


Gammaumwandlung

- Angeregte Kernzustände zerfallen zu tiefer liegenden Zuständen oder zum Grundzustand unter Emission elektromagnetischer (Gamma-)Strahlung
- Tochterkerne liegen oft zunächst in einem angeregten Zustand vor
- Die Lebenszeiten von angeregten Zuständen sind meist sehr kurz (10⁻¹⁶-10⁻¹³ s)
- Das Emissionsspektrum ist diskret und charakteristisch



Emission von Gammastrahlung nach radioaktiven Zerfällen





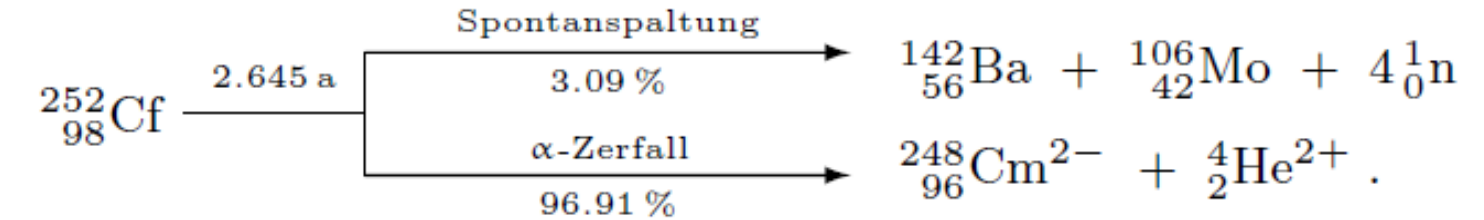
Zerfallsreaktionen ohne Emission von Gammastrahlung

Zerfallsart	Mutternuklid	Tochternuklid	$t_{1/2}$
α-Zerfall	$^{190}_{78}{\rm Pt}$	$^{186}_{76}{ m Os}$	$6.5\cdot 10^{11}\mathrm{a}$
β ⁻ -Zerfall	$^{3}_{1}H$ $^{14}_{6}C$ $^{32}_{15}P$	³ He ¹⁴ N	12.32 a 5700 a
β ⁺ -Zerfall	15P 11C 15O	$rac{^{32}_{16}S}{^{11}_{5}B}$	14.262 d 20.39 min
	¹⁵ ₈ O	$^{15}_{7}{ m N}$	$122.24\mathrm{s}$
ϵ -Zerfall	$^{71}_{32}{ m Ge} \ ^{53}_{25}{ m Mn}$	$^{71}_{31}{ m Ga} \ ^{53}_{24}{ m Cr}$	$11.43{\rm d}\\ 3.74\cdot 10^6{\rm a}$



Weitere Zerfallsarten

Spontanspaltung



• Protonenzerfall

$$^{109}_{53}I \xrightarrow{103\mu s} ^{108}_{52}Te^{-} + ^{1}_{1}p^{+}$$

• Neutronenzerfall

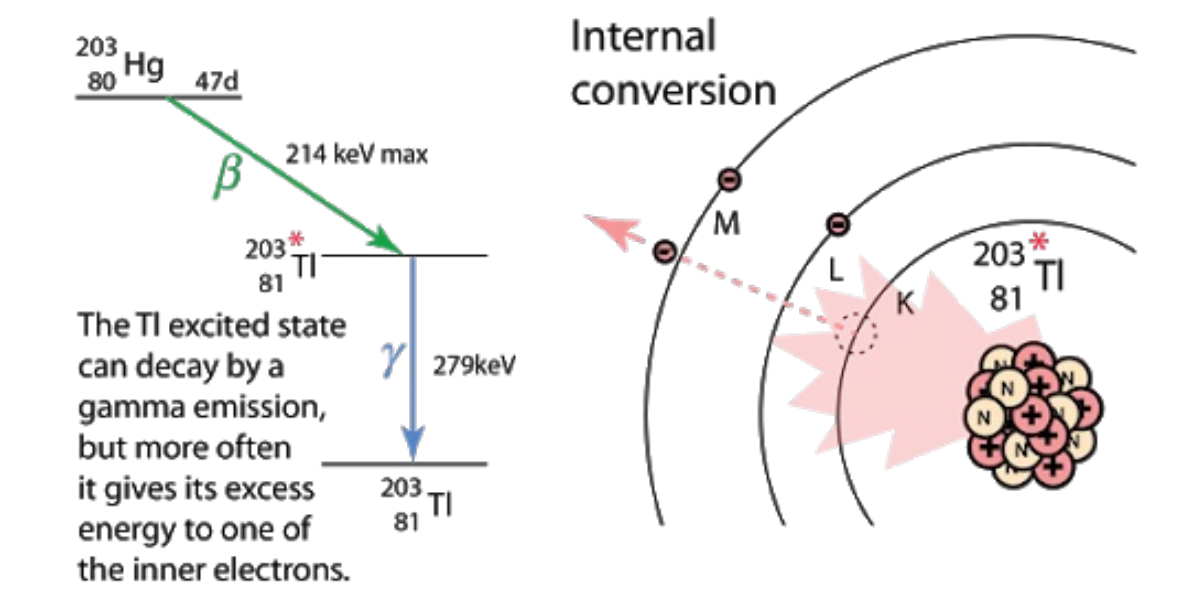
$$^{10}_{3}\text{Li} \longrightarrow ^{9}_{3}\text{Li} + ^{1}_{0}\text{n}$$

• Clusterzerfall

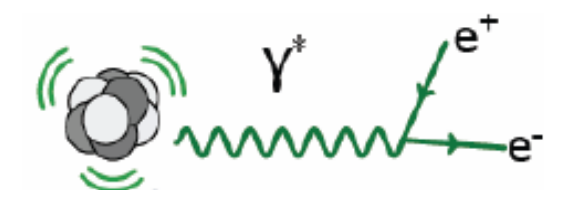




Interne Konversion



Interne Paarerzeugung



Bedingung: $E(\gamma^*) > 2m_e c^2$





Weitere Folgeprozesse

$$^{39}\text{Ar} \rightarrow ^{39}\text{K}^+ + \text{e}^- + \bar{\nu}_{\text{e}}$$

Beispiel 3-6: ≪Shake-off≫ beim radioaktiven Zerfall von ³⁹Ar

 39 Ar unterliegt einem β^- -Zerfall mit einer Halbwertszeit von 269 a. Dabei beobachtet man, dass die entstandenen 39 K-Tochterkerne zu 86 % einfach positiv geladen sind. Dies entspricht dem Ausstoss eines Elektrons beim β^- -Zerfall. In 10 % der Fälle beobachtet man jedoch ein zweifach, in 2.5 % ein dreifach positiv geladenes Ion. Es wurden bis zu sechsfach positiv geladene Ionen detektiert. Der Zerfall von 39 Ar eignet sich besonders gut zur Illustration des «shake-off»-Prozesses, da ausschliesslich Tochterkerne im Grundzustand entstehen. Somit werden keine Emissionen von Konversions- respektive Auger-Elektronen erwartet.





Protonenanzahl	Neutronenanzahl	Anzahl stabile Kerne	I
gerade	gerade	130	0
gerade	ungerade	53	halbganzzahlig
ungerade	gerade	50	halbganzzahlig
$\operatorname{ungerade}$	ungerade	4	$\operatorname{ganzzahlig}$



Abschätzung der Stabilität von Atomkernen

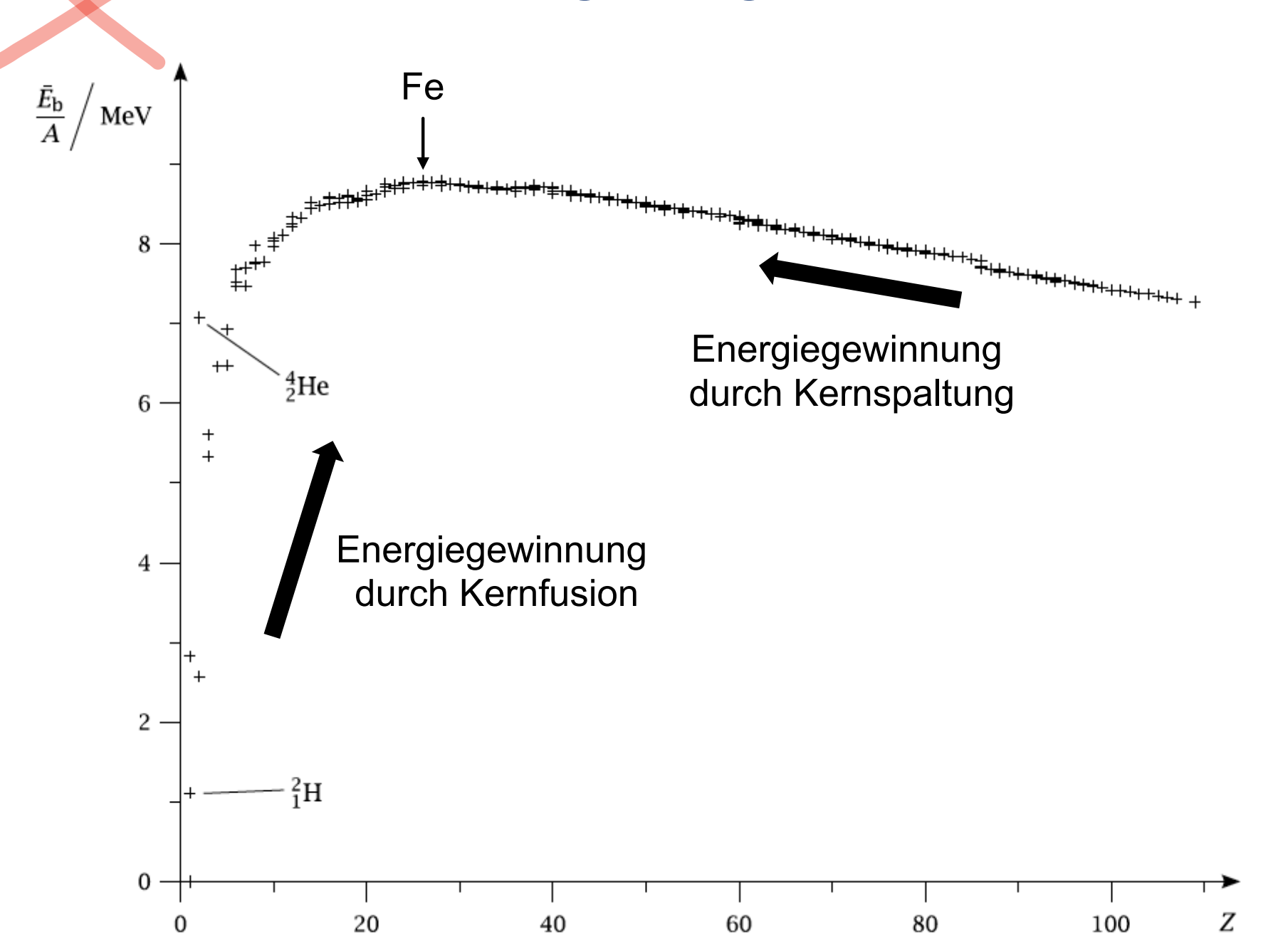
4. Atomkerne, bei denen die Protonen- oder Neutronenanzahl den magischen Zahlen 2, 8, 20, 28, 50, 82, 126 entsprechen, sind energetisch besonders günstig. Solche Kerne besitzen eine speziell hohe Bindungsenergie für ein einzelnes Nukleon, gleichzeitig ist die Bindungsenergie für ein weiteres hinzugefügtes Nukleon wesentlich kleiner. Deshalb gibt es besonders viele stabile Nuklide für Kerne, deren Protonenoder Neutronenanzahl eine magische Zahl ist. So findet man beispielsweise fünf stabile Kerne (⁴⁰Ca, ³⁹K, ³⁸Ar, ³⁷Cl, ³⁶S) mit 20 Neutronen, fünf stabile Kerne (⁹²Mo, ⁹⁰Zr, ⁸⁹Y, ⁸⁸Sr, ⁸⁶Kr) mit 50 Neutronen, sechs stabile Kerne (¹⁴⁴Sm, ¹⁴²Nd, ¹⁴¹Pr, ¹⁴⁰Ce, ¹³⁹La, ¹³⁸Ba) mit 82 Neutronen und von Zinn, dessen Atomkerne 50 Protonen aufweisen, sind zehn stabile Isotope bekannt.

Aussergewöhnlich stabil sind **doppeltmagische Kerne**, wie jene von ${}_{2}^{4}$ He, ${}_{8}^{16}$ O, ${}_{20}^{40}$ Ca, ${}_{20}^{48}$ Ca und ${}_{82}^{208}$ Pb.

Analog zur Schalenstruktur von Atomen deuten diese empirischen Hinweise auf eine Schalenstruktur der Atomkerne hin. Dies ist die Grundlage des Schalenmodells von Atomkernen, auf welches in dieser Vorlesung allerdings nicht detaillierter eingegangen werden kann.



Mittlere Bindungsenergie pro Nukleon





Anwendungen von Kernreaktionen

Energiegewinnung durch:

- Spaltung von schweren Kernen in leichtere Kerne
- Fusion von leichten Kernen zu schweren Kernen
- Einsatz als Ionisationsquellen in Ionisationsrauchmeldern,
- Untersuchung des Schlammtransports in Flüssen,
- Untersuchung der Durchmischung von Sandsorten bei der Glasherstellung,
- Lecksuche in Rohrleitungen,
- Ausstoss von fehlerhaft gepackten Tablettenschachteln,
- Überprüfung der Dicke des Gummis bei der Autoreifenproduktion,

etc. (s. Skript für weitere Beispiele)

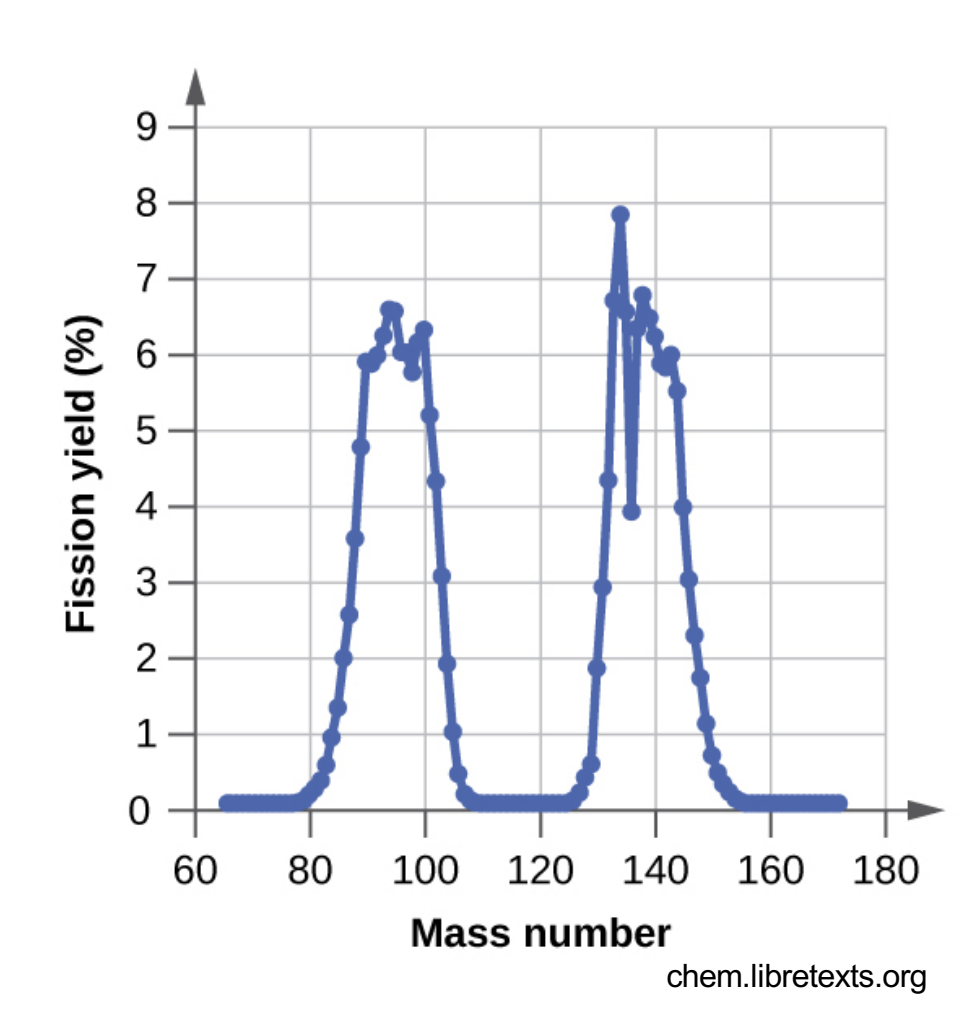


3.6.1. Die (induzierte) Kernspaltung

Otto Hahn (1879–1968) und Fritz Strassmann (1902–1980) entdeckten im Jahr 1938, dass <u>Urankerne beim Beschuss mit langsamen Neutronen</u> in mittelschwere Atomkerne zerfallen. Die Nachprüfung ergab, dass dabei nicht ²³⁸U, sondern das viel seltenere ²³⁵U durch das Neutron gespalten wird. Neben den zwei Bruchstücken werden bei diesem Vorgang im Mittel auch zwei bis drei Neutronen emittiert. Mögliche Gleichungen zur Beschreibung dieser Kernreaktion lauten:



Parallelreaktionen bei der Spaltung von 235U



ETH zürich

Beispiel 3-9: Energieumsatz bei der Kernspaltung von ²³⁵U

Die bei der Spaltung eines 235 U-Kerns freiwerdende Energie lässt sich mit Hilfe der mittleren Bindungsenergie der Nukleonen abschätzen. Diese beträgt $\bar{E}_{\rm b,235\,U}=$

- $-7.59\,\mathrm{MeV}$ für $^{235}\mathrm{U}$ und für die mittelschweren Bruchstücke $\bar{E}_{\mathrm{b,Fragmente}}$ \approx
- $-8.5\,\mathrm{MeV}.$ Nimmt man weiter an, dass deren mittlere Massenzahl 116 beträgt, wird pro Kernspaltung die Energie

$$E_{\rm Spaltung} \approx 2 \cdot 116 \cdot (-8.5 \, {\rm MeV}) - 235 \cdot (-7.59 \, {\rm MeV}) \approx -188 \, {\rm MeV}$$

freigesetzt. Für $m=1\,\mathrm{kg}^{235}\mathrm{U}$ erhält man somit

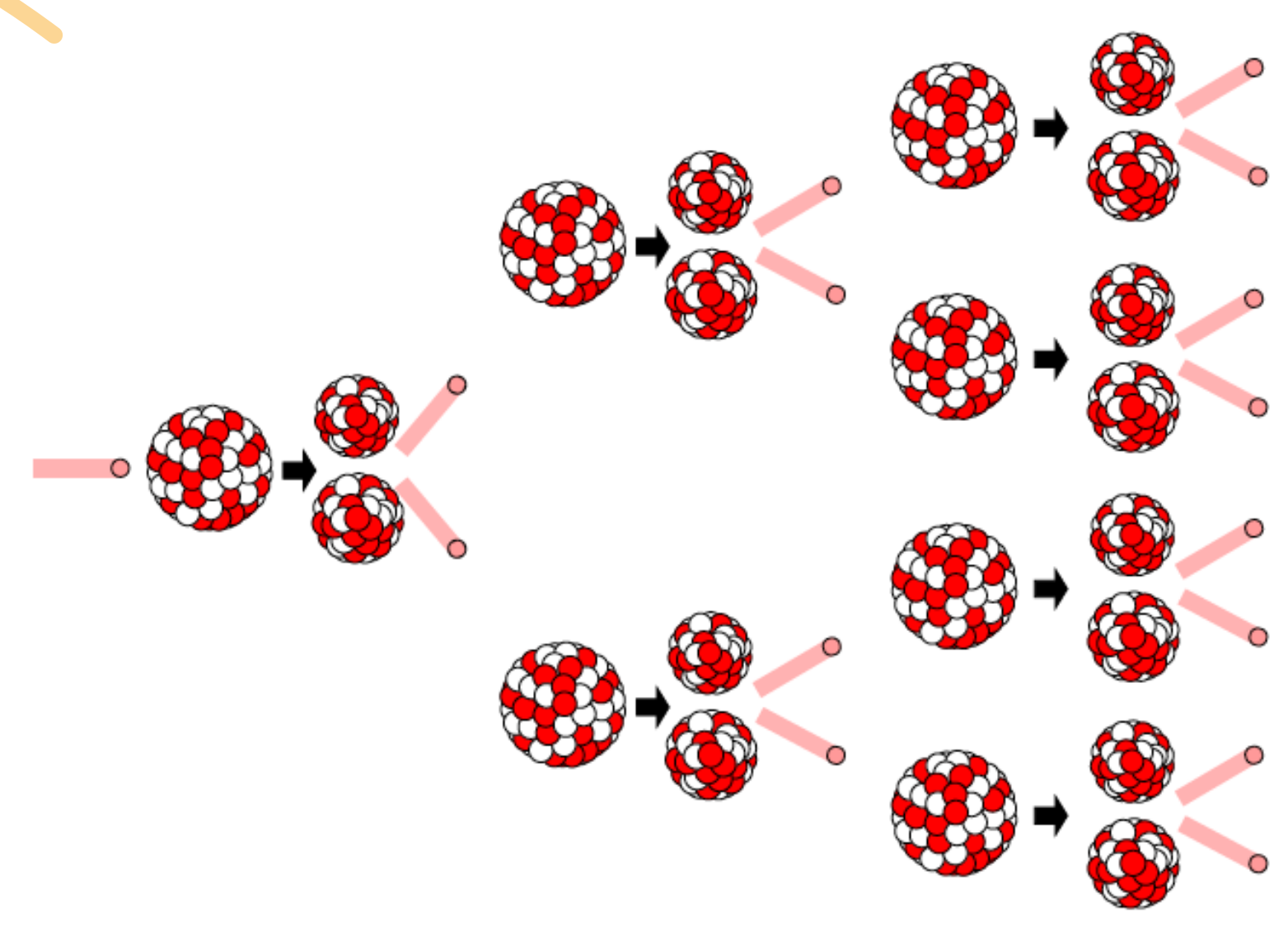
$$E = \frac{m}{m_{235\,\mathrm{U}}} E_{\mathrm{Spaltung}} \approx -8 \cdot 10^{13}\,\mathrm{J} \;.$$

Zum Vergleich

Die spezifische Verbrennungswärme von Heizöl beträgt $4.2\cdot 10^7\,\mathrm{J\,kg^{-1}}$. Um den gleichen Energiebetrag wie bei der Spaltung von $1\,\mathrm{kg}^{235}\mathrm{U}$ freizusetzen, müsste man also über $1800\,\mathrm{t}$ Heizöl verbrennen.



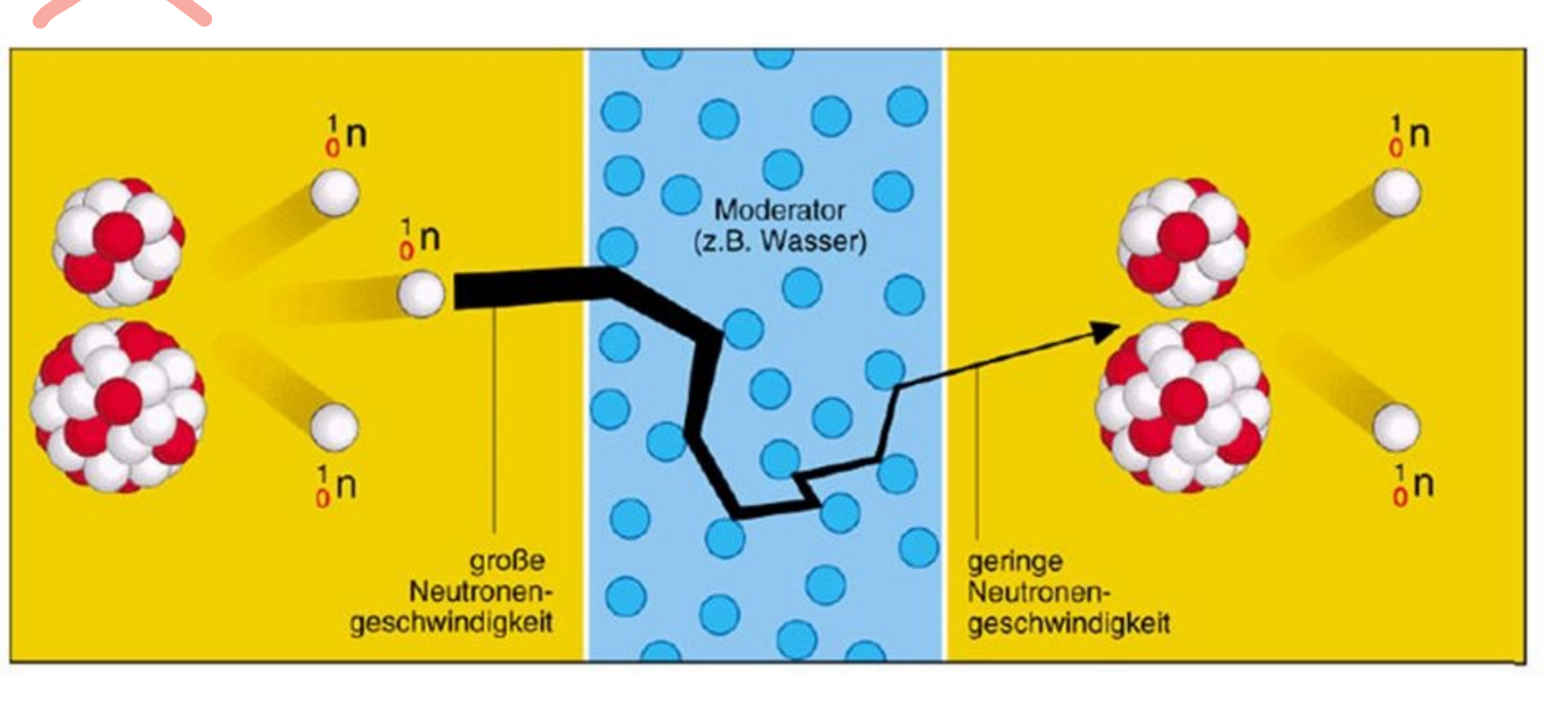
Kettenreaktion in der Kernspaltung



1. Neutronengeneration Neutronengeneration Neutronengeneration



Abbremsung der Neutronen durch einen Moderator



Moderatoren:

D₂O, Graphit,BeO

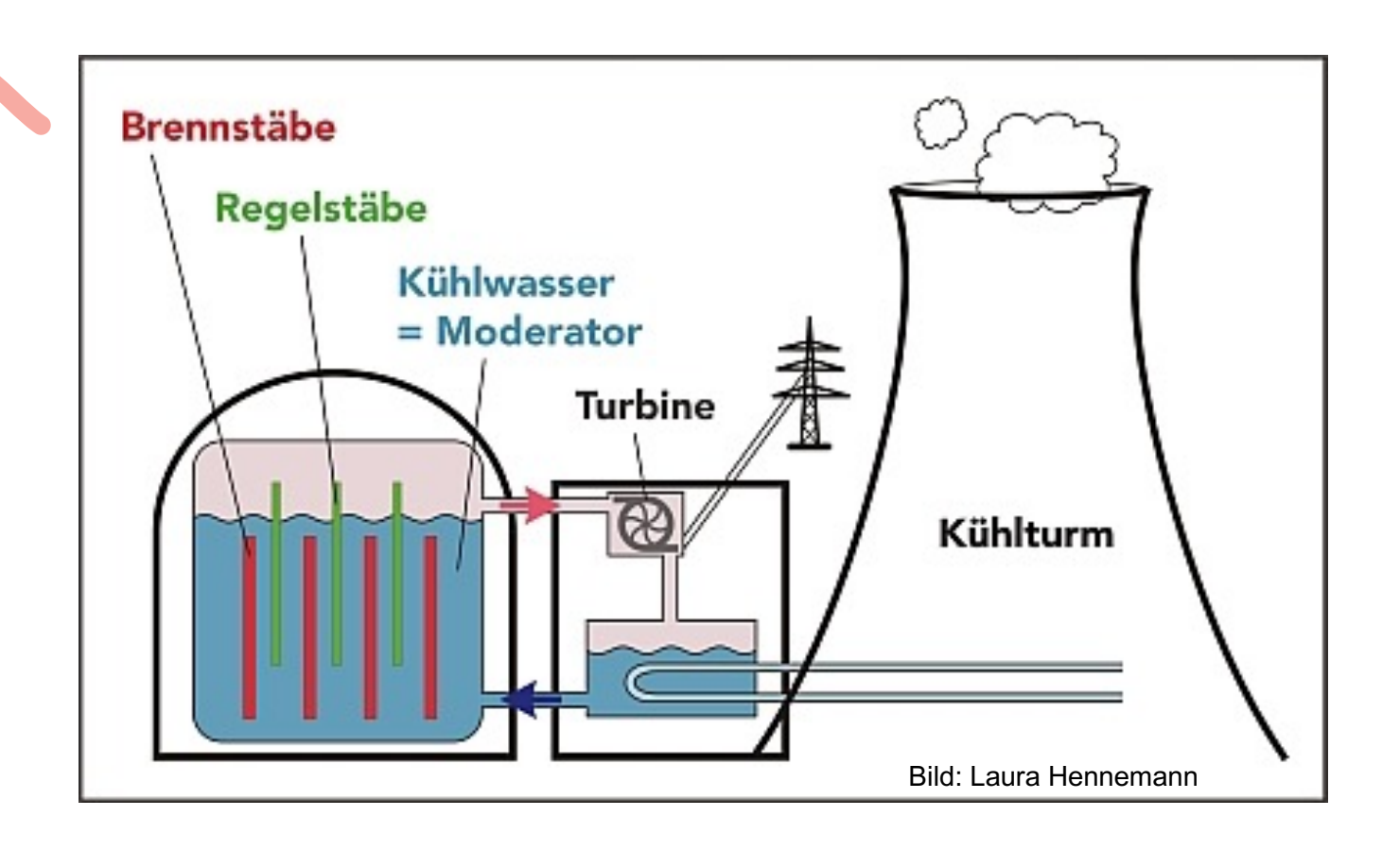
Anforderungen:

Kleine Molmasse →

Neutronen abbremsen, aber nicht absorbieren



Technische Umsetzung





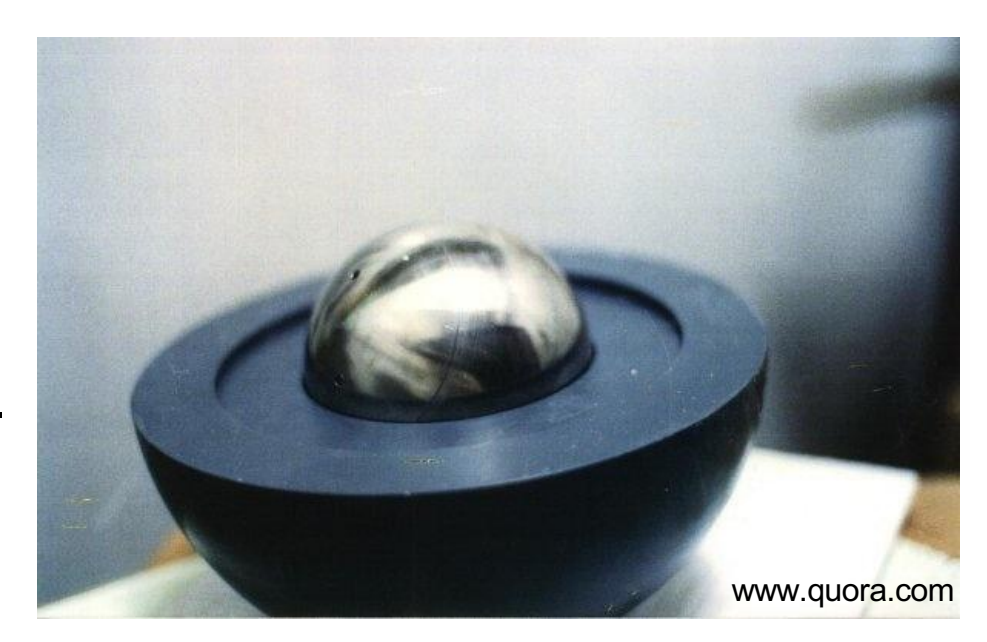
Kritische Masse

- Mindestmasse, die eine Kettenreaktion der Kernspaltung aufrecht erhalten kann
- Abhängig von Dichte, Form, Anordnung, etc.
- In Kugelform ist kritische Masse am geringsten
- Bsp:

²³⁵U: ca. 50 kg = Kugel mit 17 cm Durchmesser

²³⁹Pu: ca. 5.6 kg = Kugel mit 8 cm Durchmesser

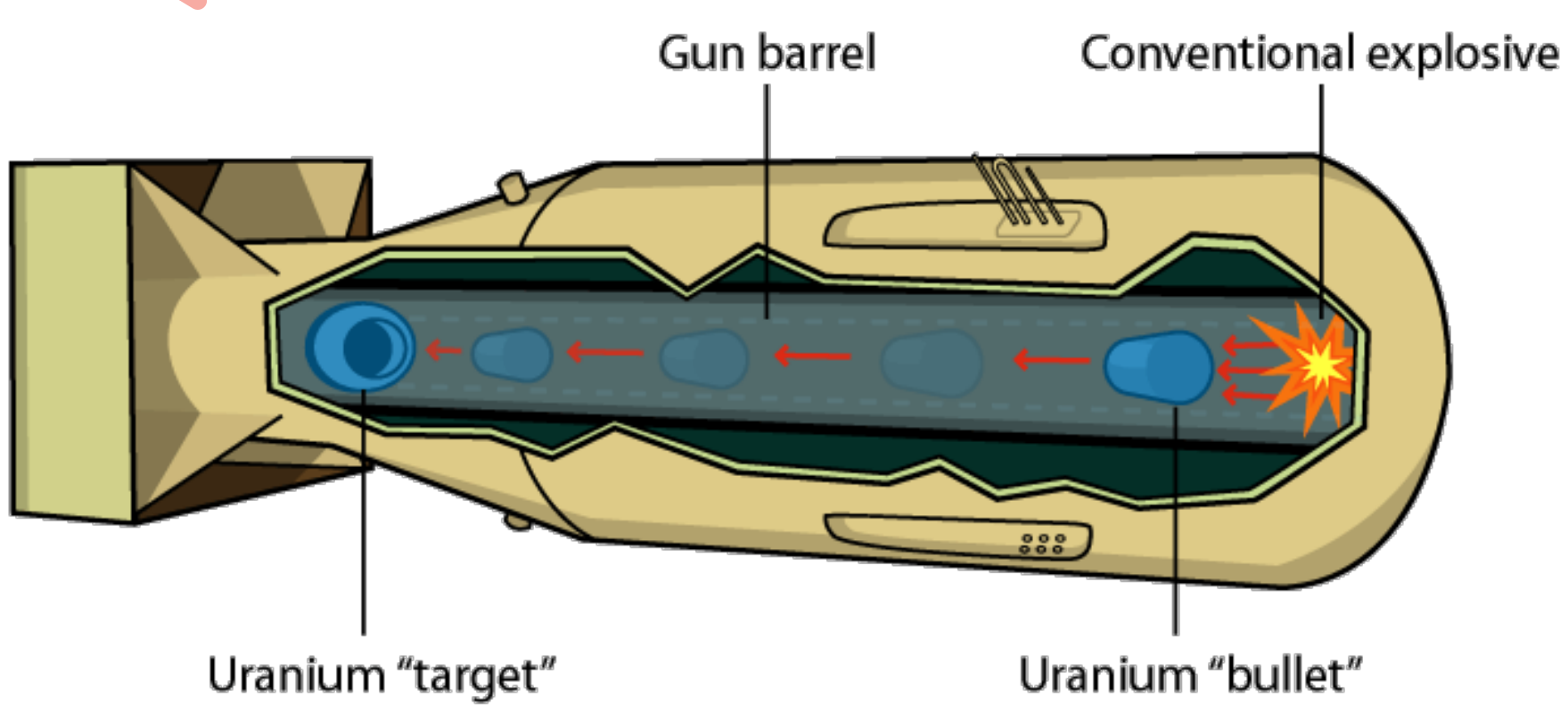
- Beimischung anderer Isotope erhöht die kritische Masse überproprtional
- Bsp: Bei 60:40 Mischung von ²³⁸U:²³⁵U ist die kritische Masse 4x grösser.
- Erklärung: 238 U + n \rightarrow 239 U \rightarrow β -
- Uran muss «angereichert» werden, d.h. Anteil ²³⁵U muss erhöht werden.





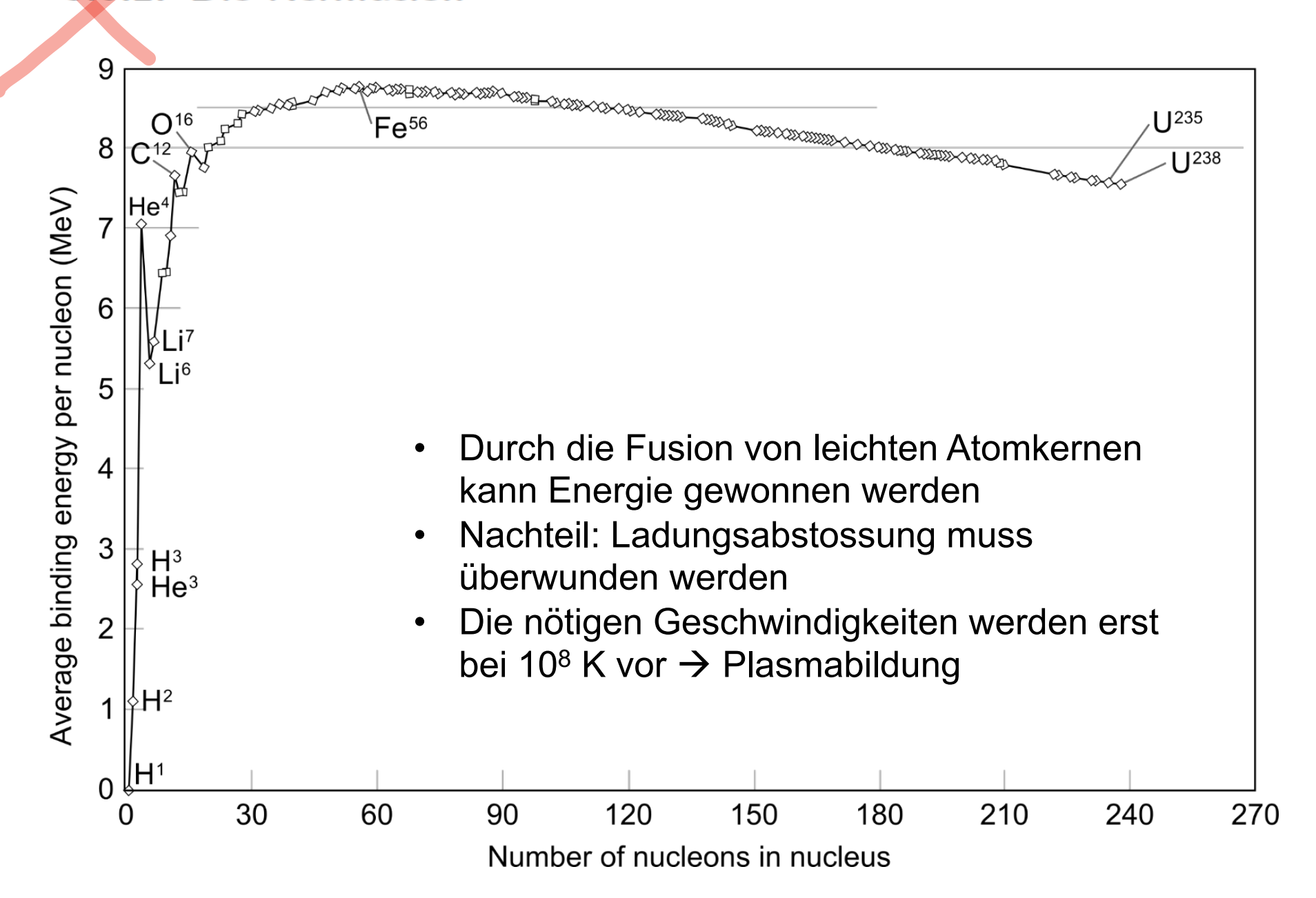
Kritische Masse in einer Atombombe







3.6.2. Die Kernfusion







Wichtigste Reaktion in der Sonne:

$$4_{1}^{1}H^{+} \longrightarrow {}_{2}^{4}He^{2+} + 2_{1}^{0}e^{+} + 2\nu_{e}$$

Wichtigste Reaktion für technische Anwendungen:

$${}_{1}^{2}\mathrm{H}^{+} + {}_{1}^{3}\mathrm{H}^{+} \longrightarrow {}_{2}^{4}\mathrm{He}^{2+} + {}_{0}^{1}\mathrm{n}$$

Deuterium hat eine natürliche Häufigkeit von 0.0115 %.

Es kann z.B. aus Meerwasser gewonnen werden.

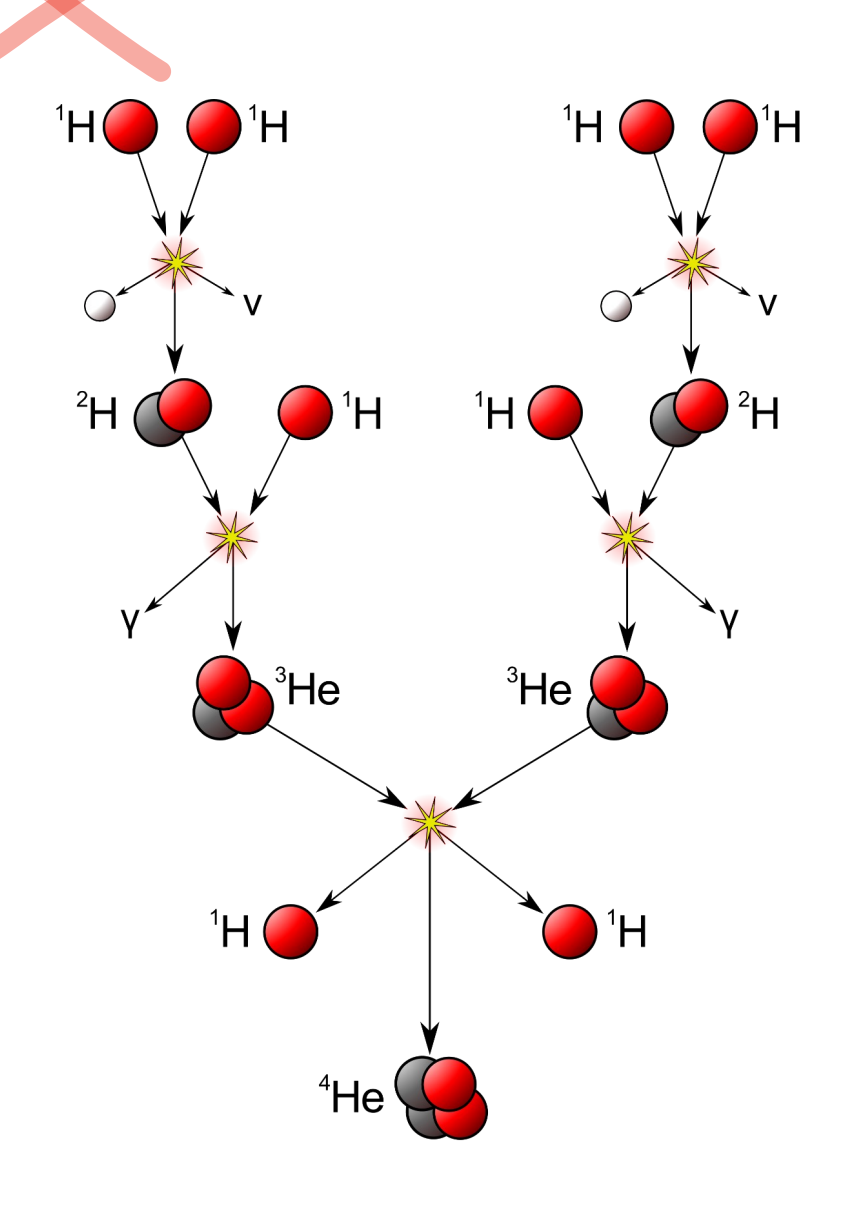
Tritium ist viel seltener, kann aber aus Li «in situ» hergestellt werden:

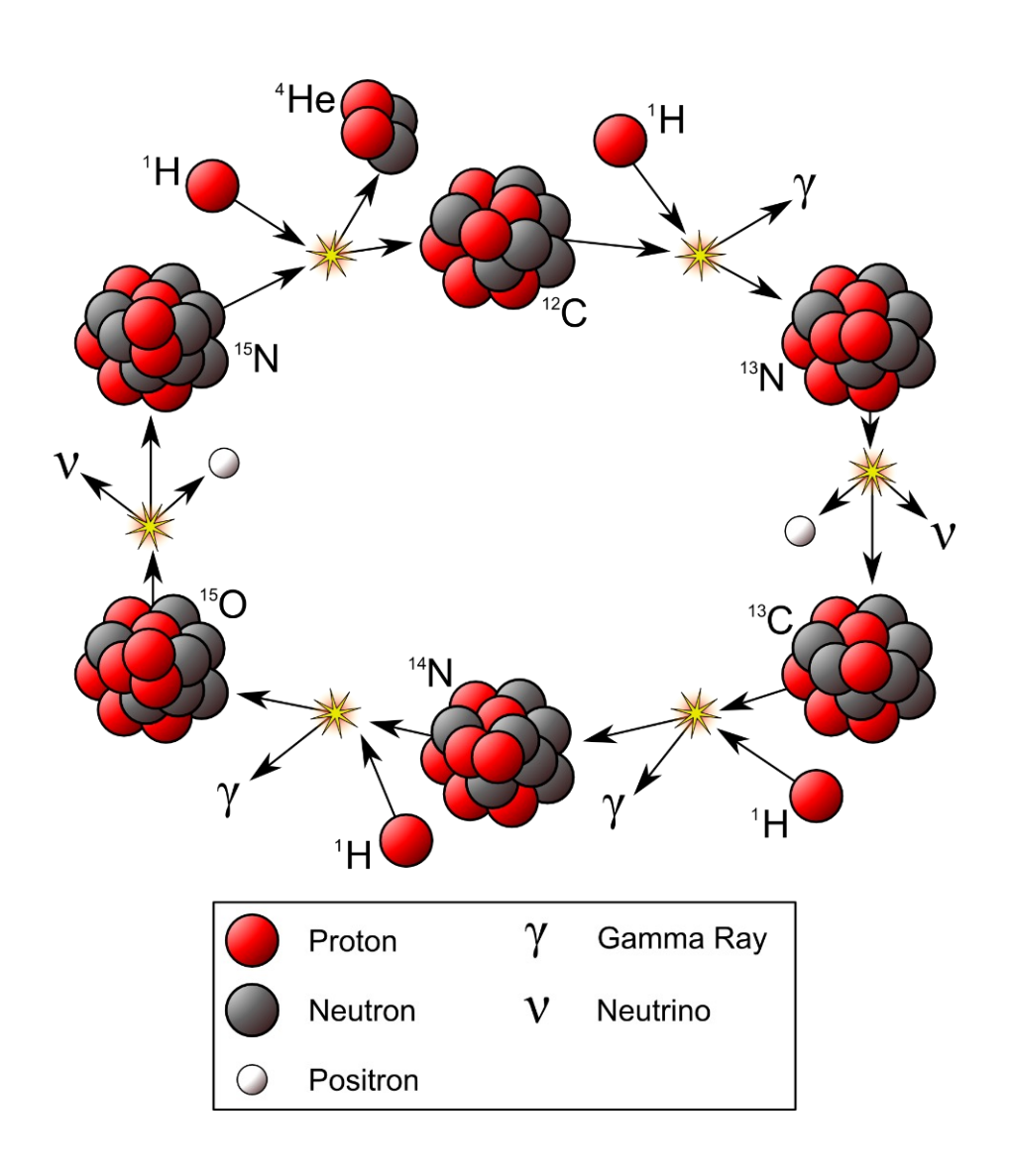
$${}_{3}^{7}\text{Li}^{3+} + {}_{0}^{1}\text{n} \longrightarrow {}_{2}^{4}\text{He}^{2+} + {}_{1}^{3}\text{H}^{+} + {}_{0}^{1}\text{n} ,$$

 ${}_{3}^{6}\text{Li}^{3+} + {}_{0}^{1}\text{n} \longrightarrow {}_{2}^{4}\text{He}^{2+} + {}_{1}^{3}\text{H}^{+}$



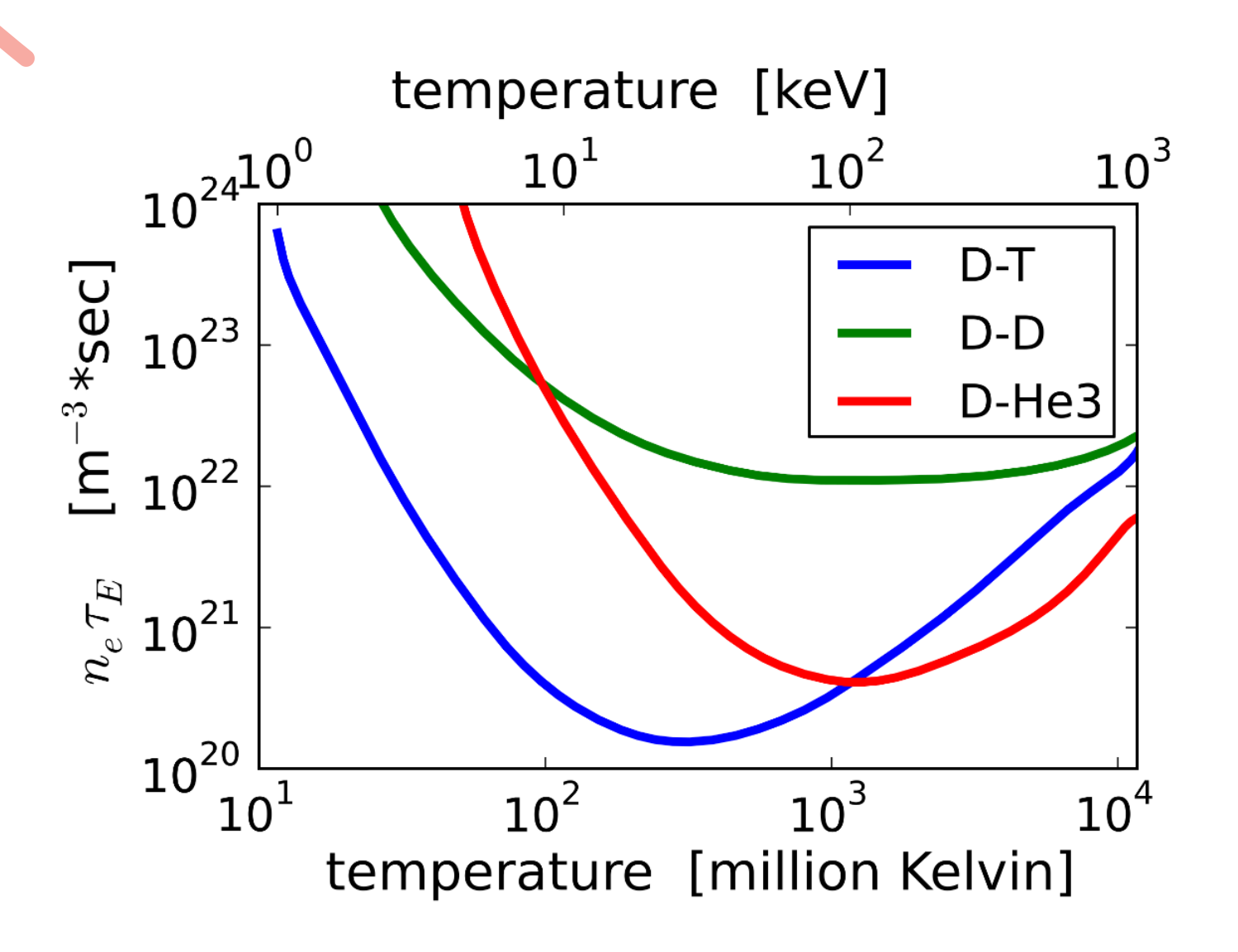
Fusionsreaktionen in Sternen







Voraussetzungen für Fusionsreaktionen

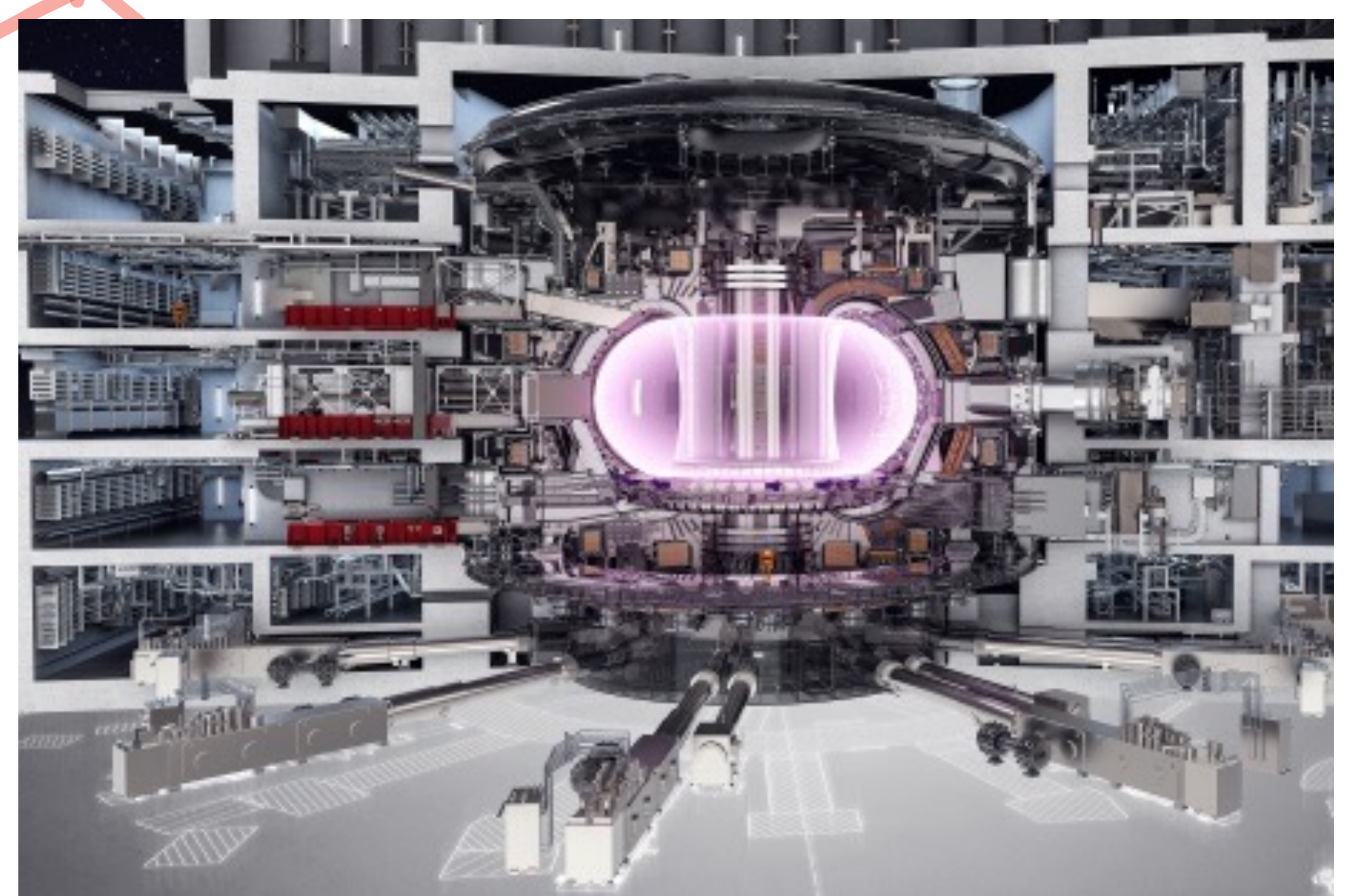


ETH zürich



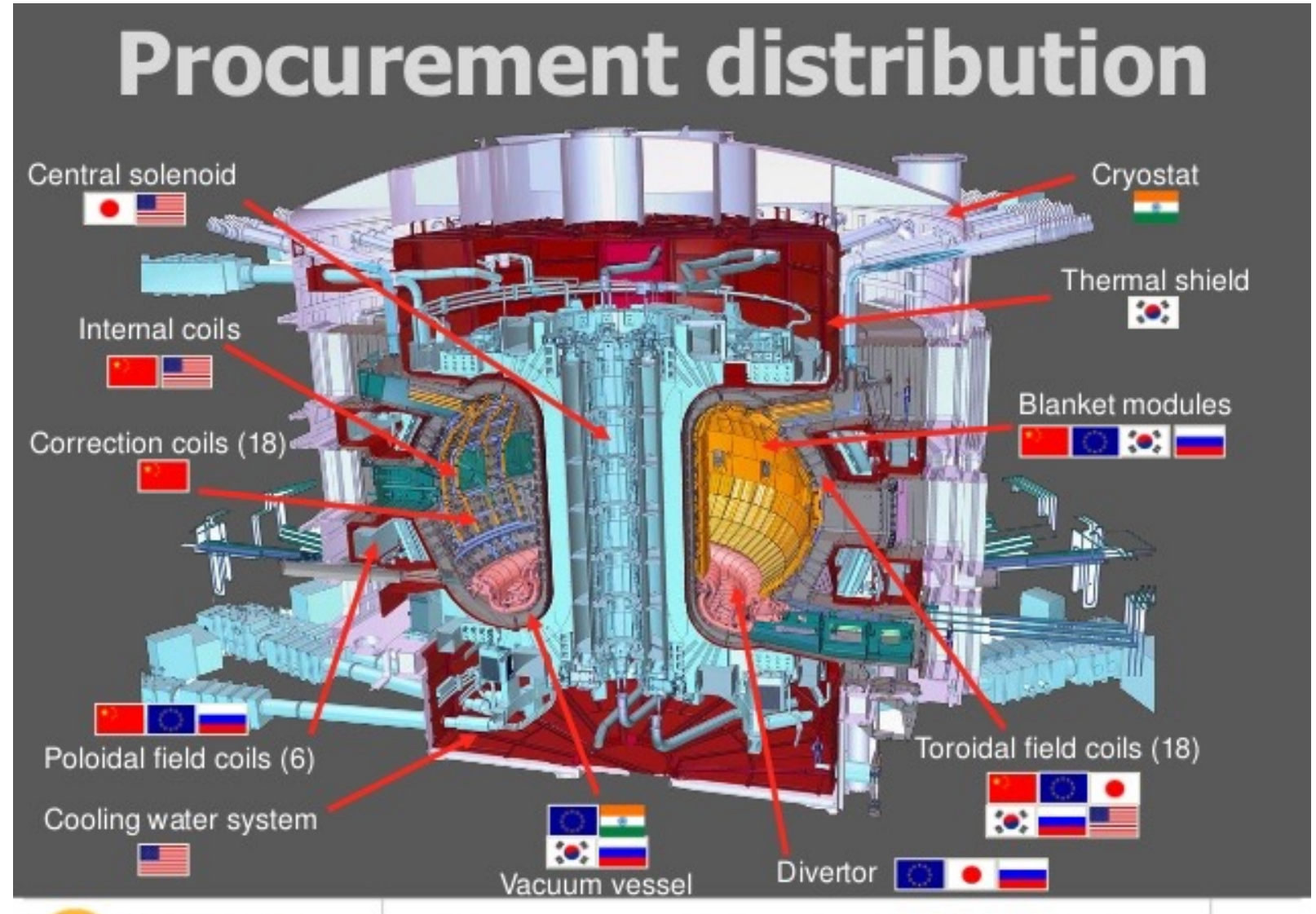
Zündung der H-Bombe «Castel Bravo» mit einer Sprengkraft von 15 Megatonnen TNT

Versuchsreaktor für Kernfusion : ITER





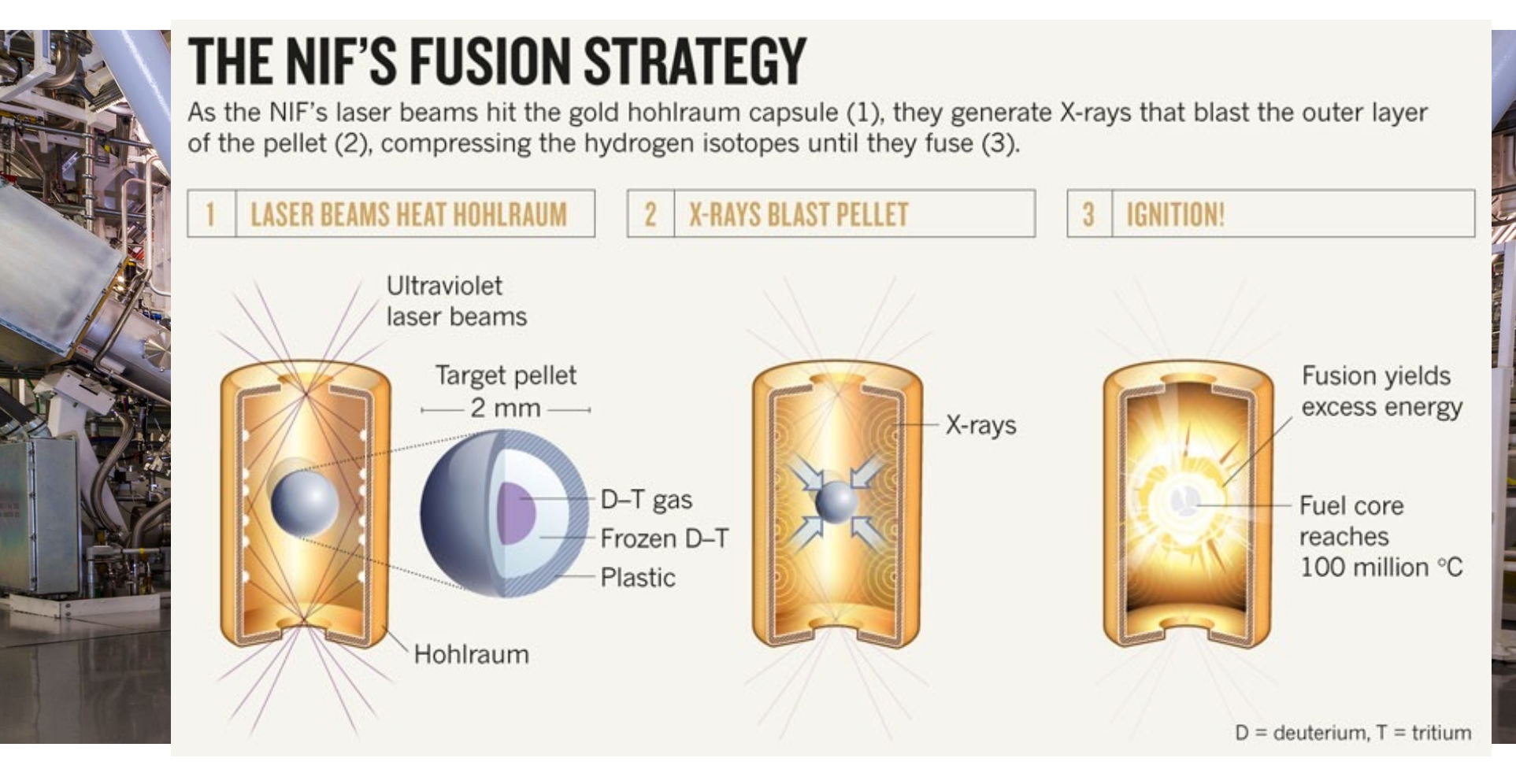
Versuchsreaktor für Kernfusion : ITER





Laserinduziert Zündung von Kernfusion

National Ignition Facility (NIF) am Lawrence Livermore National Laboratory

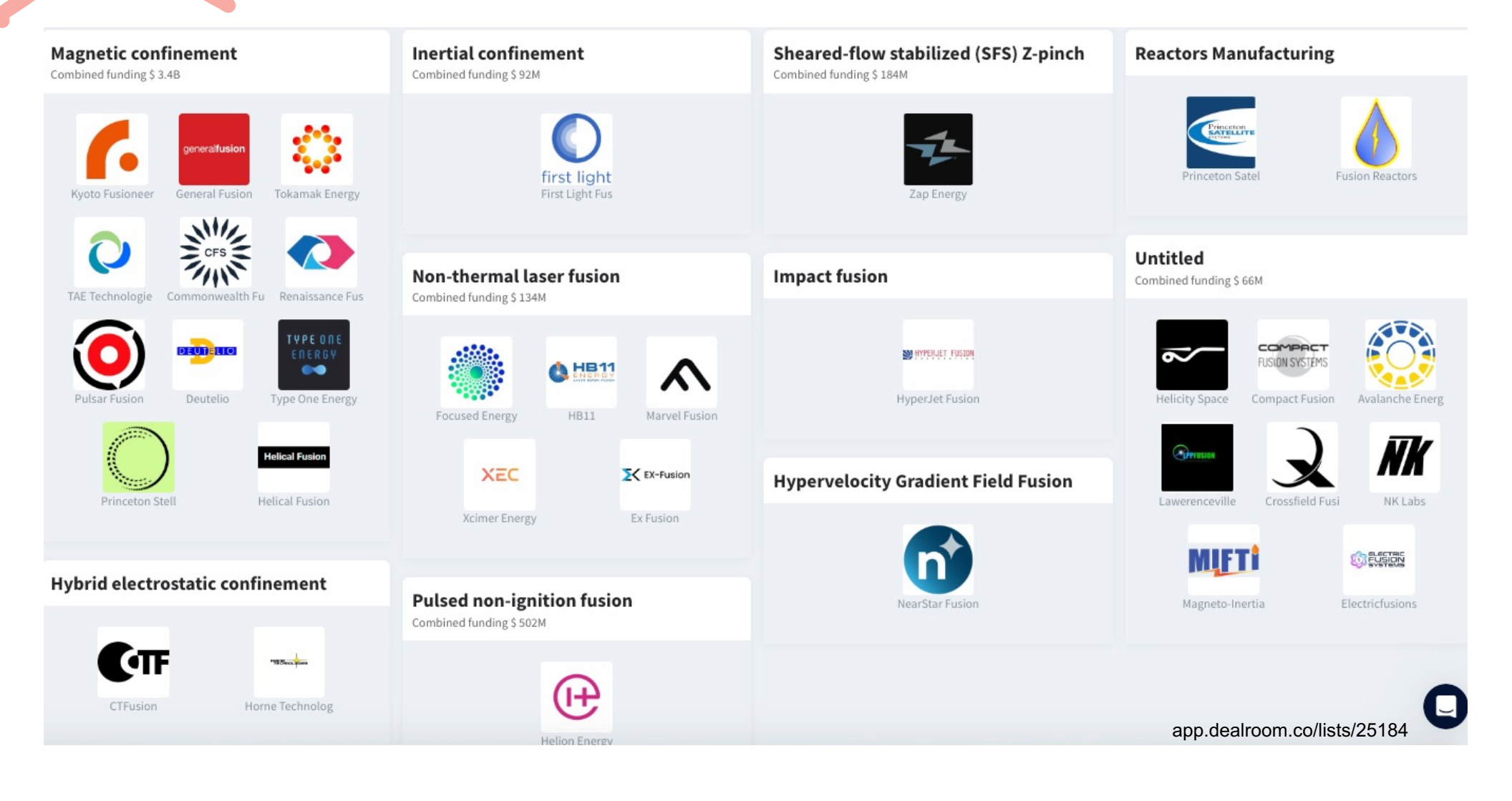


07.12.2022: Es wurde erstmals eine positive Energiebilanz (Laser→Wärme) gemessen.

30.07.2023: Das Experiment wurde erfolgreich wiederholt.



Mehr als 33 Startups arbeiten an Fusionsreaktoren





3.6.3. Markierung mit radioaktiven Nukliden

Stabiles Atom wird durch ein radioaktives Isotop ersetzt (Bsp: 14C, 3H, 125I)

Anwendungen:

- Aufklärung von chemischen Reaktionsmechanismen,
- Untersuchung von Stoffwechselvorgängen,
- Untersuchung des Transports von Insektenvernichtungsmitteln in Pflanzen.



3.6.4. Datierung mit radioaktiven Nukliden

- Nutzt die Tatsache, dass radioaktive Zerfälle nicht von äusseren Bedingungen abhängen
- Voraussetzung: zu bestimmendes Alter und Halbwertszeit müssen gleiche Grössenordnung haben



Radiometrische Altersbestimmung

Tabelle 3.3.: Einige verwendete Systeme zur radiometrischen Altersbestimmung.

System	untersuchtes Isotopenverhältnis	Halbwertszeit des radioaktiven Nuklids
Uran/Blei	$^{238}\mathrm{U}/^{206}\mathrm{Pb}$	$4.468 \cdot 10^9 \mathrm{a}$
Uran/Blei	$^{235}\text{U}/^{207}\text{Pb}$	$7.038 \cdot 10^8 \mathrm{a}$
Thorium/Blei	$^{232}{\rm Th}/^{208}{\rm Pb}$	$1.405 \cdot 10^{10} \mathrm{a}$
Rubidium/Strontium	$^{87}\mathrm{Rb}/^{87}\mathrm{Sr}$	$4.81 \cdot 10^{10} \mathrm{a}$
Samarium/Neodym	$^{147} \text{Sm} / ^{143} \text{Nd}$	$1.06 \cdot 10^{11} \mathrm{a}$
Kalium/Argon	$^{40}{\rm K}/^{40}{\rm Ar}$	$1.248 \cdot 10^9 \mathrm{a}$
Kohlenstoff	$^{14}{ m C}/^{12}{ m C}$	$5730\mathrm{a}$



3.6.4.1. Radiocarbonmethode

- Anwendungen: Archäologie, Archäobotanik
- Anwendbar bis etwa 50'000 a
- Natürliche Häufigkeit von ¹⁴C ist ~10⁻¹⁰ %
- Bildungsmechanismus

$$^{14}_{7}N + ^{1}_{0}n \longrightarrow ^{14}_{6}C^{-} + ^{1}_{1}H^{+}$$

Zerfall: β⁻



3.6.4.2. Kalium-Argon- und Rubidium-Strontium-Methode

- 40K kommt in Mineralien vor
- Zerfall:

- Anwendung: 1-2 Mia. Jahre (Ca) bzw. 200-800 Mio. Jahre (Ar)
- Problem: Ar entweicht, wenn T > 125°C.
- Stoffmengenverhältnis Tochter-/Mutternuklid liefert Alter der Probe

$$t - t_0 = \frac{t_{1/2,^{40}\text{K}}}{\ln(2)} \ln\left(1 + \frac{1}{w_{\epsilon}} \frac{N_{40}\text{Ar}(t)}{N_{40}\text{K}(t)}\right)$$

- ⁸⁷Rb zerfällt zu ⁸⁷Sr nach β⁻
- Stoffmengenverhältnis Tochter-/Mutternuklid liefert Alter der Probe

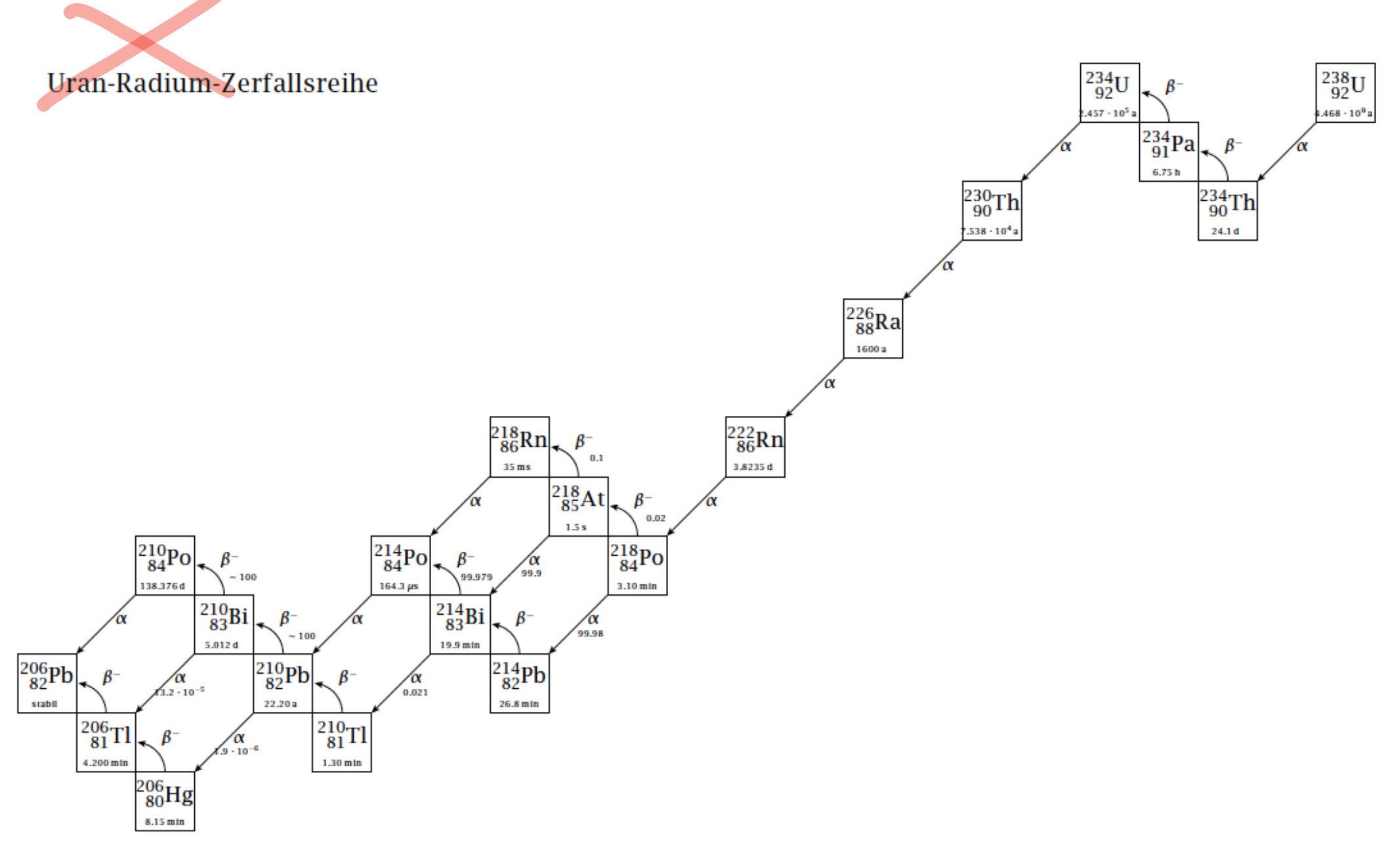
$$t - t_0 = \frac{t_{1/2,87 \text{Rb}}}{\ln(2)} \ln\left(1 + \frac{N_{87 \text{Sr}}(t)}{N_{87 \text{Rb}}(t)}\right)$$

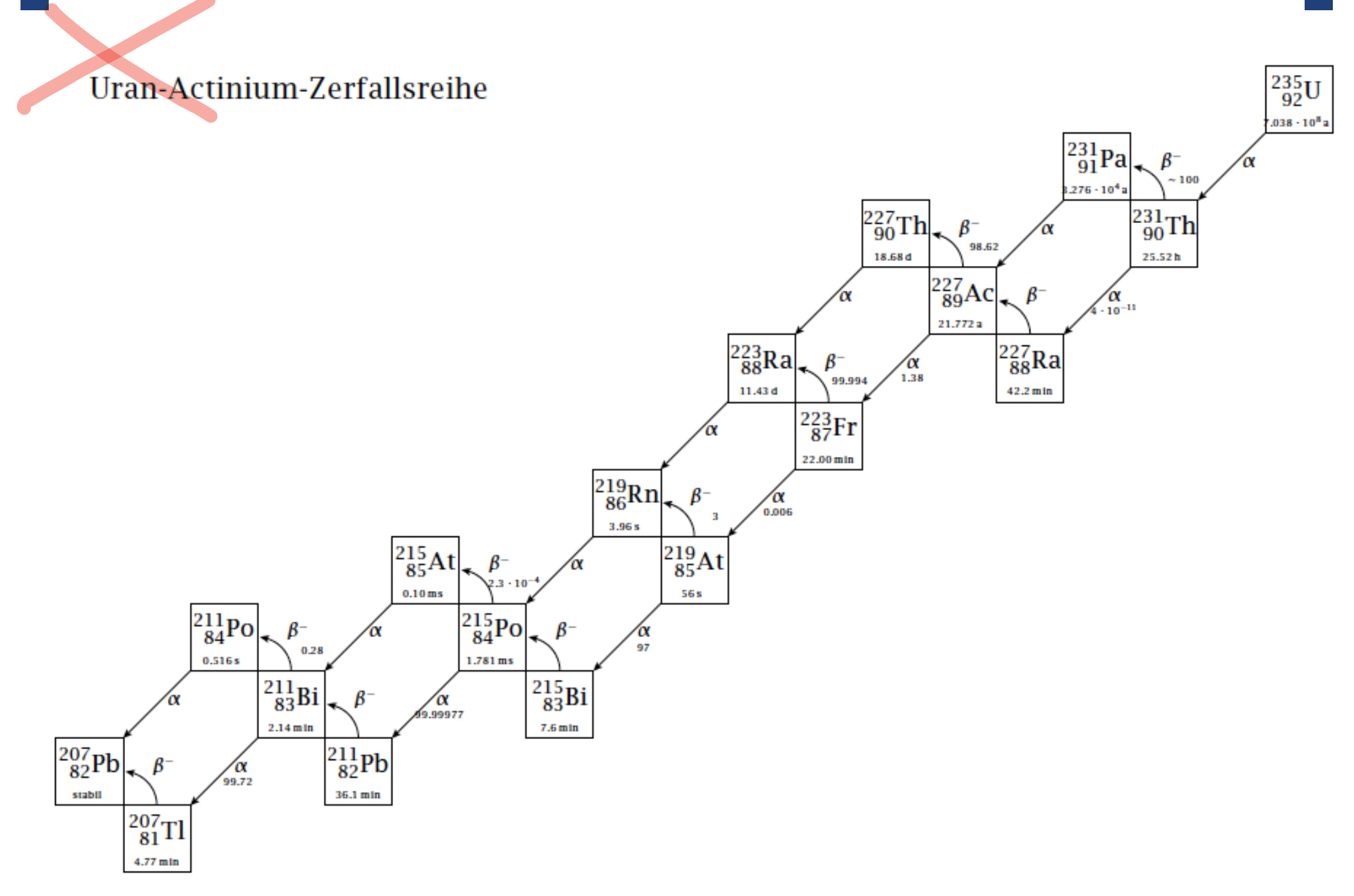


3.6.4.3. Uran-Blei-Methode

Die Uran-Blei-Methode ist eine Datierungsmethode, bei der die radioaktiven Zerfallsreihen von Uran ausgenutzt werden, um Proben zu datieren. Mit dieser Methode werden beispielsweise irdisches Gestein oder auch Meteoriten datiert.

ETH zürich







3.6.4.3. Uran-Blei-Methode

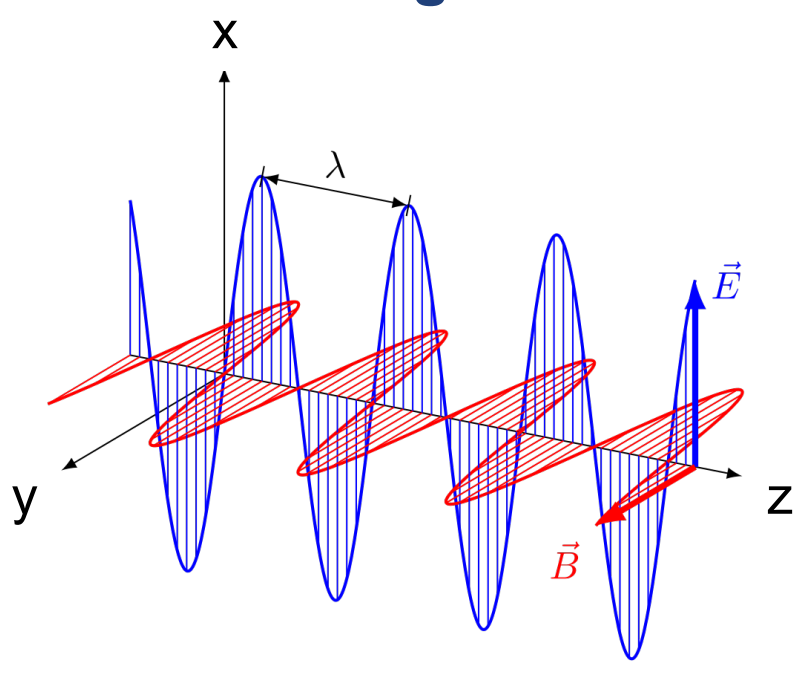
Die Uran-Blei-Methode ist eine Datierungsmethode, bei der die radioaktiven Zerfallsreihen von Uran ausgenutzt werden, um Proben zu datieren. Mit dieser Methode werden beispielsweise irdisches Gestein oder auch Meteoriten datiert.

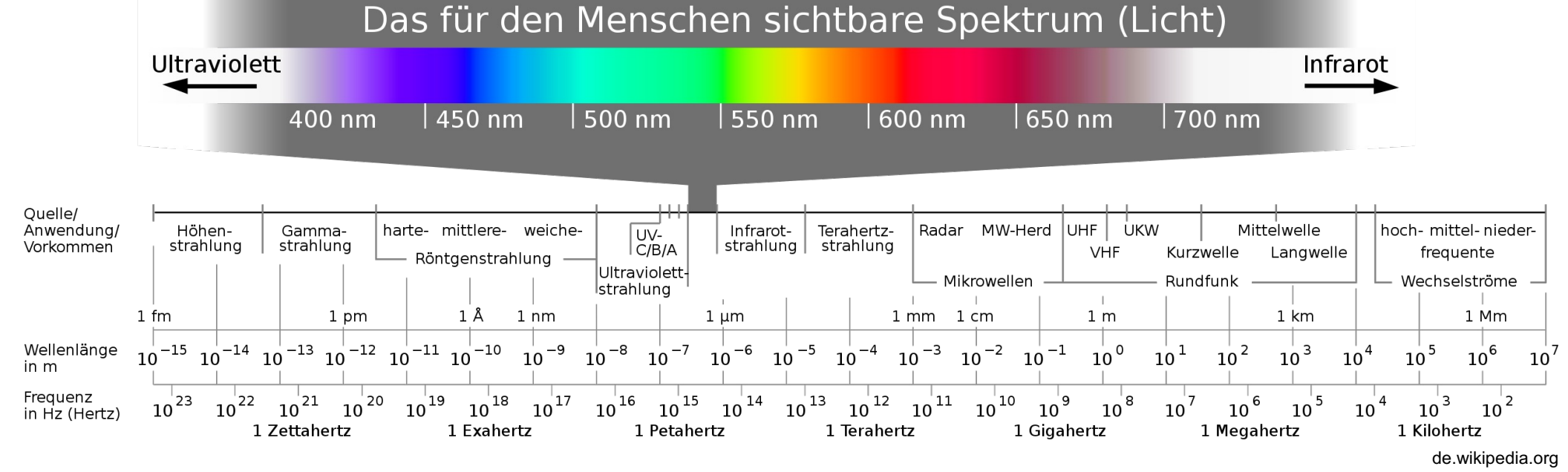
$$t - t_0 = \frac{t_{1/2,^{238}\text{U}}}{\ln(2)} \ln\left(1 + \frac{N_{206\text{Pb}}(t)}{N_{238\text{U}}(t)}\right) = \frac{t_{1/2,^{235}\text{U}}}{\ln(2)} \ln\left(1 + \frac{N_{207\text{Pb}}(t)}{N_{235\text{U}}(t)}\right)$$

$$\frac{N_{207\,\mathrm{Pb}}(t)}{N_{206\,\mathrm{Pb}}(t)} = \frac{N_{235\,\mathrm{U}}(t)}{N_{238\,\mathrm{U}}(t)} \frac{\mathrm{e}^{k_{235\,\mathrm{U}}(t-t_0)} - 1}{\mathrm{e}^{k_{238\,\mathrm{U}}(t-t_0)} - 1} = \frac{N_{235\,\mathrm{U}}(t)}{N_{238\,\mathrm{U}}(t)} \frac{2^{(t-t_0)/t_{1/2}, 235\,\mathrm{U}} - 1}{2^{(t-t_0)/t_{1/2}, 238\,\mathrm{U}} - 1}$$



Kapitel 4: Elektromagnetische Strahlung









Wellengleichungen:

$$\left(\frac{\partial^2}{\partial x^2} + \frac{\partial^2}{\partial y^2} + \frac{\partial^2}{\partial z^2}\right) \vec{E}(x, y, z, t) = \frac{1}{c_0^2} \frac{\partial^2}{\partial t^2} \vec{E}(x, y, z, t)$$

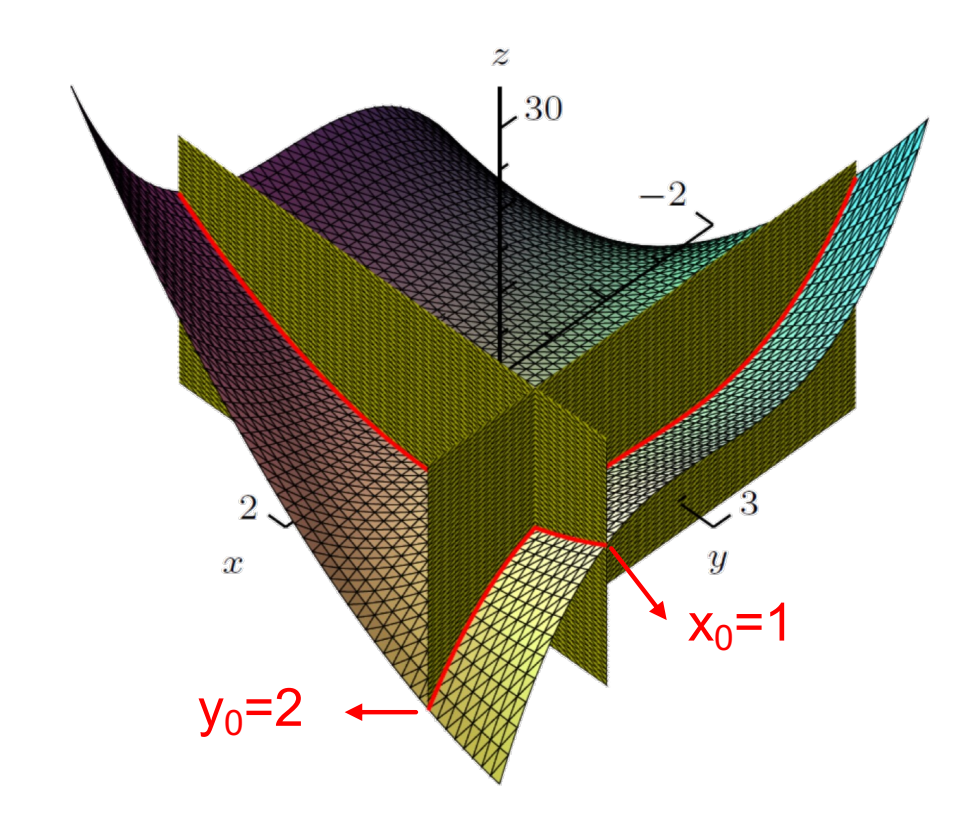
$$\left(\frac{\partial^2}{\partial x^2} + \frac{\partial^2}{\partial y^2} + \frac{\partial^2}{\partial z^2}\right) \vec{B}(x, y, z, t) = \frac{1}{c_0^2} \frac{\partial^2}{\partial t^2} \vec{B}(x, y, z, t)$$



Mathematische Hilfsmittel: partielle Ableitung

$$\frac{\partial f}{\partial x_i} \equiv \lim_{h \to 0} \frac{f(x_1, ..., x_i + h, ..., x_j, ..., x_n) - f(x_1, ..., x_i, ..., x_j, ..., x_n)}{h}$$

Beispiel:
$$g(x,y) = x + y^2 - x^3y$$





Mathematische Hilfsmittel: partielle Ableitungen höherer Ordnung

Zweite partielle Ableitung nach derselben Variablen: $\frac{\partial^2 f}{\partial x_i^2}$

Gemischte partielle Ableitung zweiter Ordnung: $\frac{\partial^2 f}{\partial x_i \partial x_j}$

Satz von Schwarz: Die Reihenfolge der Ableitungen spielt keine Rolle

$$\frac{\partial^2 f}{\partial x_i \partial x_j} = \frac{\partial^2 f}{\partial x_j \partial x_i}$$

$$\frac{\partial^3 f}{\partial x_i^2 \partial x_j} = \frac{\partial^3 f}{\partial x_i \partial x_j \partial x_i} = \frac{\partial^3 f}{\partial x_j \partial x_i^2}$$



Wellengleichungen:

$$\left(\frac{\partial^2}{\partial x^2} + \frac{\partial^2}{\partial y^2} + \frac{\partial^2}{\partial z^2}\right) \vec{E}(x, y, z, t) = \frac{1}{c_0^2} \frac{\partial^2}{\partial t^2} \vec{E}(x, y, z, t)$$

$$\left(\frac{\partial^2}{\partial x^2} + \frac{\partial^2}{\partial y^2} + \frac{\partial^2}{\partial z^2}\right) \vec{B}(x, y, z, t) = \frac{1}{c_0^2} \frac{\partial^2}{\partial t^2} \vec{B}(x, y, z, t)$$

Lösungen:

$$\vec{E}(x,y,z,t) = \begin{pmatrix} E_0 \cos(\omega(t-t_0) - k(z-z_0)) \\ 0 \\ 0 \end{pmatrix}$$

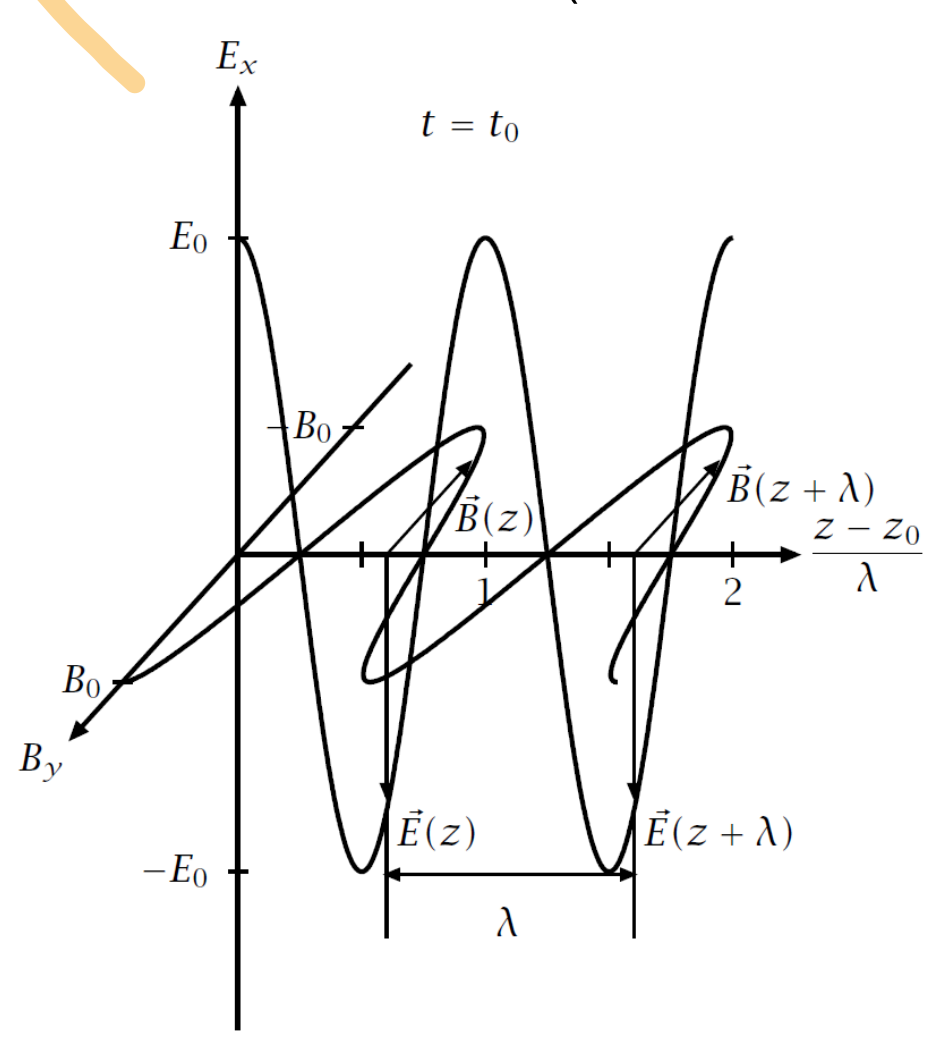
$$\vec{B}(x, y, z, t) = \begin{pmatrix} 0 \\ B_0 \cos(\omega(t - t_0) - k(z - z_0)) \\ 0 \end{pmatrix}$$

Kreisfrequenz ω Kreiswellenzahl k

 $c_0 = \frac{\omega}{l_0}$



(räumliche Darstellung)

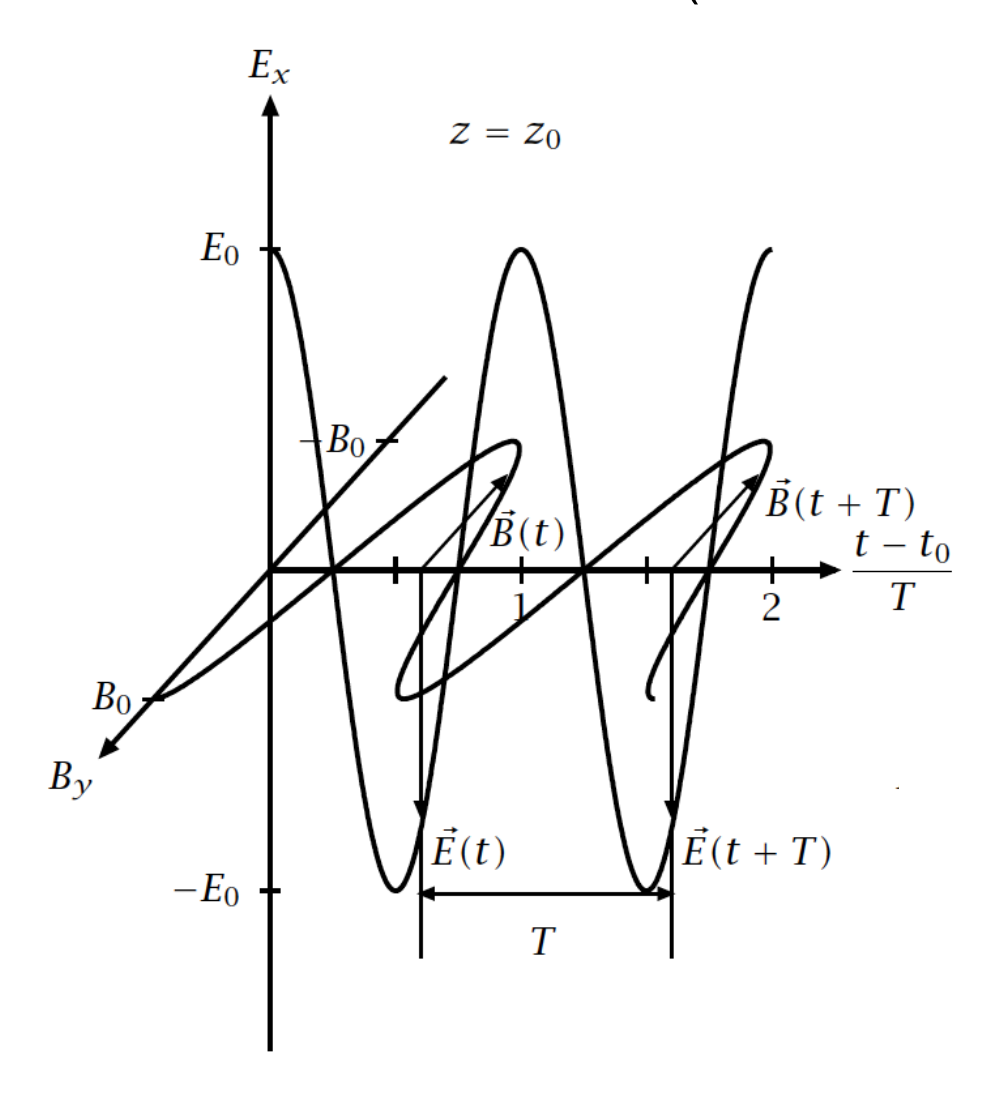


Wellenlänge
$$\lambda$$

Wellenlänge
$$\lambda$$
 $\lambda k = 2\pi$ \Leftrightarrow $\lambda =$



(zeitliche Darstellung)



Periode
$$T$$

$$\omega T = 2\pi \quad \Leftrightarrow \quad T = \frac{2\pi}{\omega}$$



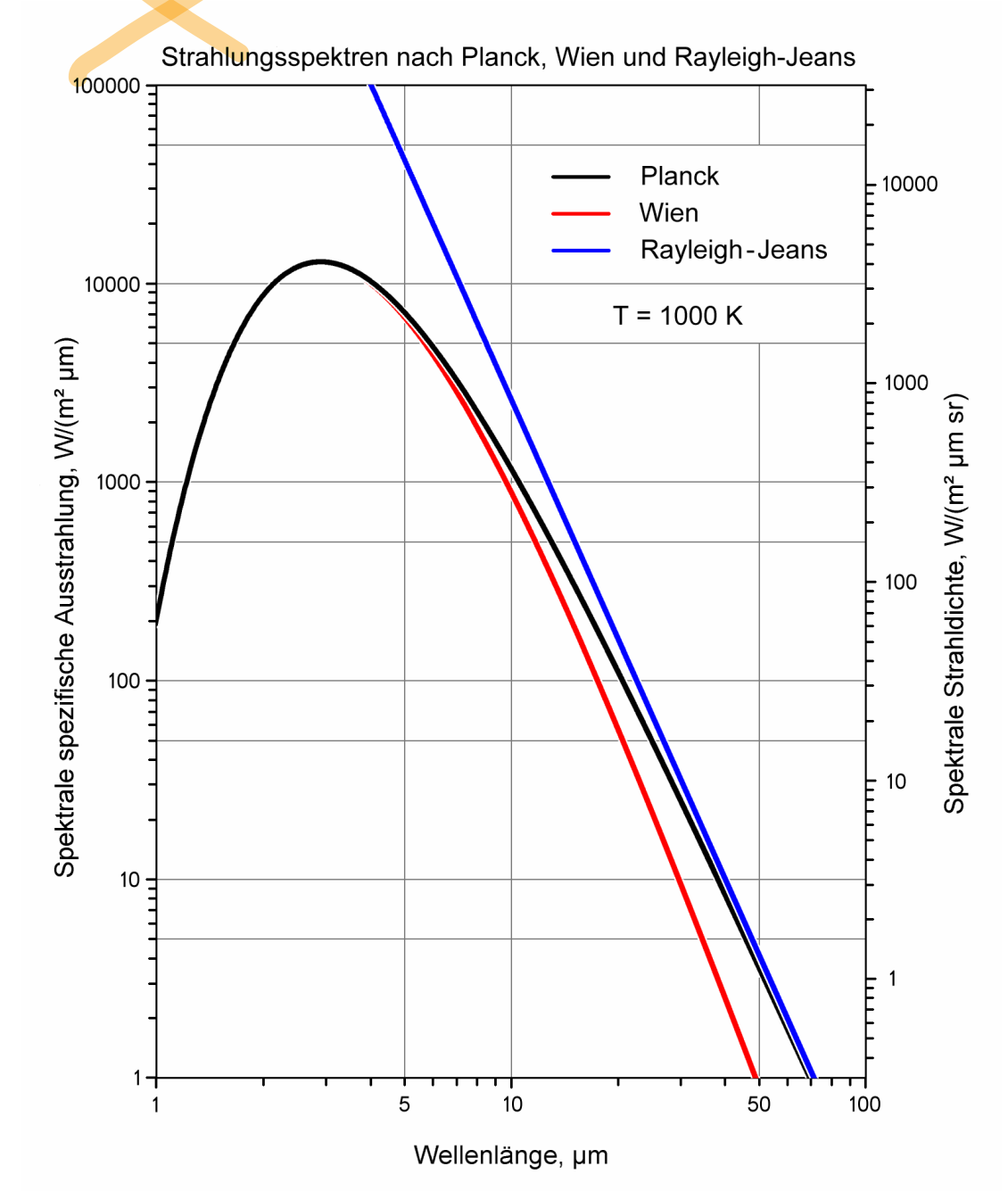
Wellen im Zeit- und Ortsbereich

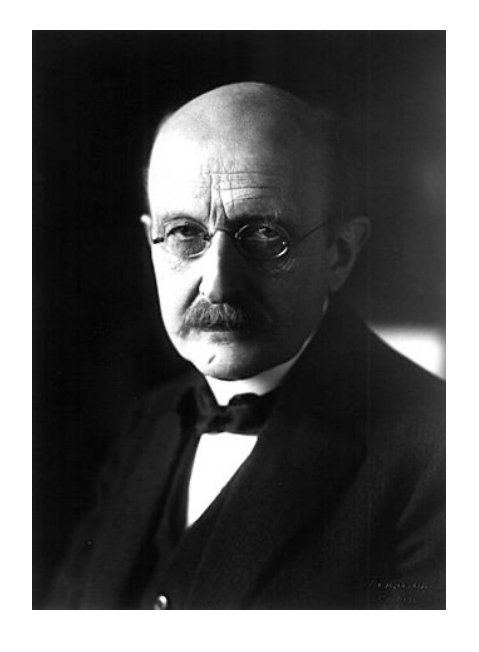
Zeitbereich		Ortsbereich	
Periode	\overline{T}	Wellenlänge	λ
Frequenz	$\nu = \frac{1}{T}$	Wellenzahl	$\tilde{\nu} = \frac{1}{\lambda}$
Kreisfrequenz	$\omega = \frac{2\pi}{T} = 2\pi\nu$	Kreiswellenzahl	$k = \frac{2\pi}{\lambda} = 2\pi\tilde{\nu}$

$$\lambda \nu = c_0$$



Teilchennatur der elektromagnetischen Strahlung





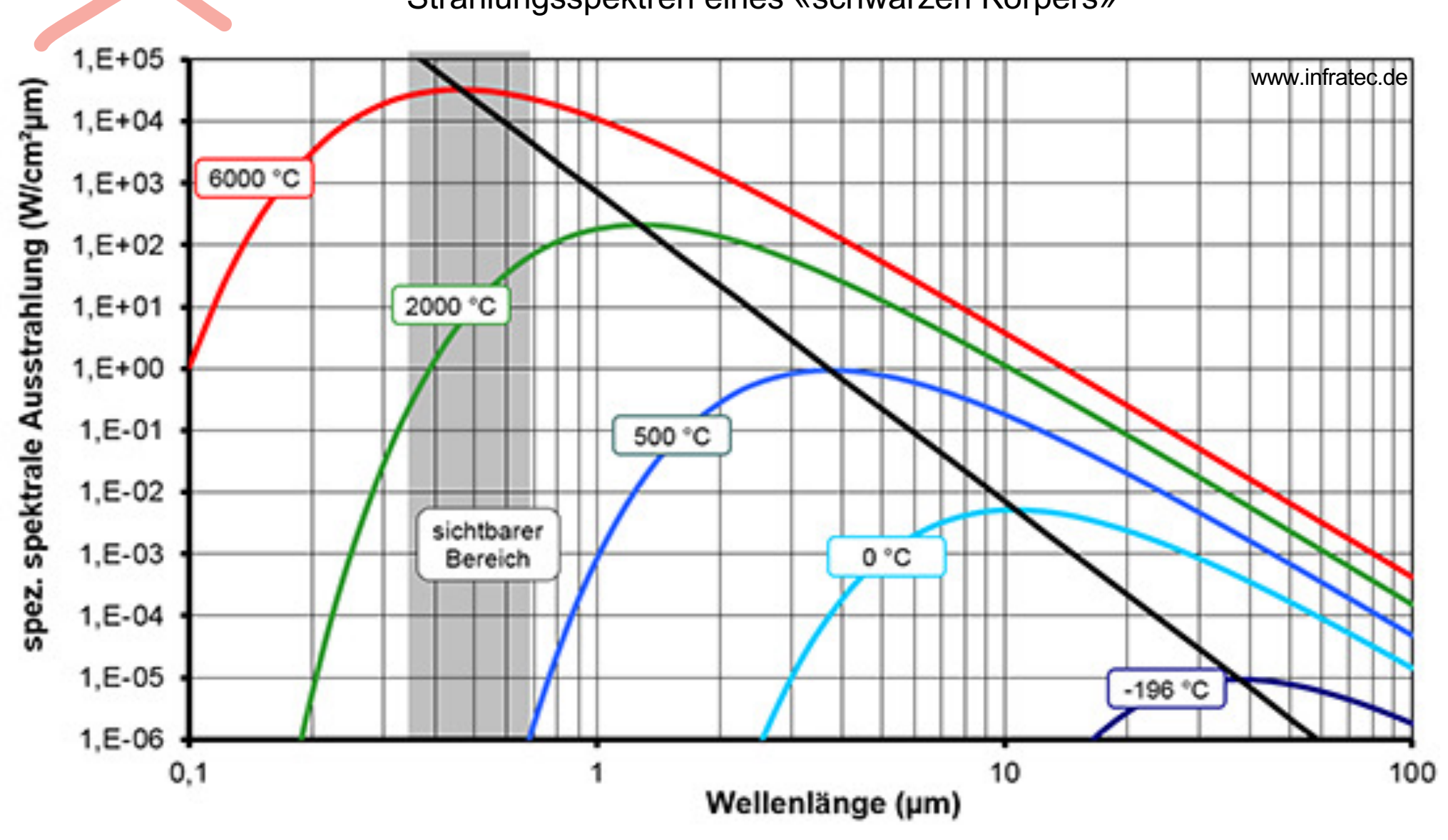
Max Planck (1858-1947)

Annahme: Strahlungsenergie kann nur in diskreten Mengen ΔE übertragen werden: $\Delta E = h_V$, $2h_V$, $3h_V$, ...



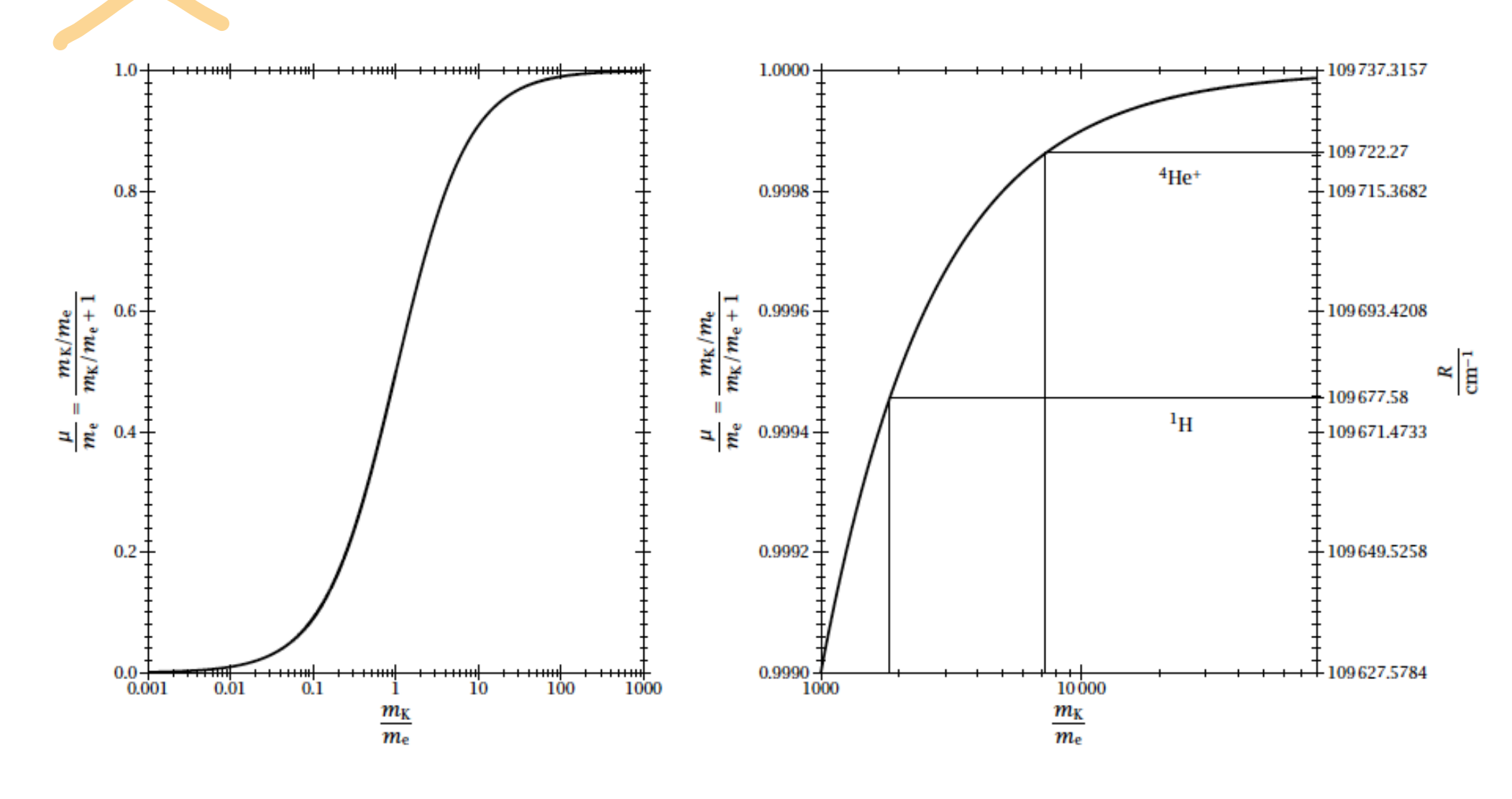
Teilchennatur der elektromagnetischen Strahlung







Reduzierte Masse



ETH zürich

4.3. Das Atommodell von Bohr

4.3.1. Die Postulate von Bohr

- 1. In einem Atom bewegt sich ein Elektron auf diskreten Kreisbahnen um den Atomkern. Dabei sind nur Zustände erlaubt, die zu Bahnen mit bestimmten Radien r_n und entsprechenden Energien E_n gehören. Mit der sogenannten Quantenzahl n = 1, 2, 3, ... werden diese diskreten Zustände nummeriert.
- 2. Die kreisförmige Bewegung der Elektronen erfolgt strahlungslos. Wird von aussen Strahlung zugeführt, kann sie nur dann vom Atom absorbiert werden, wenn die Energie hν der in Kapitel 4.1.2 beschriebenen Lichtquanten ausreicht, das Atom von einem erlaubten Zustand in einen anderen erlaubten Zustand anzuregen. Aufgrund der Energieerhaltung muss also

$$|\Delta E| = |E_{n_{\rm f}} - E_{n_{\rm i}}| = h\nu$$

gelten. n_i steht dabei für die Quantenzahl des Anfangszustands («initial state») und n_f für jene des Endzustands («final state»).

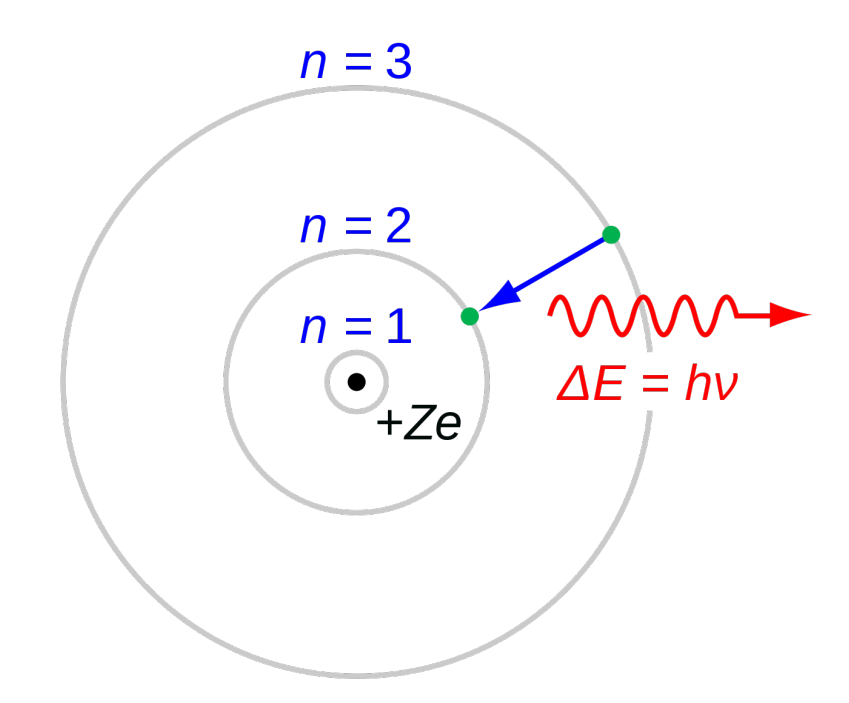


4.3.1. Die Postulate von Bohr

3. Der Betrag des Drehimpulses \vec{l} eines in einem Atom gebundenen Elektrons nimmt nur die diskreten Werte

(wobei
$$\hbar = \frac{h}{2\pi}$$
 ist.)

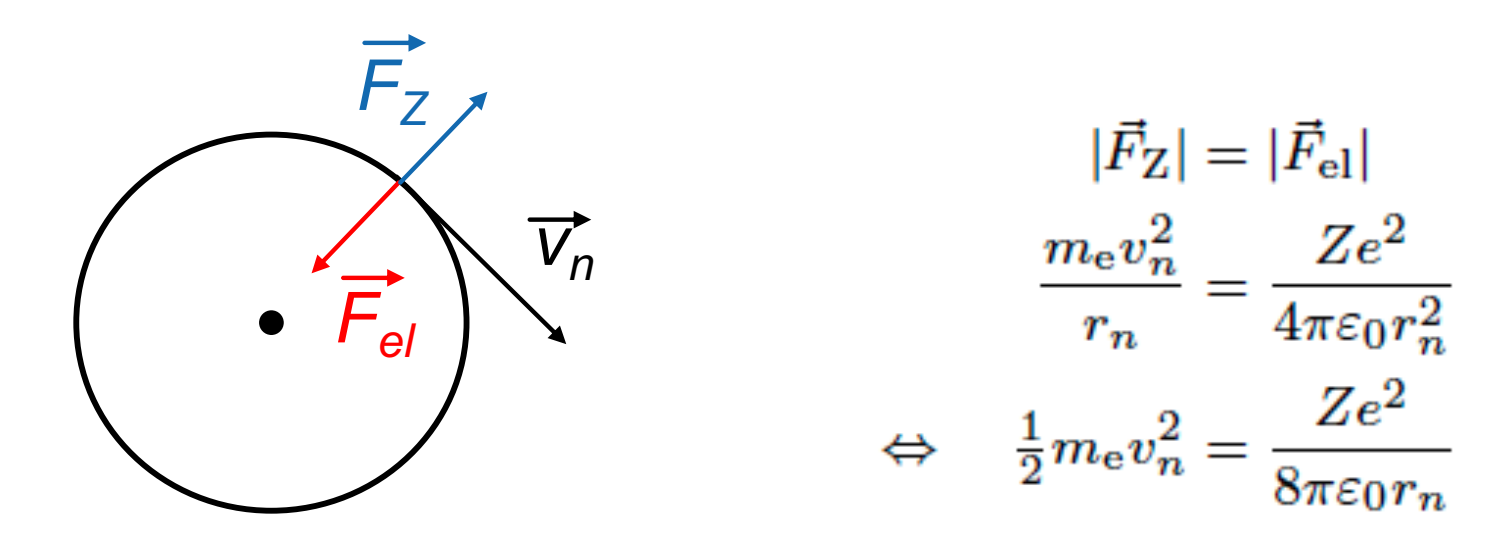
$$l_n = |\vec{l}_n| = n\hbar$$





Annahme: Masse des Kerns >> Masse des Elektrons

$$E_n = E_{\rm kin} + V_{\rm el} = \frac{1}{2}m_{\rm e}v_n^2 - \frac{Ze^2}{4\pi\varepsilon_0 r_n}$$



ETH zürich

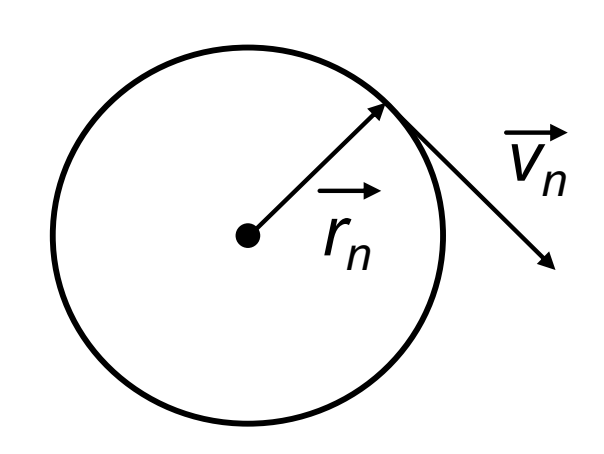
4.3.2. Das Wasserstoffatom und wasserstoffatomähnliche Ionen

$$E_n = \underbrace{\frac{Ze^2}{8\pi\varepsilon_0 r_n}}_{\text{kinetische}} \underbrace{-\frac{Ze^2}{4\pi\varepsilon_0 r_n}}_{\text{potentielle}} = -\frac{Ze^2}{8\pi\varepsilon_0 r_n}$$

Drehimupls des Elektrons auf der Kreisbahn:

$$\begin{split} l_n &= |\vec{l}_n| = |\vec{r}_n \times (m_{\rm e} \vec{v}_n)| = m_{\rm e} |\vec{r}_n \times \vec{v}_n| \\ l_n &= m_{\rm e} |\vec{r}_n| |\vec{v}_n| = m_{\rm e} r_n v_n &\stackrel{(4.12)}{=} n\hbar \\ &\Leftrightarrow v_n &= \frac{n\hbar}{m_{\rm e} r_n} \end{split}$$

$$v_n^2 = \frac{Ze^2}{4\pi\varepsilon_0 m_{\mathrm{e}} r_n} = \frac{\hbar^2 n^2}{m_{\mathrm{e}}^2 r_n^2}$$



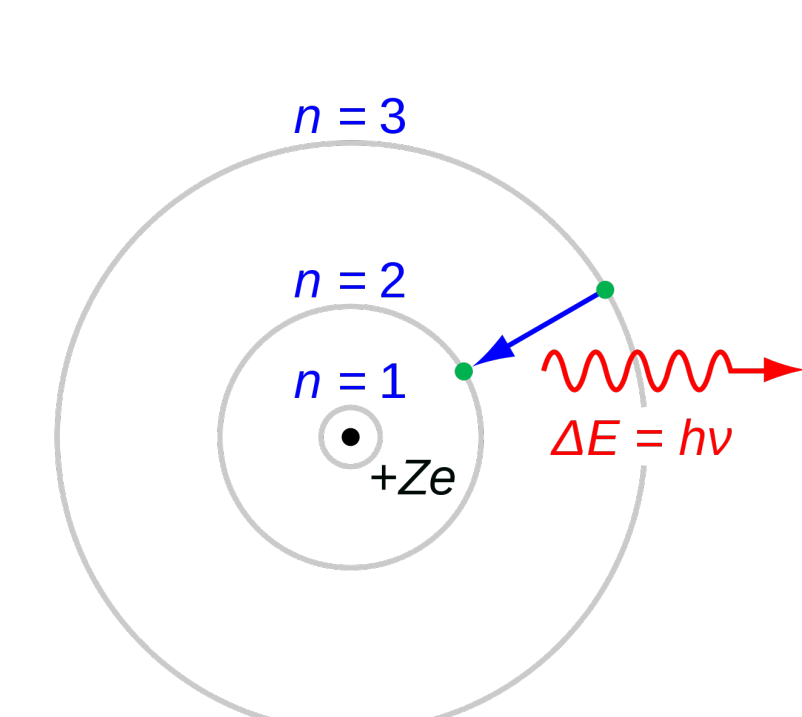
Radien der Kreisbahnen:

$$r_n = \frac{4\pi\varepsilon_0\hbar^2n^2}{m_{\rm e}e^2Z} = \frac{a_0n^2}{Z} \qquad a_0 = \frac{4\pi\varepsilon_0\hbar^2}{m_{\rm e}e^2} = 0.529\,177\,210\,67(12)\cdot 10^{-10}\,{\rm m}$$

Zugehörige Energien:

$$E_n = -\frac{m_e e^4 Z^2}{32\pi^2 \varepsilon_0^2 \hbar^2 n^2} = -\frac{hc R_\infty Z^2}{n^2}$$

$$R_{\infty} = \frac{m_{\rm e}e^4}{8\varepsilon_0^2 h^3 c} = 109737.31568508(65)\,{\rm cm}^{-1}$$





Die vorangegangenen Gleichungen sind Näherungen für den Grenzall eines undendlich schweren Kerns. Einfluss einer endlichen Kernmasse:

Reduzierte Masse (Kern, Elektron):

$$\mu = \frac{m_{\rm e} m_{\rm K}}{m_{\rm e} + m_{\rm K}}$$

Radien der Kreisbahnen:

$$r_n = \frac{4\pi\varepsilon_0 \hbar^2 n^2}{\mu e^2 Z} = \frac{an^2}{Z}$$

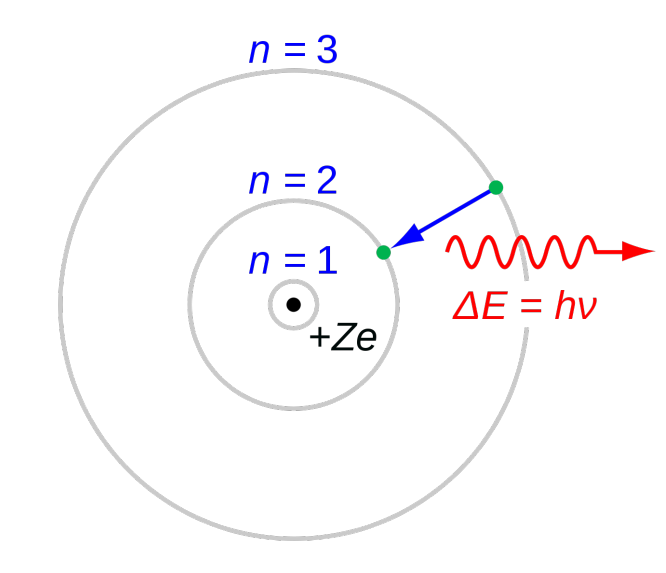
$$a = \frac{m_e}{\mu} a_0$$

Zugehörige Energien:

$$E_n = -\frac{\mu e^4 Z^2}{32\pi^2 \varepsilon_0^2 \hbar^2 n^2} = -\frac{hcRZ^2}{n^2} \qquad R = \frac{\mu}{m_e} R_{\infty}$$



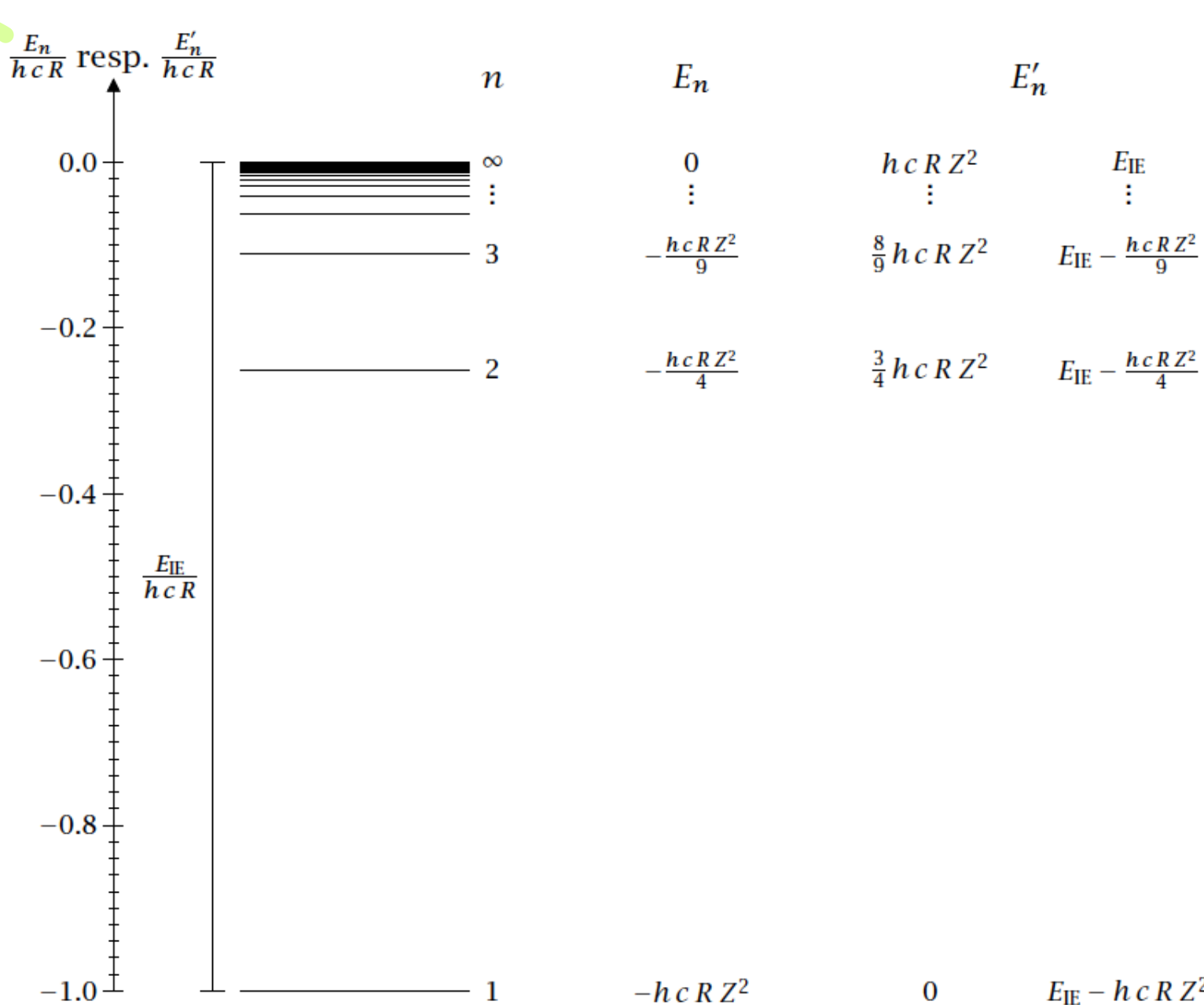
Übergangsenergien:
$$h
u = hcRZ^2 \left| rac{1}{n_{
m f}^2} - rac{1}{n_{
m i}^2} \right|$$



Ionisationsenerige: $E_{\rm IE} = E_{\infty} - E_1 = 0 - E_1 = -E_1 = -(-hcRZ^2) = hcRZ^2$

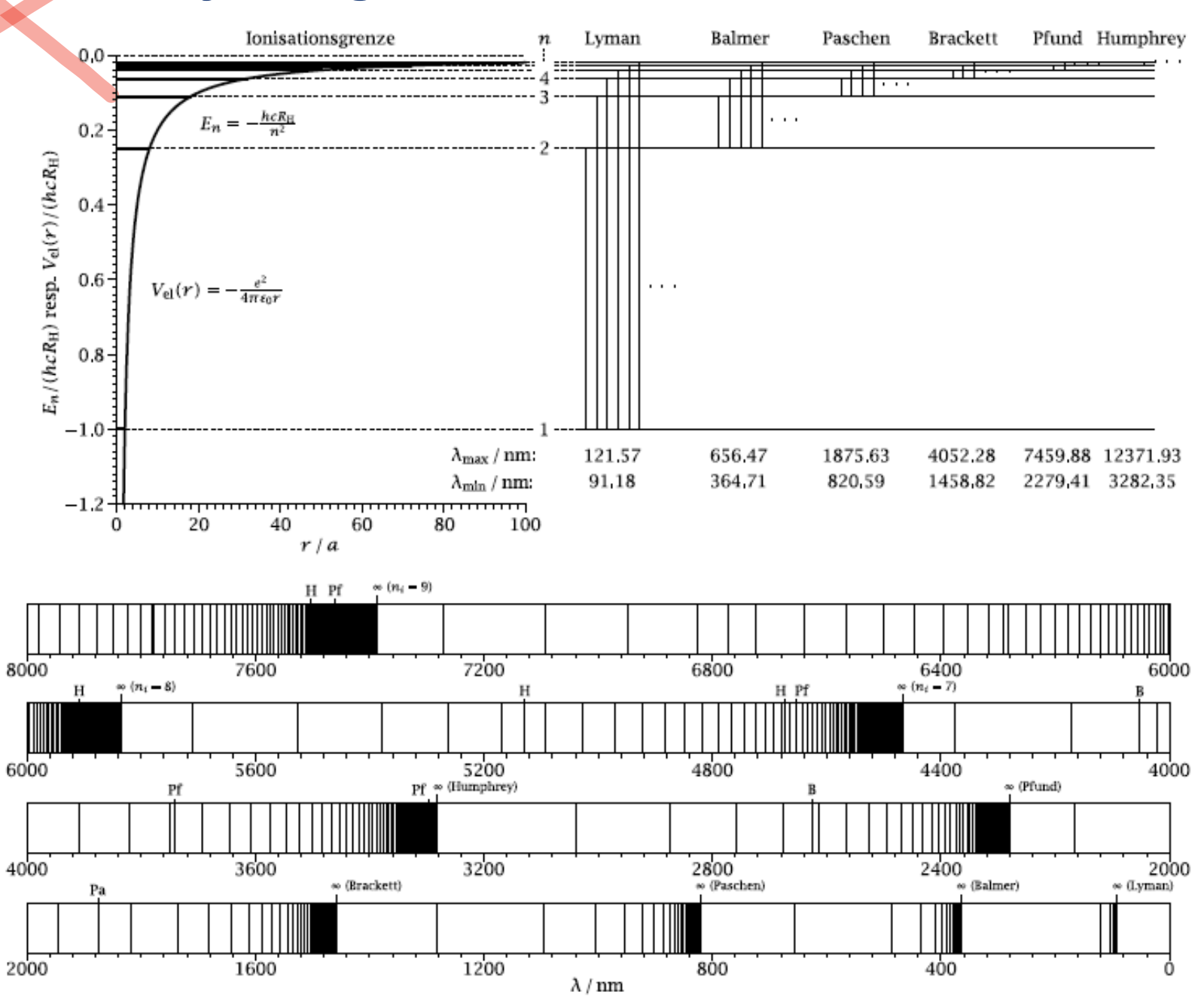


Rydbergserien





Rydbergserien des Wasserstoffatoms

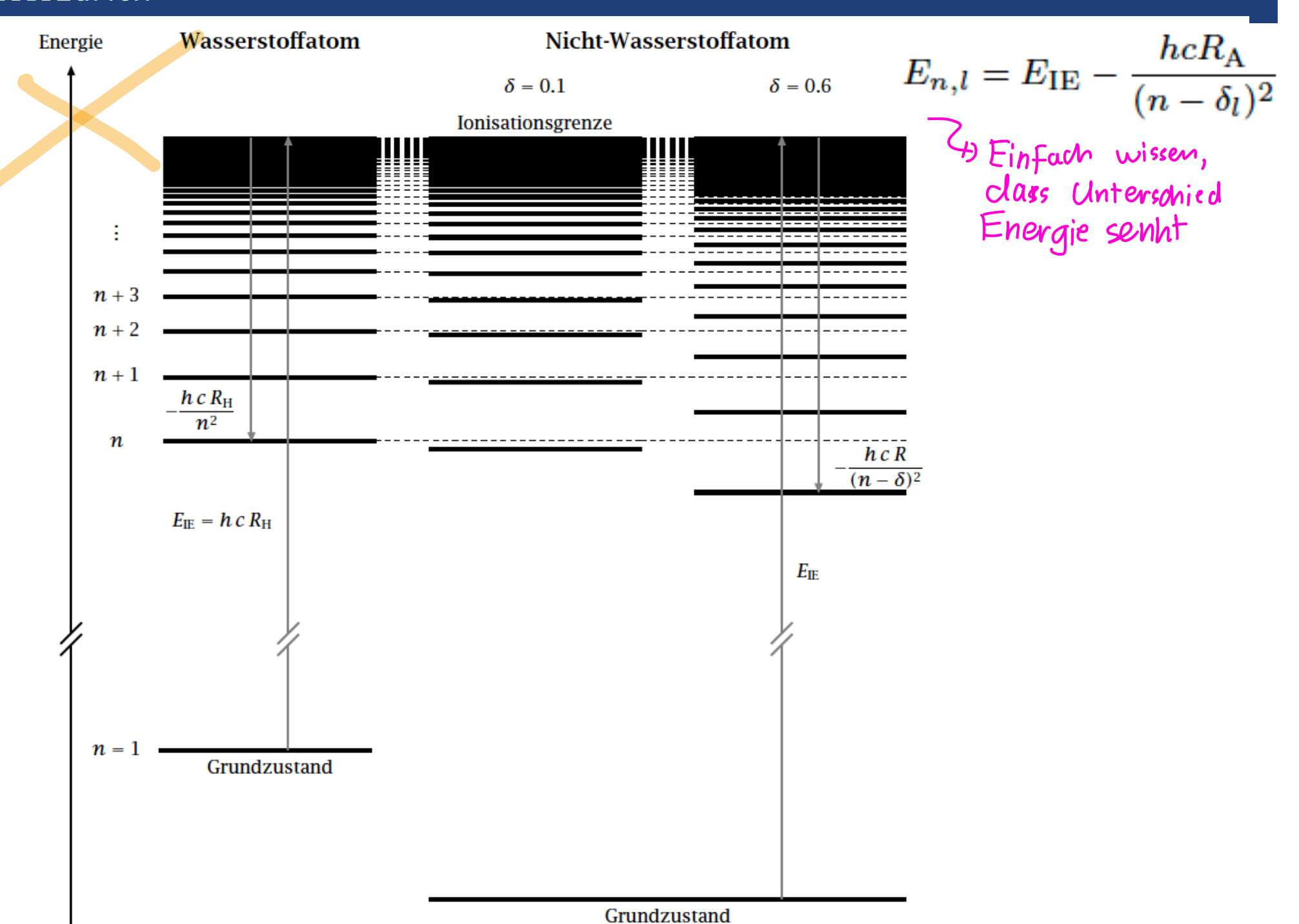


ETH zürich

4.3.4. Grenzen des Atommodells von Bohr

- Obwohl der Drehimpuls \vec{l} tatsächlich quantisiert ist, stimmt die in Postulat 3 angegebene Quantisierungsbedingung nur näherungsweise (siehe Gleichung (4.12)).
- Die Quantisierung wurde von Bohr <u>künstlich (ad hoc) eingeführt</u>. Das Problem der Abstrahlung elektromagnetischer Strahlung durch sich auf Kreisbahnen bewegende Elektronen wurde von Bohr mit dem Postulat 2 lediglich umgangen, jedoch weder erklärt noch befriedigend gelöst.
- Die energetischen Zustände und somit auch die Spektren von Atomen mit mehr als einem Elektron können nicht befriedigend erklärt werden.
- Die noch «<u>klassische</u>» Behandlung des Elektrons als Punktteilchen ist unvereinbar mit einem fundamentalen Prinzip der Quantenmechanik, der Heisenbergschen Unbestimmtheitsrelation (siehe Kapitel 4.5).

ETH zürich



4.4. Welleneigenschaften der Materie



Louis-Victor de Broglie (1892-1987)

Äusserte in seiner Doktorarbeit die Vermutung, dass der Welle-Teilchen Dualismus nicht nur für Photonen, sondern auch für alle Materieteilchen gilt!

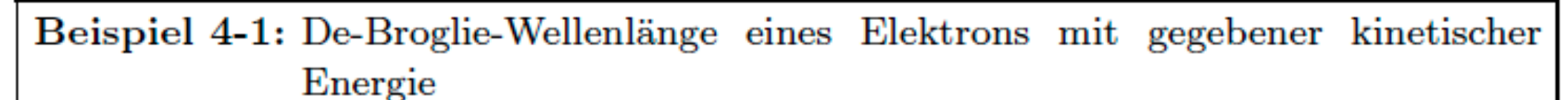
De-Broglie-Wellenlänge:

$$\lambda_{\mathrm{B}} = rac{h}{|ec{p}\,|} = rac{h}{m|ec{v}|}$$

De-Broglie Welle:

$$\Psi(z,t) = \Psi_0 \exp\left\{i\left(kz - \omega t\right)\right\} = \Psi_0 \exp\left\{i\left(\frac{p}{\hbar}z - \frac{E}{\hbar}t\right)\right\}$$





Die De-Broglie-Wellenlänge eines Elektrons ist gemäss Gleichung (4.24) vom Betrag seines Impulses und somit auch von seiner kinetischen Energie abhängig, denn es gilt $E_{\rm kin} = \frac{1}{2} m_{\rm e} \vec{v}^2 = \frac{\vec{p}^2}{2m_{\rm e}}$. Daraus folgt

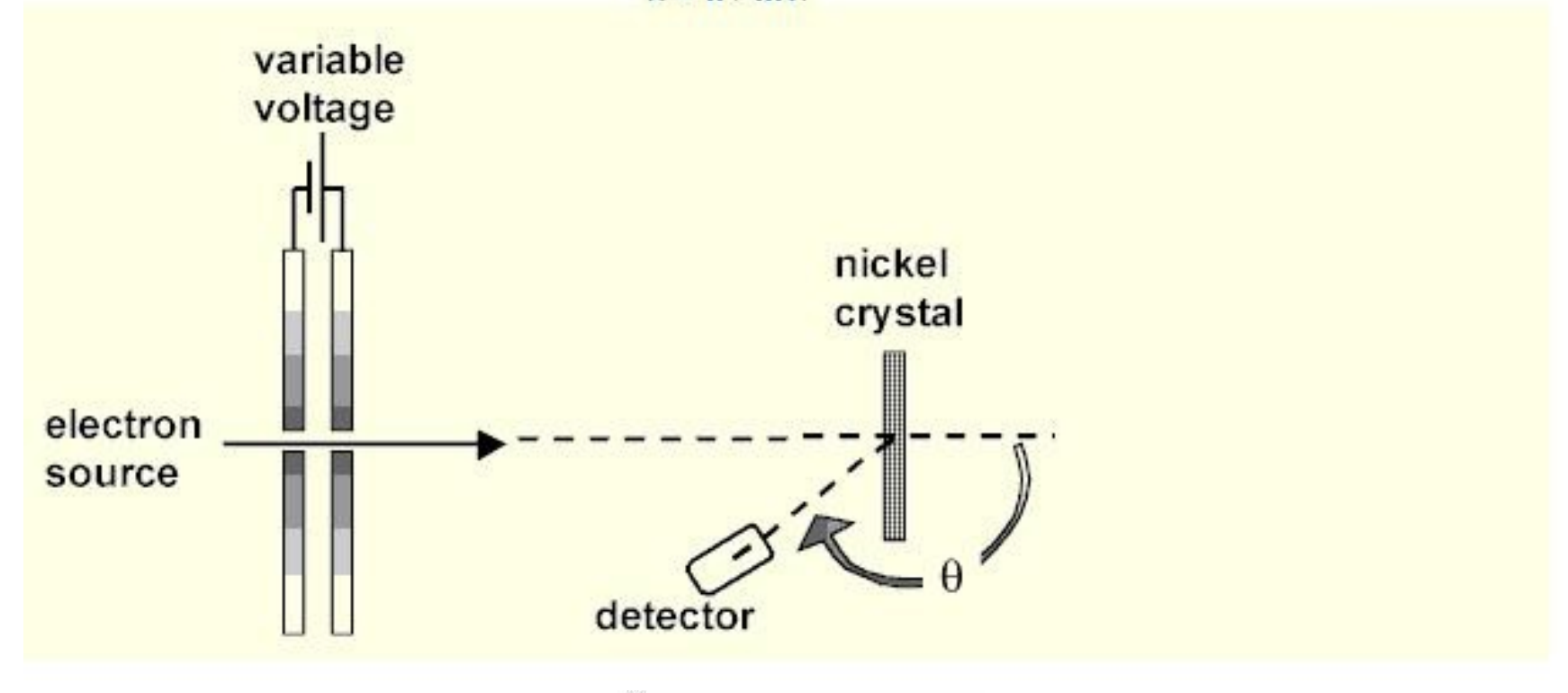
$$\lambda_{\rm B} = \frac{h}{|\vec{p}\,|} = \frac{h}{\sqrt{2m_{\rm e}E_{\rm kin}}} \ .$$

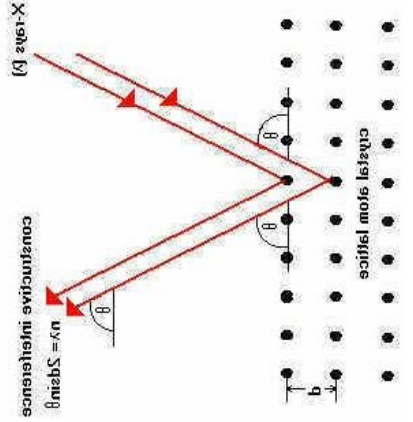
Für ein auf beispielsweise 1 eV beschleunigtes Elektron ergibt sich damit eine De-Broglie-Wellenlänge von $\lambda_B = 1.2 \,\text{nm}$.



Welleneigenschaften von Teilchen

1927: C. J. Davisson and L. H. Germer λ=h/mv.

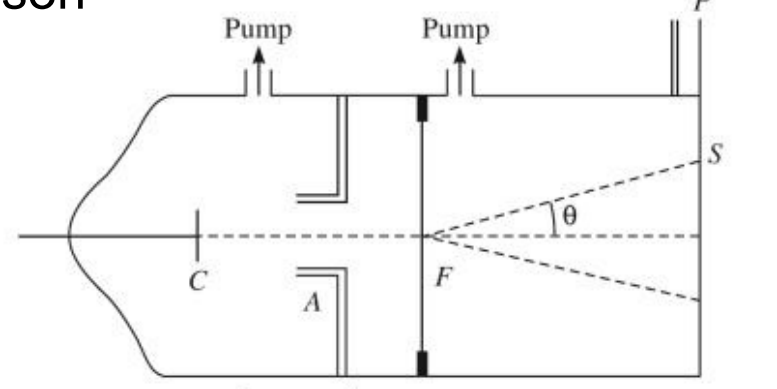


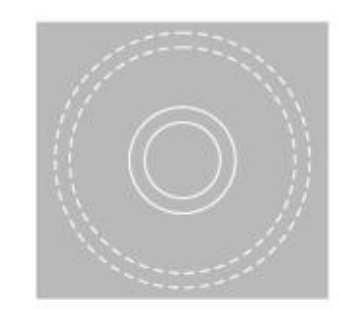




Welleneigenschaften von Teilchen

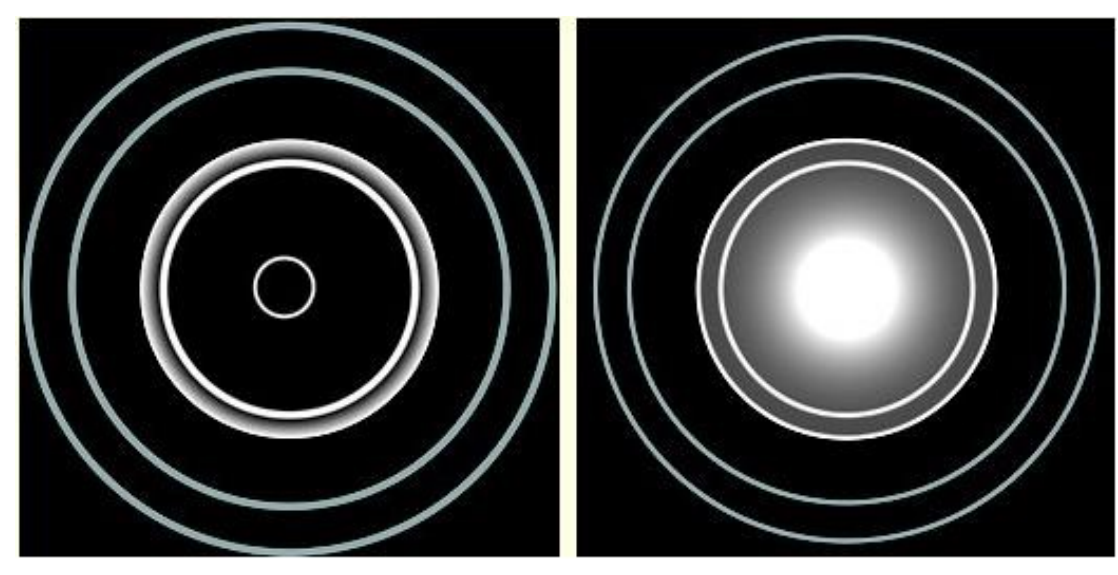
1927: G. P. Thomson





Thomson's experiment

- a) G. P Thomson's apparatus for electron diffraction
- b) Diffraction pattern of a beam of electrons by thin gold foil



Röntgenbeugung

Elektronenbeugung

4.4.1. Interferenz

- Überlagerung von mehreren Wellen:
 - Konstruktive Interferenz: Wellen verstärken sich
 - Destruktive Interferenz: Wellen löschen sich aus

2 Wellen:

$$A_1(x,t) = A_0 \cos(\omega t - kx + \phi_1)$$

$$A_2(x,t) = A_0 \cos(\omega t - kx + \phi_2)$$

Superposition (Addition):

$$A(x,t) = A_1(x,t) + A_2(x,t) = A_0(\cos(\omega t - kx + \phi_1) + \cos(\omega t - kx + \phi_2))$$
$$= 2A_0 \cos\left(\frac{\phi_2 - \phi_1}{2}\right) \cos\left(\omega t - kx + \frac{\phi_1 + \phi_2}{2}\right)$$

Für $|\phi_2 - \phi_1| = 2n\pi$ $(n \in \mathbb{N}_0)$ nimmt die Amplitude der Superposition mit $A_s = 2A_0$ den grössten Wert an und die beiden Wellen verstärken sich maximal.

Für $|\phi_2 - \phi_1| = \pi + 2n\pi$ $(n \in \mathbb{N}_0)$ wird $A_s = 0$ und die beiden Wellen löschen sich gegenseitig aus.

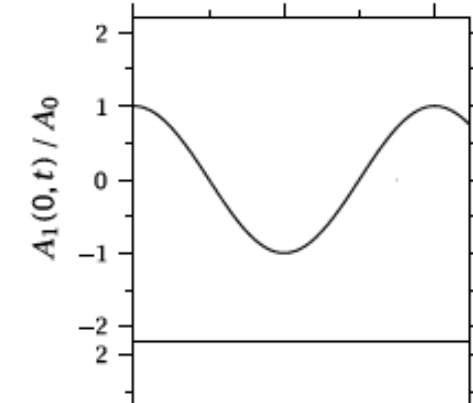
4.4.1. Interferenz

$$A_1(x,t) = A_0 \cos(\omega t - kx + \phi_1)$$

$$A_2(x,t) = A_0 \cos(\omega t - kx + \phi_2)$$

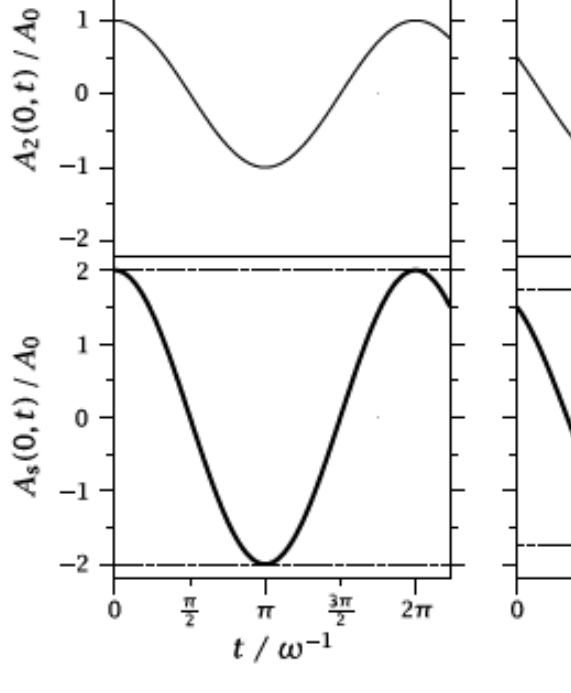
 $\phi_2 - \phi_1 = 0$ $\phi_2 - \phi_1 = \frac{\pi}{3}$ $\phi_2 - \phi_1 = \frac{5\pi}{6}$ $\phi_2 - \phi_1 = \pi$

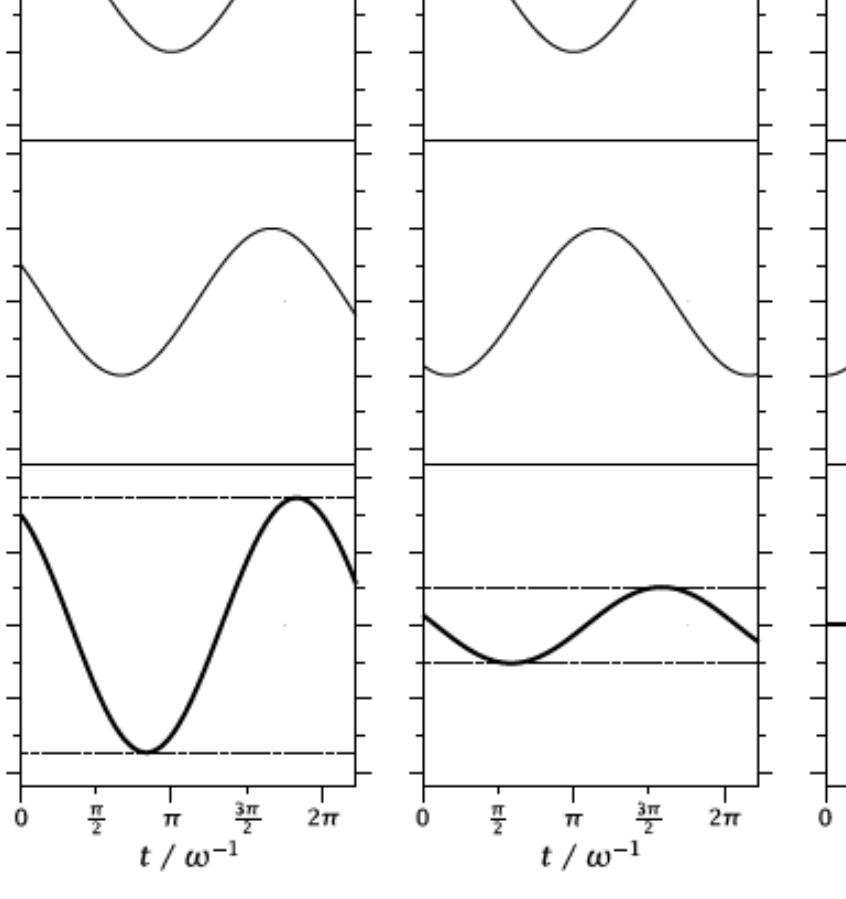
$$\phi_1$$
 konstant



 ϕ_2 variabel





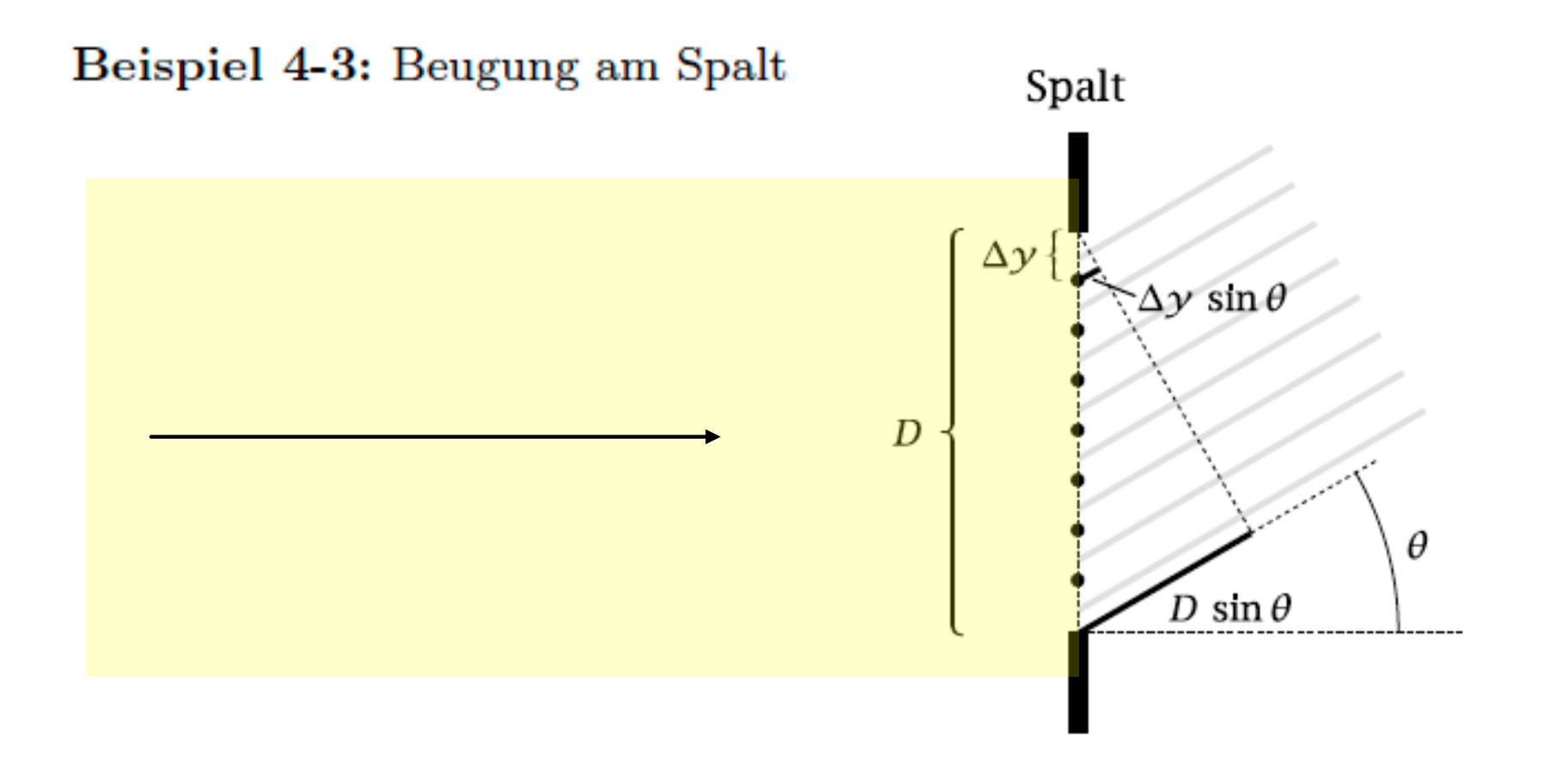




4.4.2. Beugung

Prinzip von Huygens:

Jeder Punkt einer Wellenfront ist der Ausgangspunkt einer neuen Welle, die sich kreisförmig ausbreitet. Die neue Lage der Wellenfronten ergibt sich duch Superposition.



4.4.2. Beugung

Beispiel 4-3: Beugung am Spalt

Spalt $E_{\theta} = \lim_{\substack{N \to \infty \\ \Delta y \to 0}} \frac{E_{0}}{N} \left[\sin(\omega t) + \sin(\omega t + \Delta \beta) + \sin(\omega t + 2\Delta \beta) + \cdots + \sin(\omega t + (N - 1)\Delta \beta) \right]$ $= \lim_{\substack{N \to \infty \\ \Delta y \to 0}} \frac{E_{0}}{N} \sum_{n=0}^{N-1} \sin(\omega t + n\Delta \beta), \qquad (4.28)$

 $D = \begin{cases} \Delta y \\ \Delta y \sin \theta \end{cases}$ $D \sin \theta$

wobei

in Richtung θ gilt

$$\Delta \beta = \frac{2\pi \Delta y \sin \theta}{\lambda} \tag{4.29}$$

ist. Mit der Beziehung $D=N\Delta y$ kann man die Substitution $\frac{1}{N}=\frac{\Delta y}{D}$ durchführen, was zur Beziehung

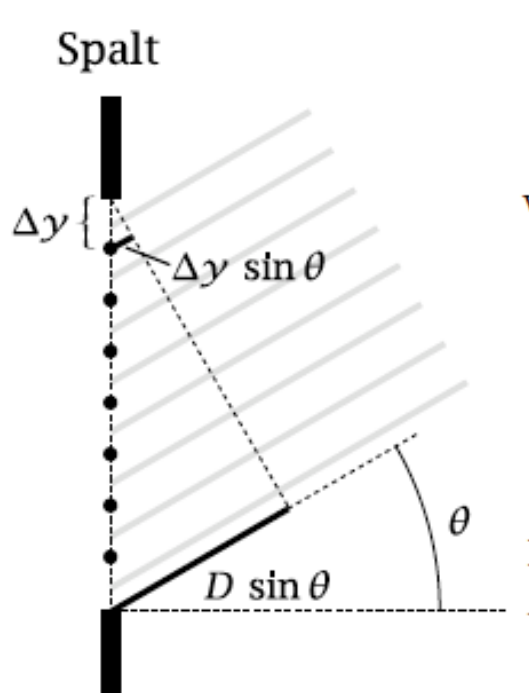
Für die resultierende Amplitude des elektrischen Feldes auf dem Detektionsbildschirm

$$E_{\theta} = \lim_{\Delta y \to 0} \frac{E_0}{D} \sum_{n=0}^{N-1} \sin\left(\omega t + \frac{2\pi n \Delta y \sin \theta}{\lambda}\right) \Delta y \tag{4.30}$$

4.4.2. Beugung

Beispiel 4-3: Beugung am Spalt

führt. Wird nun Δy immer kleiner, kann die Summe in Gleichung (4.30) durch ein Integral ersetzt werden. Zudem setzt man $n\Delta y = y$. Man erhält



$$E_{\theta} = \frac{E_0}{D} \int_0^D \sin\left(\omega t + \frac{2\pi y \sin \theta}{\lambda}\right) dy, \tag{4.31}$$

was dem Integral über den gesamten Spalt entspricht. Man erhält für E_{θ}

$$E_{\theta} = -\frac{\lambda E_0}{2\pi D \sin \theta} \left[\cos \left(\omega t + \frac{2\pi D \sin \theta}{\lambda} \right) - \cos(\omega t) \right]. \tag{4.32}$$

$$E_{\theta} = \frac{\lambda E_0}{\pi D \sin \theta} \sin \left(\omega t + \frac{\pi D \sin \theta}{\lambda} \right) \sin \left(\frac{\pi D \sin \theta}{\lambda} \right). \tag{4.33}$$

Da die gemessene Intensität des Lichtes proportional zum zeitlichen Mittelwert von E_{θ}^2 ist, gilt

$$I(\theta) \propto \langle E_{\theta}^2 \rangle = \frac{1}{2} E_0^2 \left(\frac{\sin(\lambda^{-1} \pi D \sin \theta)}{\lambda^{-1} \pi D \sin \theta} \right)^2 = \frac{1}{2} E_0^2 \operatorname{sinc}^2 \left(\frac{\pi D \sin \theta}{\lambda} \right).$$
 (4.34)

Man erkennt dabei, dass bei

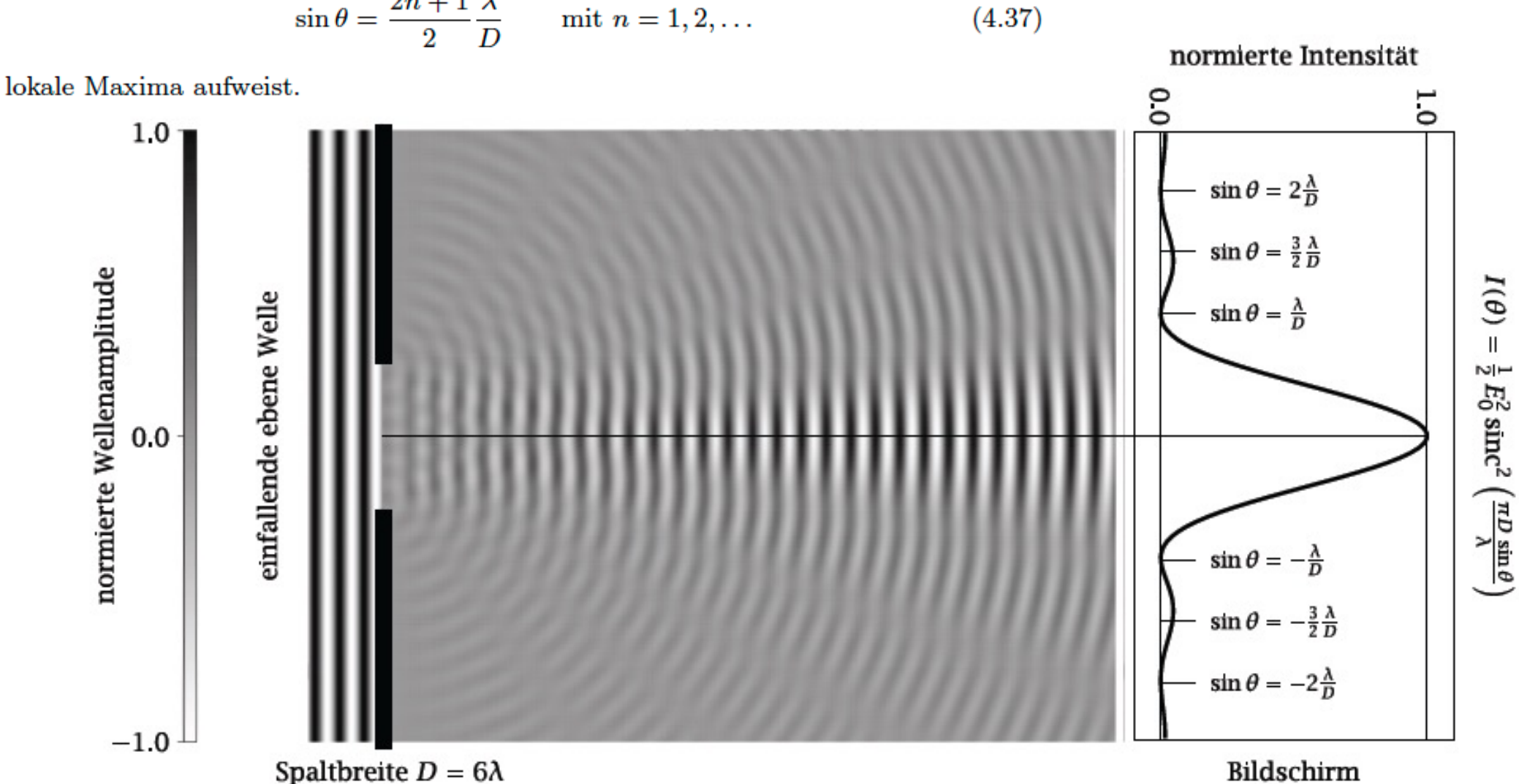
$$I(\theta) \propto \frac{1}{2} E_0^2 \operatorname{sinc}^2 \left(\frac{\pi D \sin \theta}{\lambda} \right)$$

$$\sin \theta = n \frac{\lambda}{D}$$
 mit $n = 1, 2, \dots$

(4.36)

die Intensität der einfallenden Lichtwelle Null ist, hingegen bei

$$\sin \theta = \frac{2n+1}{2} \frac{\lambda}{D} \qquad \text{mit } n = 1, 2, \dots \tag{4.37}$$



4.5. Die Heisenbergsche Unbestimmtheitsrelation



Werner Heisenberg (1901-1976)

Wenn Teilchen auch Welleneigenschften haben, wo sind sie dann genau lokalisiert ???

Ort und Impuls eines Teilchens sind nicht *gleichzeitig* mit beliebiger Genauigkeit bestimmbar:

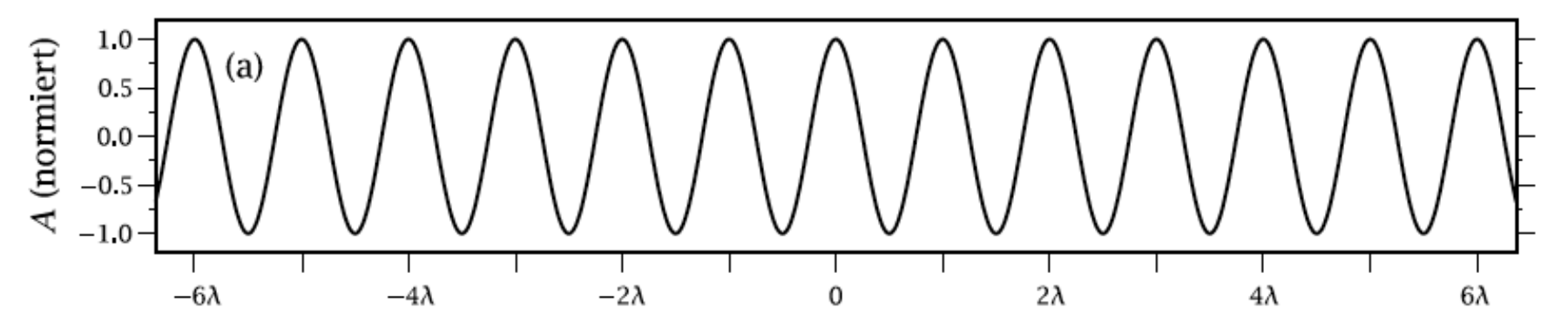
$$\Delta x \Delta p_x \ge \frac{\hbar}{2}$$

Je kleiner Δx , also je genauer der Ort bekannt ist, desto grösser ist Δp_x , d.h. desto ungenauer ist der Impuls bekannt.

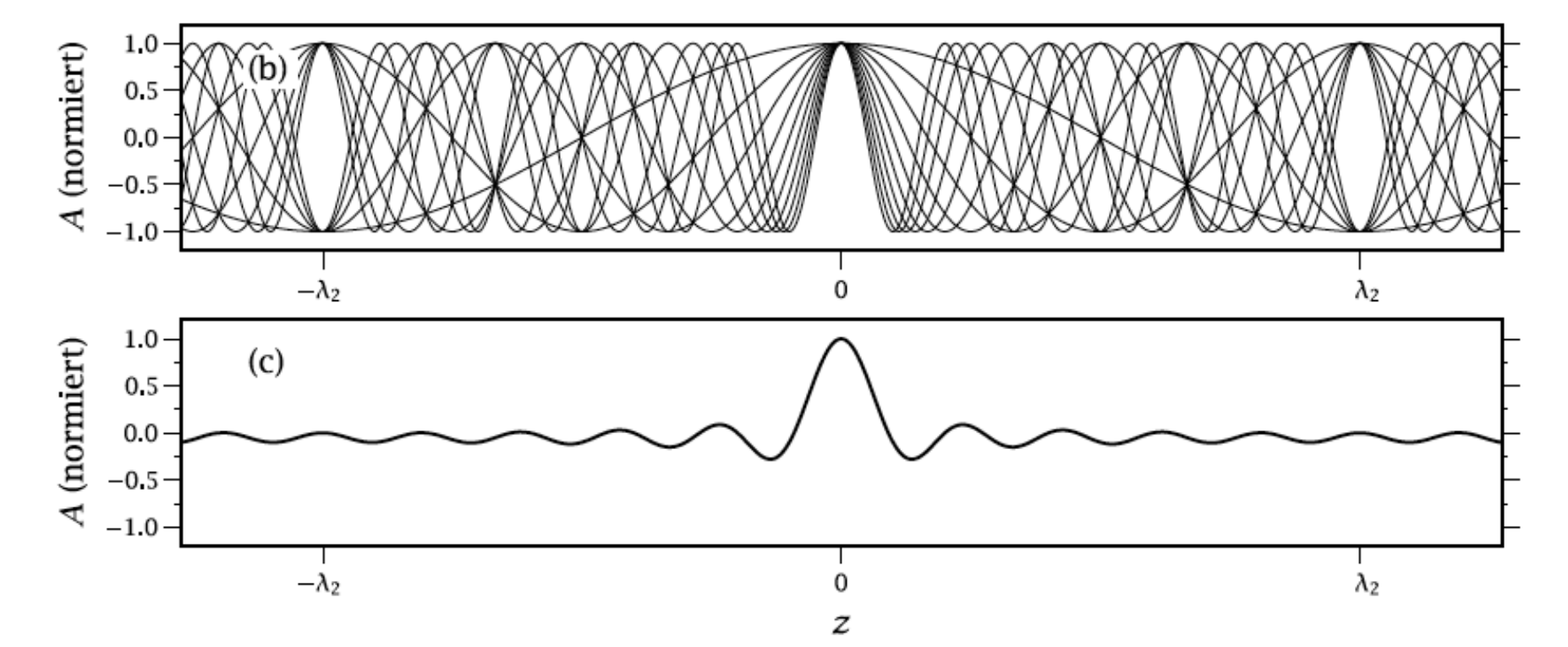


De-Broglie-Wellen und die Unbestimmtheitsrelation

Fall 1: Impuls sehr genau bekannt → Teilchen ist komplett delokalisiert



Fall 2: Impuls nicht genau bekannt → Teilchen ist lokalisiert





4.5. Die Heisenbergsche Unbestimmtheitsrelation

Auch Energie und Zeit folgen der Unbestimmtheitsrelation.

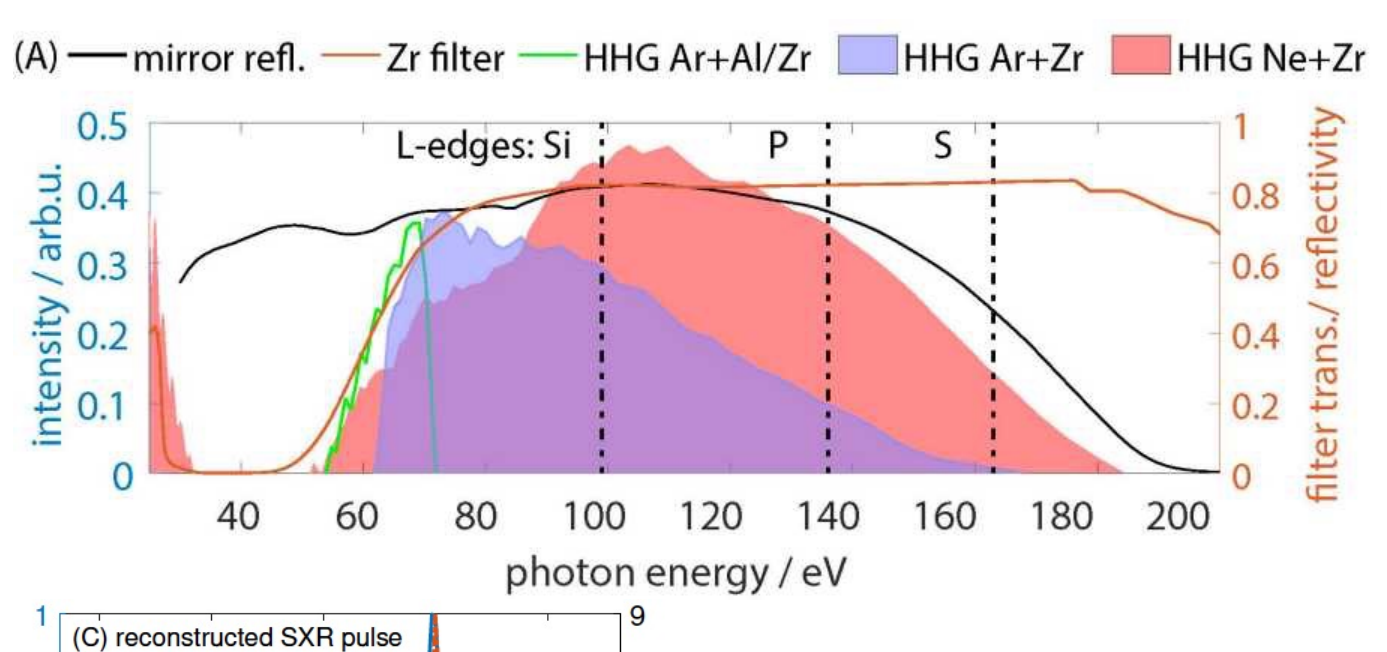
Energie und Zeit eines Teilchens sind nicht *gleichzeitig* mit beliebiger Genauigkeit bestimmbar:

$$\Delta t \Delta E \geq \frac{\hbar}{2}$$

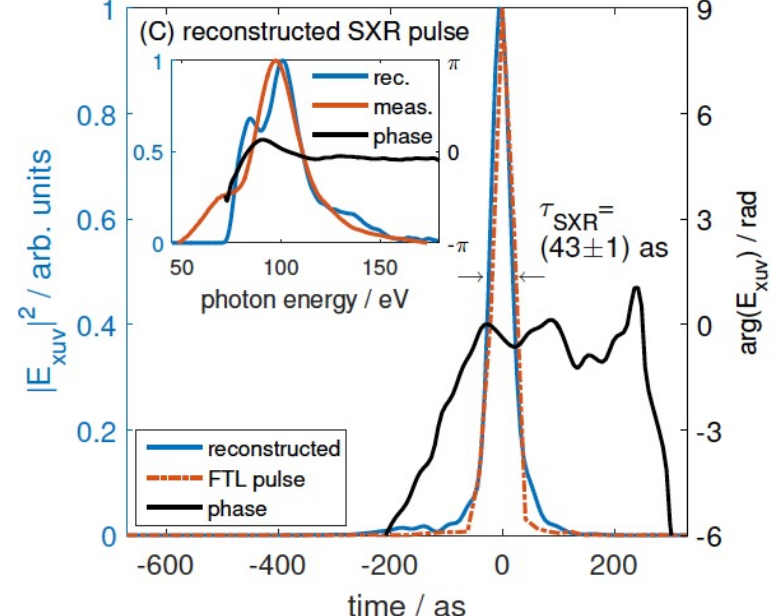
Je kleiner Δt , also je genauer die Zeit bekannt ist, desto grösser ist ΔE , d.h. desto ungenauer ist die Energie bekannt.



Weltrekord: Der kürzeste Laserpuls







Kürzester Laserpuls

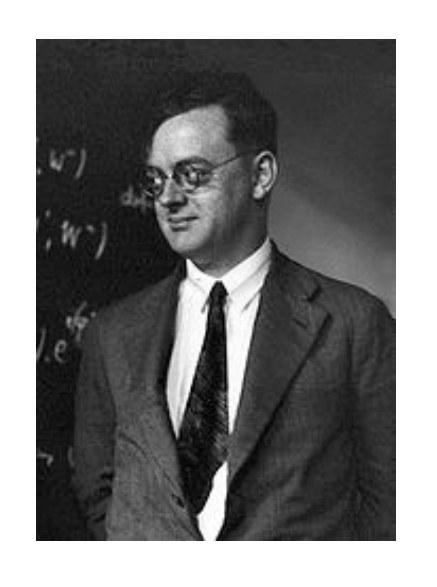
ETH-Forscher haben einen Röntgenlaserpuls von nur 43 Attosekunden Dauer geschaffen. Das ist das kürzeste je kontrollierte Ereignis.

NZZ

Die Begründer der Quantenmechanik

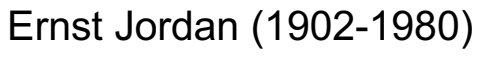






... begründeten die "Matrizenmechanik"

Werner Heisenberg (1901-1976) Max Born (1882-1970)







... begründete die "Wellenmechanik"

Erwin Schrödinger (1887-1961)



Die Schrödingergleichung

$$\left[-\frac{\hbar^2}{2m} \left(\frac{\partial^2}{\partial x^2} + \frac{\partial^2}{\partial y^2} + \frac{\partial^2}{\partial z^2} \right) + V \right] \Psi(x, y, z, t) = -\frac{\hbar}{\mathrm{i}} \frac{\partial}{\partial t} \Psi(x, y, z, t)$$

ist die nicht-relativistische, zeitabhängige Schrödingergleichung eines Teilchens mit Masse m.

Die im Allgemeinen reellwertige Funktion V(x,y,z,t) stellt die potentielle Energie dar.

Die im Allgemeinen komplexwertige Funktion $\mathcal{Y}(x,y,z,t)$ ist die "Wellenfunktion". Sie hat weder eine anschauliche physikalische Bedeutung, noch ist die messbar.

Das Betragsquadrat der Wellenfunktion $|\Psi(x,y,z,t)|^2$ hat jedoch die Bedeutung einer Wahrscheinlichkeitsdichte (s. Kap. 4.7).

Die Schrödingergleichung enthält auch die gesamte klassische Physik (als Grenzfall).





Die Schrödingergleichung

Mit dem **Hamiltonoperator** \hat{H}

$$\hat{H} = -\frac{\hbar^2}{2m} \left(\frac{\partial^2}{\partial x^2} + \frac{\partial^2}{\partial y^2} + \frac{\partial^2}{\partial z^2} \right) + V(x, y, z, t)$$

lässt sich Gleichung (4.39) kompakter schreiben:

$$\hat{H}\Psi(x,y,z,t) = -\frac{\hbar}{\mathrm{i}}\frac{\partial}{\partial t}\Psi(x,y,z,t)$$
.

Mathematische Hilfsmittel: Rechnen mit Operatoren

$$\hat{O}f(x_1,...,x_n) = g(x_1,...,x_n)$$

mit dem Operator \hat{O} . Einfache Beispiele für Operatoren sind etwa $\hat{O}_1 = 3\cos$ oder $\hat{O}_2 = x\frac{\mathrm{d}}{\mathrm{d}x}$. Angewendet auf eine Funktion $f(x) = x^2 - 1$ ergibt sich daraus im ersten Fall $g_1(x) = \hat{O}_1 f(x) = 3\cos(x^2 - 1)$ und im zweiten Fall $g_2(x) = \hat{O}_2 f(x) = x\frac{\mathrm{d}}{\mathrm{d}x}(x^2 - 1) = 2x^2$.

Enthält ein Operator Ableitungen nach einer oder mehreren Variablen, wie beispielsweise der in Gleichung (4.40) definierte Hamiltonoperator, dann spricht man von einem Differenzialoperator.



Mathematische Hilfsmittel: Rechnen mit Operatoren



$$\hat{O}f(x_1,...,x_n) = g(x_1,...,x_n)$$

• Addition und Subtraktion zweier Operatoren

$$\hat{O} \pm \hat{P}: \quad (\hat{O} \pm \hat{P}) f(x_1, ..., x_n) = \hat{O}f(x_1, ..., x_n) \pm \hat{P}f(x_1, ..., x_n),$$

• Multiplikation eines Operators mit einer (komplexen) Zahl c

$$c\hat{O}:$$
 $\left(c\hat{O}\right)f(x_1,...,x_n)=c\left(\hat{O}f(x_1,...,x_n)\right)$,

• Multiplikation zweier Operatoren

$$\hat{O}\hat{P}: \quad \left(\hat{O}\hat{P}\right)f(x_1,...,x_n) = \hat{O}\left(\hat{P}f(x_1,...,x_n)\right).$$



Mathematische Hilfsmittel: Rechnen mit Operatoren

Multiplikation ist assoziativ $\hat{O}\left(\hat{P}\hat{Q}\right) = \left(\hat{O}\hat{P}\right)\hat{Q}$, aber nicht immer kommutativ $\hat{O}\hat{P} \neq \hat{P}\hat{O}$

$$\left(\hat{O}\hat{P}\right)f(x) = \hat{O}\left(\hat{P}f(x)\right) = x\frac{\mathrm{d}}{\mathrm{d}x}\left(\frac{\mathrm{d}}{\mathrm{d}x}f(x)\right) = \underbrace{x\frac{\mathrm{d}^2}{\mathrm{d}x^2}}_{=(\hat{O}\hat{P})}f(x)$$

$$(\hat{P}\hat{O})f(x) = \hat{P}(\hat{O}f(x)) = \frac{\mathrm{d}}{\mathrm{d}x}\left(x\frac{\mathrm{d}}{\mathrm{d}x}f(x)\right).$$

$$\left(\hat{P}\hat{O}\right)f(x) = \frac{\mathrm{d}}{\mathrm{d}x}f(x) + x\frac{\mathrm{d}^2}{\mathrm{d}x^2}f(x) = \left(\underbrace{\frac{\mathrm{d}}{\mathrm{d}x} + x\frac{\mathrm{d}^2}{\mathrm{d}x^2}}_{=(\hat{P}\hat{O})}\right)f(x)$$

Es gilt also:

$$\hat{O}\hat{P} = x \frac{\mathrm{d}^2}{\mathrm{d}x^2}$$

$$\hat{P}\hat{O} = \frac{\mathrm{d}}{\mathrm{d}x} + x \frac{\mathrm{d}^2}{\mathrm{d}x^2} \neq \hat{O}\hat{P} .$$

Mathematische Hilfsmittel: Rechnen mit Operatoren



Ob zwei Operatoren kommutieren oder nicht, spielt in der Quantenmechanik eine sehr wichtige Rolle. Deshalb definiert man den Kommutator $\left[\hat{O}, \hat{P}\right]$ von \hat{O} und \hat{P} :

$$\left[\hat{O}, \hat{P}\right] = \hat{O}\hat{P} - \hat{P}\hat{O}.$$

Kommutieren die beiden Operatoren, dann muss $\hat{O}\hat{P} = \hat{P}\hat{O}$ respektive $\hat{O}\hat{P} - \hat{P}\hat{O} = 0$ und somit $\left[\hat{O}, \hat{P}\right] = 0$ gelten.





Lineare und nicht-lineare Operatoren

Als lineare Operatoren bezeichnet man solche mit den folgenden Eigenschaften:

$$\hat{L}(f_1(x_1, ..., x_n) \pm f_2(x_1, ..., x_n)) = \hat{L}f_1(x_1, ..., x_n) \pm \hat{L}f_2(x_1, ..., x_n)$$
$$\hat{L}(cf_1(x_1, ..., x_n)) = c\hat{L}f_1(x_1, ..., x_n)$$

Der durch
$$\hat{R}f(x_1, ..., x_n) = f^2(x_1, ..., x_n)$$

definierte Operator R, welcher eine Funktion, auf die er angewendet wird, quadriert, ist hingegen ein Beispiel für einen nicht linearen Operator, denn es gilt:

$$\hat{R}(f_1(x) \pm f_2(x)) = (f_1(x) \pm f_2(x))^2 = f_1^2(x) \pm 2f_1(x)f_2(x) + f_2^2(x)$$

$$\neq \hat{R}f_1(x) \pm \hat{R}f_2(x) = f_1^2(x) \pm f_2^2(x)$$

$$\hat{R}(cf_1(x)) = (cf_1(x))^2 = c^2 f_1^2(x) \neq c\hat{R}f_1(x) = cf_1^2(x)$$



Die zeitunabhängige Schrödingergleichung

Falls V und somit auch \hat{H} nicht von der Zeit t abhängen

$$\hat{H}\psi(x,y,z) = E\psi(x,y,z)$$

mit

$$\hat{H} = -\frac{\hbar^2}{2m} \left(\frac{\partial^2}{\partial x^2} + \frac{\partial^2}{\partial y^2} + \frac{\partial^2}{\partial z^2} \right) + V(x, y, z)$$

Durch die Einführung des Laplaceoperators Δ xiv

$$\Delta = \frac{\partial^2}{\partial x^2} + \frac{\partial^2}{\partial y^2} + \frac{\partial^2}{\partial z^2}$$

erhält man

$$\hat{H} = -\frac{\hbar^2}{2m}\Delta + V(x, y, z)$$

kinetische potentielle Energie





$$\hat{H}\psi(x,y,z) = E\psi(x,y,z)$$

ist eine "Eigenwertgleichung".

E ist der Eigenwert, in der QM eine skalare, messbare Grösse (hier die Energie).

Die Lösung der Schrödingergleichung liefert in der Regel <u>mehrere</u>, <u>diskrete</u> Lösungen, die durch eine oder mehrere Quantenzahlen charakterisiert werden.

Schrödingergleichung für Systeme mehrerer Teilchen

$$\hat{H}\psi\left(\underline{\vec{R}_1,...,\vec{R}_N},\underline{\vec{r}_1,...,\vec{r}_n}\right) = E\psi\left(\vec{R}_1,...,\vec{R}_N,\vec{r}_1,...,\vec{r}_n\right)$$
 Atomkerne Elektronen

Dabei ist
$$\vec{R}_N = \begin{pmatrix} x_N \\ Y_N \\ Z_N \end{pmatrix}$$
 der Ortsvektor des N -ten Atomkerns $\vec{r}_n = \begin{pmatrix} x_n \\ y_n \\ z_n \end{pmatrix}$ der Ortsvektor des n -ten Elektrons.

Beiträge zur potentiellen Energie V:

- 1. Abstossung zwischen zwei Atomkernen K und L: $\frac{e^2}{4\pi\varepsilon_0} \frac{Z_K Z_L}{|\vec{R}_K \vec{R}_L|}$,
- 2. Abstossung zwischen zwei <u>Elektronen</u> k und l: $\frac{e^2}{4\pi\varepsilon_0} \frac{1}{|\vec{r}_k \vec{r}_l|}$,
- 3. Anziehung zwischen einem Atomkern K und einem Elektron k: $\frac{-e^2}{4\pi\varepsilon_0} \frac{Z_K}{|\vec{R}_K \vec{r}_k|}$



Schrödingergleichung für Systeme mehrerer Teilchen

$$V\left(\vec{R}_{1},...,\vec{R}_{N},\vec{r}_{1},...,\vec{r}_{n}\right) = \frac{e^{2}}{4\pi\varepsilon_{0}} \left(\sum_{L=2}^{N} \sum_{K=1}^{L-1} \frac{Z_{K}Z_{L}}{|\vec{R}_{K} - \vec{R}_{L}|} + \sum_{l=2}^{n} \sum_{k=1}^{l-1} \frac{1}{|\vec{r}_{k} - \vec{r}_{l}|}\right)$$

Atomkerne

Bsp: H₃⁺

$$\bigcirc \sum_{K=1}^{N} \sum_{k=1}^{n} \frac{Z_K}{|\vec{R}_K - \vec{r}_k|} ,$$

Elektronen

Anziehung zwischen
Atomkernen und Elektronen

(4.45)



Schrödingergleichung für Systeme mehrerer Teilchen

$$\hat{H} = -\sum_{K=1}^{N} \frac{\hbar^2}{2m_K} \Delta_K - \frac{\hbar^2}{2m_{\rm e}} \sum_{k=1}^{n} \Delta_{{\rm e},k} + V\left(\vec{R}_1,...,\vec{R}_N,\vec{r}_1,...,\vec{r}_n\right)$$
 Atomkerne Elektronen

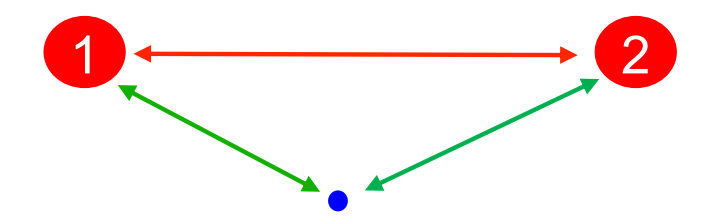
mit

$$\begin{split} \Delta_K &= \frac{\partial^2}{\partial X_K^2} + \frac{\partial^2}{\partial Y_K^2} + \frac{\partial^2}{\partial Z_K^2} \;, \\ \Delta_{\mathrm{e},k} &= \frac{\partial^2}{\partial x_k^2} + \frac{\partial^2}{\partial y_k^2} + \frac{\partial^2}{\partial z_k^2} \;. \end{split}$$

und $V(\vec{R}_1, ..., \vec{R}_N, \vec{r}_1, ..., \vec{r}_n)$ gemäss (4.45).



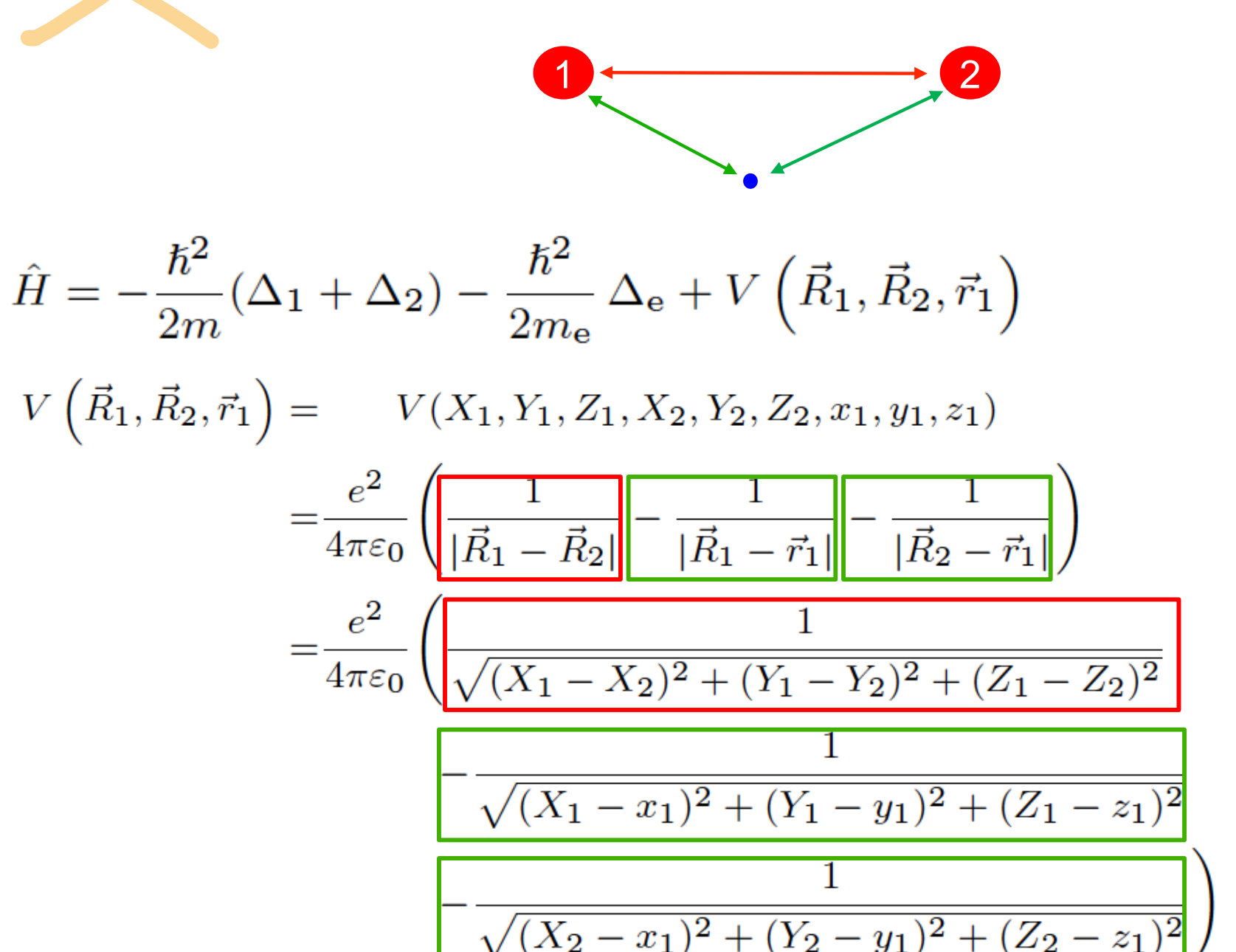
Schrödingergleichung für das einfachste Molekül H₂+



$$\hat{H} = -\frac{\hbar^2}{2m}(\Delta_1 + \Delta_2) - \frac{\hbar^2}{2m_{\rm e}}\,\Delta_{\rm e} + V\left(\vec{R}_1, \vec{R}_2, \vec{r}_1\right)$$
 kinetische Energie potentielle Energie

Ortskoordinaten:
$$\vec{R}_1 = \begin{pmatrix} X_1 \\ Y_1 \\ Z_1 \end{pmatrix}$$
, $\vec{R}_2 = \begin{pmatrix} X_2 \\ Y_2 \\ Z_2 \end{pmatrix}$, $\vec{r}_1 = \begin{pmatrix} x_1 \\ y_1 \\ z_1 \end{pmatrix}$

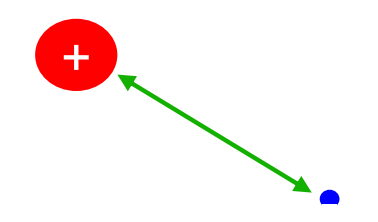
Schrödingergleichung für das einfachste Molekül H₂+



Schrödingergleichung für das Wasserstoffatom

$$V\left(\vec{R}_{1}, \vec{r}_{1}\right) = V(X_{1}, Y_{1}, Z_{1}, x_{1}, y_{1}, z_{1}) = -\frac{e^{2}}{4\pi\varepsilon_{0}} \frac{1}{|\vec{R}_{1} - \vec{r}_{1}|}$$

$$= -\frac{e^{2}}{4\pi\varepsilon_{0}} \frac{1}{\sqrt{(X_{1} - x_{1})^{2} + (Y_{1} - y_{1})^{2} + (Z_{1} - z_{1})^{2}}}$$

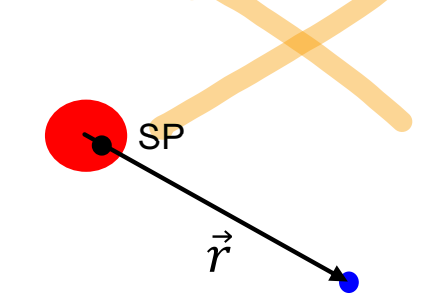


$$\hat{H} = -\frac{\hbar^2}{2m_1} \Delta_1 \left[-\frac{\hbar^2}{2m_e} \Delta_{e,1} \right] + V(X_1, Y_1, Z_1, x_1, y_1, z_1)$$

$$= -\frac{\hbar^2}{2m_1} \left(\frac{\partial^2}{\partial X_1^2} + \frac{\partial^2}{\partial Y_1^2} + \frac{\partial^2}{\partial Z_1^2} \right) - \frac{\hbar^2}{2m_e} \left(\frac{\partial^2}{\partial x_1^2} + \frac{\partial^2}{\partial y_1^2} + \frac{\partial^2}{\partial z_1^2} \right)$$

$$+V(X_1,Y_1,Z_1,x_1,y_1,z_1)$$
.





Koordinatentransformation

Schwerpunktskoordinaten

Interne Koordinaten

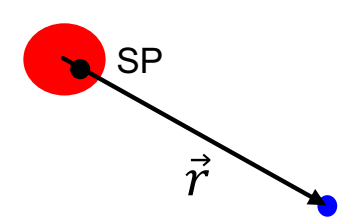
$$X_{\text{SP}} = \frac{1}{m_1 + m_{\text{e}}} (m_1 X_1 + m_{\text{e}} x_1) , \qquad x_{\text{r}} = x_1 - X_1 ,$$

$$Y_{\text{SP}} = \frac{1}{m_1 + m_{\text{e}}} (m_1 Y_1 + m_{\text{e}} y_1) , \qquad y_{\text{r}} = y_1 - Y_1 ,$$

$$Z_{\text{SP}} = \frac{1}{m_1 + m_{\text{e}}} (m_1 Z_1 + m_{\text{e}} z_1) , \qquad z_{\text{r}} = z_1 - Z_1 .$$







$$\hat{H} = -\frac{\hbar^2}{2m} \Delta_{SP} - \frac{\hbar^2}{2\mu} \Delta_{\mathbf{r}} + V(x_{\mathbf{r}}, y_{\mathbf{r}}, z_{\mathbf{r}})$$

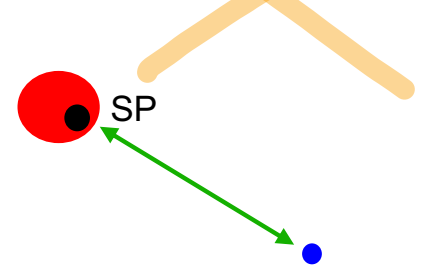
$$m = m_1 + m_e$$

$$\Delta_{\rm SP} = \frac{\partial^2}{\partial X_{\rm SP}^2} + \frac{\partial^2}{\partial Y_{\rm SP}^2} + \frac{\partial^2}{\partial Z_{\rm SP}^2}$$

$$\Delta_{\rm r} = \frac{\partial^2}{\partial x_{\rm r}^2} + \frac{\partial^2}{\partial y_{\rm r}^2} + \frac{\partial^2}{\partial z_{\rm r}^2}$$



Schrödingergleichung für das Wasserstoffatom



$$\hat{H}\psi(X_{SP}, Y_{SP}, Z_{SP}, x_{\mathbf{r}}, y_{\mathbf{r}}, z_{\mathbf{r}}) = E\psi(X_{SP}, Y_{SP}, Z_{SP}, x_{\mathbf{r}}, y_{\mathbf{r}}, z_{\mathbf{r}})$$

Der Ansatz:

$$\psi(X_{\mathrm{SP}}, Y_{\mathrm{SP}}, Z_{\mathrm{SP}}, x_{\mathrm{r}}, y_{\mathrm{r}}, z_{\mathrm{r}}) = \psi_{\mathrm{SP}}(X_{\mathrm{SP}}, Y_{\mathrm{SP}}, Z_{\mathrm{SP}})\psi_{\mathrm{r}}(x_{\mathrm{r}}, y_{\mathrm{r}}, z_{\mathrm{r}})$$

ermöglicht eine Separation der Schrödingergleichung.



Schrödingergleichung für das Wasserstoffatom

Einsetzen des Produktansatzes in die Schrödingergleichung ergibt:

$$\hat{H}\psi_{\mathrm{SP}}\psi_{\mathbf{r}} = \left(-\frac{\hbar^{2}}{2m}\Delta_{\mathrm{SP}} - \frac{\hbar^{2}}{2\mu}\Delta_{\mathbf{r}} + V(x_{\mathbf{r}}, y_{\mathbf{r}}, z_{\mathbf{r}})\right)\psi_{\mathrm{SP}}\psi_{\mathbf{r}}$$

$$= -\frac{\hbar^{2}}{2m}\psi_{\mathbf{r}}\Delta_{\mathrm{SP}}\psi_{\mathrm{SP}} - \frac{\hbar^{2}}{2\mu}\psi_{\mathrm{SP}}\Delta_{\mathbf{r}}\psi_{\mathbf{r}} + V(x_{\mathbf{r}}, y_{\mathbf{r}}, z_{\mathbf{r}})\psi_{\mathrm{SP}}\psi_{\mathbf{r}} = E\psi_{\mathrm{SP}}\psi_{\mathbf{r}}$$

Nach Division durch $\psi_{SP}\psi_{r}$ nimmt die Gleichung die Form

$$\underbrace{-\frac{\hbar^{2}}{2m\psi_{\mathrm{SP}}}\Delta_{\mathrm{SP}}\psi_{\mathrm{SP}}}_{\text{nur von }X_{\mathrm{SP}}} \underbrace{-\frac{\hbar^{2}}{2\mu\psi_{\mathbf{r}}}\Delta_{\mathbf{r}}\psi_{\mathbf{r}} + V(x_{\mathbf{r}}, y_{\mathbf{r}}, z_{\mathbf{r}})}_{\text{nur von }x_{\mathrm{r}}, y_{\mathbf{r}} \text{ und }z_{\mathbf{r}} \text{ abhängig}} = E \tag{4.49}$$

$$\underbrace{-\frac{\hbar^{2}}{2m\psi_{\mathrm{SP}}}\Delta_{\mathrm{SP}}\psi_{\mathrm{SP}}}_{\text{nur von }x_{\mathbf{r}}, y_{\mathbf{r}} \text{ und }z_{\mathbf{r}} \text{ abhängig}}_{\text{nur von }x_{\mathbf{r}}, y_{\mathbf{r}} \text{ und }z_{\mathbf{r}} \text{ abhängig}}$$

Da die beiden Terme auf der linken Seite von Gleichung (4.49) unabhängig voneinander sind, kann diese nur dann für beliebige Werte der sechs Variablen erfüllt werden, wenn jeder der beiden Terme für sich genommen konstant ist.



Schrödingergleichung für das Wasserstoffatom

Bezeichnet man die neu eingeführten Konstanten mit E_{SP} und E_{r} , dann muss also

$$-\frac{\hbar^2}{2m}\Delta_{\mathrm{SP}}\psi_{\mathrm{SP}}(X_{\mathrm{SP}}, Y_{\mathrm{SP}}, Z_{\mathrm{SP}}) = E_{\mathrm{SP}}\psi_{\mathrm{SP}}(X_{\mathrm{SP}}, Y_{\mathrm{SP}}, Z_{\mathrm{SP}}) , \qquad (4.50)$$

$$-\frac{\hbar^2}{2m}\Delta_{\mathrm{SP}}\psi_{\mathrm{SP}}(X_{\mathrm{SP}}, Y_{\mathrm{SP}}, Z_{\mathrm{SP}}) = E_{\mathrm{SP}}\psi_{\mathrm{SP}}(X_{\mathrm{SP}}, Y_{\mathrm{SP}}, Z_{\mathrm{SP}}) , \qquad (4.50)$$

$$\left(-\frac{\hbar^2}{2\mu}\Delta_{\mathbf{r}} + V(x_{\mathbf{r}}, y_{\mathbf{r}}, z_{\mathbf{r}})\right)\psi_{\mathbf{r}}(x_{\mathbf{r}}, y_{\mathbf{r}}, z_{\mathbf{r}}) = E_{\mathbf{r}}\psi_{\mathbf{r}}(x_{\mathbf{r}}, y_{\mathbf{r}}, z_{\mathbf{r}}) , \qquad (4.51)$$

$$E = E_{\rm SP} + E_{\rm r}$$

gelten.

4.7. Die Interpretation der Wellenfunktion nach Born

Max Born schlug 1926 eine heute allgemein akzeptierte Interpretation für das Betragsquadrat $|\psi(x,y,z)|^2$ einer Wellenfunktion vor.

Wahrscheinlichkeit, das Teilchen innerhalb eines infinitesimalen Volumens dV=dxdydz an der Stelle (x,y,z) zu finden beträgt $|\psi(x,y,z)|^2 dV$

Wahrscheinlichkeit, das Teilchen innerhalb eines makroskopischen Volumens V zu finden beträgt $P=\iiint |\psi(x,y,z)|^2 \mathrm{d}V$

 $|\psi(x,y,z)|^2$ wird als Wahrscheinlichkeitsdichte bezeichnet.

Die Interpretation nach Born ist allerdings nur dann zulässig, wenn die Wellenfunktion $\psi(x, y, z)$ normiert ist, das heisst, wenn sie die Bedingung

$$\iiint |\psi(x,y,z)|^2 dV = \int_{-\infty}^{\infty} \int_{-\infty}^{\infty} \int_{-\infty}^{\infty} |\psi(x,y,z)|^2 dx dy dz = 1$$
 (4.52)



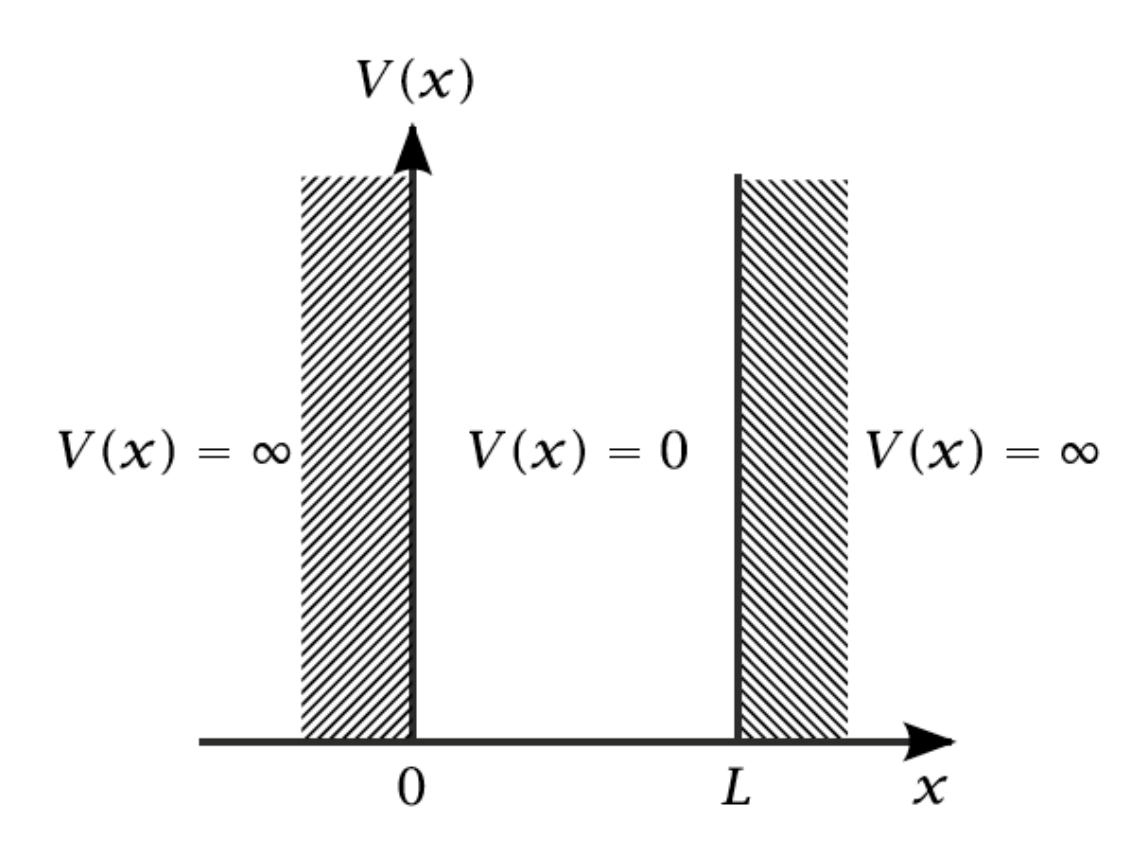
Ein Teilchen der Masse *m* befindet sich in einem Kasten der Länge *L*. Die Wände sind unendlich hoch.

Hamiltonoperator

$$\hat{H} = -\frac{\hbar^2}{2m} \frac{\mathrm{d}^2}{\mathrm{d}x^2} + V(x)$$

Potential

$$V(x) = \begin{cases} 0, \text{ falls } 0 \le x \le L \\ \infty, \text{ sonst.} \end{cases}$$



Schrödingergleichung

$$-\frac{\hbar^2}{2m}\frac{\mathrm{d}^2\psi(x)}{\mathrm{d}x^2} = E\psi(x) \quad \Leftrightarrow \quad \frac{\mathrm{d}^2\psi(x)}{\mathrm{d}x^2} = -\frac{2mE}{\hbar^2}\psi(x)$$



Das Teilchen im Kasten (1D): Lösung der Schrödingergleichung

Born'sche Interpretation der Wellenfunktion:

Die Aufenthaltswahrscheinlichkeit ausserhalb des Kastens verschwindet:

$$|\psi(x)|^2=0 \Rightarrow \psi(x)=0$$
 (für $x<0$ respektive $x>L$)
$$V(x)$$

$$V(x)=\infty$$

$$V(x)=0$$

Schrödingergleichung (= homogene lineare Differentialgleichung 2. Ordnung)

$$-\frac{\hbar^2}{2m}\frac{\mathrm{d}^2\psi(x)}{\mathrm{d}x^2} = E\psi(x) \quad \Leftrightarrow \quad \frac{\mathrm{d}^2\psi(x)}{\mathrm{d}x^2} = -\frac{2mE}{\hbar^2}\psi(x)$$

 $\boldsymbol{\chi}$



Allgemeine Lösung

$$\psi(x) = a \sin\left(\sqrt{\frac{2mE}{\hbar^2}}x\right) + b \cos\left(\sqrt{\frac{2mE}{\hbar^2}}x\right)$$

Randbedingungen

$$\psi(0) = \psi(L) = 0$$

$$\psi(0) = a\sin(0) + b\cos(0) = 0 \Leftrightarrow b = 0$$

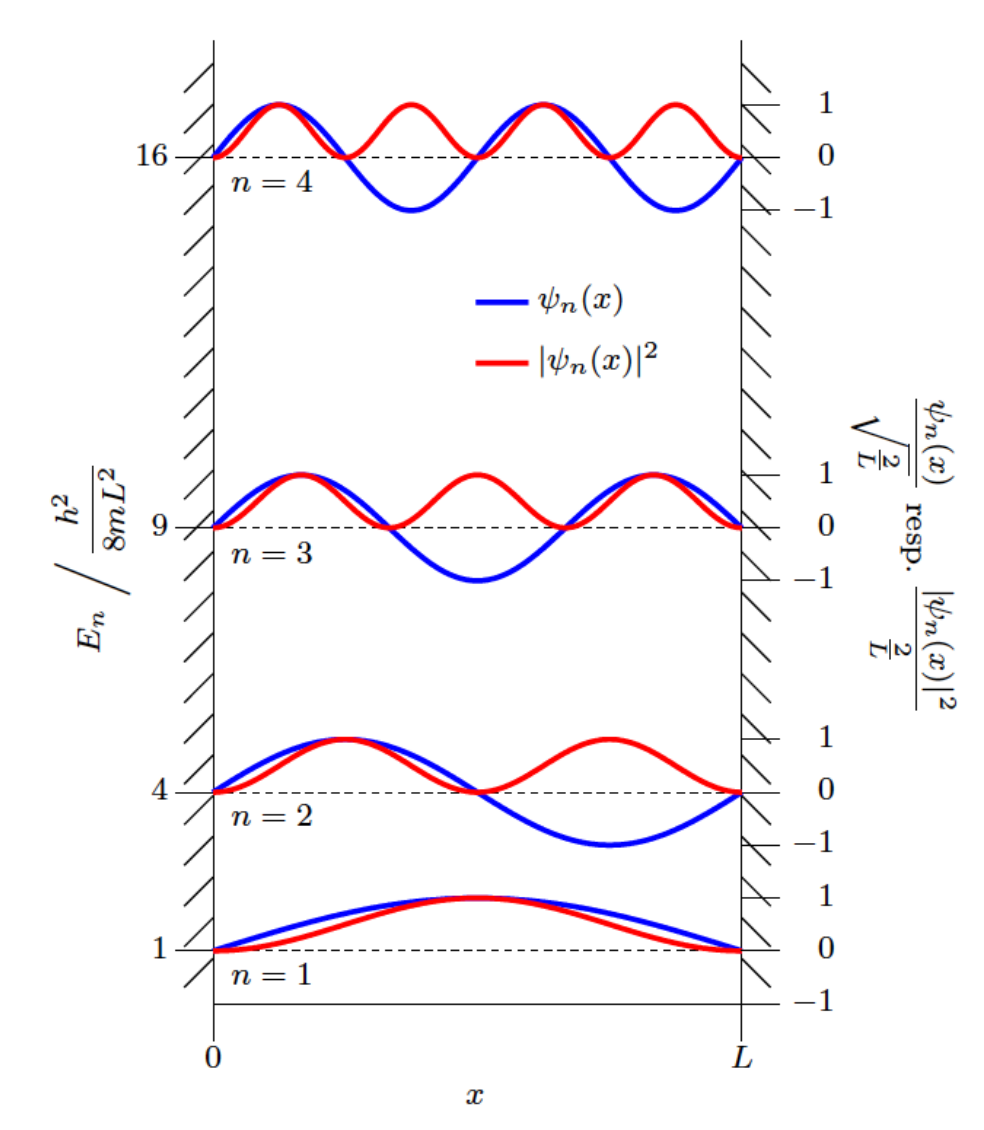
$$\psi(L) = a\sin\left(\sqrt{\frac{2mE}{\hbar^2}}L\right) + b\cos\left(\sqrt{\frac{2mE}{\hbar^2}}L\right)$$

$$\stackrel{(4.59)}{=} a \sin\left(\sqrt{\frac{2mE}{\hbar^2}}L\right) = 0.$$

$$\sqrt{\frac{2mE}{\hbar^2}}L = n\pi \quad (n \in \mathbb{N})$$

Eigenzustände und Eigenwerte

$$\psi_n(x) = a_n \sin\left(\sqrt{\frac{2mE_n}{\hbar^2}}x\right) = a_n \sin\left(\frac{n\pi x}{L}\right) \qquad E_n = \frac{\hbar^2 \pi^2 n^2}{2mL^2} = \frac{h^2 n^2}{8mL^2}$$



$$E_n = \frac{\hbar^2 \pi^2 n^2}{2mL^2} = \frac{h^2 n^2}{8mL^2}$$

Die Energieeigenwerte sind «quantisiert»!



Normierung der Wellenfunktion

$$\int_{-\infty}^{\infty} |\psi_n(x)|^2 dx = \int_{0}^{L} |\psi_n(x)|^2 dx = a_n^2 \int_{0}^{L} \sin^2\left(\frac{n\pi x}{L}\right) dx = 1$$

Das in Gleichung (4.63) auftretende Integral kann mit Hilfe der Beziehung

$$\sin^2(Cx) = 1 - \cos^2(Cx) = 1 - \left(\cos(2Cx) + \sin^2(Cx)\right)$$

$$\Leftrightarrow \sin^2(Cx) = \frac{1 - \cos(2Cx)}{2}$$

berechnet werden und man erhält

$$a_n^2 \int_0^L \sin^2\left(\frac{n\pi x}{L}\right) dx = \frac{a_n^2}{2} \int_0^L \left[1 - \cos\left(\frac{2n\pi}{L}x\right)\right] dx$$

$$= \frac{a_n^2}{2} \left[\int_0^L dx - \int_0^L \cos\left(\frac{2n\pi}{L}x\right) dx\right]$$

$$= \frac{a_n^2}{2} \left[L - \frac{L}{2n\pi} \left[\sin\left(\frac{2n\pi}{L}x\right)\right]_0^L\right] = \frac{a_n^2 L}{2} = 1.$$





Daraus folgt

$$a_n = \sqrt{\frac{2}{L}}$$

und für die normierte Wellenfunktion gilt

$$\psi_n(x) = \sqrt{\frac{2}{L}} \sin\left(\frac{n\pi x}{L}\right)$$

Mit Hilfe der normierten Wellenfunktion lässt sich die Wahrscheinlichkeit $P_n(x_l, x_r)$ berechnen, dass sich das Teilchen im durch die Quantenzahl n charakterisierten Zustand in einem bestimmten Bereich zwischen x_l und x_r innerhalb des Kastens aufhält:

$$P_n(x_1, x_r) = \int_{x_1}^{x_r} |\psi_n(x)|^2 dx = \frac{2}{L} \int_{x_1}^{x_r} \sin^2\left(\frac{n\pi x}{L}\right) dx.$$





Mit Hilfe von Gleichung (4.64) erhält man schliesslich

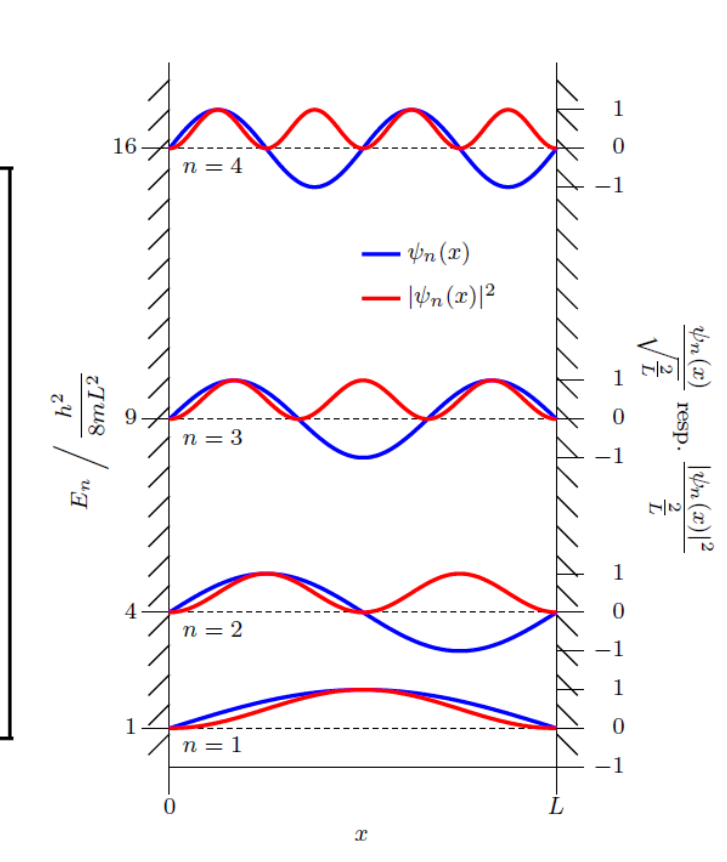
$$P_n(x_1, x_r) = \frac{x_r - x_1}{L} - \frac{1}{2n\pi} \left(\sin\left(\frac{2n\pi x_r}{L}\right) - \sin\left(\frac{2n\pi x_1}{L}\right) \right) . \tag{4.67}$$

Beispiel 4-7: Berechnung der Aufenthaltswahrscheinlichkeit eines Teilchens im Bereich $0 \le x \le \frac{L}{2}$ eines eindimensionalen Kastens der Länge L (linker Teil des Kastens)

Zum Lösen dieses Beispiels kann man direkt Gleichung (4.67) benützen, wobei $x_1 = 0$ und $x_r = \frac{L}{2}$ gesetzt werden muss. Man erhält:

$$P_n\left(0, \frac{L}{2}\right) = \frac{1}{2} - \frac{1}{2n\pi} \left(\underbrace{\sin(n\pi)}_{-0} - \sin(0)\right) = \frac{1}{2}.$$

Die Aufenthaltswahrscheinlichkeit ist in diesem Fall unabhängig von n und in allen Zuständen gleich gross. Dass dies nicht immer der Fall sein muss, zeigt das nächste Beispiel.





Beispiel 4-8: Berechnung der Aufenthaltswahrscheinlichkeit eines Teilchens im Bereich $\frac{L}{4} \le x \le \frac{3L}{4}$ eines eindimensionalen Kastens der Länge L

Dieses Beispiel kann ebenfalls direkt mit Gleichung (4.67) gelöst werden, indem $x_1 = \frac{L}{4}$ und $x_r = \frac{3L}{4}$ gesetzt wird:

$$P_n\left(\frac{L}{4}, \frac{3L}{4}\right) = \frac{1}{2} - \frac{1}{2n\pi} \left(\sin\left(\frac{3n\pi}{2}\right) - \sin\left(\frac{n\pi}{2}\right)\right) . \tag{4.68}$$

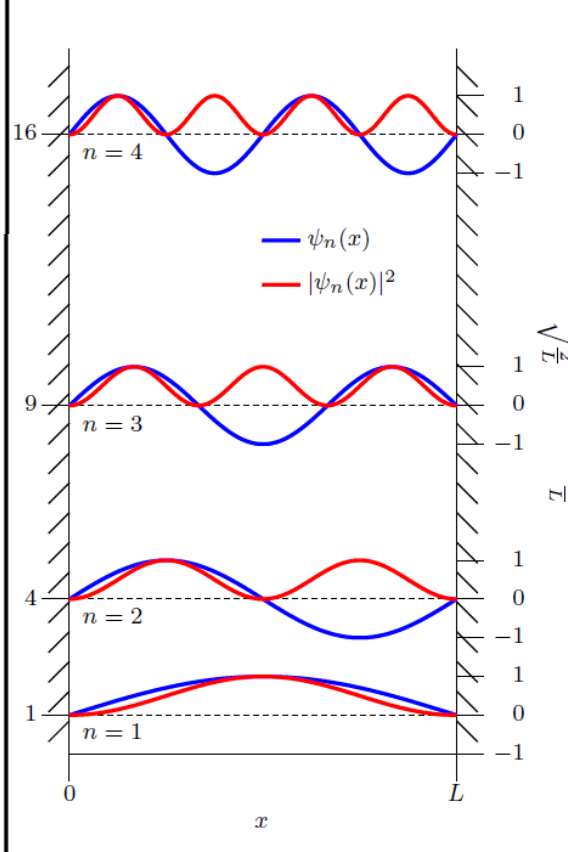
Die beiden Sinus-Terme in Gleichung (4.68) oszillieren in Abhängigkeit von n zwischen den Werten -1, 0 und 1. Um eine Regelmässigkeit zu erkennen, untersuchen wir zuerst die Aufenthaltswahrscheinlichkeit für gerade n-Werte. Dazu führen wir die Variable α ($\alpha \in \mathbb{N}$) und setzen in Gleichung (4.68) $n = 2\alpha$:

$$P_{2\alpha}\left(\frac{L}{4}, \frac{3L}{4}\right) = \frac{1}{2} - \frac{1}{4\alpha\pi} \left(\underbrace{\sin(3\alpha\pi)}_{-0} - \underbrace{\sin(\alpha\pi)}_{-0}\right) = \frac{1}{2} .$$

Für gerade n-Werte ist die Aufenthaltswahrscheinlichkeit also wie in Beispiel 1 ebenfalls konstant.

Für ungerade n-Werte setzt man $n=2\alpha-1$ und formt Gleichung (4.68) unter Verwendung des Sinus-Additionstheorems um:

$$P_{2\alpha-1}\left(\frac{L}{4}, \frac{3L}{4}\right) = \frac{1}{2} - \frac{1}{2(2\alpha-1)\pi} \left(\sin\left(3\alpha\pi - \frac{3\pi}{2}\right) - \sin\left(\alpha\pi - \frac{\pi}{2}\right)\right)$$
$$= \frac{1}{2} - \frac{1}{2(2\alpha-1)\pi} \left(\sin(3\alpha\pi) \cos\left(\frac{3\pi}{2}\right) - \cos(3\alpha\pi) \sin\left(\frac{3\pi}{2}\right)\right)$$





Eigenschaften quantenmechanischer Systeme

- Das Auftreten von Quantenzahlen und der Quantisierung ist die <u>Folge</u> der zu erfüllenden <u>Randbedingungen</u>.
- Quantenzahlen dienen der eindeutigen Bezeichnung der Lösungen. Jede Lösung beschreibt einen <u>Zustand</u> (Wellenfunktion und Eigenwert).
- Anzahl der Quantenzahlen entspricht der <u>Dimension</u> des Problems.
- Nullstellen der Wellenfunktion werden als «Knoten» bezeichnet. Die Energie der Zustände nimmt mit der Anzahl der Knoten zu.
- Die Energie des tiefsten Zustandes wird als «<u>Nullpunktsenergie</u>» bezeichnet.
- Quantenzahlen können auch den Wert <u>null oder negative Werte</u> annehmen (s. später).

Molekulare Schwingungen

Der harmonische Oszillator

V(x)

Rücktreibende Kraft

$$F(x) = -k(x - x_e)$$

$$dV = -F(x)dx \implies V(x) = -\int F(x)dx = k \int (x - x_e)dx$$
$$= \frac{1}{2}kx^2 - kx_ex + C.$$

Schrödinger Gleichung

$$\left(-\frac{\hbar^2}{2\mu}\frac{\mathrm{d}^2}{\mathrm{d}x^2} + \frac{1}{2}k(x - x_e)^2\right)\psi(x) = E\psi(x)$$

mit der reduzierten Masse $\mu = \frac{m_1 m_2}{m_1 + m_2}$

Eigenzustände und Eigenwerte

$$E_v = h\nu_e \left(v + \frac{1}{2}\right) = hc\omega_e \left(v + \frac{1}{2}\right) \quad (v \in \mathbb{N}_0)$$

v Schwingsungsquantenzahl

 v_e Schwingungsfrequenz

 ω_{e} Schwingsungswellenzahl

$$\psi_v(x) = \left(\frac{\alpha}{4^v(v!)^2 \pi}\right)^{\frac{1}{4}} H_v\left(\sqrt{\alpha}(x - x_e)\right) e^{-\alpha(x - x_e)^2/2} \quad ; \quad \alpha = \frac{\sqrt{\mu k}}{\hbar} = \frac{2\pi\mu\nu_e}{\hbar}$$



Der harmonische Oszillator

Eigenzustände und Eigenwerte

$$E_v = h\nu_e \left(v + \frac{1}{2}\right) = hc\omega_e \left(v + \frac{1}{2}\right) \quad (v \in \mathbb{N}_0)$$

$$\psi_v(x) = \left(\frac{\alpha}{4^v(v!)^2\pi}\right)^{\frac{1}{4}} H_v\left(\sqrt{\alpha}(x - x_e)\right) e^{-\alpha(x - x_e)^2/2}$$

Hermite Polynome

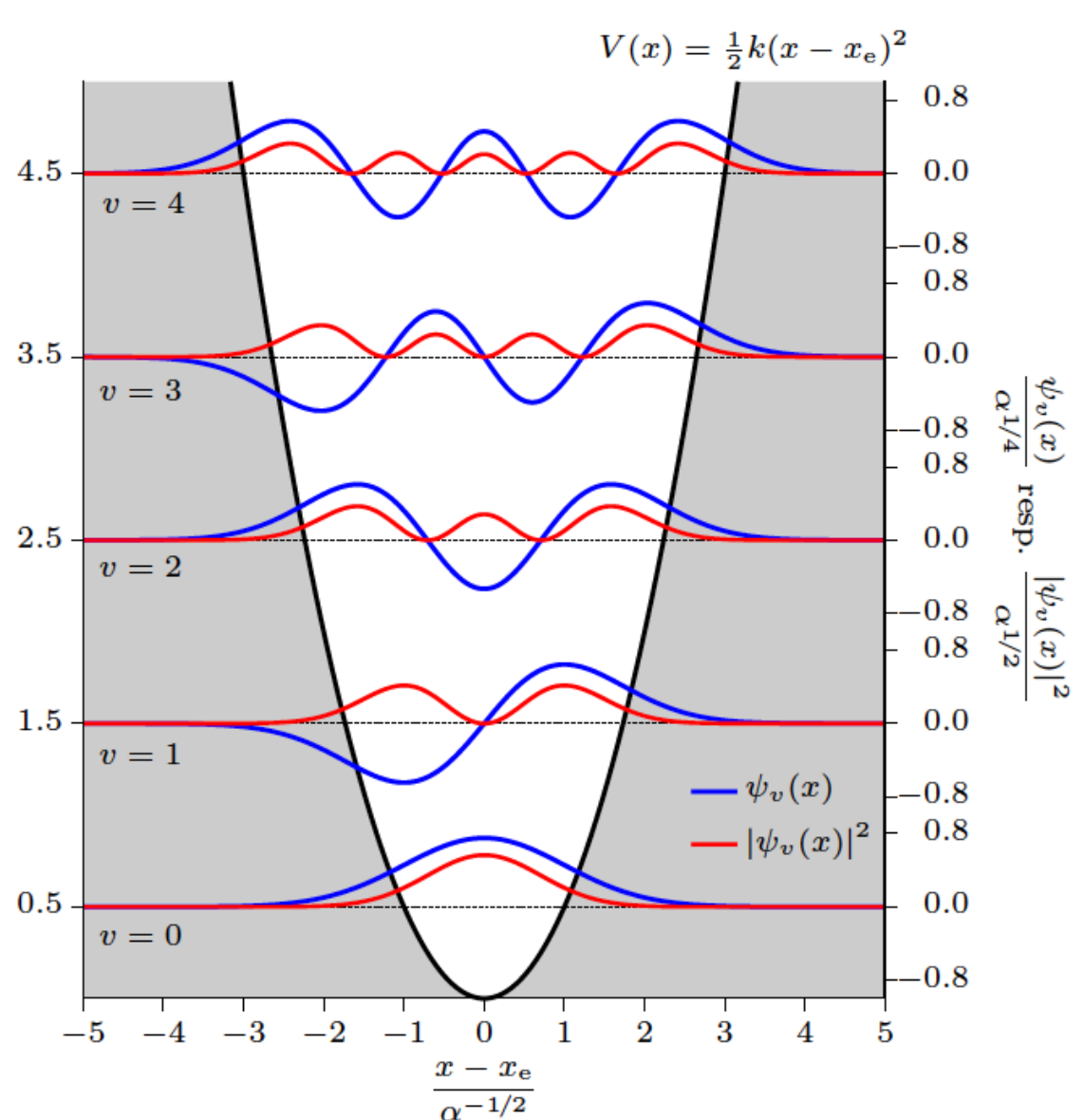
$$H_0(\xi) = 1$$

$$H_1(\xi) = 2\xi$$

$$H_{v+1}(\xi) = 2\xi H_v(\xi) - 2vH_{v-1}(\xi)$$

resp.
$$\frac{V(x)}{h\nu_{\rm e}}$$

$$E_v = h v_{
m e}$$







Die Hermite-Polynome

$$H_0(\xi) = 1$$

 $H_1(\xi) = 2\xi$
 $H_{v+1}(\xi) = 2\xi H_v(\xi) - 2vH_{v-1}(\xi)$

v	$H_v(\xi)$	$\psi_v(x)$	$ \psi_v(x) ^2$
0	1	$\sqrt[4]{\frac{\alpha}{\pi}}e^{-\alpha r^2/2}$	$\sqrt{\frac{\alpha}{\pi}}e^{-\alpha r^2}$
1	2ξ	$\sqrt[4]{\frac{4\alpha^3}{\pi}}re^{-\alpha r^2/2}$	$\sqrt{\frac{4\alpha^3}{\pi}}r^2\mathrm{e}^{-\alpha r^2}$
2	$4\xi^2 - 2$	$\sqrt[4]{\frac{\alpha}{4\pi}}(2\alpha r^2 - 1)e^{-\alpha r^2/2}$	$\sqrt{\frac{\alpha}{4\pi}}(2\alpha r^2 - 1)^2 e^{-\alpha r^2}$
3	$8\xi^3-12\xi$	$\sqrt[4]{\frac{\alpha^3}{9\pi}}r(2\alpha r^2 - 3)e^{-\alpha r^2/2}$	$\sqrt{\frac{\alpha^3}{9\pi}}r^2(2\alpha r^2 - 3)^2e^{-\alpha r^2}$





Schwingungen von mehratomigen Molekülen

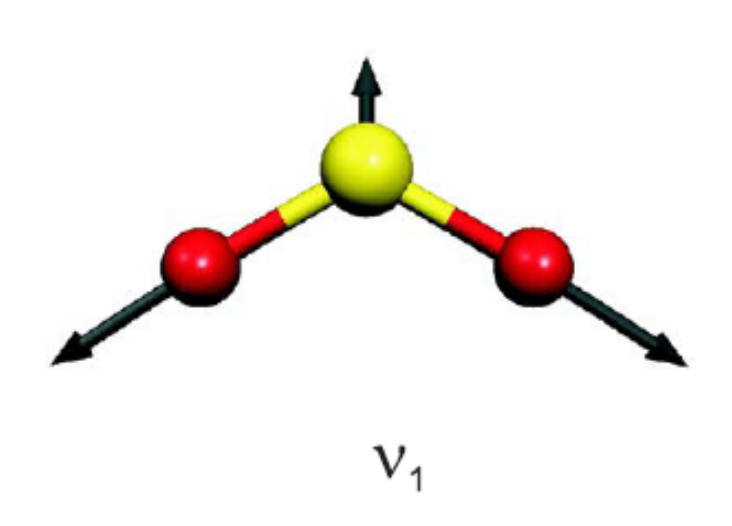
- Mehratomige Moleküle besitzen mehrere «Schwingungsmoden».
- In der harmonischen Näherung beeinflussen sich diese Moden nicht und können unabhängig voneinander beschrieben werden.
- Jede Mode i mit der Frequenz v_i kann mit einer Anzahl v_i von Quanten angeregt sein und somit eine Energie E_i = $hv_i(v_i+1/2)$ zur gesamten Schwingungsenergie $E=\Sigma_i$ E_i beitragen.
- Die <u>Anzahl</u> der Schwingungsmoden kann aus der Anzahl Freiheitsgrade berechnet werden:
 - Ein Molekül mit *N* Atomen hat 3*N* Freiheitsgrade Davon entfallen 3 auf Translationen des Schwerpunkts und 3 auf Rotationen → 3*N*-6 Schwingungsmoden
- Spezialfall: Lineare Moleküle: Nur 2 Rotationen → 3N-5 Schwingsungsmoden

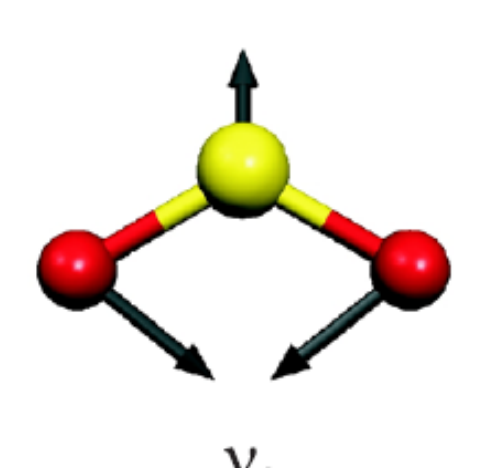


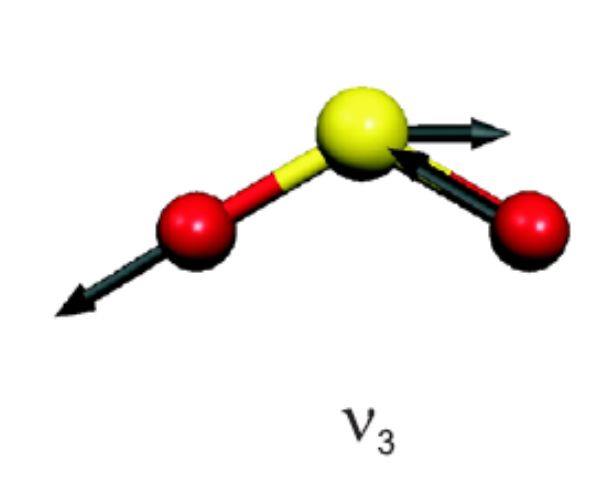


Schwingungen von mehratomigen Molekülen

Beispiel: Schwingungsmoden von SO₂







Wellenzahlen ω_1 =1151.4 cm⁻¹

 v_1 =35.542 THz

Perioden T_1 =28.136 fs

Frequenzen

 ω_2 =517.7 cm⁻¹

 v_2 =15.531 THz

 T_2 =64.387 fs

 ω_3 =1380.9 cm⁻¹

 v_3 =41.427 THz

 T_3 =24.139 fs





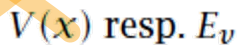
Schwingungswellenzahlen

Molekül	$\omega_{\mathrm{e}}/\mathrm{cm}^{-1}$	Molekül	$\omega_{ m e}/{ m cm}^{-1}$
H_2	4395	CO	2170
F_2	892	NO	1904
Cl_2	565	$^{\mathrm{CN}}$	2069
O_2	1580	OH	3735
N_2	2360	$_{ m CH}$	2862
C_2	1641	NH	3300

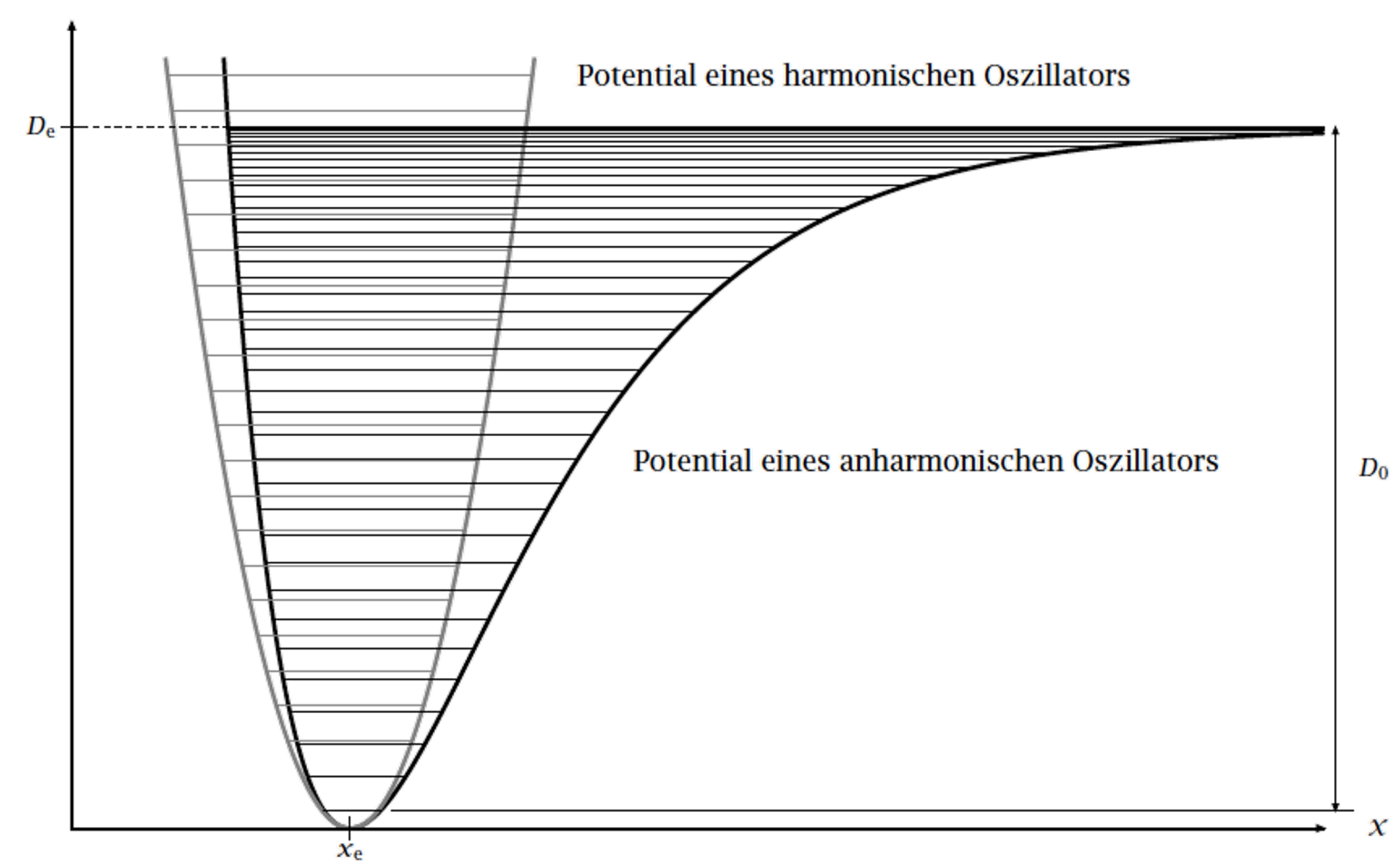
Bei einer Isotopensubsitution ändert sich <u>nur</u> die reduzierte Masse $\mu = \frac{m_1 m_2}{m_1 + m_2}$

Die Kraftkonstante *k* wird durch die Isotopensubstitution <u>nicht beeinflusst</u>.

$$\omega_{\rm e}(D_2) = \frac{1}{\sqrt{2}}\,\omega_{\rm e}(H_2)$$



Der anharmonische Oszillator

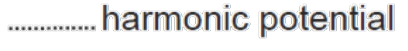


$$\frac{E_v}{hc} = \omega_e \left(v + \frac{1}{2} \right) - \omega_e x_e \left(v + \frac{1}{2} \right)^2 + \omega_e y_e \left(v + \frac{1}{2} \right)^3 - \dots$$

 $\omega_e x_e$, $\omega_e y_e$, etc. nennt man «Anharmonizitätskonstanten».





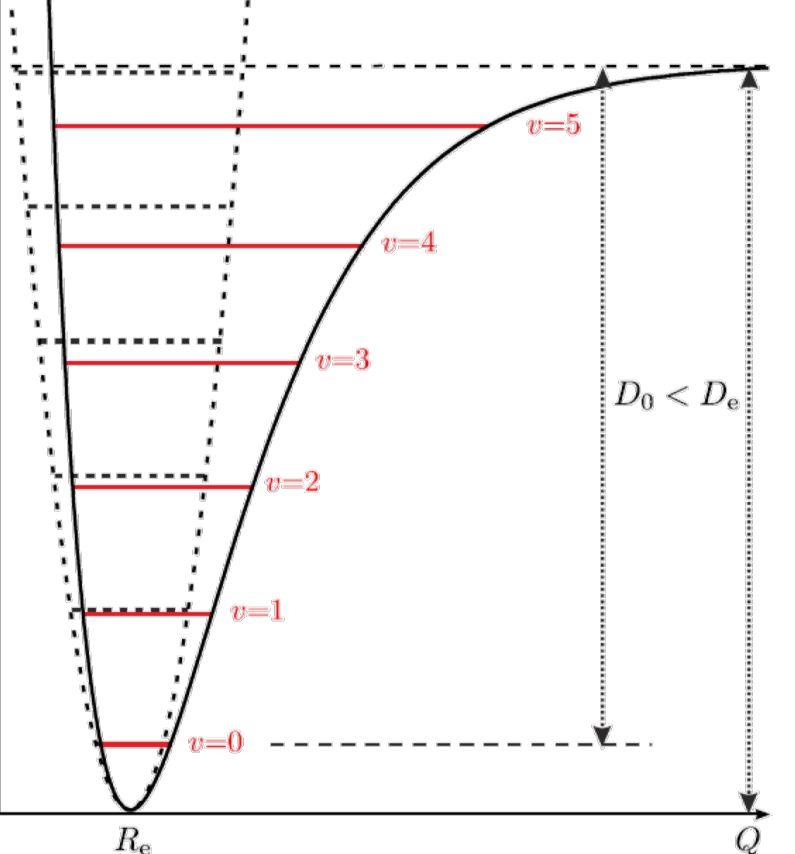


$$\frac{E_{\mathrm{vib}}^{(\mathrm{harm.})}(v)}{hc} = \omega_{\mathrm{e}} \left(v + \frac{1}{2} \right)$$

Morse potential

$$\frac{E_{\mathrm{vib}}^{(\mathrm{Morse})}(v)}{\hbar c} = \omega_{\mathrm{e}} \left(v + \frac{1}{2} \right) - \omega_{\mathrm{e}} x_{\mathrm{e}} \left(v + \frac{1}{2} \right)^{2}$$

$$\frac{E_v}{hc} = \omega_e \left(v + \frac{1}{2} \right) - \omega_e x_e \left(v + \frac{1}{2} \right)^2$$

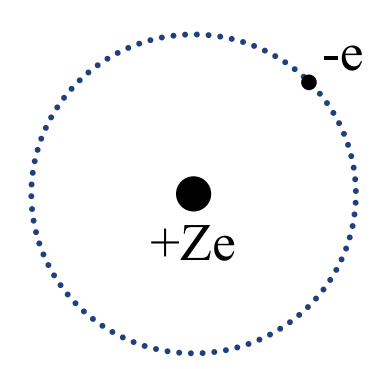


Die Dissoziationsenergie $D_{\rm e}$ entspricht der Energiedifferenz zwischen der asymptotischen Dissoziationsgrenze und dem Minimum der Potentialenergiekurve V(r) (siehe Abbildung 4.19). Die Energie, die benötigt wird, um ein sich im tiefsten Schwingungszustand (v=0) befindendes Molekül zu dissoziieren, ist kleiner als $D_{\rm e}$ und wird als $D_{\rm 0}$ bezeichnet. Der Unterschied zwischen $D_{\rm e}$ und $D_{\rm 0}$ ist die Nullpunktsenergie

$$D_{\rm e} - D_0 = \frac{1}{2}\omega_{\rm e} - \frac{1}{4}\omega_{\rm e}x_{\rm e} + \frac{1}{8}\omega_{\rm e}y_{\rm e} - \dots \approx \frac{1}{2}\omega_{\rm e}$$
.







Schrödingergleichung für die Relativbewegung

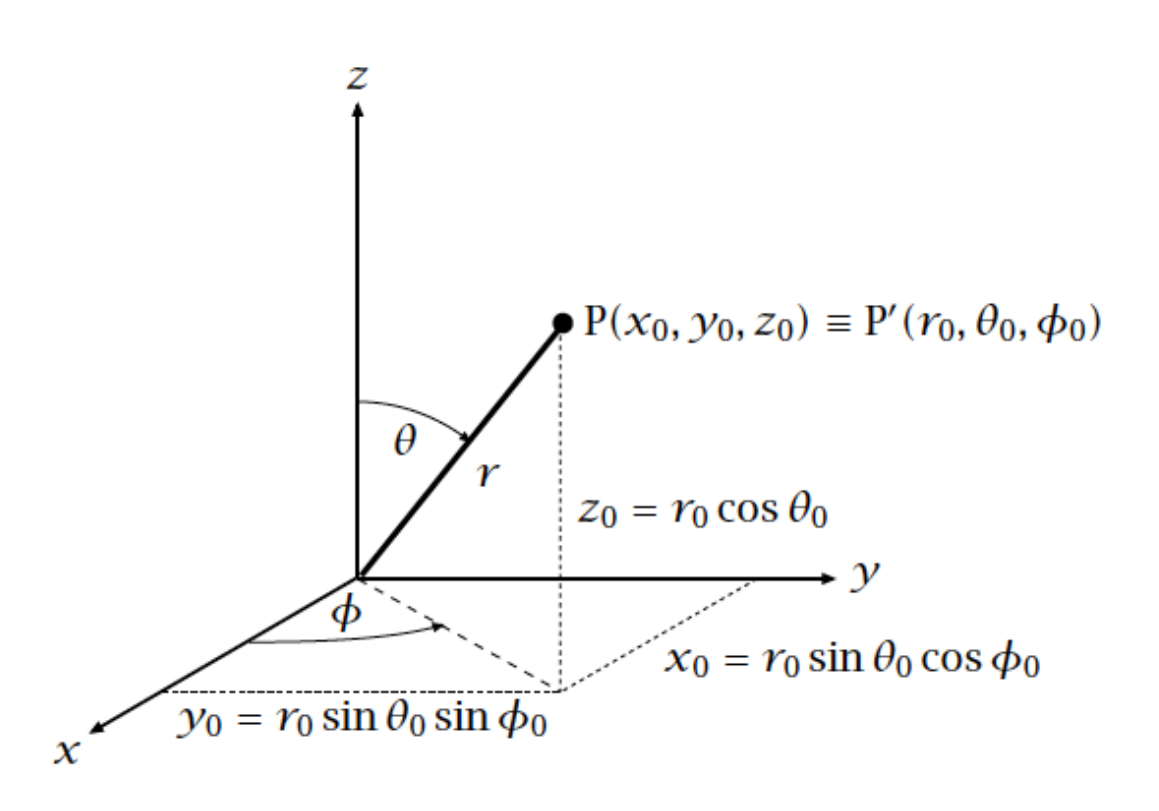
$$\left(-\frac{\hbar^2}{2\mu}\left(\frac{\partial^2}{\partial x^2} + \frac{\partial^2}{\partial y^2} + \frac{\partial^2}{\partial z^2}\right) + V(x, y, z)\right)\psi(x, y, z) = E\psi(x, y, z)$$

$$V(x, y, z) = -\frac{1}{4\pi\varepsilon_0} \frac{Ze^2}{\sqrt{x^2 + y^2 + z^2}}$$





Kugelkoordinaten



$$0 \le r < \infty$$
, $0 \le \theta \le \pi$, $0 \le \phi \le 2\pi$

Umrechnung

$$\begin{split} r &= \sqrt{x^2 + y^2 + z^2} \;,\\ \cos\theta &= \frac{z}{r} = \frac{z}{\sqrt{x^2 + y^2 + z^2}} \;,\\ \mathrm{tg}\,\phi &= \frac{y}{x} \;. \end{split}$$

$$x = r \sin \theta \cos \phi ,$$

$$y = r \sin \theta \sin \phi ,$$

$$z = r \cos \theta .$$



Kugelkoordinaten

Umrechnung

$$x = r\sin\theta\cos\phi ,$$

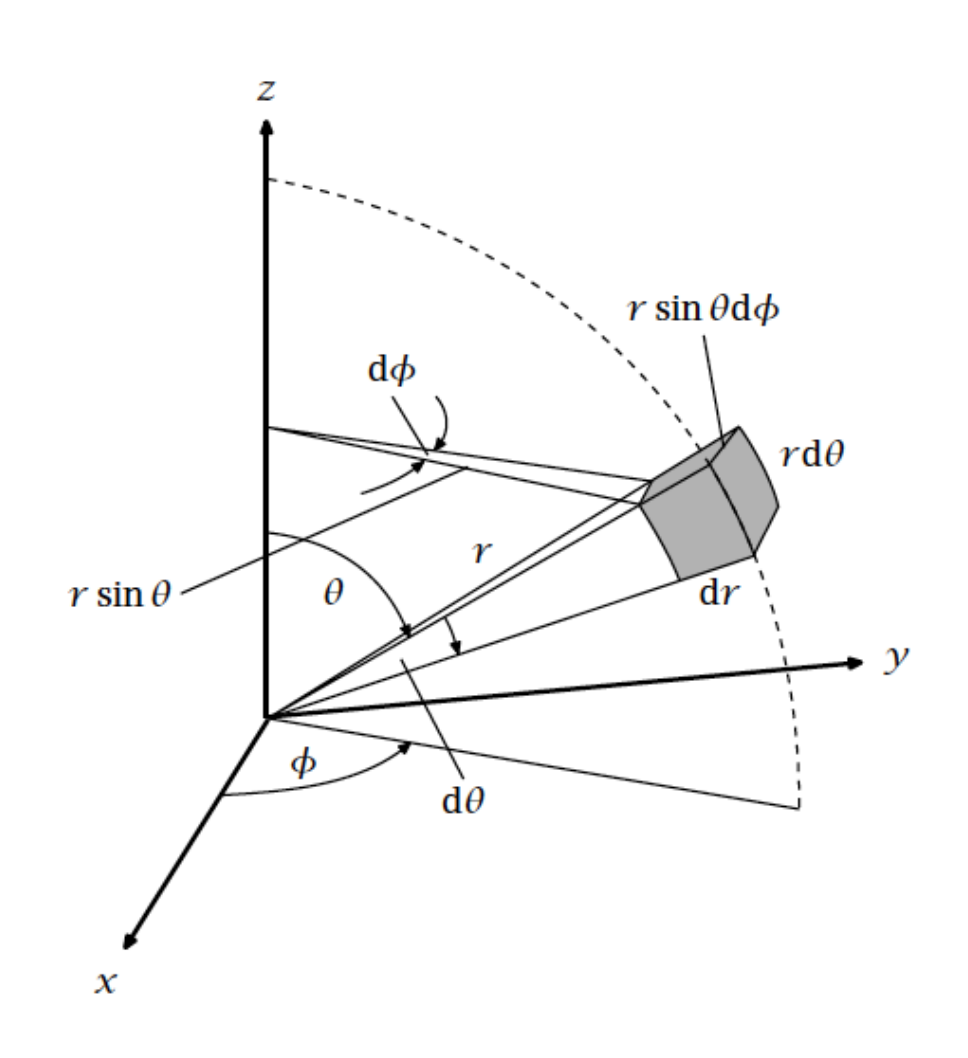
$$y = r\sin\theta\sin\phi ,$$

$$z = r \cos \theta$$
.

Volumenelemente

$$dV = dxdydz$$

$$dV = dr(rd\theta)(r\sin\theta d\phi) = r^2\sin\theta drd\theta d\phi ,$$





Das Wasserstoffatom

Lösung der Schrödingergleichung in Kugelkoordinaten

$$\left(\frac{\partial^2}{\partial r^2} + \frac{2}{r}\frac{\partial}{\partial r} - \frac{2\mu}{\hbar^2}\left(V(r) - E\right) - \frac{1}{r^2\hbar^2}\hat{l}^2\right)\psi(r,\theta,\phi) = 0$$

Ansatz

$$\psi_{n,l,m_l}(r,\theta,\phi) = R_{n,l}(r)Y_{l,m_l}(\theta,\phi)$$

Einsetzen

$$\hbar^2 r^2 \left(\frac{\partial^2}{\partial r^2} + \frac{2}{r} \frac{\partial}{\partial r} - \frac{2\mu}{\hbar^2} \left(V(r) - E \right) \right) R_{n,l}(r) Y_{l,m_l}(\theta,\phi) = \hat{l}^2 R_{n,l}(r) Y_{l,m_l}(\theta,\phi)$$

$$\frac{\hbar^2 r^2}{R_{n,l}(r)} \left(\frac{\partial^2}{\partial r^2} + \frac{2}{r} \frac{\partial}{\partial r} - \frac{2\mu}{\hbar^2} \left(V(r) - E \right) \right) R_{n,l}(r) = \frac{1}{Y_{l,m_l}(\theta,\phi)} \hat{l}^2 Y_{l,m_l}(\theta,\phi)$$

Hängt nur von r ab

Hängt nur von θ, ϕ ab

→ Beide Seiten müssen gleich einer Konstanten sein.



Das Wasserstoffatom: Eigenwerte und Quantenzahlen

$$\psi_{n,l,m_l}(r,\theta,\phi) = R_{n,l}(r)Y_{l,m_l}(\theta,\phi)$$

$$E_n = -\frac{hcRZ^2}{n^2}$$

Quantenzahlen

Hauptquantenzahl
$$n \ (n \in \mathbb{N})$$

Nebenquantenzahl $l \ (l \in \mathbb{N}_0)$
magnetische Quantenzahl $m_l \ (m_l \in \mathbb{Z})$

$$0 \le l \le n - 1 ,$$
$$|m_l| \le l .$$

Beispiel 5-1: Mögliche Wellenfunktionen für n = 1 bis n = 3

Die folgende Tabelle stellt alle Wellenfunktionen $\psi_{n,l,m_l}(r,\theta,\phi)$ zusammen, welche aufgrund der Bedingungen (5.6) und (5.7) möglich sind.

n	E_n	l	m_l	$\psi_{n,l,m_l}(r,\theta,\phi)$
1	$E_1 = -hcR$	0	0	$\psi_{1,0,0}(r,\theta,\phi) = R_{1,0}(r)Y_{0,0}(\theta,\phi)$
	$E_2 = -\frac{1}{4}hcR$	0	0	$\psi_{2,0,0}(r,\theta,\phi) = R_{2,0}(r)Y_{0,0}(\theta,\phi)$
2			-1	$\psi_{2,1,-1}(r,\theta,\phi) = R_{2,1}(r)Y_{1,-1}(\theta,\phi)$
-		1	0	$\psi_{2,1,0}(r,\theta,\phi) = R_{2,1}(r)Y_{1,0}(\theta,\phi)$
			1	$\psi_{2,1,1}(r,\theta,\phi) = R_{2,1}(r)Y_{1,1}(\theta,\phi)$
	$E_3 = -\frac{1}{9}hcR$	0	0	$\psi_{3,0,0}(r,\theta,\phi) = R_{3,0}(r)Y_{0,0}(\theta,\phi)$
			-1	$\psi_{3,1,-1}(r,\theta,\phi) = R_{3,1}(r)Y_{1,-1}(\theta,\phi)$
		1	0	$\psi_{3,1,0}(r,\theta,\phi) = R_{3,1}(r)Y_{1,0}(\theta,\phi)$
			1	$\psi_{3,1,1}(r,\theta,\phi) = R_{3,1}(r)Y_{1,1}(\theta,\phi)$
3			-2	$\psi_{3,2,-2}(r,\theta,\phi) = R_{3,2}(r)Y_{2,-2}(\theta,\phi)$
			-1	$\psi_{3,2,-1}(r,\theta,\phi) = R_{3,2}(r)Y_{2,-1}(\theta,\phi)$
		2	0	$\psi_{3,2,0}(r,\theta,\phi) = R_{3,2}(r)Y_{2,0}(\theta,\phi)$
			1	$\psi_{3,2,1}(r,\theta,\phi) = R_{3,2}(r)Y_{2,1}(\theta,\phi)$
			2	$\psi_{3,2,2}(r,\theta,\phi) = R_{3,2}(r)Y_{2,2}(\theta,\phi)$



Das Wasserstoffatom: die radialen Wellenfunktionen

Radiale Schrödingergleichung

$$\left(\frac{\partial^2}{\partial r^2} + \frac{2}{r}\frac{\partial}{\partial r} - \frac{2\mu}{\hbar^2}\left(V(r) - E\right)\right)R_{n,l}(r) = \frac{l(l+1)}{r^2}R_{n,l}(r)$$

Lösung

$$R_{n,l}(\rho) = \sqrt{\frac{(n-l-1)!}{2n(n+l)!}} \left(\frac{2Z}{na}\right)^{3/2} \rho^l \exp\left\{-\frac{\rho}{2}\right\} \underbrace{L_{n-l-1}^{2l+1}(\rho)}_{\text{assoziiertes}}$$
Laguerre-Polynom

wobei

$$\rho = \frac{2Z}{na}r \qquad a = a_0 \frac{m_e}{\mu}$$
Bohr Radius





Assoziierte Laguerre-Polynome

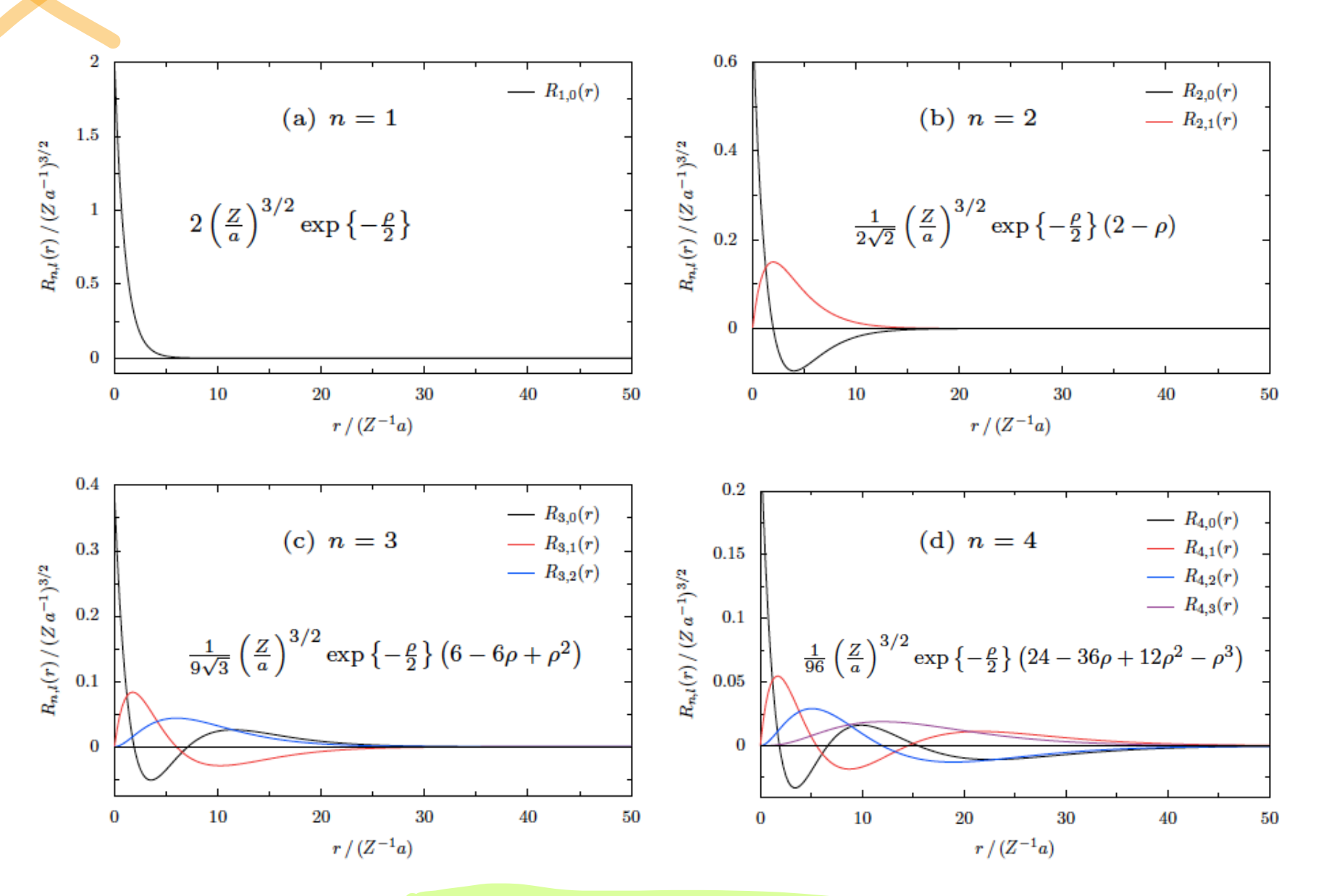
$$L_n^{\alpha}(x) = \frac{\exp\{x\} x^{-\alpha}}{n!} \frac{\mathrm{d}^n}{\mathrm{d}x^n} \exp\{-x\} x^{n+\alpha}$$
$$= \sum_{k=0}^n \binom{n+\alpha}{n-k} \frac{(-x)^k}{k!}.$$

Definition des Binomialkoeffizienten:

$$egin{pmatrix} n \ k \end{pmatrix} = rac{n!}{k! \cdot (n-k)!}$$



Das Wasserstoffatom: die radialen Wellenfunktionen



Anzahl radialer Knoten: n-l-1



Das Wasserstoffatom: die winkelabhängigen Wellenfunktionen

Die Kugelflächenfunktionen (engl. "spherical harmonics")

$$Y_{l,m_l}(\phi,\theta) = \frac{1}{\sqrt{2\pi}} \exp\left\{im_l \phi\right\} \sqrt{\frac{2l+1}{2} \frac{(l-|m_l|)!}{(l+|m_l|)!}} P_l^{m_l} \left(\cos(\theta)\right)$$

$$P_l^{m_l}(x) = \frac{(-1)_l^m}{2^l \ l!} \ (1 - x^2)^{\frac{m}{2}} \ \frac{\mathrm{d}^{l+m_l}}{\mathrm{d}x^{l+m_l}} \ (x^2 - 1)^l$$

Wie in späteren Vorlesungen gezeigt wird, erfüllen die Kugelflächenfunktionen $Y_{l,m}(\theta,\phi)$ die folgende Differentialgleichung:

$$\left\{ -\frac{\partial^2}{\partial \theta^2} - \operatorname{ctg} \theta \frac{\partial}{\partial \theta} - \frac{1}{\sin^2 \theta} \frac{\partial^2}{\partial \phi^2} \right\} Y_{l,m}(\theta, \phi) = l(l+1) Y_{l,m}(\theta, \phi)$$



Das Wasserstoffatom: die winkelabhängigen Wellenfunktionen

Tabelle 5.2.: Zusammenstellung der Kugelflächenfunktionen für l=0 bis l=3.

\boldsymbol{l}	m_l	$Y_{l,m_l}(\phi,\theta)$
0	0	$\sqrt{rac{1}{4\pi}}$
1	0	$\sqrt{\frac{3}{4\pi}}\cos(\theta)$
1	±1	$\mp\sqrt{\frac{3}{8\pi}}\sin(\theta)\exp\left\{\pm\mathrm{i}\phi\right\}$
2	0	$\sqrt{\frac{5}{16\pi}} \left(3\cos^2(\theta) - 1 \right)$
2	±1	$\mp \sqrt{\frac{15}{8\pi}}\sin(\theta)\cos(\theta)\exp\{\pm i\phi\}$
2	± 2	$\sqrt{\frac{15}{32\pi}}\sin^2(\theta)\exp\left\{\pm2\mathrm{i}\phi\right\}$
3	0	$\sqrt{\frac{7}{16\pi}}\cos(\theta)\left(5\cos^2(\theta)-3\right)$
3	±1	$\mp\sqrt{\frac{21}{64\pi}}\sin(\theta)\left(5\cos^2(\theta)-1\right)\exp\left\{\pm\mathrm{i}\phi\right\}$
3	± 2	$\sqrt{\frac{105}{32\pi}}\sin^2(\theta)\cos(\theta)\exp\{\pm2i\phi\}$
3	±3	$\mp \sqrt{\frac{35}{64\pi}}\sin^3(\theta)\exp\left\{\pm 3\mathrm{i}\phi\right\}$



Reellwertige Linearkombinationen

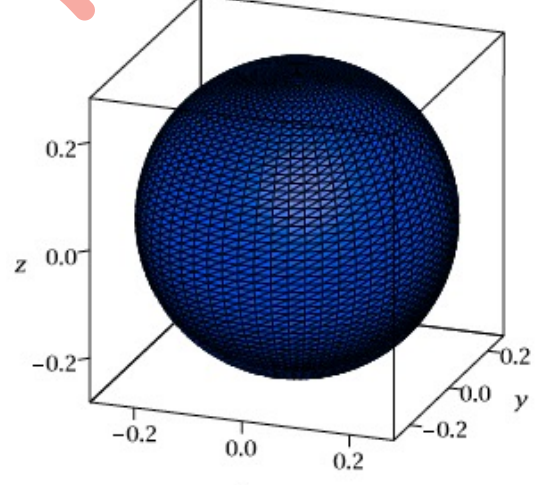
$$Y_{\mathrm{p}_{x}}(\theta,\phi) = \frac{1}{\sqrt{2}} \left[-Y_{1,1}(\theta,\phi) + Y_{1,-1}(\theta,\phi) \right]$$

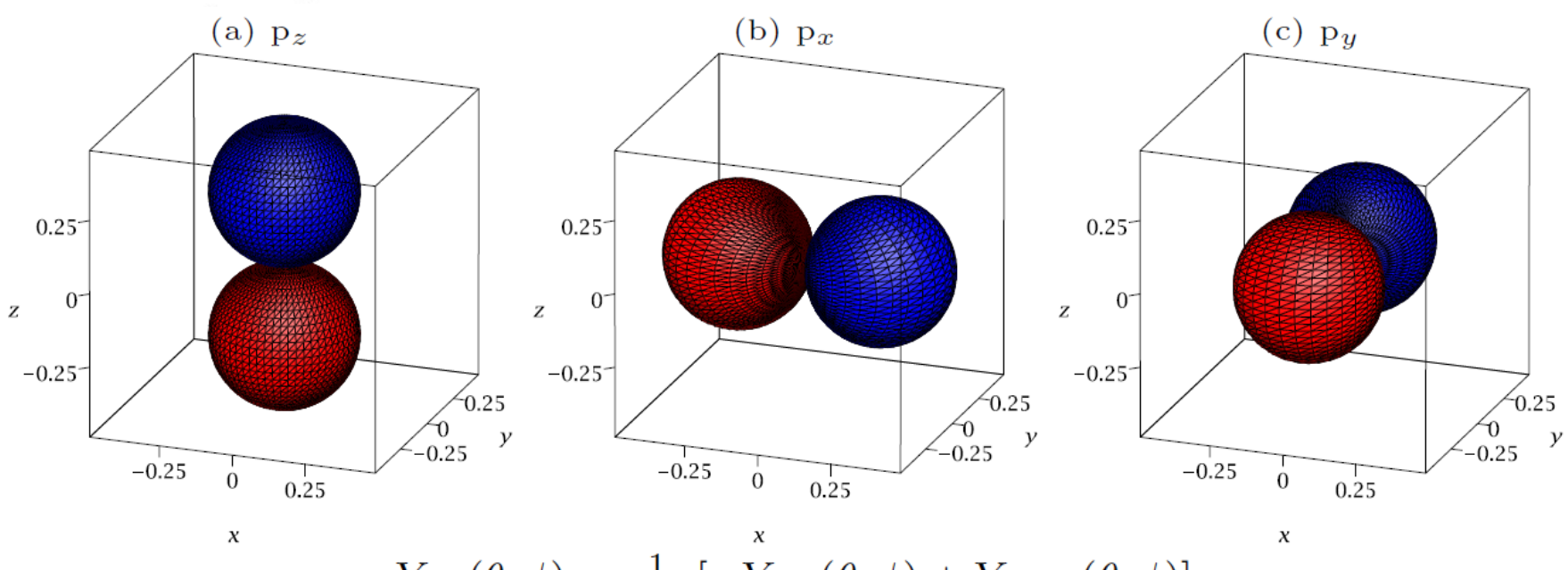
$$= \sqrt{\frac{3}{4\pi}} \sin \theta \cos \phi ,$$

$$Y_{\mathrm{p}_{y}}(\theta,\phi) = \frac{1}{\mathrm{i}\sqrt{2}} \left[-Y_{1,1}(\theta,\phi) - Y_{1,-1}(\theta,\phi) \right]$$

$$= \sqrt{\frac{3}{4\pi}} \sin \theta \sin \phi .$$

Das Wasserstoffatom: die winkelabhängigen Wellenfunktionen

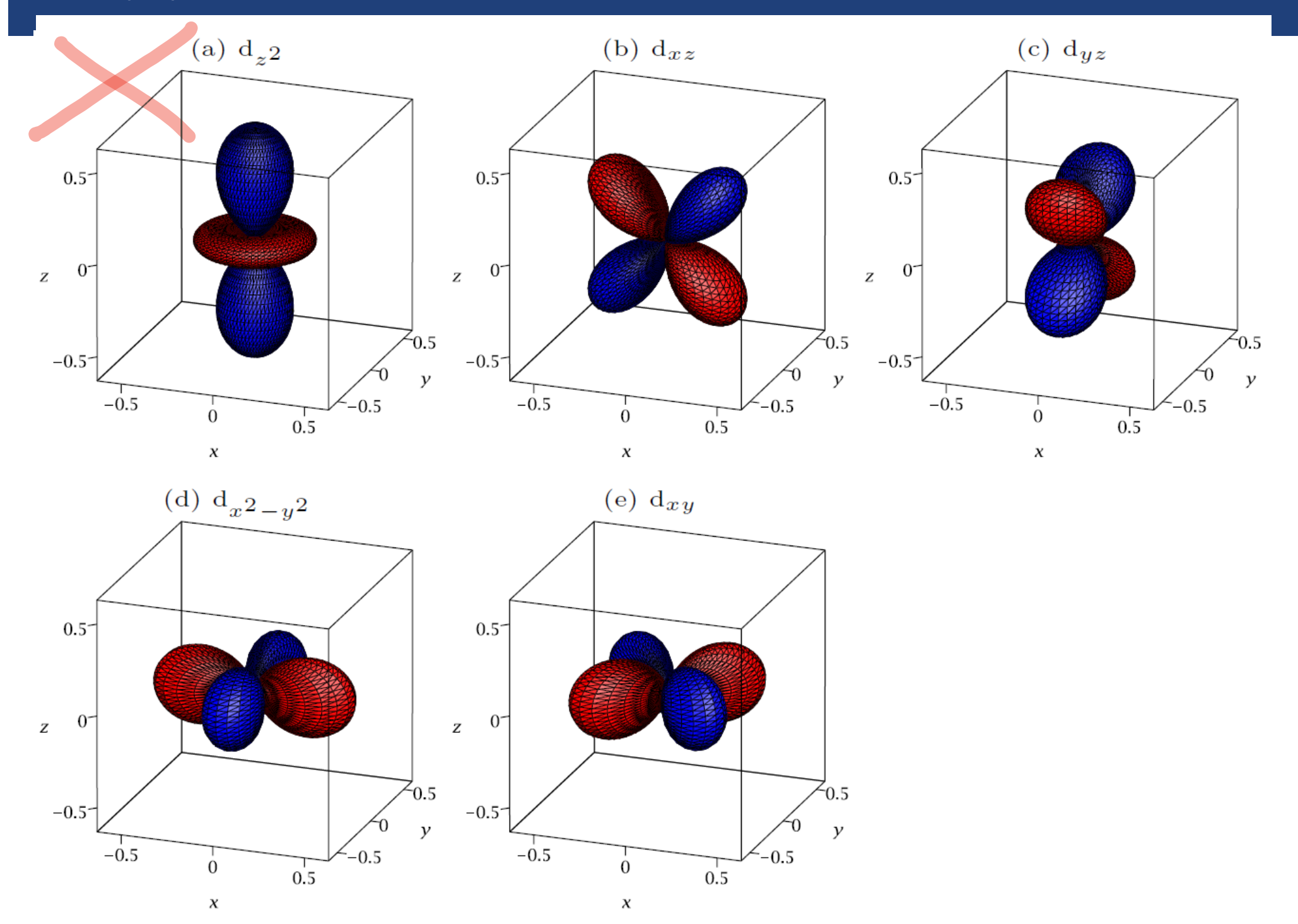




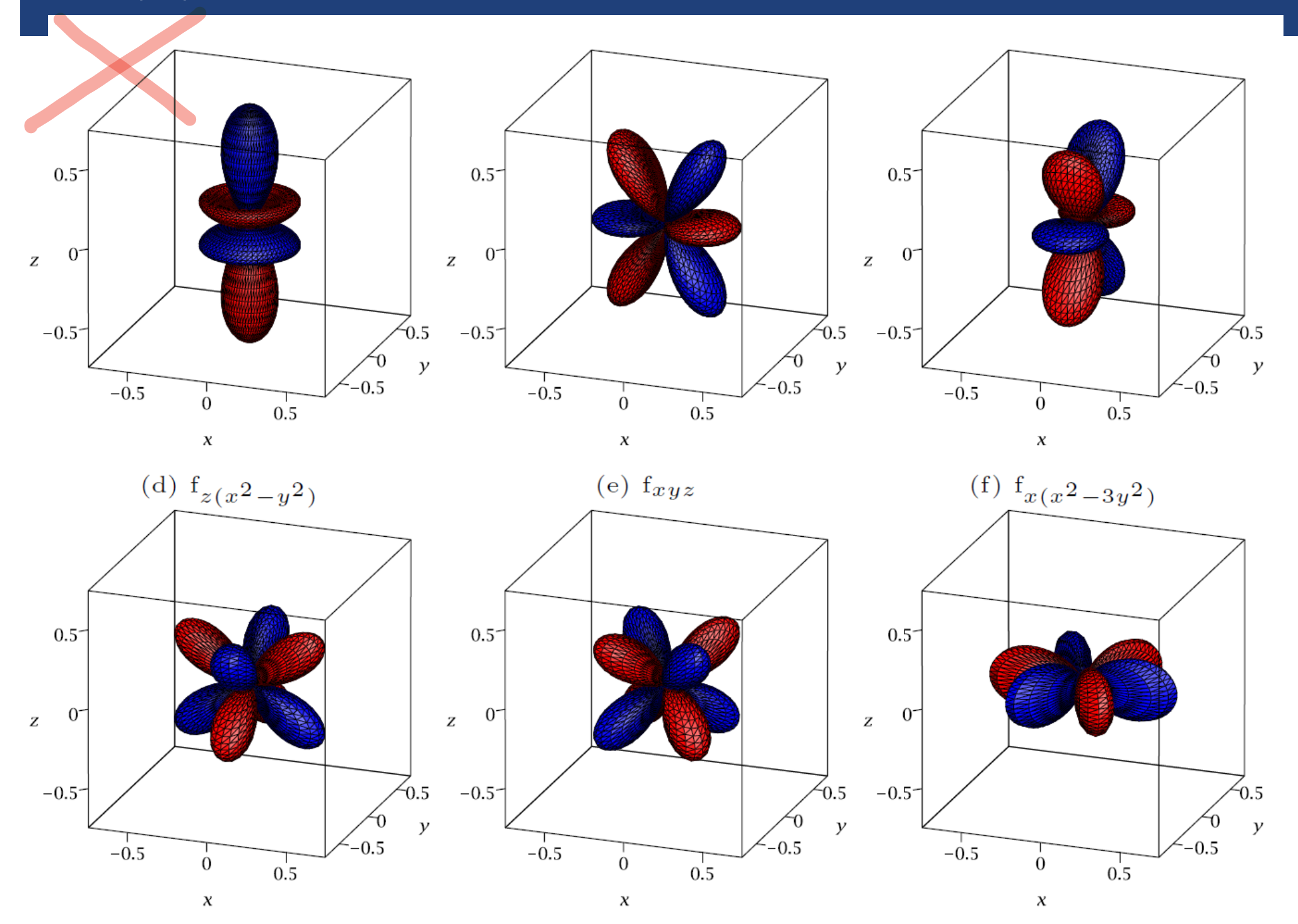
$$Y_{p_x}(\theta, \phi) = \frac{1}{\sqrt{2}} \left[-Y_{1,1}(\theta, \phi) + Y_{1,-1}(\theta, \phi) \right]$$
$$= \sqrt{\frac{3}{4\pi}} \sin \theta \cos \phi ,$$

Beispiel 5-2: Linearkombinationen zur Darstellung reeller orthogonaler d- und f-Orbitale

$$\begin{split} \psi_{n\mathrm{d}_{z^2}(r,\theta,\phi)} = & R_{n,2}(r) \, Y_{2,0}(\theta,\phi) \\ = & \sqrt{\frac{5}{16\pi}} \, R_{n,2}(r) \, \left(3\cos^2\theta - 1 \right) \\ \psi_{n\mathrm{d}_{xz}(r,\theta,\phi)} = & \frac{1}{\sqrt{2}} \, R_{n,2}(r) \cdot \left(-Y_{2,1}(\theta,\phi) + Y_{2,-1}(\theta,\phi) \right) \\ = & \sqrt{\frac{15}{4\pi}} \, R_{n,2}(r) \cdot \sin\theta \cos\theta \cos\phi \\ \psi_{n\mathrm{d}_{yz}(r,\theta,\phi)} = & \frac{1}{\mathrm{i}\sqrt{2}} \, R_{n,2}(r) \cdot \left(-Y_{2,1}(\theta,\phi) - Y_{2,-1}(\theta,\phi) \right) \\ = & \sqrt{\frac{15}{4\pi}} \, R_{n,2}(r) \cdot \sin\theta \cos\theta \sin\phi \\ \psi_{n\mathrm{d}_{x^2-y^2}(r,\theta,\phi)} = & \frac{1}{\sqrt{2}} \, R_{n,2}(r) \cdot \left(Y_{2,2}(\theta,\phi) + Y_{2,-2}(\theta,\phi) \right) \\ = & \sqrt{\frac{15}{16\pi}} \, R_{n,2}(r) \cdot \sin^2\theta \cos(2\phi) \\ \psi_{n\mathrm{d}_{xy}(r,\theta,\phi)} = & \frac{1}{\mathrm{i}\sqrt{2}} \, R_{n,2}(r) \cdot \left(Y_{2,2}(\theta,\phi) - Y_{2,-2}(\theta,\phi) \right) \\ = & \sqrt{\frac{15}{16\pi}} \, R_{n,2}(r) \cdot \sin^2\theta \sin(2\phi) \end{split}$$



$$\begin{split} \psi_{nf_{z3}(r,\theta,\phi)} = & R_{n,3}(r) \, Y_{3,0}(\theta,\phi) \\ = & \sqrt{\frac{7}{16\pi}} \, R_{n,3}(r) \cos\theta \, \left(5 \cos^2\theta - 3\right) \\ \psi_{nf_{xz^2}(r,\theta,\phi)} = & \frac{1}{\sqrt{2}} \, R_{n,3}(r) \cdot \left(-Y_{3,1}(\theta,\phi) + Y_{3,-1}(\theta,\phi)\right) \\ = & \sqrt{\frac{42}{64\pi}} \, R_{n,3}(r) \cdot \sin\theta \, \left(5 \cos^2\theta - 1\right) \cos\phi \\ \psi_{nf_{yz^2}(r,\theta,\phi)} = & \frac{1}{i\sqrt{2}} \, R_{n,3}(r) \cdot \left(-Y_{3,1}(\theta,\phi) - Y_{3,-1}(\theta,\phi)\right) \\ = & \sqrt{\frac{42}{64\pi}} \, R_{n,3}(r) \cdot \sin\theta \, \left(5 \cos^2\theta - 1\right) \sin\phi \\ \psi_{nf_{z(x^2-y^2)}(r,\theta,\phi)} = & \frac{1}{\sqrt{2}} \, R_{n,3}(r) \cdot \left(Y_{3,2}(\theta,\phi) + Y_{3,-2}(\theta,\phi)\right) \\ = & \sqrt{\frac{105}{16\pi}} \, R_{n,3}(r) \cdot \sin^2\theta \cos\theta \cos(2\phi) \\ \psi_{nf_{xyz}(r,\theta,\phi)} = & \frac{1}{i\sqrt{2}} \, R_{n,3}(r) \cdot \left(Y_{3,2}(\theta,\phi) - Y_{3,-2}(\theta,\phi)\right) \\ = & \sqrt{\frac{105}{16\pi}} \, R_{n,3}(r) \cdot \sin^2\theta \cos\theta \sin(2\phi) \\ \psi_{nf_{x(x^2-3y^2)}(r,\theta,\phi)} = & \frac{1}{\sqrt{2}} \, R_{n,3}(r) \cdot \left(-Y_{3,3}(\theta,\phi) + Y_{3,-3}(\theta,\phi)\right) \\ = & \sqrt{\frac{70}{64\pi}} \, R_{n,3}(r) \cdot \sin^3\theta \cos(3\phi) \\ \psi_{nf_{y(3x^2-y^2)}(r,\theta,\phi)} = & \frac{1}{i\sqrt{2}} \, R_{n,3}(r) \cdot \left(-Y_{3,3}(\theta,\phi) - Y_{3,-3}(\theta,\phi)\right) \\ = & \sqrt{\frac{70}{64\pi}} \, R_{n,3}(r) \cdot \sin^3\theta \sin(3\phi) \end{split} \tag{5.11}$$







Normierung der Wellenfunktionen

Damit das Betragsquadrat $|\psi_{n,l,m_l}(r,\theta,\phi)|^2$ der Wellenfunktionen als Wahrscheinlichkeitsdichtefunktion interpretiert werden kann, müssen diese gemäss Gleichung (4.52) normiert sein. In Kugelkoordinaten folgt daraus unter Berücksichtigung von Gleichung (5.2) die Bedingung

$$\iiint_{\text{Raum}} |\psi_{n,l,m_l}(r,\theta,\phi)|^2 dV = \int_0^\infty R_{n,l}^2(r) r^2 dr \int_{\theta=0}^{\pi} \int_{\phi=0}^{2\pi} |Y_{l,m_l}(\theta,\phi)|^2 \sin\theta d\theta d\phi$$

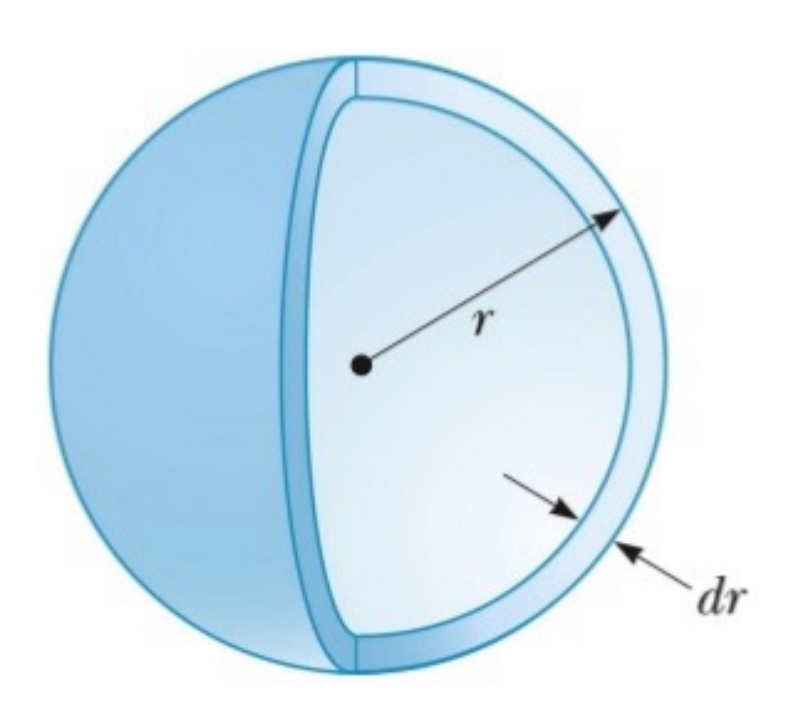
$$= 1.$$

Dabei müssen jeweils auch die Integrale über r respektive über θ und ϕ für sich genommen eins ergeben, da die radialen Wellenfunktionen und die Kugelflächenfunktionen nicht von denselben Variablen abhängen.





Radiale Wahrscheinlichkeitsdichte



$$\iint \left| \psi_{n,l,m_l}(r,\theta,\phi) \right|^2 dV = \int_{\theta=0}^{\pi} \int_{\phi=0}^{2\pi} R_{n,l}^2(r) \left| Y_{l,m_l}(\theta,\phi) \right|^2 r^2 \sin\theta dr d\theta d\phi$$

$$=R_{n,l}^2(r)r^2\mathrm{d}r\int_{\theta=0}^{\pi}\int_{\phi=0}^{2\pi}\left|Y_{l,m_l}(\theta,\phi)\right|^2\sin\theta\mathrm{d}\theta\mathrm{d}\phi$$

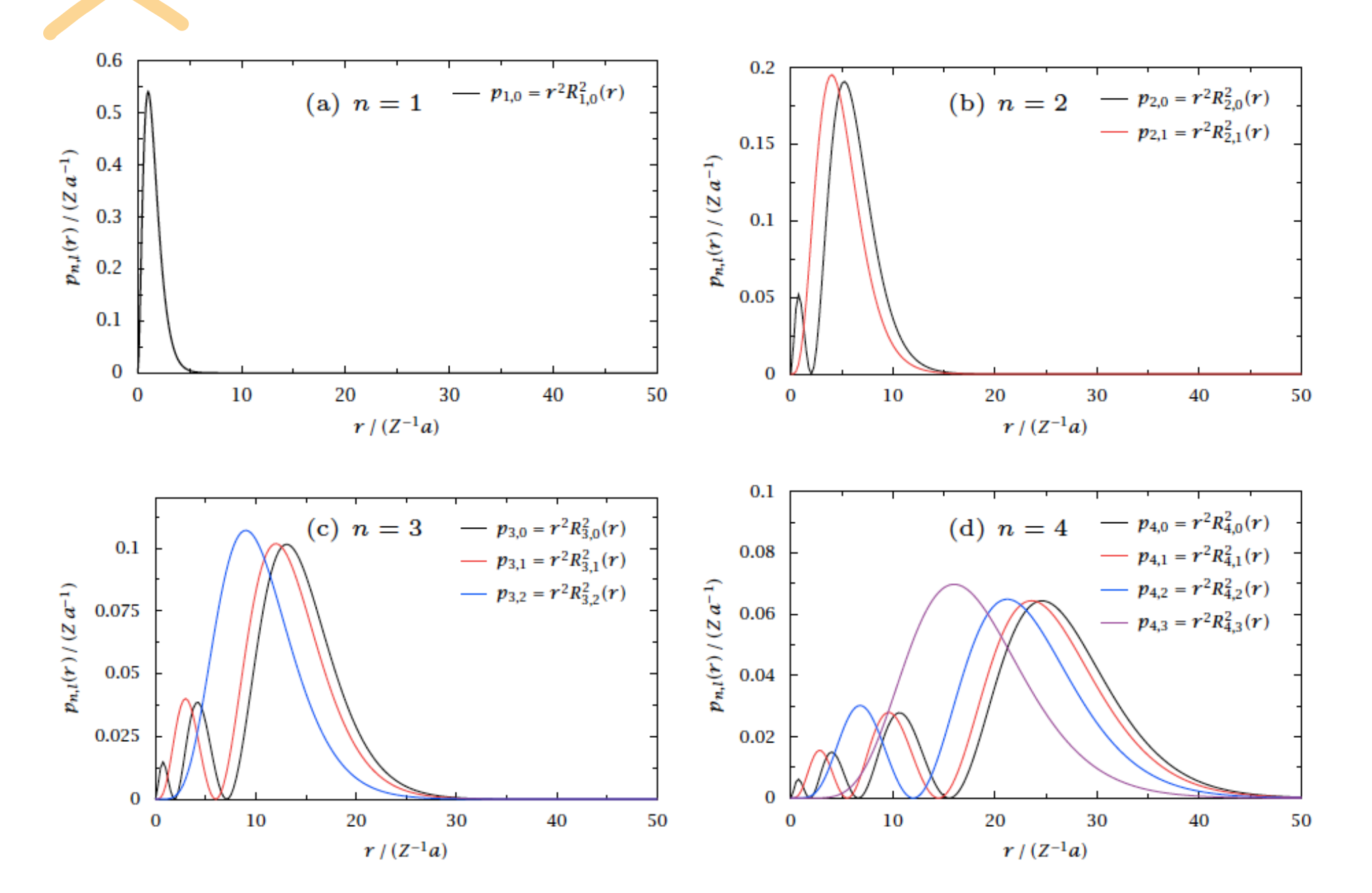
radiale Wahrscheinlichkeitsdichte

$$= R_{n,l}^2(r)r^2 dr .$$

=1



Die radialen Wahrscheinlichkeitsdichtefunktionen





Die radialen Wahrscheinlichkeitsdichtefunktionen

- Je kleiner der Wert von l, desto näher kann das Elektron an den Kern kommen. Der Abstand des ersten Maximums der radialen Wahrscheinlichkeitsdichtefunktion zum Kern nimmt mit zunehmenden l zu. Bei Elektronen mit kleinen l-Werten spricht man deshalb von penetrierenden Elektronen.
- Je grösser n, desto grösser ist der mittlere Abstand des Elektrons zum Kern. Obschon das erste Maximum der radialen Wahrscheinlichkeitsdichte nahe beim Kern bleibt, ist die Amplitude dieses Maximums proportional zu n^{-3} . Die Wahrscheinlichkeit, das Elektron in Kernnähe zu finden nimmt also mit n^3 ab.





Orbitale

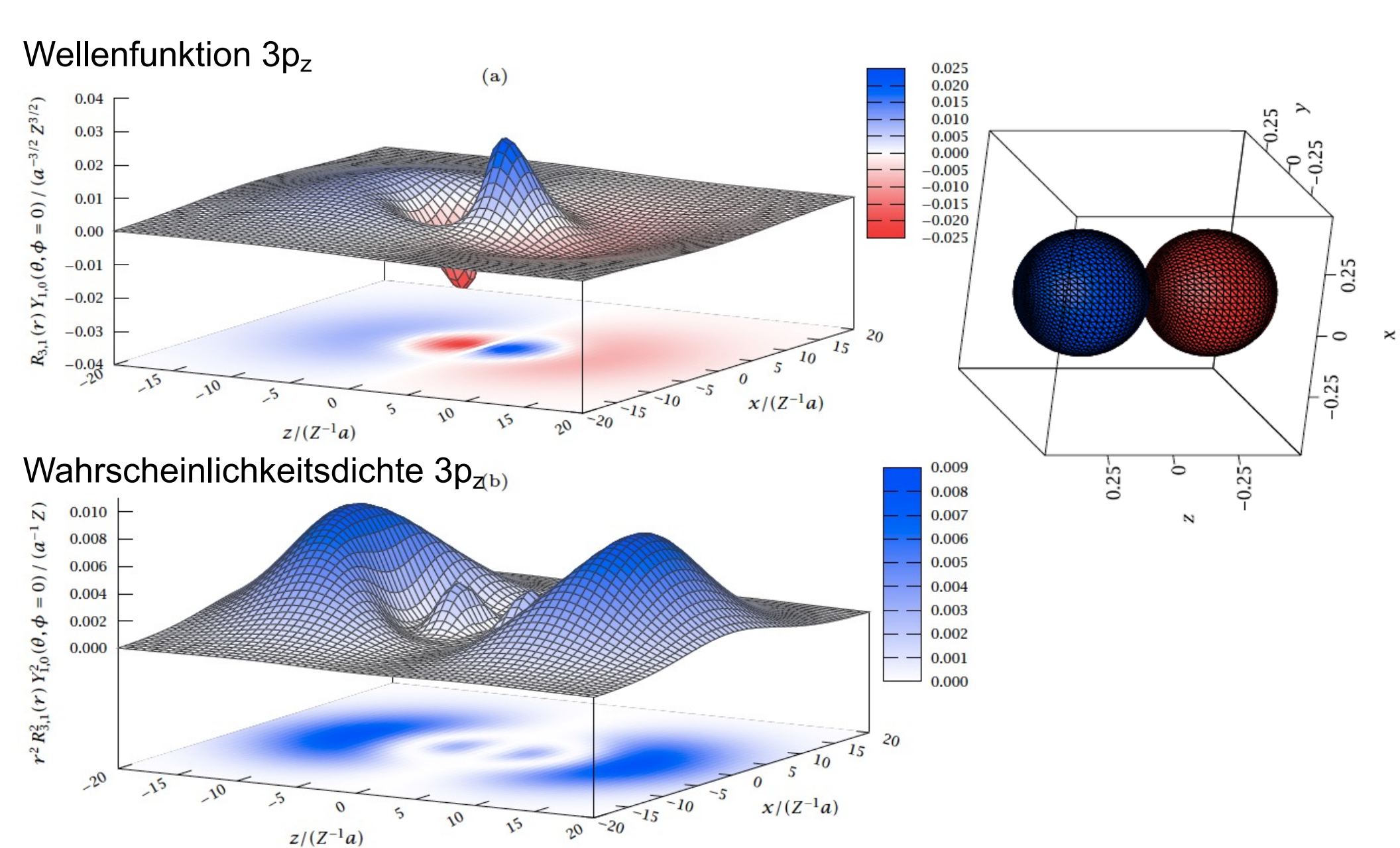
- Sind <u>Ein-Elektronen-Wellenfunktionen</u>
- Sind nur in Ein-Elektronen-Systemen (H, He+, H2+) identisch mit der Gesamtelektronenwellenfunktion

\boldsymbol{l}	0	1	2	3	4	5	
Bezeichnung	s	p	d	f	g	h	
Anzahl	1	3	5	7	9	11	





Darstellung von Orbitalen





Darstellung von Orbitalen

Für die Anzahl der Knotenflächen in der Wellenfunktion eines Elektrons in einem Wasserstoffatom oder in wasserstoffatomähnlichen Ionen gilt

Knotenflächen in der radialen Wellenfunktion $R_{n,l}(r)$: n-l-1 Knotenflächen in der winkelabhängigen Wellenfunktion $Y_{l,m_l}(\theta,\phi)$: l

Knotenflächen in der Wellenfunktion $\psi_{n,l,m_l}(r,\theta,\phi)$: n-1



Atome mit mehreren Elektronen

- Orbitale sind qualitativ ähnlich zu denjenigen des H-**Atoms**
- Zusätzlich müssen Elektronen-Elektronen-WW berücksichtigt werden.
- Dadurch sehen die äusseren Elektronen nur eine «abgeschirmte» Kernaldung: Z_{eff}=Z-σ
- σ drückt aus, wieviele Elektronen sich im Mittel zwischen dem äusseren Elektron und dem Kern aufhalten.
- Für den Wert von σ ist die Form der Aufenthaltswahrscheinlichkeitsdichte, insb. die Lage der inneren Maxima wichtig.
- Energetische Reihenfolge unterscheidet sich von derjenigen des H-Atoms
- empirische Regeln:
 - 1. E(n,l) < E(n',l') falls (n+l) < (n'+l')
 - 2. E(n, l) < E(n', l') falls (n + l) = (n' + l') und n < n'

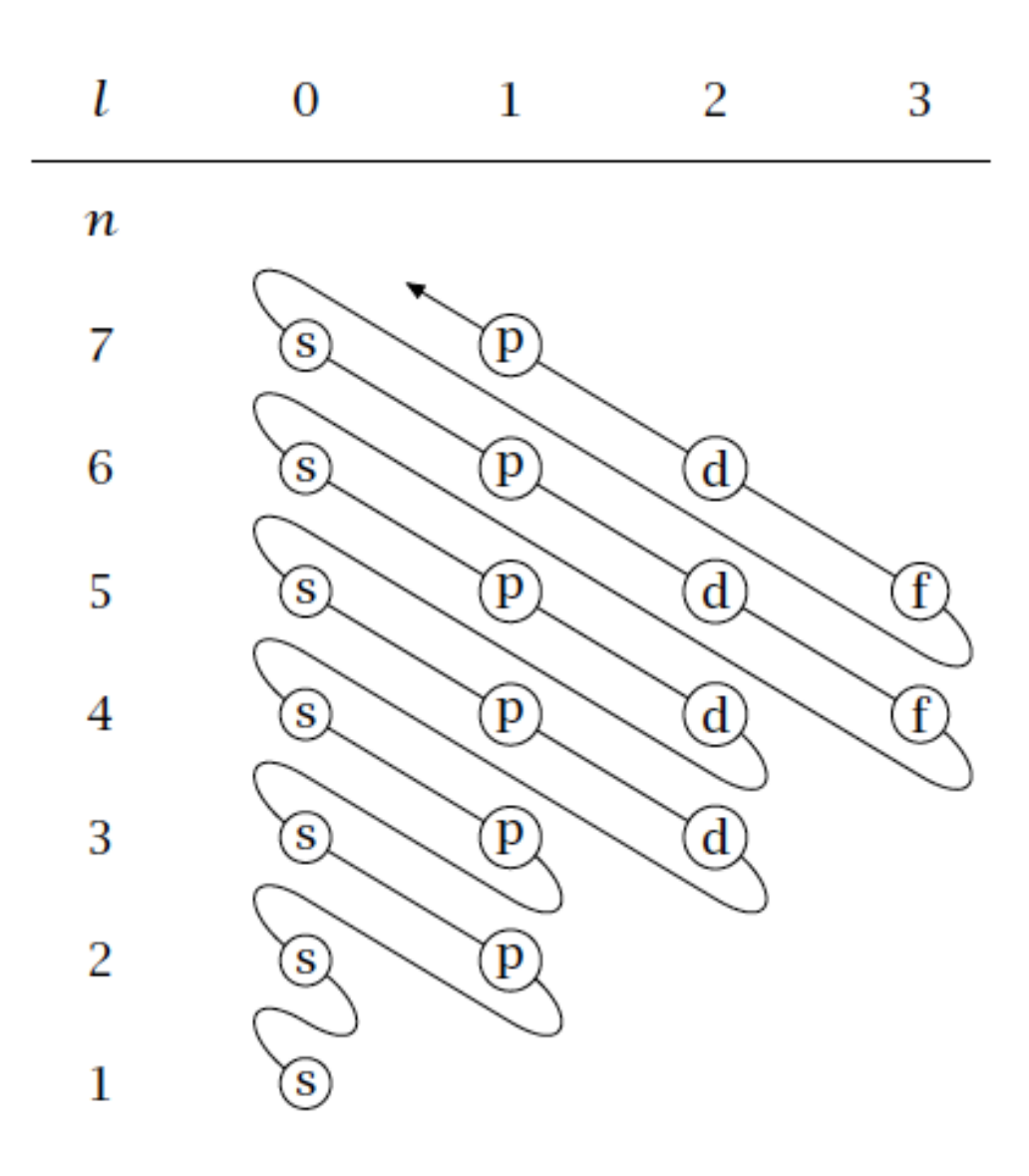
□ 6s □ 4p ☐ 4s □ 3p \square 3s

□ 2p

 \square 2s



Energetische Reihenfolge und Aufbauprinzip







Pauli Ausschlussprinzip

Teilchen

Fermionen

haben halbganzzahligen Spin s,I = 1/2, 3/2, 5/2, ...

Bsp.: Elektron, Proton, Neutron

Bosonen

haben ganzzahligen Spin

s,I = 0, 1, 2, 3, ...

Bsp.: Photon, W-Boson, Z-Boson, (alle s,I=1),

Higgs-Boson (s=0)

Elektronen (=Fermionen) in einem Mehrelektronenatom dürfen nicht in allen Quantenzahlen identisch sein.

→ Jedes Atomorbital (n, ℓ , m $_{\ell}$ sind gegeben) kann mit maximal zwei Elektronen besetzt werden (m $_{\rm s}$ =+1/2 oder m $_{\rm s}$ =-1/2).

Für spätere Vorlesungen:

- Pauli-Prinzip: Die Gesamtwellenfunktion (einschliesslich Spin) muss antisymmetrisch sein bezüglich paarweiser Permutation zweier Elektronen.
- Verallgemeinertes Pauli-Prinzip: Die Gesamtwellenfunktion (einschliesslich Spin) muss antisymmetrisch sein bezüglich paarweiser Permutation zweier identischer Fermionen, resp. symmetrisch bezüglich paarweiser Permutation zweier identischer Bosonen.



Die Elektronenkonfiguration

- Die «Elektronenkonfiguration» beschreibt die Verteilung der Elektronen auf die Orbitale eines Atoms oder Moleküls.
- Das «Aufbauprinzip» besagt, dass die stabilste Elektronenkonfiguration durch sukzessive Besetzung der Orbitale in der energetischen Reihenfolge mit je zwei Elektronen erhalten wird.
- Bei «entarteten» Orbitale werden die Orbitale zuerst nur einzeln mit Elektronen gleichgerichteten Spins besetzt.

Beispiel 5-4: Bestimmung der Elektronenkonfiguration

Atom	Anz. e^-	${ m e}^-$ -Konfiguration	1s	$2\mathrm{s}$	$2\mathrm{p}$	3s Gesamtspin
Н	1	$(1s)^1$	↑			S = 1/2
${\rm He}$	2	$(1s)^2$	$\uparrow\downarrow$			S=0
Li	3	$(1s)^2(2s)^1$	$\uparrow\downarrow$	<u></u>		S = 1/2
${\rm Be}$	4	$(1s)^2(2s)^2$	$\uparrow\downarrow$	$\uparrow\downarrow$		S=0
В	5	$(1s)^2(2s)^2(2p)^1$	$\uparrow\downarrow$	$\uparrow\downarrow$	↑	S = 1/2
\mathbf{C}	6	$(1s)^2(2s)^2(2p)^2$	$\uparrow\downarrow$	$\uparrow\downarrow$	\uparrow \uparrow	S=1
N	7	$(1s)^2(2s)^2(2p)^3$	$\uparrow\downarrow$	$\uparrow\downarrow$	\uparrow \uparrow \uparrow	$S = \frac{3}{2}$
O	8	$(1s)^2(2s)^2(2p)^4$	$\uparrow\downarrow$	$\uparrow\downarrow$	$\uparrow\downarrow$ \uparrow \uparrow	S=1
	7 8	$(1s)^2(2s)^2(2p)^3$	$\uparrow\downarrow$	↑↓		S = 3



Das Periodensystem Gruppe 1 5 6 8 9 10 11 12 13 14 15 1 1s2p 2 2s3p 3sPeriode 4s 3d 4p 5p 4d 5s6p 6 6s Lan 7 7p 7s Act Lantanoide: 5d 4f 5f Actinoide: 6d

Abbildung 5.10.: Schematischer Aufbau des Periodensystems der Elemente.



Das Periodensystem

Gruppe	Gruppenbezeichnung	[veraltete Gruppenbezeichnung]			
1	Alkalimetalle				
2	Erdalkalimetalle				
3	3. Gruppe (Scandiumgruppe)				
4	4. Gruppe (Titangruppe)				
	•••				
12	12. Gruppe (Zinkgruppe)				
13	Erdmetalle				
14	Kohlenstoffgruppe	[Tetrele]			
15	Stickstoffgruppe	[Pnictogene]			
16	Sauerstoffgruppe	[Chalkogene]			
17	Halogene				
18	Edelgase				



Das Periodensystem

- Das Periodensystem entsteht durch Einfüllen der Elektronen nach dem Aufbau-Prinzip.
- Elemente innerhalb einer Gruppe haben ähnliche Elektronenkonfigurationen (Elektronenstruktur), Reaktivitäten und Eigenschaften («Gruppe», Periodizität).
- Atome mit vollen Schalen sind besonders stabil (Edelgase: He, Ne, Ar, ..., Li⁺, Na⁺, ..., Be²⁺, Mg²⁺, ...).
- Konfigurationen mit halbvollen oder vollen Unterschalen sind besonders stabil.

Ausnahmen zum Aufbau-Prinzip sind möglich, wenn eine nd- oder nf-Schale auf Kosten der (n+1)s-Schale voll oder halbvoll werden kann.

Cu
$$[Ar] (4s)^1 (3d)^{10}$$

Ag $[Kr] (5s)^1 (4d)^{10}$
Au $[Xe] (6s)^1 (4f)^{14} (5d)^{10}$
Cr $[Ar] (4s)^1 (3d)^5$
Mo $[Kr] (5s)^1 (4d)^5$

...



Atomterme

Die «Atomterme» beschreiben die elektronischen Zustände eines Atoms. Sie bestehen aus den Quantenzahlen L, S, J für den Gesamtbahndrehimpuls $\vec{L} = \sum_i \vec{l}_i$, den Gesamtspin $\vec{S} = \sum_i \vec{s}_i$, und den Gesamtdrehimpuls $\vec{J} = \sum_i \vec{j}_i$.

- 1. Die Besetzung der Orbitale erfolgt nach aufsteigender Orbitalenergie.
- 2. Bei energetisch entarteten Orbitalen wird <u>zuerst jedes Orbital einfach</u> besetzt und zwar so, dass alle Elektronenspins gleich gerichtet sind.
- Jedes Orbital kann mit <u>maximal zwei Elektronen besetzt</u> werden. Dabei müssen die Spins der Elektronen, die sich im selben Orbital befinden, entgegengesetzt gerichtet sein.
- 4. Den Wert für L erhält man, indem die m_l-Werte aller Elektronen in den einzelnen Orbitalen addiert werden und vom erhaltenen Wert der Betrag genommen wird (L ist immer positiv). Dabei ist zu beachten, dass |L| maximal wird.

Die möglichen m_l -Werte hängen vom Orbital ab, in dem sich die Elektronen befinden:

Orbital	\boldsymbol{l}				m				
s	0				0				
p	1			-1,	0,	1			
d	2		-2,	-1,	0,	1,	2		
f	3	-3,	-2,	-1,	0,	1,	2,	3	



Atomterme

- 5. Den Wert für S erhält man, indem die m_s -Werte aller Elektronen ($m_s = \pm 1/2$) in den einzelnen Orbitalen <u>addiert</u> werden und vom Ergebnis der Betrag genommen wird (S ist immer positiv).
- 6. Für gegebene L- und S-Werte sind allgemein die folgenden J-Werte erlaubt:

$$J = \underbrace{L + S}_{\text{parallele}}$$
, $L + S - 1$, $L + S - 2$, ..., $\underbrace{L - S}_{\text{antiparallele}}$ antiparallele Ausrichtung V von V von V und V

Für den J-Wert des Grundzustands eines Atoms gilt

- J = L + S, falls die Unterschale mehr als halb gefüllt ist,
- J = |L S|, falls die Unterschale weniger als halb gefüllt ist.



Atomterme

Nach der Bestimmung von L, S und J kann das $\underline{Termsymbol}$ des elektronischen Zustands angegeben werden. Es lautet

$$^{2S+1}L_J$$
.

2S + 1 bezeichnet man als <u>Spin-Multiplizität</u>. Dabei verwendet man oft auch die folgenden Bezeichnungen:

S	2S + 1	Zustand
0	1	Singulett-Zustand
1/2	2	Dublett-Zustand
1	3	Triplett-Zustand
3/2	4	Quartett-Zustand

Für L wird nicht der Zahlenwert, sondern eines der Symbole S, P, D, F, ... gemäss

L	0	1	2	3	4	5	• • •
Symbol	\mathbf{S}	Р	D	\mathbf{F}	\mathbf{G}	Н	





- 1. Hundsche Regel
 Der Zustand mit dem grössten S-Wert besitzt die tiefste Energie.
- 2. Hundsche Regel
 Bei Zuständen mit gleichem S-Wert besitzt derjenige mit dem grössten L-Wert
 die tiefste Energie.
- 3. Hundsche Regel

Für den J-Wert des Grundzustands eines Atoms gilt

- J = L + S, falls die Unterschale mehr als halb gefüllt ist,
- J = |L S|, falls die Unterschale weniger als halb gefüllt ist.





Anmerkungen:

- Die <u>Priorität</u> der Hundschen Regeln ist verbindlich.
- Die Hundschen Regeln gelten nur für die <u>Grundzustandskonfiguration</u> eines Atoms oder eines atomaren Ions. Bei angeregten Zuständen kann es zu Abweichungen kommen.
- Da für vollständig gefüllte Schalen und Unterschalen immer L = S = J = 0 gilt, müssen diese nicht berücksichtigt werden.
- Bei gewissen Atomen versagt das Pauli-Aufbauprinzip bei der Bestimmung der Elektronenkonfiguration des Grundzustands.



Atomterme

C:
$$(1s)^2 (2s)^2 (2p)^2$$

$$\begin{array}{c|ccccc} 2\mathbf{p} & \uparrow & \uparrow & \\ m_l & 1 & 0 & -1 \end{array}$$

$$M_L = \sum m_l = (m_l)_1 + (m_l)_2 = 1$$
 $M_L^{\text{max}} = 1 \qquad \Rightarrow \qquad L = 1$
 $S = 1$

$$J=0,1,2$$
 \Rightarrow Termsymbole $^3\mathbf{P}_0$, $^3\mathbf{P}_1$ und $^3\mathbf{P}_2$ (gemäss der 3. Hundschen Regel entspricht $^3\mathbf{P}_0$ dem elektronischen Grundzustand)



Atomterme

$$N: (1s)^2 (2s)^2 (2p)^3$$

$$M_L = \sum m_l = (m_l)_1 + (m_l)_2 + (m_l)_3 = 0$$
 $M_L^{\text{max}} = 0 \Rightarrow L = 0$
 $S = \frac{3}{2}$
 $J = \frac{3}{2} \Rightarrow \text{Termsymbol } ^4\mathbf{S}_{3/2}$

Atomterme

O:
$$(1s)^2 (2s)^2 (2p)^4$$

$$M_L = \sum m_l = (m_l)_1 + (m_l)_2 + (m_l)_3 + (m_l)_4 = 1$$
 $M_L^{\text{max}} = 1 \qquad \Rightarrow \qquad L = 1$
 $S = 1$

J=0,1,2 \Rightarrow Termsymbole 3P_0 , 3P_1 und 3P_2



Atomterme

F:
$$(1s)^2 (2s)^2 (2p)^5$$

$$M_L = \sum m_l = (m_l)_1 + (m_l)_2 + (m_l)_3 + (m_l)_4 + (m_l)_5 = 1$$
 $M_L^{\text{max}} = 1 \Rightarrow L = 1$
 $S = 1/2$

J = 1/2, 3/2 \Rightarrow Termsymbole ${}^{2}P_{1/2}$ und ${}^{2}P_{3/2}$



Atomterme

Ne:
$$(1s)^2 (2s)^2 (2p)^6$$

$$M_L = \sum m_l = (m_l)_1 + (m_l)_2 + (m_l)_3 + (m_l)_4 + (m_l)_5 + (m_l)_6 = 0$$
 $M_L^{\text{max}} = 0 \Rightarrow L = 0$
 $S = 0$

$$J=0$$
 \Rightarrow Termsymbol $^1\mathbf{S_0}$